

COMMITTENTE:



DIREZIONE LAVORI:



APPALTATORE:



PROGETTAZIONE:

PROGETTISTA:

DIRETTORE DELLA PROGETTAZIONE

RAGGRUPPAMENTO TEMPORANEO PROGETTISTI

Prof. Ing.

Ing. PIETRO MAZZOLI



MARCO PETRANGELI

Responsabile integrazione fra le varie prestazioni specialistiche

PROGETTO ESECUTIVO

ITINERARIO NAPOLI-BARI

RADDOPPIO TRATTA CANCELLO-BENEVENTO

1° LOTTO FUNZIONALE CANCELLO-FRASSO TELESINO E VARIANTE ALLA LINEA ROMA-NAPOLI VIA CASSINO NEL COMUNE DI MADDALONI

VIADOTTO al km 12+245.256 al km 12+407.221 "Struttura ad archi"

Viadotto Cantinella

Relazione geotecnica di calcolo delle fondazioni

APPALTATORE		SCALA:
Consorzio CFT IL DIRETTORE TECNICO Geom. C. Bianchi 13/09/2018		-

COMMESSA LOTTO FASE ENTE TIPO DOC. OPERA/DISCIPLINA PROGR. REV.

IF1N
01
E
ZZ
CL
VI0300
002
D

Rev.	Descrizione	Redatto	Data	Verificato	Data	Approvato	Data	Autorizzato Data
A	Emissione	A. Tagliaferri	11/05/2018	M. Petrangeli	11/05/2018	P. Mazzoli	11/05/2018	M. Petrangeli
B	Revisione	A. Tagliaferri	28/05/2018	M. Petrangeli	28/05/2018	P. Mazzoli	28/05/2018	
C	Revisione	A. Tagliaferri	11/07/2018	M. Petrangeli	11/07/2018	P. Mazzoli	11/07/2018	
D	Rev. Istruttoria ITF 29/08/18	A. Tagliaferri	13/09/2018	M. Petrangeli	13/09/2018	P. Mazzoli	13/09/2018	13/09/2018

File: IF1N.0.1.E.ZZ.CL.VI.03.0.0.002.D.doc

n. Elab.:

   	ITINERARIO NAPOLI – BARI RADDOPPIO TRATTA CANCELLO – BENEVENTO I° LOTTO FUNZIONALE CANCELLO - FRASSO TELESINO E VARIANTE ALLA LINEA ROMA-NAPOLI VIA CASSINO NEL COMUNE DI MADDALONI – PROGETTO ESECUTIVO												
Relazione Geotecnica di calcolo delle fondazioni	<table border="1"> <thead> <tr> <th>COMMESSA</th> <th>LOTTO</th> <th>CODIFICA</th> <th>DOCUMENTO</th> <th>REV.</th> <th>FOGLIO</th> </tr> </thead> <tbody> <tr> <td>IF1N</td> <td>01 E ZZ</td> <td>CL</td> <td>VI0300 002</td> <td>D</td> <td>2 di 170</td> </tr> </tbody> </table>	COMMESSA	LOTTO	CODIFICA	DOCUMENTO	REV.	FOGLIO	IF1N	01 E ZZ	CL	VI0300 002	D	2 di 170
COMMESSA	LOTTO	CODIFICA	DOCUMENTO	REV.	FOGLIO								
IF1N	01 E ZZ	CL	VI0300 002	D	2 di 170								

Indice

1	PREMESSA.....	4
2	NORMATIVA E DOCUMENTAZIONE DI RIFERIMENTO	5
3	CARATTERIZZAZIONE GEOTECNICA E SCHEMA DI CALCOLO.....	6
3.1	PIROCLASTITI SUPERFICIALI	8
3.2	TUFO GIALLO LITOIDE.....	11
3.3	TUFO GRIGIO CAMPANO IN FACIES SCIOLTA	12
3.4	PARAMETRI GEOTECNICI.....	13
4	DESCRIZIONE DELLA STRUTTURA.....	13
5	CARICHI AGENTI IN FONDAZIONE.....	14
5.1	CONCIO TIPO AD ARCHI (01-02-03-04)	14
5.2	SCATOLARE “A” + SOTTOVIA (LATO CANCELLO).....	16
5.3	SCATOLARE “B” (LATO BENEVENTO)	16
6	RISULTATI DELLE VERIFICHE GEOTECNICHE	17
6.1	VERIFICA A CARICO LIMITE DELLA FONDAZIONE.....	17
6.1.1	CONCIO TIPO AD ARCHI (01-02-03-04).....	17
6.1.2	SCATOLARE “A” + SOTTOVIA (LATO CANCELLO).....	18
6.1.3	SCATOLARE “B” (LATO BENEVENTO).....	18
6.2	VERIFICA A SCORRIMENTO DELLA FONDAZIONE.....	19
6.2.1	CONCIO TIPO AD ARCHI (01-02-03-04).....	19
6.2.2	SCATOLARE “A” + SOTTOVIA (LATO CANCELLO).....	19
6.2.3	SCATOLARE “B” (LATO BENEVENTO).....	20
6.3	CALCOLO DEI CEDIMENTI DELLA FONDAZIONE.....	21
6.3.1	CEDIMENTI CON CARICHI A FINE COSTRUZIONE	22
6.3.2	CEDIMENTI TOTALI E DIFFERENZIALI DOVUTI AI CARICHI DI ESERCIZIO.....	25
7	APPENDICE.....	28
7.1	CARICHI AGENTI IN FONDAZIONE.....	28

  	ITINERARIO NAPOLI – BARI RADDOPPIO TRATTA CANCELLO – BENEVENTO I° LOTTO FUNZIONALE CANCELLO - FRASSO TELESINO E VARIANTE ALLA LINEA ROMA-NAPOLI VIA CASSINO NEL COMUNE DI MADDALONI – PROGETTO ESECUTIVO												
Relazione Geotecnica di calcolo delle fondazioni	<table border="1"> <thead> <tr> <th>COMMESSA</th> <th>LOTTO</th> <th>CODIFICA</th> <th>DOCUMENTO</th> <th>REV.</th> <th>FOGLIO</th> </tr> </thead> <tbody> <tr> <td>IF1N</td> <td>01 E ZZ</td> <td>CL</td> <td>VI0300 002</td> <td>D</td> <td>3 di 170</td> </tr> </tbody> </table>	COMMESSA	LOTTO	CODIFICA	DOCUMENTO	REV.	FOGLIO	IF1N	01 E ZZ	CL	VI0300 002	D	3 di 170
COMMESSA	LOTTO	CODIFICA	DOCUMENTO	REV.	FOGLIO								
IF1N	01 E ZZ	CL	VI0300 002	D	3 di 170								

7.1.1	CONCIO TIPO AD ARCHI – SITUAZIONE CON RIEMPIMENTO.....	28
7.1.2	SCATOLARE “A” + SOTTOVIA (LATO CANCELLO).....	32
7.1.3	SCATOLARE “B” (LATO BENEVENTO).....	40
7.2	VERIFICA DI CAPACITA’ PORTANTE DELLA FONDAZIONE	48
7.2.1	CONCIO TIPO AD ARCHI – SITUAZIONE CON RIEMPIMENTO.....	48
7.2.2	SCATOLARE “A” + SOTTOVIA (LATO CANCELLO).....	64
7.2.3	SCATOLARE “B” (LATO BENEVENTO).....	97
7.3	VERIFICA A SCORRIMENTO DELLA FONDAZIONE.....	130
7.3.1	CONCIO TIPO AD ARCHI – SITUAZIONE CON RIEMPIMENTO.....	130
7.3.2	SCATOLARE “A” + SOTTOVIA (LATO CANCELLO).....	137
7.3.3	SCATOLARE “B” (LATO BENEVENTO).....	148
7.4	CALCOLO DEI CEDIMENTI DELLA FONDAZIONE.....	159
7.4.1	CONCIO TIPO AD ARCHI – SITUAZIONE CON RIEMPIMENTO.....	159
7.4.2	SCATOLARE “A” + SOTTOVIA (LATO CANCELLO).....	163
7.4.3	SCATOLARE “B” (LATO BENEVENTO).....	167

  	ITINERARIO NAPOLI – BARI RADDOPPIO TRATTA CANCELLO – BENEVENTO I° LOTTO FUNZIONALE CANCELLO - FRASSO TELESINO E VARIANTE ALLA LINEA ROMA-NAPOLI VIA CASSINO NEL COMUNE DI MADDALONI – PROGETTO ESECUTIVO												
Relazione Geotecnica di calcolo delle fondazioni	<table border="1"> <thead> <tr> <th>COMMESSA</th> <th>LOTTO</th> <th>CODIFICA</th> <th>DOCUMENTO</th> <th>REV.</th> <th>FOGLIO</th> </tr> </thead> <tbody> <tr> <td>IF1N</td> <td>01 E ZZ</td> <td>CL</td> <td>VI0300 002</td> <td>D</td> <td>4 di 170</td> </tr> </tbody> </table>	COMMESSA	LOTTO	CODIFICA	DOCUMENTO	REV.	FOGLIO	IF1N	01 E ZZ	CL	VI0300 002	D	4 di 170
COMMESSA	LOTTO	CODIFICA	DOCUMENTO	REV.	FOGLIO								
IF1N	01 E ZZ	CL	VI0300 002	D	4 di 170								

1 PREMESSA

Nell'ambito dell'itinerario Napoli-Bari si inserisce il *Raddoppio della Tratta Canello-Benevento – 1° Lotto Funzionale Canello-Frasso Telesino e Variante alla Linea Roma-Napoli Via Cassino di Maddaloni* (compreso il *Collegamento Merci con lo scalo di Marcianise – Collegamento Benevento-Marcianise*) ed *Interconnessione Nord su LS Roma-Napoli via Cassino*, oggetto di progettazione esecutiva.

Nella presente relazione si riporta il dimensionamento geotecnico delle fondazioni superficiali previste per il Viadotto VI03 - Cantinella dal km 12+245.242 al km 12+407.188.

Per lo schema geotecnico di riferimento, in base al quale sono stati effettuati i calcoli di dimensionamento, si rimanda al capitolo 3.

Per ciò che riguarda i carichi trasmessi dalla sovrastruttura e agenti in fondazione, si rimanda a:

- VI03 - Relazione di calcolo – 1 di 2 (elaborato IF1N01EZZCLVI0300001A) – Doc Rif. [15];
- VI03 - Relazione di calcolo – 2 di 2 (elaborato IF1N01EZZCLVI0300003A) – Doc Rif. [16];

   	ITINERARIO NAPOLI – BARI RADDOPPIO TRATTA CANCELLO – BENEVENTO I° LOTTO FUNZIONALE CANCELLO - FRASSO TELESINO E VARIANTE ALLA LINEA ROMA-NAPOLI VIA CASSINO NEL COMUNE DI MADDALONI – PROGETTO ESECUTIVO												
Relazione Geotecnica di calcolo delle fondazioni	<table border="1"> <thead> <tr> <th>COMMESSA</th> <th>LOTTO</th> <th>CODIFICA</th> <th>DOCUMENTO</th> <th>REV.</th> <th>FOGLIO</th> </tr> </thead> <tbody> <tr> <td>IF1N</td> <td>01 E ZZ</td> <td>CL</td> <td>VI0300 002</td> <td>D</td> <td>5 di 170</td> </tr> </tbody> </table>	COMMESSA	LOTTO	CODIFICA	DOCUMENTO	REV.	FOGLIO	IF1N	01 E ZZ	CL	VI0300 002	D	5 di 170
COMMESSA	LOTTO	CODIFICA	DOCUMENTO	REV.	FOGLIO								
IF1N	01 E ZZ	CL	VI0300 002	D	5 di 170								

2 NORMATIVA E DOCUMENTAZIONE DI RIFERIMENTO

Di seguito si riportano i riferimenti delle normative prese in considerazione per lo sviluppo delle analisi e delle verifiche in oggetto:

- [1] Decreto Ministeriale del 14 gennaio 2008: “Approvazione delle Nuove Norme Tecniche per le Costruzioni”, G.U. n.29 del 04.2.2008, Supplemento Ordinario n.30.
- [2] Circolare 2 febbraio 2009, n. 617 - Istruzioni per l'applicazione delle “Nuove norme tecniche per le costruzioni” di cui al D.M. 14 gennaio 2008.
- [3] DM 06.05.2008 – Integrazione al D.M. 14.01.2008 di approvazione delle nuove Norme Tecniche per le Costruzioni.
- [4] RFI DTC INC PO SP IFS 001 A del 21.12.2011- Specifica per la progettazione e l'esecuzione dei ponti ferroviari e di altre opere minori sotto binario;
- [5] RFI DTC INC CS SP IFS 001 A del 21.12.2011 Specifica per la progettazione geotecnica delle opere civili ferroviarie;
- [6] RFI DTC INC CS LG IFS 001 A del 21.12.2011 Linee guida per il collaudo statico delle opere in terra;
- [7] RFI DTC INC PO SP IFS 002 A del 21.12.2011 Specifica per la progettazione e l'esecuzione di cavalcavia e passerelle pedonali;
- [8] 1299/2014/UE Specifiche tecniche d'interoperabilità per il sottosistema “Infrastruttura” del sistema ferroviario dell'Unione Europea (18/11/2014);
- [9] UNI EN 1997-1: Eurocodice 7 – Progettazione geotecnica – Parte 1: Regole generali;
- [10] UNI EN 1998-5: Eurocodice 8 – Progettazione delle strutture per la resistenza sismica – Parte 5: Fondazioni, strutture di contenimento ed aspetti geotecnici;
- [11] Raccomandazioni sulla Programmazione ed Esecuzione delle Indagini Geotecniche – Associazione Geotecnica Italiana – Giugno 1977;
- [12] Raccomandazione AGI relative ai pali di fondazione – Associazione Geotecnica Italiana – Dicembre 1984;
- [13] Raccomandazioni sulle Prove Geotecniche di Laboratorio – Associazione Geotecnica Italiana – Giugno 1994;
- [14] Brinch Hansen J. (1970) "A revised and extended formula for bearing capacity" Bulletin n°28, Danish Geotechnical Institute, Copenhagen;
- [15] VI03 - Relazione di calcolo – 1 di 2 (elaborato IF1N01EZZCLIV0300001A);
- [16] VI03 - Relazione di calcolo – 2 di 2 (elaborato IF1N01EZZCLIV0300003A).

	ITINERARIO NAPOLI – BARI RADDOPPIO TRATTA CANCELLO – BENEVENTO I° LOTTO FUNZIONALE CANCELLO - FRASSO TELESINO E VARIANTE ALLA LINEA ROMA-NAPOLI VIA CASSINO NEL COMUNE DI MADDALONI – PROGETTO ESECUTIVO												
Relazione Geotecnica di calcolo delle fondazioni	<table border="1"> <thead> <tr> <th>COMMESSA</th> <th>LOTTO</th> <th>CODIFICA</th> <th>DOCUMENTO</th> <th>REV.</th> <th>FOGLIO</th> </tr> </thead> <tbody> <tr> <td>IF1N</td> <td>01 E ZZ</td> <td>CL</td> <td>VI0300 002</td> <td>D</td> <td>6 di 170</td> </tr> </tbody> </table>	COMMESSA	LOTTO	CODIFICA	DOCUMENTO	REV.	FOGLIO	IF1N	01 E ZZ	CL	VI0300 002	D	6 di 170
COMMESSA	LOTTO	CODIFICA	DOCUMENTO	REV.	FOGLIO								
IF1N	01 E ZZ	CL	VI0300 002	D	6 di 170								

3 CARATTERIZZAZIONE GEOTECNICA E SCHEMA DI CALCOLO

Lo schema geotecnico di riferimento per l'opera in oggetto è stato ricavato dalla specifica indagine eseguita nell'ambito della campagna di indagini geotecniche del Progetto Esecutivo.

Per il sito di interesse, questa campagna di indagini è consistita in:

- ✓ 1 sondaggio a carotaggio continuo (PE-S28) della lunghezza di 40m, con 7 prove SPT, prelievo di un campione indisturbato e 3 spezzoni di carote di tufo litoide;
- ✓ 1 sondaggio a carotaggio continuo (PE-S41) della lunghezza di 20 m con 7 prove SPT, prelievo di 3 campioni indisturbati e 2 prove pressiometriche nel tufo litoide;
- ✓ 4 prove penetrometriche statiche continue (PE-PC35-36-38-39) della lunghezza da 8 a 30m circa, con attrezzatura che consente il cambio della modalità di avanzamento da statica a dinamica;
- ✓ allestimento del foro PE-S24 (40m) per prova down hole;
- ✓ allestimento del foro PE-S41 (20m) con piezometro a tubo aperto.

L'ubicazione delle indagini è mostrata nello stralcio seguente.



Fig. 1. Stralcio della planimetria con ubicazione delle indagini

I sondaggi, nelle grandi linee, hanno confermato la successione stratigrafica delineata nel progetto definitivo, ma con alcune differenze nell'ambito degli strati più superficiali. In particolare entrambi i sondaggi hanno attraversato uno strato superficiale di piroclastiti sciolte, a granulometria variabile da limo-argillosa a limo-sabbiosa e sabbiosa, interessate da un elevato grado di pedogenizzazione e argillificazione almeno fino alla profondità di 5m. Lo spessore di queste piroclastiti varia da 8m nel sondaggio PE-S28 a 9.8m nel sondaggio PE-S41.

Tale strato è stato attraversato anche dalle prove penetrometriche che hanno accertato spessori variabili tra 8 e 9m prima di incontrare il tufo litoide (una delle prove penetrometriche ha attraversato con metodo dinamico il tufo litoide e poi è proseguita con metodo statico nelle piroclastiti sottostanti fino a 30m).

Al di sotto è presente uno strato di tufo litoide (Tufo Grigio Campano in facies litoide) di spessore variabile da 3.1m (PE-S28) a 4.2m. Questo tufo presenta sempre uno strato di alterazione superficiale ("cappellaccio"), di circa un metro di spessore, nel quale il materiale si presenta friabile e disgregato.

Al di sotto del tufo litoide i sondaggi hanno attraversato una potente successione di piroclastiti a grana sabbioso-limoso, di colore grigio, attribuibile al classico Tufo Grigio Campano in "facies sciolta". Nel sondaggio più profondo PE-S28 le piroclastiti grigie sono state attraversate fino a 36.5m e appoggiano su uno strato di sabbie e ghiaie (calcaree) alluvionali, appartenenti alla formazione fluvio-lacustre precedente alla fase vulcanica.

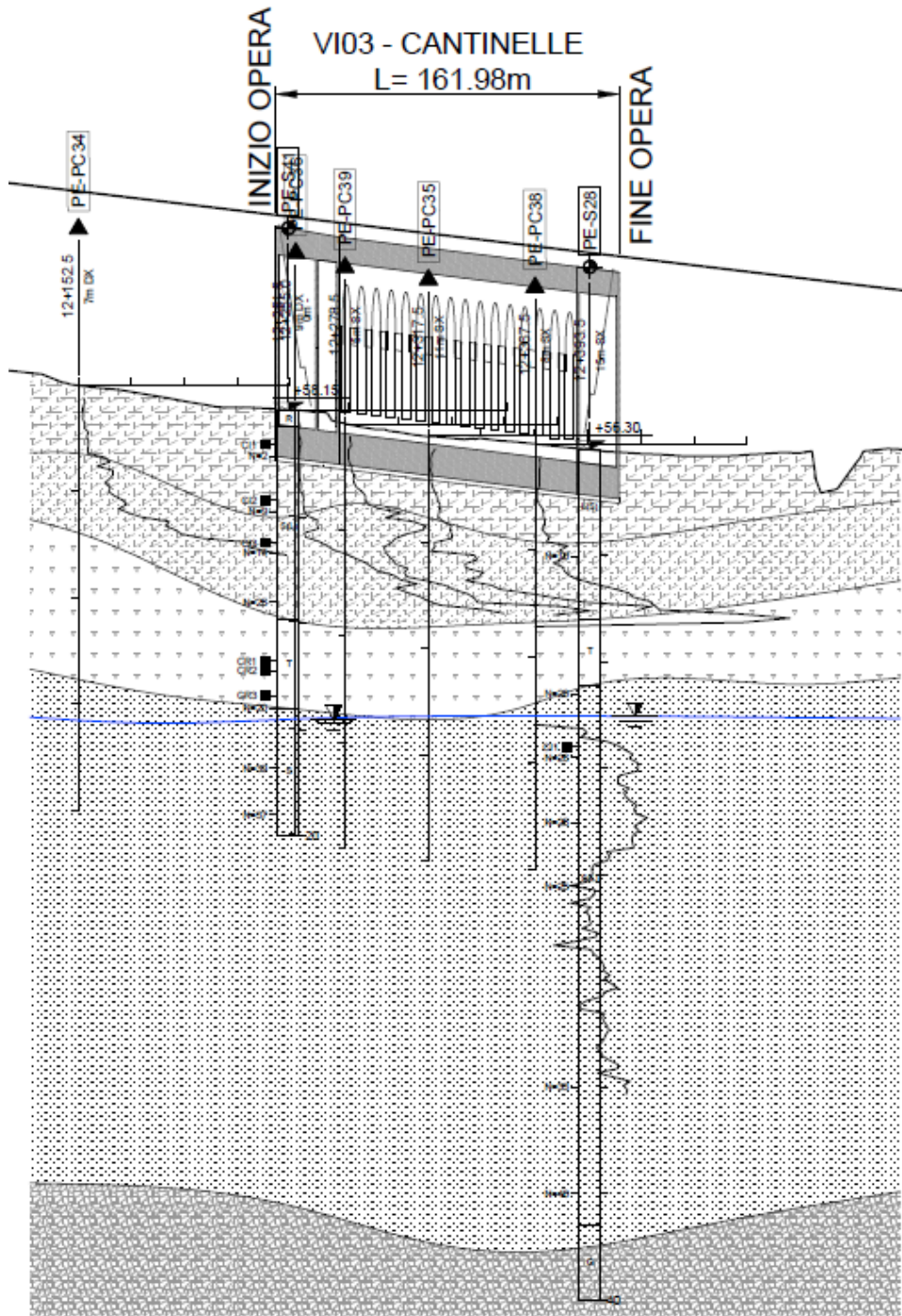


Fig. 2. Stralcio del profilo geotecnico

Si delinea quindi uno schema geotecnico a 4 strati:

- | | |
|-------------|---|
| 0÷7-9m | Piroclastiti superficiali |
| 7-9÷11-14m | Tufo giallo litoide |
| 11-14÷36.5m | Tufo grigio campano in "facies sciolta" |
| >36.5m | Sabbie e ghiaie alluvionali |

La profondità della falda è stata misurata nel piezometro PE-S41 a circa 15m dal p.c..

   	ITINERARIO NAPOLI – BARI RADDOPPIO TRATTA CANCELLO – BENEVENTO I° LOTTO FUNZIONALE CANCELLO - FRASSO TELESINO E VARIANTE ALLA LINEA ROMA-NAPOLI VIA CASSINO NEL COMUNE DI MADDALONI – PROGETTO ESECUTIVO												
Relazione Geotecnica di calcolo delle fondazioni	<table border="1"> <tr> <td>COMMESSA</td> <td>LOTTO</td> <td>CODIFICA</td> <td>DOCUMENTO</td> <td>REV.</td> <td>FOGLIO</td> </tr> <tr> <td>IF1N</td> <td>01 E ZZ</td> <td>CL</td> <td>VI0300 002</td> <td>D</td> <td>8 di 170</td> </tr> </table>	COMMESSA	LOTTO	CODIFICA	DOCUMENTO	REV.	FOGLIO	IF1N	01 E ZZ	CL	VI0300 002	D	8 di 170
COMMESSA	LOTTO	CODIFICA	DOCUMENTO	REV.	FOGLIO								
IF1N	01 E ZZ	CL	VI0300 002	D	8 di 170								

3.1 PIROCLASTITI SUPERFICIALI

Per la caratterizzazione geotecnica di questi terreni si hanno a disposizione i risultati delle prove geotecniche su 3 campioni indisturbati e su uno disturbato (da SPT), i cui risultati sono riportati nella tabella seguente, e i dati delle prove penetrometriche statiche continue.

Tabella 1. Risultati delle prove di laboratorio sulle piroclastiti superficiali

Sond. Camp.	Prof. (m)	γ (kN/m ³)	w (%)	LL (%)	LP (%)	IP (%)	G (%)	S (%)	L (%)	A (%)	c' (kPa)	ϕ (°)	Cu (kPa)	M (MPa)
PE-S41 CI1	1.60 2.10	12.91	101				5.6	28.0	57.6	8.8			55.1	2.7
PE-S41 CI2	4.20 4.70	16.38	41				6.6	39.9	30.3	23.2			79.6	6.5
PE-S41 CI3	6.20 6.70	14.55	16				22.7	69.0	8.3	0	38.1			
PE-S41 SPT1	5.00 5.45	16.38	41	37.7	21.3	16.3	1.3	60.0	28.1	10.7				

γ : peso di volume

w: contenuto naturale d'acqua

LL: limite liquido

LP: limite plastico

IP: indice di plasticità

G: frazione ghiaiosa

S: frazione sabbiosa

L: frazione limosa

A: frazione argillosa

c': coesione drenata (in tensioni efficaci)

ϕ : angolo di attrito

cu: coesione non drenata (in tensioni totali)

M: modulo edometrico

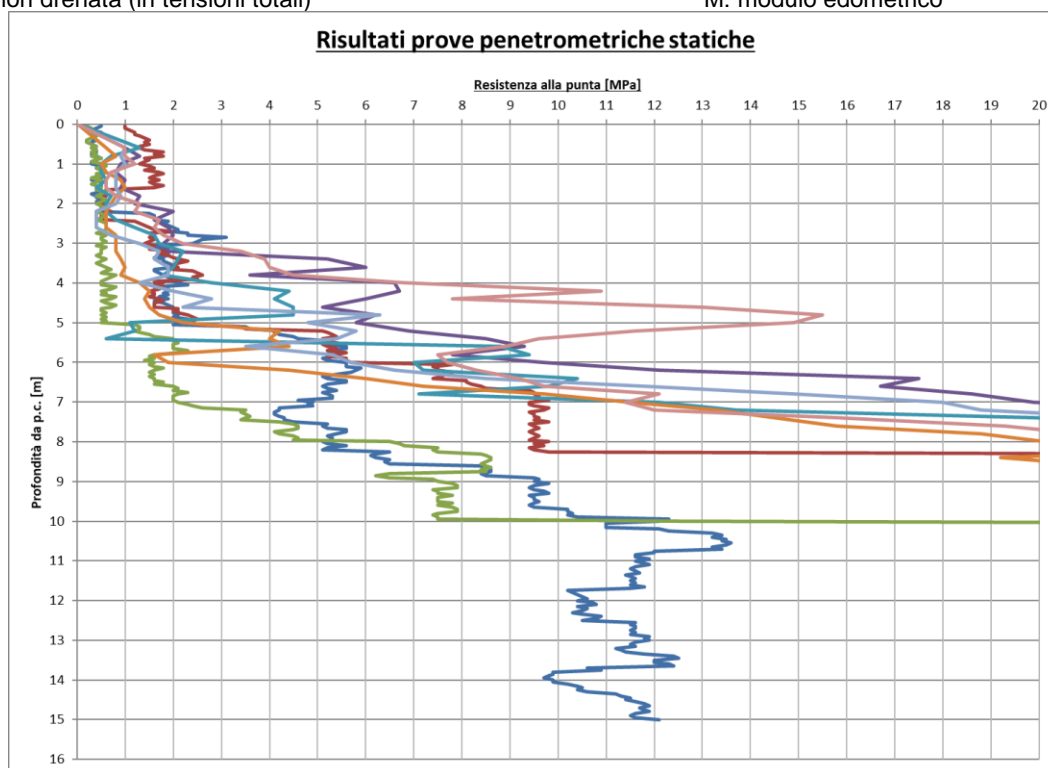


Fig. 3. Risultati delle prove penetrometriche statiche continue

Dai risultati delle prove di laboratorio, associati alla descrizione stratigrafica dei sondaggi e alle diagrafie delle prove penetrometriche, si delinea la presenza, nell'ambito dello strato di piroclastiti superficiali, di una prima porzione superficiale a granulometria limo-argillosa-sabbiosa, con un mediocre stato di addensamento, e uno strato più profondo, di passaggio al sottostante tufo litoide, in cui la granulometria diventa più sabbiosa e lo stato di addensamento progressivamente maggiore.

	ITINERARIO NAPOLI – BARI RADDOPPIO TRATTA CANCELLO – BENEVENTO I° LOTTO FUNZIONALE CANCELLO - FRASSO TELESINO E VARIANTE ALLA LINEA ROMA-NAPOLI VIA CASSINO NEL COMUNE DI MADDALONI – PROGETTO ESECUTIVO												
Relazione Geotecnica di calcolo delle fondazioni	<table border="1"> <thead> <tr> <th>COMMESSA</th> <th>LOTTO</th> <th>CODIFICA</th> <th>DOCUMENTO</th> <th>REV.</th> <th>FOGLIO</th> </tr> </thead> <tbody> <tr> <td>IF1N</td> <td>01 E ZZ</td> <td>CL</td> <td>VI0300 002</td> <td>D</td> <td>9 di 170</td> </tr> </tbody> </table>	COMMESSA	LOTTO	CODIFICA	DOCUMENTO	REV.	FOGLIO	IF1N	01 E ZZ	CL	VI0300 002	D	9 di 170
COMMESSA	LOTTO	CODIFICA	DOCUMENTO	REV.	FOGLIO								
IF1N	01 E ZZ	CL	VI0300 002	D	9 di 170								

Questa suddivisione è evidente dal profilo geotecnico (di cui è stato riportato uno stralcio nella figura precedente). Le prove SPT confermano la suddetta distinzione con valori di N_{SPT} molto bassi nel primo strato limo-argilloso (N_{SPT} pari a 2 e 9) e progressivamente maggiori nello strato piroclastico sabbioso più profondo (N_{SPT} pari a 14, 18 e 25).

In questi terreni il peso di volume è risultato molto basso (tra 13 e 16.5 kN/m³ circa) con valori tipici di materiali piroclastici molto porosi (quindi a struttura fragile e soggetta a "schiacciamento").

Caratteristiche di resistenza

La coesione non drenata nelle piroclastiti limo-argillose è risultata, dalle prove di laboratorio, mediamente bassa (circa 50 e 80 kPa).

Ulteriori dati possono essere ricavati dalle prove penetrometriche statiche che hanno evidenziato valori di resistenza alla punta molto bassi, generalmente nel campo tra 1 e 2 MPa negli strati superficiali limo-argillosi (ma anche con tratti inferiori a 1 MPa) e gradualmente crescenti con la profondità. Nella figura 3 sono riportati i grafici di tutte le prove eseguite. Per avere maggiore contezza degli effettivi valori riscontrati, per questa zona le prove sono state ripetute anche con una diversa macchina; i grafici riportano quindi l'insieme delle prove.

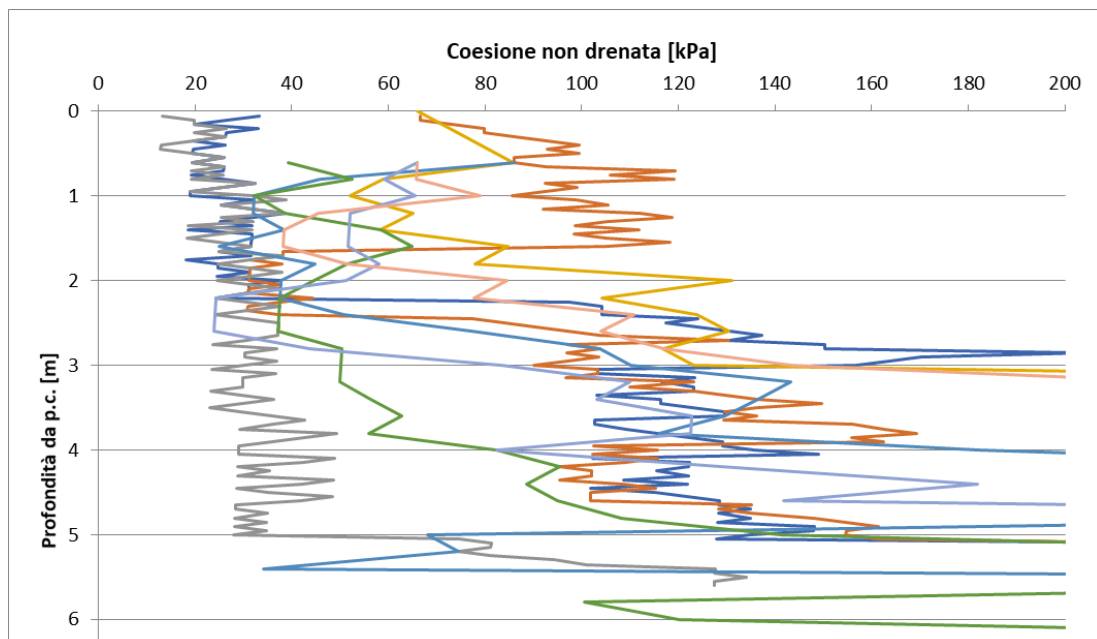
Dai valori di resistenza penetrometrica si possono ricavare, tramite opportune correlazioni, alcuni parametri geotecnici (in particolare coesione non drenata e modulo di deformabilità confinato). I risultati di queste correlazioni sono riportati nei grafici seguenti (evidenziati per gli strati più soffici fino a 5-6 m dal p.c).

La relazione proposta da Lunne e Eide per la stima della coesione non drenata è la seguente:

$$c_u = \frac{Q_c - \sigma}{N_k}$$

Dove σ è la tensione litostatica e N_k un coefficiente empirico che varia tra 8 e 20. Un valore pari a 15 (per terreni con valori di plasticità assimilabili a quelli in esame) risulta quello più applicabile.

I valori così ottenuti sono molto variabili in relazione alla variabilità della resistenza alla punta nell'ambito della stessa verticale, ma anche delle diverse verticali di indagine. In ogni caso i valori più frequenti ricadono nel campo tra 50 e 80 MPa, analogo quindi a quello misurato con le prove di laboratorio. Le penetrometriche individuano però valori anche molto inferiori a 50 kPa (tra 20 e 30 kPa) che devono essere tenute in considerazione nel modello generale che superi la puntualità delle due prove di laboratorio eseguite.



	ITINERARIO NAPOLI – BARI RADDOPPIO TRATTA CANCELLO – BENEVENTO I° LOTTO FUNZIONALE CANCELLO - FRASSO TELESINO E VARIANTE ALLA LINEA ROMA-NAPOLI VIA CASSINO NEL COMUNE DI MADDALONI – PROGETTO ESECUTIVO												
Relazione Geotecnica di calcolo delle fondazioni	<table border="1"> <thead> <tr> <th>COMMESSA</th> <th>LOTTO</th> <th>CODIFICA</th> <th>DOCUMENTO</th> <th>REV.</th> <th>FOGLIO</th> </tr> </thead> <tbody> <tr> <td>IF1N</td> <td>01 E ZZ</td> <td>CL</td> <td>VI0300 002</td> <td>D</td> <td>10 di 170</td> </tr> </tbody> </table>	COMMESSA	LOTTO	CODIFICA	DOCUMENTO	REV.	FOGLIO	IF1N	01 E ZZ	CL	VI0300 002	D	10 di 170
COMMESSA	LOTTO	CODIFICA	DOCUMENTO	REV.	FOGLIO								
IF1N	01 E ZZ	CL	VI0300 002	D	10 di 170								

Fig. 4. Valori di coesione non drenata ricavati dalle prove penetrometriche statiche continue

In tensioni efficaci, considerando la classica correlazione tra N_{SPT} e angolo di attrito

$$\varphi = \sqrt{15N_{SPT}} + 15$$

con un valore rappresentativo di N_{SPT} pari a 9 si otterrebbe un valore di angolo di attrito di circa 26° , da considerare rappresentativo per materiali di siffatta natura.

Nelle piroclastiti sabbiose la prova di taglio diretto ha fornito un valore di angolo di attrito elevato ($\varphi=38^\circ$), congruente con i valori di angolo di attrito ricavabili dalla stessa correlazione citata con le prove SPT (assumendo il più elevato dei valori misurati).

Valori inferiori (tra 30 e 35°) si ricavano con gli altri valori di N_{SPT} misurati e possono considerarsi rappresentativi di materiali a granulometria meno grossolana nell'ambito dello stesso strato.

Caratteristiche di deformabilità

Le prove edometriche hanno fornito valori del modulo M di 2.7 e 6.5 MPa.

La relazione di Mitchell e Gardner per la stima del modulo edometrico a partire dalle prove penetrometriche statiche è: $M = \alpha \cdot Q_c$

Sanglerat indica valori di α tra 1 e 3 per terreni tipo ML e $Q_c < 2$ MPa. Assumendo anche il maggiore dei valori indicati si avrebbe, con un range di valori di resistenza alla punta Q_c tra 1 e 2 MPa, in campo di valori del modulo M tra 3 e 6 MPa, quindi in linea con i risultati delle prove di laboratorio.

Nel grafico seguente si riportano i valori di M ricavati con la suddetta correlazione utilizzando tutte le verticali di indagine.

	ITINERARIO NAPOLI – BARI RADDOPPIO TRATTA CANCELLO – BENEVENTO I° LOTTO FUNZIONALE CANCELLO - FRASSO TELESINO E VARIANTE ALLA LINEA ROMA-NAPOLI VIA CASSINO NEL COMUNE DI MADDALONI – PROGETTO ESECUTIVO												
Relazione Geotecnica di calcolo delle fondazioni	<table border="1"> <thead> <tr> <th>COMMESSA</th> <th>LOTTO</th> <th>CODIFICA</th> <th>DOCUMENTO</th> <th>REV.</th> <th>FOGLIO</th> </tr> </thead> <tbody> <tr> <td>IF1N</td> <td>01 E ZZ</td> <td>CL</td> <td>VI0300 002</td> <td>D</td> <td>11 di 170</td> </tr> </tbody> </table>	COMMESSA	LOTTO	CODIFICA	DOCUMENTO	REV.	FOGLIO	IF1N	01 E ZZ	CL	VI0300 002	D	11 di 170
COMMESSA	LOTTO	CODIFICA	DOCUMENTO	REV.	FOGLIO								
IF1N	01 E ZZ	CL	VI0300 002	D	11 di 170								

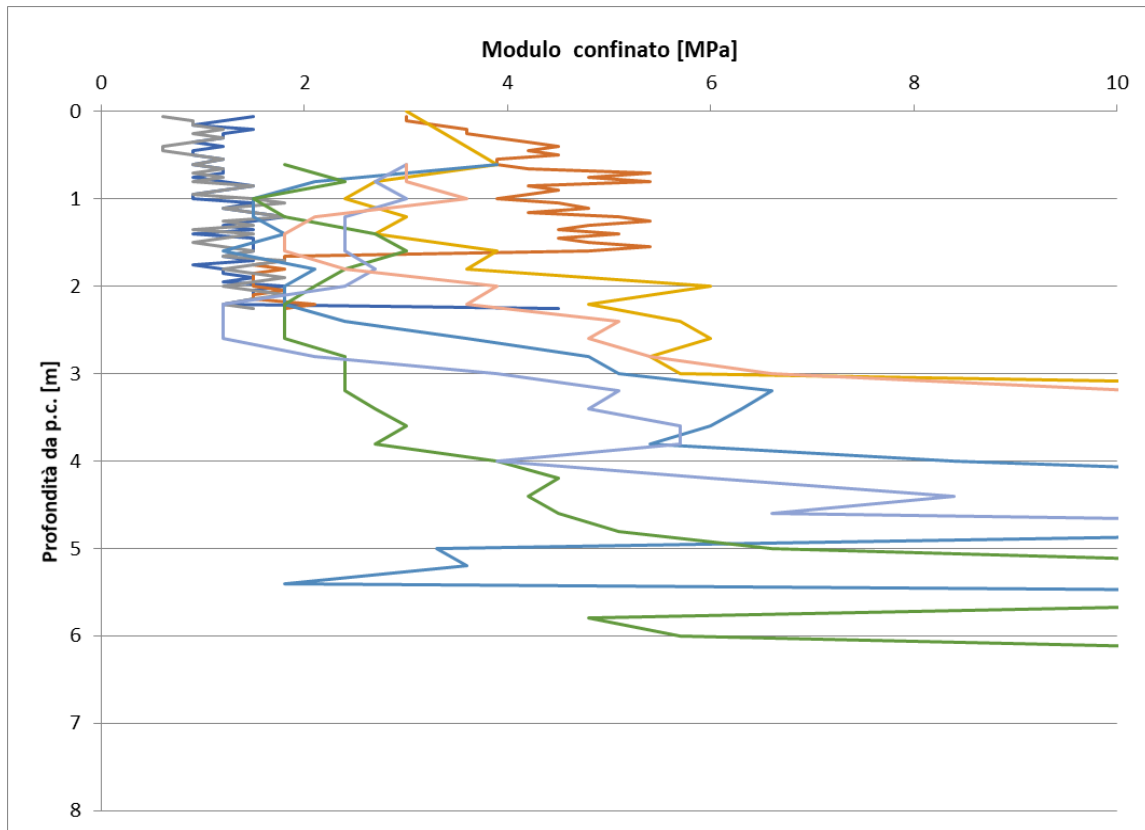


Fig. 5. Valori del modulo confinato ricavati dalle prove penetrometriche statiche continue

Da questo grafico si evidenziano valori del modulo confinato molto bassi (fino a 1 MPa) nei primi 2m di profondità e quindi valori più elevati (spesso nel campo $M = 3\div 6$ MPa) fino a 5-6m, dove sono presente le piroclastiti sabbiose.

Per le piroclastiti sabbiose una stima del modulo di deformabilità si può ricavare dalle correlazioni con le prove SPT.

Correlazioni proposte da D'Appolonia et al. (1970)

$$E = 0.756 N_{SPT} + 18.75 \quad (\text{MPa}) \text{ valida per sabbia e ghiaia NC}$$

Correlazione proposta in Pasqualini: Standard Penetration Test (Politecnico di Torino 1983)

La seguente correlazione interpola i risultati di correlazioni tra prove SPT e prove pressiometriche eseguite da Tornaghi, Franke, Ghionna-Lancellotta-Maniscalco, Albert-Hegg-Manassero.

$$E = B\sqrt{N_{SPT}} \quad \text{con } B = 7\text{MPa}$$

Da queste correlazioni, considerando un campo rappresentativo di N_{SPT} tra 15 e 25, risulta un campo di valori del modulo di elasticità E tra 30 e 35 MPa.

3.2 TUFO GIALLO LITOIDE

Sulle tre carote analizzate in laboratorio si sono ottenuti valori del peso di volume molto basso (11.75, 11.8 e 12.2 kN/m^3) tipici di tufi vulcanici molto vacuolari.

Il valore della resistenza a compressione è risultato 2.97, 3.41 e 3.54 MPa, in linea con i dati di letteratura.

  	ITINERARIO NAPOLI – BARI RADDOPPIO TRATTA CANCELLO – BENEVENTO I° LOTTO FUNZIONALE CANCELLO - FRASSO TELESINO E VARIANTE ALLA LINEA ROMA-NAPOLI VIA CASSINO NEL COMUNE DI MADDALONI – PROGETTO ESECUTIVO												
Relazione Geotecnica di calcolo delle fondazioni	<table border="1" style="width: 100%; text-align: center;"> <tr> <td>COMMESSA</td> <td>LOTTO</td> <td>CODIFICA</td> <td>DOCUMENTO</td> <td>REV.</td> <td>FOGLIO</td> </tr> <tr> <td>IF1N</td> <td>01 E ZZ</td> <td>CL</td> <td>VI0300 002</td> <td>D</td> <td>12 di 170</td> </tr> </table>	COMMESSA	LOTTO	CODIFICA	DOCUMENTO	REV.	FOGLIO	IF1N	01 E ZZ	CL	VI0300 002	D	12 di 170
COMMESSA	LOTTO	CODIFICA	DOCUMENTO	REV.	FOGLIO								
IF1N	01 E ZZ	CL	VI0300 002	D	12 di 170								

I valori del modulo secante e tangente sulle carote sono risultati simili (come avviene su rocce fragili) e nel campo tra 2.19 e 2.87 GPa.

3.3 TUFO GRIGIO CAMPANO IN FACIES SCIOLTA

Per questi terreni sono disponibili i risultati delle prove di laboratorio su un campione indisturbato e su due disturbati (da SPT).

Tabella 2. Risultati delle prove di laboratorio sulle piroclastiti del tufo grigio campano in facies sciolta

Sond. Camp.	Prof. (m)	γ (kN/m ³)	w (%)	LL (%)	LP (%)	IP (%)	G (%)	S (%)	L (%)	A (%)	c' (kPa)	φ (°)
PE-S28 CI1	14.00 14.50	16.41	38.6	nd	nd	np	12.0	57.2	27.9	2.8	31	38
PE-S28 SPT2	11.50- 11.95			nd	nd	np	15.2	56.6	28.1			
PE-S41 SPT4	17.50 17.95			nd	nd	np	9.5	55.1	31.1	4.2		

N.B. Stesso significato dei simboli della tabella precedente

Considerata la natura prevalentemente incoerente di questi terreni, una stima dei parametri geotecnici può essere ricavata dalle prove SPT. Queste hanno fornito valori variabili tra 20 e 46 con una chiara tendenza all'aumento dei valori con la profondità (vedi grafico successivo). I valori nell'ambito di profondità di maggiore interesse variano comunque tra 20 e 30.

Utilizzando le correlazioni prima citate si otterrebbe un valore di angolo di attrito tra 32° e 36° e un valore del modulo E tra 30 e 50 MPa.

Poiché le correlazioni di letteratura per le prove SPT sono state ricavate per terreni sedimentari (sabbie), i valori ottenuti su terreni piroclastici (che mostrano comportamenti caratteristici legati alla forte porosità, all'estrema irregolarità dei grani con mutua indentazione che simula una "pseudo-cementazione, comportamento fragile) dovrebbero essere presi con una certa cautela.

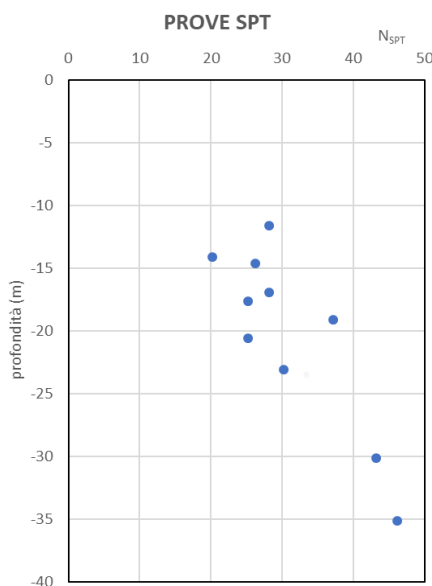


Fig. 6. Risultati delle prove SPT nel tufo grigio campano in facies sciolta

   	ITINERARIO NAPOLI – BARI RADDOPPIO TRATTA CANCELLO – BENEVENTO I° LOTTO FUNZIONALE CANCELLO - FRASSO TELESINO E VARIANTE ALLA LINEA ROMA-NAPOLI VIA CASSINO NEL COMUNE DI MADDALONI – PROGETTO ESECUTIVO												
Relazione Geotecnica di calcolo delle fondazioni	<table border="1"> <tr> <td>COMMESSA</td> <td>LOTTO</td> <td>CODIFICA</td> <td>DOCUMENTO</td> <td>REV.</td> <td>FOGLIO</td> </tr> <tr> <td>IF1N</td> <td>01 E ZZ</td> <td>CL</td> <td>VI0300 002</td> <td>D</td> <td>13 di 170</td> </tr> </table>	COMMESSA	LOTTO	CODIFICA	DOCUMENTO	REV.	FOGLIO	IF1N	01 E ZZ	CL	VI0300 002	D	13 di 170
COMMESSA	LOTTO	CODIFICA	DOCUMENTO	REV.	FOGLIO								
IF1N	01 E ZZ	CL	VI0300 002	D	13 di 170								

3.4 PARAMETRI GEOTECNICI

Dall'insieme dei dati prima commentati, le varie unità geotecniche possono essere caratterizzate dal seguente campo di valori (da assumere come "valori caratteristici" ai sensi del DM 14/1/2008).

Tabella 3. Parametri geotecnici (valori caratteristici) delle unità geotecniche

Parametri	Strato 1a	Strato 1b	Strato 2	Strato 3	Strato 4
	Piroclastiti limo-argillose	Piroclastiti sabbiose	Tufo litoide giallo	Tufo grigio sciolto	Sabbie e ghiaie
γ_t (kN/m ³)	16.0	15.0	12.0	16.0 – 17.0	19.0
GSI	-	-	35	-	-
σ_c (MPa)	-	-	3	-	-
m_i (-)	-	-	13	-	-
ϕ' (°)	26	30-35	35	32 - 35	35
c' (kPa)	0	0	20	0	0
c_u (kPa)	30 – 80	-	-	-	-
E' (MPa)		30-35	1000	30-50	50-100
M (MPa)	2-6	-	-	-	-

4 DESCRIZIONE DELLA STRUTTURA

Le fondazioni dell'opera sono di tipo diretto. Nella tabella che segue si sintetizzano le dimensioni geometriche, sulla base delle quali sono state effettuate le verifiche.

	Dimensioni fondazione BxL (m)	Approfondimento fondazione rispetto a p.c. (m)
SCATOLARE "A" + SOTTOVIA (lato Cannello)	13.7 x 30.0	2.5
CONCIO TIPO AD ARCHI - 01	13.7 x 28.0	2.5
CONCIO TIPO AD ARCHI - 02	13.7 x 28.0	2.5
CONCIO TIPO AD ARCHI - 03	13.7 x 28.0	2.5
CONCIO TIPO AD ARCHI - 04	13.7 x 28.0	2.5
SCATOLARE "B" (lato Benevento)	13.7 x 20.0	2.5

	ITINERARIO NAPOLI – BARI RADDOPPIO TRATTA CANCELLO – BENEVENTO I° LOTTO FUNZIONALE CANCELLO - FRASSO TELESINO E VARIANTE ALLA LINEA ROMA-NAPOLI VIA CASSINO NEL COMUNE DI MADDALONI – PROGETTO ESECUTIVO												
Relazione Geotecnica di calcolo delle fondazioni	<table border="1"> <tr> <td>COMMESSA</td> <td>LOTTO</td> <td>CODIFICA</td> <td>DOCUMENTO</td> <td>REV.</td> <td>FOGLIO</td> </tr> <tr> <td>IF1N</td> <td>01 E ZZ</td> <td>CL</td> <td>VI0300 002</td> <td>D</td> <td>14 di 170</td> </tr> </table>	COMMESSA	LOTTO	CODIFICA	DOCUMENTO	REV.	FOGLIO	IF1N	01 E ZZ	CL	VI0300 002	D	14 di 170
COMMESSA	LOTTO	CODIFICA	DOCUMENTO	REV.	FOGLIO								
IF1N	01 E ZZ	CL	VI0300 002	D	14 di 170								

5 CARICHI AGENTI IN FONDAZIONE

I valori delle sollecitazioni di progetto agenti in fondazione ed utilizzati nelle verifiche fanno riferimento a quanto riportato nella:

- VI03 - Relazione di calcolo – 1 di 2 (elaborato IF1N01EZZCLIV0300001A) – Doc Rif. [15];
- VI03 - Relazione di calcolo – 2 di 2 (elaborato IF1N01EZZCLIV0300003A) – Doc Rif. [16].

Le combinazioni sintetizzate di seguito di riferiscono al baricentro dell'intradosso della fondazione. Le combinazioni SLU-GEO (combinazioni statiche) e SLV-GEO (combinazioni sismiche) si riferiscono all'Approccio di calcolo 1 – Comb. 2, ai sensi del DM 14/01/2008 §6.4.2.1 (nelle combinazioni sismiche si assumono unitari i coefficienti parziali per le azioni).

5.1 CONCIO TIPO AD ARCHI (01-02-03-04)

Ai fini delle verifiche geotecniche, è stata considerata esclusivamente la situazione che prevede il riempimento di terreno all'interno della struttura ad archi di altezza massima pari a 1.5 m, in quanto maggiormente gravosa rispetto alla situazione senza riempimento.

Le azioni da sommare alle combinazioni valide per la condizione 1 senza riempimento risultano:

$$N_{SLE} = \gamma_t \cdot L \cdot B \cdot H = 17 \text{ kN/m}^3 \cdot (28.0 \cdot 9.6 \cdot 1.5) \text{ m}^3 = 6854 \text{ kN}$$

$$N_{SLU_GEO} = N_{SLE} \cdot 1.3 = 6854 \text{ kN} \cdot 1.3 = 8910 \text{ kN}$$

$$N_{SLV_GEO} = N_{SLE} \cdot 1.0 = 6854 \text{ kN} \cdot 1.0 = 6854 \text{ kN}$$

Per ciò che riguarda la combinazione sismica SLV_GEO, si considera, in aggiunta, anche un'azione di taglio, con relativo momento flettente, dovuto all'inerzia del riempimento stesso.

$$k_h = \beta_m \cdot a_g / g \cdot S_s \cdot S_T = 0.284$$

$$T_{SLV_GEO} = k_h \cdot 17 \text{ kN/m}^3 \cdot (28.0 \cdot 9.6 \cdot 1.5) \text{ m}^3 = 1947 \text{ kN}$$

$$M_{SLV_GEO} = T_{SLV_GEO} \cdot (H/2 + H_{fond}) = 1947 \cdot (1.5\text{m}/2 + 1.5\text{m}) = 4380 \text{ kNm}$$

Nella tabella che segue si riportano le sollecitazioni agenti al baricentro della fondazione per le combinazioni di verifica allo SLU/SLV nelle condizioni maggiormente gravose in termini di coefficiente di sicurezza.

Per maggiori dettagli, si rimanda al capitolo d'Appendice nel quale vengono riportate tutte le combinazioni di carico analizzate.

	N [kN]	M_B [kNm]	M_L [kNm]	T_B [kN]	T_L [kN]	
SLU_GEO_063	62083	-3241	-14008	535	-1511	Per verifica a capacità portante
SLU_GEO_039	58069	-3241	14276	535	1511	Per verifica a scorrimento
SLV_SIS_037	49113	-62711	20916	13802	4141	Per verifica a capacità portante
SLV_SIS_009	49113	62711	-18792	-13802	-4141	Per verifica a scorrimento

dove:

   	ITINERARIO NAPOLI – BARI RADDOPPIO TRATTA CANCELLO – BENEVENTO I° LOTTO FUNZIONALE CANCELLO - FRASSO TELESINO E VARIANTE ALLA LINEA ROMA-NAPOLI VIA CASSINO NEL COMUNE DI MADDALONI – PROGETTO ESECUTIVO												
Relazione Geotecnica di calcolo delle fondazioni	<table border="1"> <thead> <tr> <th>COMMESSA</th> <th>LOTTO</th> <th>CODIFICA</th> <th>DOCUMENTO</th> <th>REV.</th> <th>FOGLIO</th> </tr> </thead> <tbody> <tr> <td>IF1N</td> <td>01 E ZZ</td> <td>CL</td> <td>VI0300 002</td> <td>D</td> <td>15 di 170</td> </tr> </tbody> </table>	COMMESSA	LOTTO	CODIFICA	DOCUMENTO	REV.	FOGLIO	IF1N	01 E ZZ	CL	VI0300 002	D	15 di 170
COMMESSA	LOTTO	CODIFICA	DOCUMENTO	REV.	FOGLIO								
IF1N	01 E ZZ	CL	VI0300 002	D	15 di 170								

N = sforzo assiale agente nel baricentro dell'intradosso della fondazione;

M_B = momento flettente agente all'intradosso della fondazione nella direzione del lato corto B (momento trasversale);

M_L = momento flettente agente all'intradosso della fondazione nella direzione del lato lungo L (momento longitudinale);

T_B = taglio agente all'intradosso della fondazione nella direzione del lato corto B (taglio trasversale);

T_L = taglio agente all'intradosso della fondazione nella direzione del lato lungo L (taglio longitudinale).

  	ITINERARIO NAPOLI – BARI RADDOPPIO TRATTA CANCELLO – BENEVENTO I° LOTTO FUNZIONALE CANCELLO - FRASSO TELESINO E VARIANTE ALLA LINEA ROMA-NAPOLI VIA CASSINO NEL COMUNE DI MADDALONI – PROGETTO ESECUTIVO												
Relazione Geotecnica di calcolo delle fondazioni	<table border="1" style="width: 100%; border-collapse: collapse;"> <tr> <td style="text-align: center;">COMMESSA</td> <td style="text-align: center;">LOTTO</td> <td style="text-align: center;">CODIFICA</td> <td style="text-align: center;">DOCUMENTO</td> <td style="text-align: center;">REV.</td> <td style="text-align: center;">FOGLIO</td> </tr> <tr> <td style="text-align: center;">IF1N</td> <td style="text-align: center;">01 E ZZ</td> <td style="text-align: center;">CL</td> <td style="text-align: center;">VI0300 002</td> <td style="text-align: center;">D</td> <td style="text-align: center;">16 di 170</td> </tr> </table>	COMMESSA	LOTTO	CODIFICA	DOCUMENTO	REV.	FOGLIO	IF1N	01 E ZZ	CL	VI0300 002	D	16 di 170
COMMESSA	LOTTO	CODIFICA	DOCUMENTO	REV.	FOGLIO								
IF1N	01 E ZZ	CL	VI0300 002	D	16 di 170								

5.2 SCATOLARE “A” + SOTTOVIA (LATO CANCELLO)

Nella tabella che segue si riportano le sollecitazioni agenti al baricentro della fondazione per le combinazioni di verifica allo SLU/SLV nelle condizioni maggiormente gravose in termini di coefficiente di sicurezza.

Per maggiori dettagli, si rimanda all'Appendice dove vengono riportate tutte le combinazioni di carico analizzate.

	N [kN]	M_B [kNm]	M_L [kNm]	T_B [kN]	T_L [kN]	
SLU_GEO_081	66110	3178	66545	-280	-5262	Per verifica a capacità portante
SLU_GEO_098	53299	-2691	18830	486	-6958	Per verifica a scorrimento
SLV_SIS_037	54007	75420	14942	-15349	-9302	Per verifica a capacità portante
SLV_SIS_143	53655	75420	-18458	-15349	-13671	Per verifica a scorrimento

dove:

N = sforzo assiale agente nel baricentro dell'intradosso della fondazione;

M_B = momento flettente agente all'intradosso della fondazione nella direzione del lato corto B (momento trasversale);

M_L = momento flettente agente all'intradosso della fondazione nella direzione del lato lungo L (momento longitudinale);

T_B = taglio agente all'intradosso della fondazione nella direzione del lato corto B (taglio trasversale);

T_L = taglio agente all'intradosso della fondazione nella direzione del lato lungo L (taglio longitudinale).

5.3 SCATOLARE “B” (LATO BENEVENTO)

Nella tabella che segue si riportano le sollecitazioni agenti al baricentro della fondazione per le combinazioni di verifica allo SLU/SLV nelle condizioni maggiormente gravose in termini di coefficiente di sicurezza.

Per maggiori dettagli, si rimanda all'Appendice dove vengono riportate tutte le combinazioni di carico analizzate.

	N [kN]	M_B [kNm]	M_L [kNm]	T_B [kN]	T_L [kN]	
SLU_GEO_095	45934	-2239	-31394	417	-5872	Per verifica a capacità portante
SLU_GEO_099	38504	2239	-22868	-417	-6958	Per verifica a scorrimento
SLV_SIS_001	38422	16524	-67564	-3355	-15892	Per verifica a capacità portante
SLV_SIS_141	38422	55079	-49216	-11183	-12433	Per verifica a scorrimento

dove:

N = sforzo assiale agente nel baricentro dell'intradosso della fondazione;

M_B = momento flettente agente all'intradosso della fondazione nella direzione del lato corto B (momento trasversale);

M_L = momento flettente agente all'intradosso della fondazione nella direzione del lato lungo L (momento longitudinale);

T_B = taglio agente all'intradosso della fondazione nella direzione del lato corto B (taglio trasversale);

T_L = taglio agente all'intradosso della fondazione nella direzione del lato lungo L (taglio longitudinale).

	ITINERARIO NAPOLI – BARI RADDOPPIO TRATTA CANCELLO – BENEVENTO I° LOTTO FUNZIONALE CANCELLO - FRASSO TELESINO E VARIANTE ALLA LINEA ROMA-NAPOLI VIA CASSINO NEL COMUNE DI MADDALONI – PROGETTO ESECUTIVO												
Relazione Geotecnica di calcolo delle fondazioni	<table border="0"><tr><td>COMMESSA</td><td>LOTTO</td><td>CODIFICA</td><td>DOCUMENTO</td><td>REV.</td><td>FOGLIO</td></tr><tr><td>IF1N</td><td>01 E ZZ</td><td>CL</td><td>VI0300 002</td><td>D</td><td>17 di 170</td></tr></table>	COMMESSA	LOTTO	CODIFICA	DOCUMENTO	REV.	FOGLIO	IF1N	01 E ZZ	CL	VI0300 002	D	17 di 170
COMMESSA	LOTTO	CODIFICA	DOCUMENTO	REV.	FOGLIO								
IF1N	01 E ZZ	CL	VI0300 002	D	17 di 170								

6 RISULTATI DELLE VERIFICHE GEOTECNICHE

6.1 VERIFICA A CARICO LIMITE DELLA FONDAZIONE

Le verifiche a carico limite verticale sono condotte facendo riferimento alle seguenti combinazioni di carico, così come previsto dalla normativa vigente – Doc. Rif. [1]:

- **COMB. STATICA:** Approccio 1 - Comb. 2 (A2+M2+R2) [GEO]
- **COMB. SISMICA:** (EQK+M2+R2) [GEO SIS]

Si utilizza il noto metodo di Terzaghi modificato con i coefficienti correttivi di Brinch-Hansen. Il valore di angolo di attrito è mediato nell'ambito del volume significativo dei terreni.

6.1.1 CONCIO TIPO AD ARCHI (01-02-03-04)

Nella tabella che segue si riportano i risultati ottenuti nelle condizioni maggiormente gravose per la fase statica e la fase sismica; per il dettaglio del calcolo relativo a tutte le combinazioni considerate, si rimanda alle schede in Appendice.

	q_{lim}	$q = N/(B^* \cdot L^*)$	q_{lim}/γ_R	FS_{cap}
	(kN/m ²)	(kN/m ²)	(kN/m ²)	(-)
SLU_GEO_063	1428	166	794	4.79
SLV_SIS_037	629	162	349	2.15

con:

q_{lim} = carico limite unitario;

$q = N/(B^* \cdot L^*)$ = pressione agente in fondazione considerando i valori ridotti delle dimensioni B e L;

q_{lim}/γ_R = carico limite unitario di progetto allo SLU/SLV;

FS_{cap} = coefficiente di sicurezza.

Le verifiche risultano soddisfatte.

   	ITINERARIO NAPOLI – BARI RADDOPPIO TRATTA CANCELLO – BENEVENTO I° LOTTO FUNZIONALE CANCELLO - FRASSO TELESINO E VARIANTE ALLA LINEA ROMA-NAPOLI VIA CASSINO NEL COMUNE DI MADDALONI – PROGETTO ESECUTIVO												
Relazione Geotecnica di calcolo delle fondazioni	<table border="1"> <tr> <td>COMMESSA</td> <td>LOTTO</td> <td>CODIFICA</td> <td>DOCUMENTO</td> <td>REV.</td> <td>FOGLIO</td> </tr> <tr> <td>IF1N</td> <td>01 E ZZ</td> <td>CL</td> <td>VI0300 002</td> <td>D</td> <td>18 di 170</td> </tr> </table>	COMMESSA	LOTTO	CODIFICA	DOCUMENTO	REV.	FOGLIO	IF1N	01 E ZZ	CL	VI0300 002	D	18 di 170
COMMESSA	LOTTO	CODIFICA	DOCUMENTO	REV.	FOGLIO								
IF1N	01 E ZZ	CL	VI0300 002	D	18 di 170								

6.1.2 SCATOLARE “A” + SOTTOVIA (LATO CANCELLO)

Nella tabella che segue si riportano i risultati ottenuti nelle condizioni maggiormente gravose per la fase statica e la fase sismica; per il dettaglio del calcolo relativo a tutte le combinazioni considerate, si rimanda alle schede in Appendice.

	q_{lim}	$q = N/(B^* \cdot L^*)$	q_{lim}/γ_R	FS_{cap}
	(kN/m ²)	(kN/m ²)	(kN/m ²)	(-)
SLU_GEO_081	1283	174	713	4.10
SLV_SIS_037	567	168	315	1.87

con:

q_{lim} = carico limite unitario;

$q = N/(B^* \cdot L^*)$ = pressione agente in fondazione considerando i valori ridotti delle dimensioni B e L;

q_{lim}/γ_R = carico limite unitario di progetto allo SLU/SLV;

FS_{cap} = coefficiente di sicurezza.

Le verifiche risultano soddisfatte.

6.1.3 SCATOLARE “B” (LATO BENEVENTO)

Nella tabella che segue si riportano i risultati ottenuti nelle condizioni maggiormente gravose per la fase statica e la fase sismica; per il dettaglio del calcolo relativo a tutte le combinazioni considerate, si rimanda alle schede in Appendice.

	q_{lim}	$q = N/(B^* \cdot L^*)$	q_{lim}/γ_R	FS_{cap}
	(kN/m ²)	(kN/m ²)	(kN/m ²)	(-)
SLU_GEO_095	1104	181	613	3.38
SLV_SIS_001	486	182	270	1.49

con:

q_{lim} = carico limite unitario;

$q = N/(B^* \cdot L^*)$ = pressione agente in fondazione considerando i valori ridotti delle dimensioni B e L;

q_{lim}/γ_R = carico limite unitario di progetto allo SLU/SLV;

FS_{cap} = coefficiente di sicurezza.

Le verifiche risultano soddisfatte.

  	ITINERARIO NAPOLI – BARI RADDOPPIO TRATTA CANCELLO – BENEVENTO I° LOTTO FUNZIONALE CANCELLO - FRASSO TELESINO E VARIANTE ALLA LINEA ROMA-NAPOLI VIA CASSINO NEL COMUNE DI MADDALONI – PROGETTO ESECUTIVO												
Relazione Geotecnica di calcolo delle fondazioni	<table border="1"> <tr> <td>COMMESSA</td> <td>LOTTO</td> <td>CODIFICA</td> <td>DOCUMENTO</td> <td>REV.</td> <td>FOGLIO</td> </tr> <tr> <td>IF1N</td> <td>01 E ZZ</td> <td>CL</td> <td>VI0300 002</td> <td>D</td> <td>19 di 170</td> </tr> </table>	COMMESSA	LOTTO	CODIFICA	DOCUMENTO	REV.	FOGLIO	IF1N	01 E ZZ	CL	VI0300 002	D	19 di 170
COMMESSA	LOTTO	CODIFICA	DOCUMENTO	REV.	FOGLIO								
IF1N	01 E ZZ	CL	VI0300 002	D	19 di 170								

6.2 VERIFICA A SCORRIMENTO DELLA FONDAZIONE

Le verifiche a scorrimento della fondazione sono condotte facendo riferimento alle medesime combinazioni di carico considerate per la verifica a carico limite in condizioni statiche; per ciò che riguarda le condizioni sismiche, viene valutato esclusivamente lo scorrimento in direzione trasversale, in quanto in direzione longitudinale tale situazione di criticità non può verificarsi.

6.2.1 CONCIO TIPO AD ARCHI (01-02-03-04)

Nella tabella che segue si riportano i risultati ottenuti nelle condizioni maggiormente gravose per la fase statica e la fase sismica; per il dettaglio del calcolo relativo a tutte le combinazioni considerate, si rimanda alle schede in Appendice.

	H_d	$S_d = N \tan(\varphi_d') + c_d' B^* L^*$	FS_{scorr}
	(kN)	(kN/m ²)	(-)
SLU_GEO_039	1603	26821	16.74
SLV_SIS_009	14410	22684	1.57

con:

H_d = carico agente;

S_d = resistenza allo scorrimento di progetto allo SLU/SLV;

FS_{scorr} = coefficiente di sicurezza.

Le verifiche risultano soddisfatte.

6.2.2 SCATOLARE “A” + SOTTOVIA (LATO CANCELLO)

Nella tabella che segue si riportano i risultati ottenuti nelle condizioni maggiormente gravose per la fase statica e la fase sismica; per il dettaglio del calcolo relativo a tutte le combinazioni considerate, si rimanda alle schede in Appendice.

	H_d	$S_d = N \tan(\varphi_d') + c_d' B^* L^*$	FS_{scorr}
	(kN)	(kN/m ²)	(-)
SLU_GEO_098	6975	24618	3.53
SLV_SIS_143	20554	24782	1.21

con:

H_d = carico agente;

S_d = resistenza allo scorrimento di progetto allo SLU/SLV;

FS_{scorr} = coefficiente di sicurezza.

Le verifiche risultano soddisfatte.

   	ITINERARIO NAPOLI – BARI RADDOPPIO TRATTA CANCELLO – BENEVENTO I° LOTTO FUNZIONALE CANCELLO - FRASSO TELESINO E VARIANTE ALLA LINEA ROMA-NAPOLI VIA CASSINO NEL COMUNE DI MADDALONI – PROGETTO ESECUTIVO												
Relazione Geotecnica di calcolo delle fondazioni	<table border="1"> <tr> <td>COMMESSA</td> <td>LOTTO</td> <td>CODIFICA</td> <td>DOCUMENTO</td> <td>REV.</td> <td>FOGLIO</td> </tr> <tr> <td>IF1N</td> <td>01 E ZZ</td> <td>CL</td> <td>VI0300 002</td> <td>D</td> <td>20 di 170</td> </tr> </table>	COMMESSA	LOTTO	CODIFICA	DOCUMENTO	REV.	FOGLIO	IF1N	01 E ZZ	CL	VI0300 002	D	20 di 170
COMMESSA	LOTTO	CODIFICA	DOCUMENTO	REV.	FOGLIO								
IF1N	01 E ZZ	CL	VI0300 002	D	20 di 170								

6.2.3 SCATOLARE “B” (LATO BENEVENTO)

Nella tabella che segue si riportano i risultati ottenuti nelle condizioni maggiormente gravose per la fase statica e la fase sismica; per il dettaglio del calcolo relativo a tutte le combinazioni considerate, si rimanda alle schede in Appendice.

	H_d	$S_d = N \tan(\varphi_d') + c_d' B^* L^*$	FS_{scorr}
	(kN)	(kN/m ²)	(-)
SLU_GEO_099	6971	17784	2.55
SLV_SIS_141	16722	17746	1.06

con:

H_d = carico agente;

S_d = resistenza allo scorrimento di progetto allo SLU/SLV;

FS_{scorr} = coefficiente di sicurezza.

Le verifiche risultano soddisfatte.

	ITINERARIO NAPOLI – BARI RADDOPPIO TRATTA CANCELLO – BENEVENTO I° LOTTO FUNZIONALE CANCELLO - FRASSO TELESINO E VARIANTE ALLA LINEA ROMA-NAPOLI VIA CASSINO NEL COMUNE DI MADDALONI – PROGETTO ESECUTIVO												
Relazione Geotecnica di calcolo delle fondazioni	<table border="1"> <thead> <tr> <th>COMMESSA</th> <th>LOTTO</th> <th>CODIFICA</th> <th>DOCUMENTO</th> <th>REV.</th> <th>FOGLIO</th> </tr> </thead> <tbody> <tr> <td>IF1N</td> <td>01 E ZZ</td> <td>CL</td> <td>VI0300 002</td> <td>D</td> <td>21 di 170</td> </tr> </tbody> </table>	COMMESSA	LOTTO	CODIFICA	DOCUMENTO	REV.	FOGLIO	IF1N	01 E ZZ	CL	VI0300 002	D	21 di 170
COMMESSA	LOTTO	CODIFICA	DOCUMENTO	REV.	FOGLIO								
IF1N	01 E ZZ	CL	VI0300 002	D	21 di 170								

6.3 CALCOLO DEI CEDIMENTI DELLA FONDAZIONE

Il calcolo dei cedimenti della fondazione diretta soggetta alle azioni agenti in esercizio è condotto sulla base delle prescrizioni della normativa vigente (Doc. Rif. [1] [2] [3] [4]). Si applica la Teoria dell'elasticità secondo la formulazione di Poulos e Davis (1974) valutando i cedimenti relativi alla fase di fine costruzione (coincidente con la combinazione allo SLE-qp), alla fase di esercizio dell'opera (coincidente con la combinazione allo SLE-rara) ed i rispettivi valori del cedimento netto tra le due fasi.

Poiché le indagini hanno accertato una variabilità del sottosuolo nei primi strati di terreno (in termini di spessore del terreno più cedevole e dei valori del modulo di deformabilità) è doveroso prendere in esame un range di condizioni che possano simulare le condizioni di variabilità. La maggiore criticità che deve essere esaminata è legata infatti al differenziale dei soli cedimenti legati alla fase di esercizio, assumendo che i cedimenti relativi alla fine della costruzione possano essere compensati a livello di ballast. In questo caso i cedimenti differenziali tra diversi conci o anche nell'ambito dello stesso concio possono essere legati solo al differente schema geotecnico di sottosuolo, poiché le differenze delle azioni di esercizio nei diversi conci sono poco significative (maggiori differenze delle azioni agenti in fondazione si hanno invece nella fase di costruzione). Un cedimento differenziale nell'ambito dello stesso concio potrebbe provocare una lieve rotazione (vista la forte rigidità della struttura), mentre un cedimento differenziale tra due conci adiacenti potrebbe dare luogo ad uno scalino.

Le differenze dello schema geotecnico possono essere legate a:

- ✓ una differenza del modulo di deformabilità nell'ambito dello stesso strato per variazioni laterali (probabile in terreni di natura piroclastica);
- ✓ una differenza dello spessore cedevole su due diverse verticali;
- ✓ una combinazione dei due suddetti motivi.

Pur avendo realizzato una indagine accurata e approfondita, non è consigliabile assumere gli spessori e i relativi moduli misurati in ognuna delle verticali, considerando che i terreni possono avere ulteriori eterogeneità rispetto a quelle misurate. L'approccio più corretto appare quindi quello di valutare i cedimenti differenziali assumendo, alternativamente i valori estremi misurati per il modulo e per lo spessore del terreno cedevole, cioè le prime due condizioni descritte. Assumere anche la terza condizione porterebbe ad ipotesi troppo conservative.

Dal profilo geotecnico si evidenzia che, con l'approfondimento previsto per la fondazione lo strato residuo di terreno più cedevole al di sotto della fondazione stessa varia nell'ambito di 1.5 e 2.5m circa. Pur trattandosi di spessore relativamente esigui, vista la forte cedevolezza di questi strati (soprattutto nelle porzioni superficiali), si potrebbero verificare cedimenti differenziali che, sia pur non elevatissimi in valore assoluto, sono da evitare per ridurre il rischio di problematiche in esercizio.

La stima dei cedimenti è stata quindi fatta assumendo, come ipotesi di calcolo, uno strato residuo di terreno cedevole al di sotto della fondazione di spessore medio 2.0 m, caratterizzato dai due estremi del modulo M ricavato dalle indagini: $M = 3 \text{ MPa}$ (schema 1) e $M = 6 \text{ MPa}$ (schema 2).

Al di sotto del terreno più cedevole (strato 1-a costituito dalle piroclastiti limo-argillose) si assume un modello a strati paralleli di uguale spessore costituiti dagli altri terreni descritti in precedenza.

   	ITINERARIO NAPOLI – BARI RADDOPPIO TRATTA CANCELLO – BENEVENTO I° LOTTO FUNZIONALE CANCELLO - FRASSO TELESINO E VARIANTE ALLA LINEA ROMA-NAPOLI VIA CASSINO NEL COMUNE DI MADDALONI – PROGETTO ESECUTIVO												
Relazione Geotecnica di calcolo delle fondazioni	<table border="1"> <tr> <td>COMMESSA</td> <td>LOTTO</td> <td>CODIFICA</td> <td>DOCUMENTO</td> <td>REV.</td> <td>FOGLIO</td> </tr> <tr> <td>IF1N</td> <td>01 E ZZ</td> <td>CL</td> <td>VI0300 002</td> <td>D</td> <td>22 di 170</td> </tr> </table>	COMMESSA	LOTTO	CODIFICA	DOCUMENTO	REV.	FOGLIO	IF1N	01 E ZZ	CL	VI0300 002	D	22 di 170
COMMESSA	LOTTO	CODIFICA	DOCUMENTO	REV.	FOGLIO								
IF1N	01 E ZZ	CL	VI0300 002	D	22 di 170								

6.3.1 CEDIMENTI CON CARICHI A FINE COSTRUZIONE

Sulla base di quanto prescritto nel §1.8.3.2.3 del Doc. Rif. [4], si riportano i valori dei cedimenti differenziali tra fondazioni adiacenti, calcolati considerando agenti tutte le azioni permanenti allo SLE.

✓ **A parità di schema di calcolo, risulta:**

SCHEMA DI CALCOLO 1	N_{SLE-qp}	δ	$\Delta\delta_{diff}$
	(kN)	(mm)	(mm)
SCATOLARE "A" + SOTTOVIA (lato Canello)	51682	73	-
CONCIO TIPO AD ARCHI (con riempimento)	46996	70	70-73= -3
SCATOLARE "B" (lato Benevento)	37456	77	77-70= 7

SCHEMA DI CALCOLO 2	N_{SLE-qp}	δ	$\Delta\delta_{diff}$
	(kN)	(mm)	(mm)
SCATOLARE "A" + SOTTOVIA (lato Canello)	51682	45	-
CONCIO TIPO AD ARCHI (con riempimento)	46996	47	47-45= 2
SCATOLARE "B" (lato Benevento)	37456	44	44-47= -3

con:

δ = cedimento verticale della fondazione;

$\Delta\delta_{diff}$ = cedimento differenziale fra fondazioni adiacenti.

   	ITINERARIO NAPOLI – BARI RADDOPPIO TRATTA CANCELLO – BENEVENTO I° LOTTO FUNZIONALE CANCELLO - FRASSO TELESINO E VARIANTE ALLA LINEA ROMA-NAPOLI VIA CASSINO NEL COMUNE DI MADDALONI – PROGETTO ESECUTIVO					
	Relazione Geotecnica di calcolo delle fondazioni	COMMESSA IF1N	LOTTO 01 E ZZ	CODIFICA CL	DOCUMENTO VI0300 002	REV. D

- ✓ **Nell'ambito dello stesso concio, in caso di schemi differenti tra un bordo e l'altro del concio, risulta:**

SCATOLARE "A" + SOTTOVIA (lato Canello)	N _{SLE-qp}	δ	Δδ _{diff} *
	(kN)	(mm)	(mm)
SCHEMA DI CALCOLO 1	51682	73	-
SCHEMA DI CALCOLO 2	51682	45	45-73= -28

CONCIO TIPO AD ARCHI (con riempimento)	N _{SLE-qp}	δ	Δδ _{diff} *
	(kN)	(mm)	(mm)
SCHEMA DI CALCOLO 1	46996	70	-
SCHEMA DI CALCOLO 2	46996	44	44-70= -26

SCATOLARE "B" (lato Benevento)	N _{SLE-qp}	δ	Δδ _{diff} *
	(kN)	(mm)	(mm)
SCHEMA DI CALCOLO 1	37456	77	-
SCHEMA DI CALCOLO 2	37456	47	47-77= -30

δ = cedimento verticale della fondazione;

Δδ_{diff}* = cedimento differenziale nell'ambito della stessa fondazione ma con schemi di calcolo differenti

- ✓ **Tra conci adiacenti con schemi di calcolo differenti, risulta:**

	N _{SLE-qp}	δ	Δδ _{diff}
	(kN)	(mm)	(mm)
<u>SCHEMA DI CALCOLO 1</u> SCATOLARE "A" + SOTTOVIA (lato Canello)	51682	73	-
<u>SCHEMA DI CALCOLO 2</u> CONCIO TIPO AD ARCHI (con riempimento)	46996	44	44-73= -29
<u>SCHEMA DI CALCOLO 1</u> SCATOLARE "B" (lato Benevento)	37456	77	77-44= -33

   	ITINERARIO NAPOLI – BARI RADDOPPIO TRATTA CANCELLO – BENEVENTO I° LOTTO FUNZIONALE CANCELLO - FRASSO TELESINO E VARIANTE ALLA LINEA ROMA-NAPOLI VIA CASSINO NEL COMUNE DI MADDALONI – PROGETTO ESECUTIVO												
Relazione Geotecnica di calcolo delle fondazioni	<table border="1"> <tr> <td>COMMESSA</td> <td>LOTTO</td> <td>CODIFICA</td> <td>DOCUMENTO</td> <td>REV.</td> <td>FOGLIO</td> </tr> <tr> <td>IF1N</td> <td>01 E ZZ</td> <td>CL</td> <td>VI0300 002</td> <td>D</td> <td>24 di 170</td> </tr> </table>	COMMESSA	LOTTO	CODIFICA	DOCUMENTO	REV.	FOGLIO	IF1N	01 E ZZ	CL	VI0300 002	D	24 di 170
COMMESSA	LOTTO	CODIFICA	DOCUMENTO	REV.	FOGLIO								
IF1N	01 E ZZ	CL	VI0300 002	D	24 di 170								

	N_{SLE-qp}	δ	$\Delta\delta_{diff}$
	(kN)	(mm)	(mm)
<u>SCHEMA DI CALCOLO 2</u> SCATOLARE "A" + SOTTOVIA (lato Canello)	51682	45	-
<u>SCHEMA DI CALCOLO 1</u> CONCIO TIPO AD ARCHI (con riempimento)	46996	70	70-45= -25
<u>SCHEMA DI CALCOLO 2</u> SCATOLARE "B" (lato Benevento)	37456	47	47-70= -23

con:

δ = cedimento verticale della fondazione;

$\Delta\delta_{diff}$ = cedimento differenziale fra fondazioni adiacenti.

Il massimo cedimento differenziale al termine della costruzione risulterebbe, nell'ipotesi più gravosa, poco superiore a 3 cm, che dovrà essere corretto con opportune ricariche.

   	ITINERARIO NAPOLI – BARI RADDOPPIO TRATTA CANCELLO – BENEVENTO I° LOTTO FUNZIONALE CANCELLO - FRASSO TELESINO E VARIANTE ALLA LINEA ROMA-NAPOLI VIA CASSINO NEL COMUNE DI MADDALONI – PROGETTO ESECUTIVO												
Relazione Geotecnica di calcolo delle fondazioni	<table border="1"> <tr> <td>COMMESSA</td> <td>LOTTO</td> <td>CODIFICA</td> <td>DOCUMENTO</td> <td>REV.</td> <td>FOGLIO</td> </tr> <tr> <td>IF1N</td> <td>01 E ZZ</td> <td>CL</td> <td>VI0300 002</td> <td>D</td> <td>25 di 170</td> </tr> </table>	COMMESSA	LOTTO	CODIFICA	DOCUMENTO	REV.	FOGLIO	IF1N	01 E ZZ	CL	VI0300 002	D	25 di 170
COMMESSA	LOTTO	CODIFICA	DOCUMENTO	REV.	FOGLIO								
IF1N	01 E ZZ	CL	VI0300 002	D	25 di 170								

6.3.2 CEDIMENTI TOTALI E DIFFERENZIALI DOVUTI AI CARICHI DI ESERCIZIO

CONCIO TIPO AD ARCHI (01-02-03-04)

SCHEMA DI CALCOLO 1 – strato 1a_M=3 MPa					
Fine costruzione			Fase di esercizio		
N _{SLE-qp}	δ ₁		N _{SLE-rara}	δ ₂	Δδ
(kN)	(mm)		(kN)	(mm)	(mm)
46996	70		57244	87	17

SCHEMA DI CALCOLO 2 – strato 1a_M=6 MPa					
Fine costruzione			Fase di esercizio		
N _{SLE-qp}	δ ₁		N _{SLE-rara}	δ ₂	Δδ
(kN)	(mm)		(kN)	(mm)	(mm)
46996	44		57244	55	11

con:

δ₁ = cedimento verticale della fondazione a fine costruzione;

δ₂ = cedimento verticale della fondazione in esercizio;

Δδ = δ₁ - δ₂ = cedimento netto;

N_{SLE-qp} = sforzo assiale max agente all'intradosso della fondazione per la comb. statica SLE quasi perm.;

N_{SLE-rara} = sforzo assiale max agente all'intradosso della fondazione per la comb. statica SLE rara.

  	ITINERARIO NAPOLI – BARI RADDOPPIO TRATTA CANCELLO – BENEVENTO I° LOTTO FUNZIONALE CANCELLO - FRASSO TELESINO E VARIANTE ALLA LINEA ROMA-NAPOLI VIA CASSINO NEL COMUNE DI MADDALONI – PROGETTO ESECUTIVO												
Relazione Geotecnica di calcolo delle fondazioni	<table border="1"> <tr> <td>COMMESSA</td> <td>LOTTO</td> <td>CODIFICA</td> <td>DOCUMENTO</td> <td>REV.</td> <td>FOGLIO</td> </tr> <tr> <td>IF1N</td> <td>01 E ZZ</td> <td>CL</td> <td>VI0300 002</td> <td>D</td> <td>26 di 170</td> </tr> </table>	COMMESSA	LOTTO	CODIFICA	DOCUMENTO	REV.	FOGLIO	IF1N	01 E ZZ	CL	VI0300 002	D	26 di 170
COMMESSA	LOTTO	CODIFICA	DOCUMENTO	REV.	FOGLIO								
IF1N	01 E ZZ	CL	VI0300 002	D	26 di 170								

SCATOLARE “A” + SOTTOVIA (lato cancello)

SCHEMA DI CALCOLO 1 – strato 1a_M=3 MPa					
Fine costruzione		Fase di esercizio			
N _{SLE-qp}	δ ₁	N _{SLE-rara}	δ ₂	Δδ	
(kN)	(mm)	(kN)	(mm)	(mm)	
51682	73	61931	88	15	

SCHEMA DI CALCOLO 2 – strato 1a_M=6 MPa					
Fine costruzione		Fase di esercizio			
N _{SLE-qp}	δ ₁	N _{SLE-rara}	δ ₂	Δδ	
(kN)	(mm)	(kN)	(mm)	(mm)	
51682	45	61931	56	11	

con:

δ₁ = cedimento verticale della fondazione a fine costruzione;

δ₂ = cedimento verticale della fondazione in esercizio;

Δδ = δ₁ - δ₂ = cedimento netto;

N_{SLE-qp} = sforzo assiale max agente all'intradosso della fondazione per la comb. statica SLE quasi perm.;

N_{SLE-rara} = sforzo assiale max agente all'intradosso della fondazione per la comb. statica SLE rara.

SCATOLARE “B” (lato Benevento)

SCHEMA DI CALCOLO 1 – strato 1a_M=3 MPa					
Fine costruzione		Fase di esercizio			
N _{SLE-qp}	δ ₁	N _{SLE-rara}	δ ₂	Δδ	
(kN)	(mm)	(kN)	(mm)	(mm)	
37456	77	45450	94	17	

SCHEMA DI CALCOLO 2 – strato 1a_M=6 MPa					
Fine costruzione		Fase di esercizio			
N _{SLE-qp}	δ ₁	N _{SLE-rara}	δ ₂	Δδ	
(kN)	(mm)	(kN)	(mm)	(mm)	
37456	47	45450	59	12	

con:

δ₁ = cedimento verticale della fondazione a fine costruzione;

δ₂ = cedimento verticale della fondazione in esercizio;

Δδ = δ₁ - δ₂ = cedimento netto;

N_{SLE-qp} = sforzo assiale max agente all'intradosso della fondazione per la comb. statica SLE quasi perm.;

N_{SLE-rara} = sforzo assiale max agente all'intradosso della fondazione per la comb. statica SLE rara.

  	ITINERARIO NAPOLI – BARI RADDOPPIO TRATTA CANCELLO – BENEVENTO I° LOTTO FUNZIONALE CANCELLO - FRASSO TELESINO E VARIANTE ALLA LINEA ROMA-NAPOLI VIA CASSINO NEL COMUNE DI MADDALONI – PROGETTO ESECUTIVO												
Relazione Geotecnica di calcolo delle fondazioni	<table border="1"> <thead> <tr> <th>COMMESSA</th> <th>LOTTO</th> <th>CODIFICA</th> <th>DOCUMENTO</th> <th>REV.</th> <th>FOGLIO</th> </tr> </thead> <tbody> <tr> <td>IF1N</td> <td>01 E ZZ</td> <td>CL</td> <td>VI0300 002</td> <td>D</td> <td>27 di 170</td> </tr> </tbody> </table>	COMMESSA	LOTTO	CODIFICA	DOCUMENTO	REV.	FOGLIO	IF1N	01 E ZZ	CL	VI0300 002	D	27 di 170
COMMESSA	LOTTO	CODIFICA	DOCUMENTO	REV.	FOGLIO								
IF1N	01 E ZZ	CL	VI0300 002	D	27 di 170								

I cedimenti totali nelle varie ipotesi di calcolo (schemi geotecnici) e in funzione dei diversi carichi agenti variano quindi da circa 6 cm a circa 9 cm.

Tali valori sono da intendersi come cedimenti cumulativi della fase di costruzione (pesi propri della struttura e ballast) e della fase di esercizio (carichi legati al passaggio del treno e accidentali). I cedimenti dovuti al peso proprio possono essere compensati da opportune ricariche con ballast.

I cedimenti legati alla sola fase di esercizio risultano poco inferiori a 2 centimetri. I cedimenti differenziali in esercizio tra conci adiacenti risultano pari a qualche millimetro.

  	ITINERARIO NAPOLI – BARI RADDOPPIO TRATTA CANCELLO – BENEVENTO I° LOTTO FUNZIONALE CANCELLO - FRASSO TELESINO E VARIANTE ALLA LINEA ROMA-NAPOLI VIA CASSINO NEL COMUNE DI MADDALONI – PROGETTO ESECUTIVO												
Relazione Geotecnica di calcolo delle fondazioni	<table border="1"> <tr> <td>COMMESSA</td> <td>LOTTO</td> <td>CODIFICA</td> <td>DOCUMENTO</td> <td>REV.</td> <td>FOGLIO</td> </tr> <tr> <td>IF1N</td> <td>01 E ZZ</td> <td>CL</td> <td>VI0300 002</td> <td>D</td> <td>28 di 170</td> </tr> </table>	COMMESSA	LOTTO	CODIFICA	DOCUMENTO	REV.	FOGLIO	IF1N	01 E ZZ	CL	VI0300 002	D	28 di 170
COMMESSA	LOTTO	CODIFICA	DOCUMENTO	REV.	FOGLIO								
IF1N	01 E ZZ	CL	VI0300 002	D	28 di 170								

7 APPENDICE

7.1 CARICHI AGENTI IN FONDAZIONE

7.1.1 CONCIO TIPO AD ARCHI – SITUAZIONE CON RIEMPIMENTO

	N [kN]	M _B [kNm]	M _L [kNm]	T _B [kN]	T _L [kN]
SLU_GEO_001	50574	0	-36	0	0
SLU_GEO_002	58069	-596	14276	64	1511
SLU_GEO_003	58069	-591	21405	64	1511
SLU_GEO_004	58069	-596	28535	64	1511
SLU_GEO_005	58069	-591	21405	64	1511
SLU_GEO_006	58069	596	14276	-64	1511
SLU_GEO_007	58069	591	21405	-64	1511
SLU_GEO_008	58069	596	28535	-64	1511
SLU_GEO_009	58069	591	21405	-64	1511
SLU_GEO_010	58069	-596	-13668	64	-1511
SLU_GEO_011	58069	-591	-6539	64	-1511
SLU_GEO_012	58069	-596	590	64	-1511
SLU_GEO_013	58069	-591	-6539	64	-1511
SLU_GEO_014	58069	596	-13668	-64	-1511
SLU_GEO_015	58069	591	-6539	-64	-1511
SLU_GEO_016	58069	596	590	-64	-1511
SLU_GEO_017	58069	548	-6539	-59	-1511
SLU_GEO_018	62083	-596	13936	64	1511
SLU_GEO_019	62083	-591	13936	64	1511
SLU_GEO_020	62083	-596	13936	64	1511
SLU_GEO_021	62083	-591	13936	64	1511
SLU_GEO_022	62083	596	13936	-64	1511
SLU_GEO_023	62083	591	13936	-64	1511
SLU_GEO_024	62083	596	13936	-64	1511
SLU_GEO_025	62083	591	13936	-64	1511
SLU_GEO_026	62083	-596	-14008	64	-1511
SLU_GEO_027	62083	-591	-14008	64	-1511
SLU_GEO_028	62083	-596	-14008	64	-1511
SLU_GEO_029	62083	-591	-14008	64	-1511
SLU_GEO_030	62083	596	-14008	-64	-1511
SLU_GEO_031	62083	591	-14008	-64	-1511
SLU_GEO_032	62083	596	-14008	-64	-1511
SLU_GEO_033	62083	548	-14008	-59	-1511
SLU_GEO_034	50574	0	-36	0	0
SLU_GEO_035	50574	0	-36	0	0
SLU_GEO_036	50574	-2646	-36	471	0
SLU_GEO_037	50574	2646	-36	-471	0
SLU_GEO_038	50574	0	-36	0	0
SLU_GEO_039	58069	-3241	14276	535	1511
SLU_GEO_040	58069	-3237	21405	535	1511

Relazione Geotecnica di calcolo delle fondazioni

COMMESSA	LOTTO	CODIFICA	DOCUMENTO	REV.	FOGLIO
IF1N	01 E ZZ	CL	VI0300 002	D	29 di 170

SLU_GEO_041	58069	-3241	28535	535	1511
SLU_GEO_042	58069	-3237	21405	535	1511
SLU_GEO_043	58069	-2050	14276	407	1511
SLU_GEO_044	58069	-2054	21405	407	1511
SLU_GEO_045	58069	-2050	28535	407	1511
SLU_GEO_046	58069	-2054	21405	407	1511
SLU_GEO_047	58069	-3241	-13668	535	-1511
SLU_GEO_048	58069	-3237	-6539	535	-1511
SLU_GEO_049	58069	-3241	590	535	-1511
SLU_GEO_050	58069	-3237	-6539	535	-1511
SLU_GEO_051	58069	-2050	-13668	407	-1511
SLU_GEO_052	58069	-2054	-6539	407	-1511
SLU_GEO_053	58069	-2050	590	407	-1511
SLU_GEO_054	58069	-2098	-6539	412	-1511
SLU_GEO_055	62083	-3241	13936	535	1511
SLU_GEO_056	62083	-3237	13936	535	1511
SLU_GEO_057	62083	-3241	13936	535	1511
SLU_GEO_058	62083	-3237	13936	535	1511
SLU_GEO_059	62083	-2050	13936	407	1511
SLU_GEO_060	62083	-2054	13936	407	1511
SLU_GEO_061	62083	-2050	13936	407	1511
SLU_GEO_062	62083	-2054	13936	407	1511
SLU_GEO_063	62083	-3241	-14008	535	-1511
SLU_GEO_064	62083	-3237	-14008	535	-1511
SLU_GEO_065	62083	-3241	-14008	535	-1511
SLU_GEO_066	62083	-3237	-14008	535	-1511
SLU_GEO_067	62083	-2050	-14008	407	-1511
SLU_GEO_068	62083	-2054	-14008	407	-1511
SLU_GEO_069	62083	-2050	-14008	407	-1511
SLU_GEO_070	62083	-2098	-14008	412	-1511
SLU_GEO_071	58069	-3241	14276	535	1511
SLU_GEO_072	58069	-3237	21405	535	1511
SLU_GEO_073	58069	-3241	28535	535	1511
SLU_GEO_074	58069	-3237	21405	535	1511
SLU_GEO_075	58069	-2050	14276	407	1511
SLU_GEO_076	58069	-2054	21405	407	1511
SLU_GEO_077	58069	-2050	28535	407	1511
SLU_GEO_078	58069	-2054	21405	407	1511
SLU_GEO_079	58069	-3241	-13668	535	-1511
SLU_GEO_080	58069	-3237	-6539	535	-1511
SLU_GEO_081	58069	-3241	590	535	-1511
SLU_GEO_082	58069	-3237	-6539	535	-1511
SLU_GEO_083	58069	-2050	-13668	407	-1511
SLU_GEO_084	58069	-2054	-6539	407	-1511
SLU_GEO_085	58069	-2050	590	407	-1511
SLU_GEO_086	58069	-2098	-6539	412	-1511
SLU_GEO_087	62083	-3241	13936	535	1511
SLU_GEO_088	62083	-3237	13936	535	1511
SLU_GEO_089	62083	-3241	13936	535	1511

  	ITINERARIO NAPOLI – BARI RADDOPPIO TRATTA CANCELLO – BENEVENTO I° LOTTO FUNZIONALE CANCELLO - FRASSO TELESINO E VARIANTE ALLA LINEA ROMA-NAPOLI VIA CASSINO NEL COMUNE DI MADDALONI – PROGETTO ESECUTIVO												
Relazione Geotecnica di calcolo delle fondazioni	<table border="1"> <tr> <td>COMMESSA</td> <td>LOTTO</td> <td>CODIFICA</td> <td>DOCUMENTO</td> <td>REV.</td> <td>FOGLIO</td> </tr> <tr> <td>IF1N</td> <td>01 E ZZ</td> <td>CL</td> <td>VI0300 002</td> <td>D</td> <td>30 di 170</td> </tr> </table>	COMMESSA	LOTTO	CODIFICA	DOCUMENTO	REV.	FOGLIO	IF1N	01 E ZZ	CL	VI0300 002	D	30 di 170
COMMESSA	LOTTO	CODIFICA	DOCUMENTO	REV.	FOGLIO								
IF1N	01 E ZZ	CL	VI0300 002	D	30 di 170								

SLU_GEO_090	62083	-3237	13936	535	1511
SLU_GEO_091	62083	-2050	13936	407	1511
SLU_GEO_092	62083	-2054	13936	407	1511
SLU_GEO_093	62083	-2050	13936	407	1511
SLU_GEO_094	62083	-2054	13936	407	1511
SLU_GEO_095	62083	-3241	-14008	535	-1511
SLU_GEO_096	62083	-3237	-14008	535	-1511
SLU_GEO_097	62083	-3241	-14008	535	-1511
SLU_GEO_098	62083	-3237	-14008	535	-1511
SLU_GEO_099	62083	-2050	-14008	407	-1511
SLU_GEO_100	62083	-2054	-14008	407	-1511
SLU_GEO_101	62083	-2050	-14008	407	-1511
SLU_GEO_102	62083	-2098	-14008	412	-1511
SLU_GEO_103	51008	2680	-36	0	0
SLU_GEO_104	51442	0	-36	0	0
SLU_GEO_105	51442	0	-36	0	0

	N	M _B	M _L	T _B	T _L
	[kN]	[kNm]	[kNm]	[kN]	[kN]
SLV_SIS_001	49113	18813	-62689	-4141	-13802
SLV_SIS_002	49113	18813	-62689	-4141	-13802
SLV_SIS_003	49699	18813	-62739	-4141	-13802
SLV_SIS_004	49699	18813	-62739	-4141	-13802
SLV_SIS_005	49113	18813	-60608	-4141	-13802
SLV_SIS_006	49113	18813	-60608	-4141	-13802
SLV_SIS_007	49699	18813	-62739	-4141	-13802
SLV_SIS_008	49699	18813	-62739	-4141	-13802
SLV_SIS_009	49113	62711	-18792	-13802	-4141
SLV_SIS_010	49113	62711	-18792	-13802	-4141
SLV_SIS_011	49699	62711	-18841	-13802	-4141
SLV_SIS_012	49699	62711	-18841	-13802	-4141
SLV_SIS_013	49113	62711	-16710	-13802	-4141
SLV_SIS_014	49113	62711	-16710	-13802	-4141
SLV_SIS_015	49699	62711	-18841	-13802	-4141
SLV_SIS_016	52087	62711	-18843	-13802	-4141
SLV_SIS_017	51501	18813	-18793	-4141	-4141
SLV_SIS_018	51501	18813	-18793	-4141	-4141
SLV_SIS_019	52087	18813	-18843	-4141	-4141
SLV_SIS_020	52087	18813	-18843	-4141	-4141
SLV_SIS_021	51501	18813	-16712	-4141	-4141
SLV_SIS_022	51501	18813	-16712	-4141	-4141
SLV_SIS_023	52087	18813	-18843	-4141	-4141
SLV_SIS_024	52087	18813	-18843	-4141	-4141
SLV_SIS_025	49113	-18813	62732	4141	13802
SLV_SIS_026	49113	-18813	62732	4141	13802
SLV_SIS_027	49699	-18813	62683	4141	13802

ITINERARIO NAPOLI – BARI

RADDOPPIO TRATTA CANCELLO – BENEVENTO

I° LOTTO FUNZIONALE CANCELLO - FRASSO TELESINO E
VARIANTE ALLA LINEA ROMA-NAPOLI VIA CASSINO NEL
COMUNE DI MADDALONI – PROGETTO ESECUTIVO

Relazione Geotecnica di calcolo delle fondazioni

COMMESSA	LOTTO	CODIFICA	DOCUMENTO	REV.	FOGLIO
IF1N	01 E ZZ	CL	VI0300 002	D	31 di 170

SLV_SIS_028	49699	-18813	62683	4141	13802
SLV_SIS_029	49113	-18813	64814	4141	13802
SLV_SIS_030	49113	-18813	64814	4141	13802
SLV_SIS_031	49699	-18813	62683	4141	13802
SLV_SIS_032	49699	-18813	62683	4141	13802
SLV_SIS_033	49113	-62711	18835	13802	4141
SLV_SIS_034	49113	-62711	18835	13802	4141
SLV_SIS_035	49699	-62711	18785	13802	4141
SLV_SIS_036	49699	-62711	18785	13802	4141
SLV_SIS_037	49113	-62711	20916	13802	4141
SLV_SIS_038	49113	-62711	20916	13802	4141
SLV_SIS_039	49699	-62711	18785	13802	4141
SLV_SIS_040	52087	-62711	18783	13802	4141
SLV_SIS_041	51501	-18813	18833	4141	4141
SLV_SIS_042	51501	-18813	18833	4141	4141
SLV_SIS_043	52087	-18813	18783	4141	4141
SLV_SIS_044	52087	-18813	18783	4141	4141
SLV_SIS_045	51501	-18813	20915	4141	4141
SLV_SIS_046	51501	-18813	20915	4141	4141
SLV_SIS_047	52087	-18813	18783	4141	4141
SLV_SIS_048	52087	-18813	18783	4141	4141

  	ITINERARIO NAPOLI – BARI RADDOPPIO TRATTA CANCELLO – BENEVENTO I° LOTTO FUNZIONALE CANCELLO - FRASSO TELESINO E VARIANTE ALLA LINEA ROMA-NAPOLI VIA CASSINO NEL COMUNE DI MADDALONI – PROGETTO ESECUTIVO												
Relazione Geotecnica di calcolo delle fondazioni	<table border="1"> <tr> <td>COMMESSA</td> <td>LOTTO</td> <td>CODIFICA</td> <td>DOCUMENTO</td> <td>REV.</td> <td>FOGLIO</td> </tr> <tr> <td>IF1N</td> <td>01 E ZZ</td> <td>CL</td> <td>VI0300 002</td> <td>D</td> <td>32 di 170</td> </tr> </table>	COMMESSA	LOTTO	CODIFICA	DOCUMENTO	REV.	FOGLIO	IF1N	01 E ZZ	CL	VI0300 002	D	32 di 170
COMMESSA	LOTTO	CODIFICA	DOCUMENTO	REV.	FOGLIO								
IF1N	01 E ZZ	CL	VI0300 002	D	32 di 170								

7.1.2 SCATOLARE “A” + SOTTOVIA (LATO CANCELLO)

	N [kN]	M _B [kNm]	M _L [kNm]	T _B [kN]	T _L [kN]
SLU_GEO_001	53299	0	29233	0	-4709
SLU_GEO_002	58359	3637	-7708	-337	-3013
SLU_GEO_003	58284	3473	-3691	-306	-3013
SLU_GEO_004	64108	3473	37057	-306	-3013
SLU_GEO_005	60972	3473	85206	-306	-3013
SLU_GEO_006	60972	3473	97233	-306	-3013
SLU_GEO_007	58359	3637	-7708	-337	-3013
SLU_GEO_008	58284	3473	-3691	-306	-3013
SLU_GEO_009	64108	3473	37057	-306	-3013
SLU_GEO_010	60972	3473	85206	-306	-3013
SLU_GEO_011	60972	3473	97233	-306	-3013
SLU_GEO_012	66110	3178	76948	-280	-3013
SLU_GEO_013	66110	3178	12893	-280	-3013
SLU_GEO_014	58359	946	-7708	150	-3013
SLU_GEO_015	58284	782	-3691	180	-3013
SLU_GEO_016	64108	782	37057	180	-3013
SLU_GEO_017	60972	782	85206	180	-3013
SLU_GEO_018	60972	782	97233	180	-3013
SLU_GEO_019	60972	-2691	97233	486	-3013
SLU_GEO_020	58359	946	-7708	150	-3013
SLU_GEO_021	58284	782	-3691	180	-3013
SLU_GEO_022	64108	782	37057	180	-3013
SLU_GEO_023	60972	782	85206	180	-3013
SLU_GEO_024	60972	782	97233	180	-3013
SLU_GEO_025	66110	487	76948	206	-3013
SLU_GEO_026	66110	487	12893	206	-3013
SLU_GEO_027	53299	0	29233	0	-4709
SLU_GEO_028	53299	0	29233	0	-4709
SLU_GEO_029	53299	-2691	29233	486	-4709
SLU_GEO_030	53299	2691	29233	-486	-4709
SLU_GEO_031	53299	0	29233	0	-4709
SLU_GEO_032	58359	3637	-7708	-337	-3013
SLU_GEO_033	58284	3473	-3691	-306	-3013
SLU_GEO_034	64108	3473	37057	-306	-3013
SLU_GEO_035	60972	3473	85206	-306	-3013
SLU_GEO_036	60972	3473	97233	-306	-3013
SLU_GEO_037	60972	0	97233	0	-3013
SLU_GEO_038	58359	3637	-7708	-337	-3013
SLU_GEO_039	58284	3473	-3691	-306	-3013
SLU_GEO_040	64108	3473	37057	-306	-3013
SLU_GEO_041	60972	3473	85206	-306	-3013
SLU_GEO_042	60972	3473	97233	-306	-3013
SLU_GEO_043	66110	3178	76948	-280	-3013
SLU_GEO_044	66110	3178	12893	-280	-3013
SLU_GEO_045	53299	-2691	29233	486	-4709
SLU_GEO_046	58359	946	-7708	150	-3013

Relazione Geotecnica di calcolo delle fondazioni

COMMESSA	LOTTO	CODIFICA	DOCUMENTO	REV.	FOGLIO
IF1N	01 E ZZ	CL	VI0300 002	D	33 di 170

SLU_GEO_047	58284	782	-3691	180	-3013
SLU_GEO_048	64108	782	37057	180	-3013
SLU_GEO_049	60972	782	85206	180	-3013
SLU_GEO_050	60972	782	97233	180	-3013
SLU_GEO_051	60972	-2691	97233	486	-3013
SLU_GEO_052	58359	946	-7708	150	-3013
SLU_GEO_053	58284	782	-3691	180	-3013
SLU_GEO_054	64108	782	37057	180	-3013
SLU_GEO_055	60972	782	85206	180	-3013
SLU_GEO_056	60972	782	97233	180	-3013
SLU_GEO_057	60972	-6164	97233	792	-3013
SLU_GEO_058	66110	487	76948	206	-3013
SLU_GEO_059	66110	487	12893	206	-3013
SLU_GEO_060	54229	0	29233	0	-4709
SLU_GEO_061	54229	0	29233	0	-4709
SLU_GEO_062	54229	0	29233	0	-4709
SLU_GEO_063	53299	0	29233	0	-4709
SLU_GEO_064	58359	3637	-7708	-337	-3013
SLU_GEO_065	58284	3473	-3691	-306	-3013
SLU_GEO_066	64108	3473	37057	-306	-3013
SLU_GEO_067	60972	3473	85206	-306	-3013
SLU_GEO_068	60972	3473	97233	-306	-3013
SLU_GEO_069	66110	3178	76948	-280	-3013
SLU_GEO_070	66110	3178	12893	-280	-3013
SLU_GEO_071	58359	3637	-18112	-337	-5262
SLU_GEO_072	58284	3473	-14094	-306	-5262
SLU_GEO_073	64108	3473	26654	-306	-5262
SLU_GEO_074	60972	3473	74803	-306	-5262
SLU_GEO_075	60972	3473	86830	-306	-5262
SLU_GEO_076	58359	3637	-18112	-337	-5262
SLU_GEO_077	58284	3473	-14094	-306	-5262
SLU_GEO_078	64108	3473	26654	-306	-5262
SLU_GEO_079	60972	3473	74803	-306	-5262
SLU_GEO_080	60972	3473	86830	-306	-5262
SLU_GEO_081	66110	3178	66545	-280	-5262
SLU_GEO_082	66110	3178	2490	-280	-5262
SLU_GEO_083	58359	946	-18112	150	-5262
SLU_GEO_084	58284	782	-14094	180	-5262
SLU_GEO_085	64108	782	26654	180	-5262
SLU_GEO_086	60972	782	74803	180	-5262
SLU_GEO_087	60972	782	86830	180	-5262
SLU_GEO_088	60972	-2691	86830	486	-5262
SLU_GEO_089	58359	946	-18112	150	-5262
SLU_GEO_090	58284	782	-14094	180	-5262
SLU_GEO_091	64108	782	26654	180	-5262
SLU_GEO_092	60972	782	74803	180	-5262
SLU_GEO_093	60972	782	86830	180	-5262
SLU_GEO_094	66110	487	66545	206	-5262
SLU_GEO_095	66110	487	2490	206	-5262

Relazione Geotecnica di calcolo delle fondazioni

COMMESSA	LOTTO	CODIFICA	DOCUMENTO	REV.	FOGLIO
IF1N	01 E ZZ	CL	VI0300 002	D	34 di 170

SLU_GEO_096	53299	0	18830	0	-6958
SLU_GEO_097	53299	0	18830	0	-6958
SLU_GEO_098	53299	-2691	18830	486	-6958
SLU_GEO_099	53299	2691	18830	-486	-6958
SLU_GEO_100	53299	0	18830	0	-6958
SLU_GEO_101	58359	3637	-18112	-337	-5262
SLU_GEO_102	58284	3473	-14094	-306	-5262
SLU_GEO_103	64108	3473	26654	-306	-5262
SLU_GEO_104	60972	3473	74803	-306	-5262
SLU_GEO_105	60972	3473	86830	-306	-5262
SLU_GEO_106	60972	0	86830	0	-5262
SLU_GEO_107	58359	3637	-18112	-337	-5262
SLU_GEO_108	58284	3473	-14094	-306	-5262
SLU_GEO_109	64108	3473	26654	-306	-5262
SLU_GEO_110	60972	3473	74803	-306	-5262
SLU_GEO_111	60972	3473	86830	-306	-5262
SLU_GEO_112	66110	3178	66545	-280	-5262
SLU_GEO_113	66110	3178	2490	-280	-5262
SLU_GEO_114	53299	-2691	18830	486	-6958
SLU_GEO_115	58359	946	-18112	150	-5262
SLU_GEO_116	58284	782	-14094	180	-5262
SLU_GEO_117	64108	782	26654	180	-5262
SLU_GEO_118	60972	782	74803	180	-5262
SLU_GEO_119	60972	782	86830	180	-5262
SLU_GEO_120	60972	-2691	86830	486	-5262
SLU_GEO_121	58359	946	-18112	150	-5262
SLU_GEO_122	58284	782	-14094	180	-5262
SLU_GEO_123	64108	782	26654	180	-5262
SLU_GEO_124	60972	782	74803	180	-5262
SLU_GEO_125	60972	782	86830	180	-5262
SLU_GEO_126	60972	-6164	86830	792	-5262
SLU_GEO_127	66110	487	66545	206	-5262
SLU_GEO_128	66110	487	2490	206	-5262
SLU_GEO_129	54229	0	18830	0	-6958
SLU_GEO_130	54229	0	18830	0	-6958
SLU_GEO_131	54229	0	18830	0	-6958
SLU_GEO_132	58359	3637	-18112	-337	-5262
SLU_GEO_133	58284	3473	-14094	-306	-5262
SLU_GEO_134	64108	3473	26654	-306	-5262
SLU_GEO_135	60972	3473	74803	-306	-5262
SLU_GEO_136	60972	3473	86830	-306	-5262
SLU_GEO_137	66110	3178	66545	-280	-5262
SLU_GEO_138	66110	3178	2490	-280	-5262

Relazione Geotecnica di calcolo delle fondazioni

COMMESSA	LOTTO	CODIFICA	DOCUMENTO	REV.	FOGLIO
IF1N	01 E ZZ	CL	VI0300 002	D	35 di 170

SLV_SIS_001	53665	22965	-51252	-4637	-20018
SLV_SIS_002	53665	22965	-51252	-4637	-20018
SLV_SIS_003	53655	22944	-50727	-4633	-20018
SLV_SIS_004	53655	22944	-50727	-4633	-20018
SLV_SIS_005	54417	22944	-45401	-4633	-20018
SLV_SIS_006	54417	22944	-45401	-4633	-20018
SLV_SIS_007	54007	22944	-39107	-4633	-20018
SLV_SIS_008	54007	22944	-39107	-4633	-20018
SLV_SIS_009	54007	22944	-37534	-4633	-20018
SLV_SIS_010	54007	22944	-37534	-4633	-20018
SLV_SIS_011	54834	22944	-39797	-4633	-20018
SLV_SIS_012	54834	22944	-39797	-4633	-20018
SLV_SIS_013	54834	22985	-48948	-4637	-20018
SLV_SIS_014	54834	22985	-48948	-4637	-20018
SLV_SIS_015	53665	22965	-51252	-4637	-20018
SLV_SIS_016	53665	22965	-51252	-4637	-20018
SLV_SIS_017	53655	22944	-50727	-4633	-20018
SLV_SIS_018	53655	22944	-50727	-4633	-20018
SLV_SIS_019	54417	22944	-45401	-4633	-20018
SLV_SIS_020	54417	22944	-45401	-4633	-20018
SLV_SIS_021	54007	22944	-39107	-4633	-20018
SLV_SIS_022	54007	22944	-39107	-4633	-20018
SLV_SIS_023	54007	22944	-37534	-4633	-20018
SLV_SIS_024	54007	22944	-37534	-4633	-20018
SLV_SIS_025	54834	22944	-39797	-4633	-20018
SLV_SIS_026	54834	22944	-39797	-4633	-20018
SLV_SIS_027	54834	22985	-48948	-4637	-20018
SLV_SIS_028	54834	22985	-48948	-4637	-20018
SLV_SIS_029	53665	75441	1224	-15353	-9302
SLV_SIS_030	53665	75441	1224	-15353	-9302
SLV_SIS_031	53655	75420	1749	-15349	-9302
SLV_SIS_032	53655	75420	1749	-15349	-9302
SLV_SIS_033	54417	75420	7076	-15349	-9302
SLV_SIS_034	54417	75420	7076	-15349	-9302
SLV_SIS_035	54007	75420	13370	-15349	-9302
SLV_SIS_036	54007	75420	13370	-15349	-9302
SLV_SIS_037	54007	75420	14942	-15349	-9302
SLV_SIS_038	54007	75420	14942	-15349	-9302
SLV_SIS_039	54834	75420	12679	-15349	-9302
SLV_SIS_040	54834	75420	12679	-15349	-9302
SLV_SIS_041	54834	75461	3528	-15353	-9302
SLV_SIS_042	54834	75461	3528	-15353	-9302
SLV_SIS_043	56749	22965	4188	-4637	-9302
SLV_SIS_044	56749	22965	4188	-4637	-9302
SLV_SIS_045	56739	22944	4713	-4633	-9302
SLV_SIS_046	56739	22944	4713	-4633	-9302
SLV_SIS_047	57500	22944	10040	-4633	-9302

Relazione Geotecnica di calcolo delle fondazioni

COMMESSA	LOTTO	CODIFICA	DOCUMENTO	REV.	FOGLIO
IF1N	01 E ZZ	CL	VI0300 002	D	36 di 170

SLV_SIS_048	57500	22944	10040	-4633	-9302
SLV_SIS_049	57091	22944	16334	-4633	-9302
SLV_SIS_050	57091	22944	16334	-4633	-9302
SLV_SIS_051	57091	22944	17906	-4633	-9302
SLV_SIS_052	57091	22944	17906	-4633	-9302
SLV_SIS_053	57918	22944	15643	-4633	-9302
SLV_SIS_054	57918	22944	15643	-4633	-9302
SLV_SIS_055	57918	22985	6492	-4637	-9302
SLV_SIS_056	57918	22985	6492	-4637	-9302
SLV_SIS_057	53665	-22014	98679	4549	10600
SLV_SIS_058	53665	-22014	98679	4549	10600
SLV_SIS_059	53655	-22036	99205	4553	10600
SLV_SIS_060	53655	-22036	99205	4553	10600
SLV_SIS_061	54417	-22036	104531	4553	10600
SLV_SIS_062	54417	-22036	104531	4553	10600
SLV_SIS_063	54007	-22036	110825	4553	10600
SLV_SIS_064	54007	-22036	110825	4553	10600
SLV_SIS_065	54007	-22036	112397	4553	10600
SLV_SIS_066	54007	-22036	112397	4553	10600
SLV_SIS_067	54834	-22036	110134	4553	10600
SLV_SIS_068	54834	-22036	110134	4553	10600
SLV_SIS_069	54834	-21995	100984	4549	10600
SLV_SIS_070	54834	-21995	100984	4549	10600
SLV_SIS_071	53665	-22014	98679	4549	10600
SLV_SIS_072	53665	-22014	98679	4549	10600
SLV_SIS_073	53655	-22036	99205	4553	10600
SLV_SIS_074	53655	-22036	99205	4553	10600
SLV_SIS_075	54417	-22036	104531	4553	10600
SLV_SIS_076	54417	-22036	104531	4553	10600
SLV_SIS_077	54007	-22036	110825	4553	10600
SLV_SIS_078	54007	-22036	110825	4553	10600
SLV_SIS_079	54007	-22036	112397	4553	10600
SLV_SIS_080	54007	-22036	112397	4553	10600
SLV_SIS_081	54834	-22036	110134	4553	10600
SLV_SIS_082	54834	-22036	110134	4553	10600
SLV_SIS_083	54834	-21995	100984	4549	10600
SLV_SIS_084	54834	-21995	100984	4549	10600
SLV_SIS_085	53665	-74490	46203	15265	-116
SLV_SIS_086	53665	-74490	46203	15265	-116
SLV_SIS_087	53655	-74512	46729	15269	-116
SLV_SIS_088	53655	-74512	46729	15269	-116
SLV_SIS_089	54417	-74512	52055	15269	-116
SLV_SIS_090	54417	-74512	52055	15269	-116
SLV_SIS_091	54007	-74512	58349	15269	-116
SLV_SIS_092	54007	-74512	58349	15269	-116
SLV_SIS_093	54007	-74512	59921	15269	-116
SLV_SIS_094	54007	-74512	59921	15269	-116
SLV_SIS_095	54834	-74512	57658	15269	-116
SLV_SIS_096	54834	-74512	57658	15269	-116

Relazione Geotecnica di calcolo delle fondazioni

COMMESSA	LOTTO	CODIFICA	DOCUMENTO	REV.	FOGLIO
IF1N	01 E ZZ	CL	VI0300 002	D	37 di 170

SLV_SIS_097	54834	-74471	48508	15265	-116
SLV_SIS_098	54834	-74471	48508	15265	-116
SLV_SIS_099	56749	-22014	49168	4549	-116
SLV_SIS_100	56749	-22014	49168	4549	-116
SLV_SIS_101	56739	-22036	49693	4553	-116
SLV_SIS_102	56739	-22036	49693	4553	-116
SLV_SIS_103	57500	-22036	55019	4553	-116
SLV_SIS_104	57500	-22036	55019	4553	-116
SLV_SIS_105	57091	-22036	61313	4553	-116
SLV_SIS_106	57091	-22036	61313	4553	-116
SLV_SIS_107	57091	-22036	62885	4553	-116
SLV_SIS_108	57091	-22036	62885	4553	-116
SLV_SIS_109	57918	-22036	60623	4553	-116
SLV_SIS_110	57918	-22036	60623	4553	-116
SLV_SIS_111	57918	-21995	51472	4549	-116
SLV_SIS_112	57918	-21995	51472	4549	-116
SLV_SIS_113	53665	22965	-71459	-4637	-24387
SLV_SIS_114	53665	22965	-71459	-4637	-24387
SLV_SIS_115	53655	22944	-70934	-4633	-24387
SLV_SIS_116	53655	22944	-70934	-4633	-24387
SLV_SIS_117	54417	22944	-65607	-4633	-24387
SLV_SIS_118	54417	22944	-65607	-4633	-24387
SLV_SIS_119	54007	22944	-59313	-4633	-24387
SLV_SIS_120	54007	22944	-59313	-4633	-24387
SLV_SIS_121	54007	22944	-57741	-4633	-24387
SLV_SIS_122	54007	22944	-57741	-4633	-24387
SLV_SIS_123	54834	22944	-60004	-4633	-24387
SLV_SIS_124	54834	22944	-60004	-4633	-24387
SLV_SIS_125	54834	22985	-69155	-4637	-24387
SLV_SIS_126	54834	22985	-69155	-4637	-24387
SLV_SIS_127	53665	22965	-71459	-4637	-24387
SLV_SIS_128	53665	22965	-71459	-4637	-24387
SLV_SIS_129	53655	22944	-70934	-4633	-24387
SLV_SIS_130	53655	22944	-70934	-4633	-24387
SLV_SIS_131	54417	22944	-65607	-4633	-24387
SLV_SIS_132	54417	22944	-65607	-4633	-24387
SLV_SIS_133	54007	22944	-59313	-4633	-24387
SLV_SIS_134	54007	22944	-59313	-4633	-24387
SLV_SIS_135	54007	22944	-57741	-4633	-24387
SLV_SIS_136	54007	22944	-57741	-4633	-24387
SLV_SIS_137	54834	22944	-60004	-4633	-24387
SLV_SIS_138	54834	22944	-60004	-4633	-24387
SLV_SIS_139	54834	22985	-69155	-4637	-24387
SLV_SIS_140	54834	22985	-69155	-4637	-24387
SLV_SIS_141	53665	75441	-18983	-15353	-13671
SLV_SIS_142	53665	75441	-18983	-15353	-13671
SLV_SIS_143	53655	75420	-18458	-15349	-13671
SLV_SIS_144	53655	75420	-18458	-15349	-13671
SLV_SIS_145	54417	75420	-13131	-15349	-13671

Relazione Geotecnica di calcolo delle fondazioni

COMMESSA	LOTTO	CODIFICA	DOCUMENTO	REV.	FOGLIO
IF1N	01 E ZZ	CL	VI0300 002	D	38 di 170

SLV_SIS_146	54417	75420	-13131	-15349	-13671
SLV_SIS_147	54007	75420	-6837	-15349	-13671
SLV_SIS_148	54007	75420	-6837	-15349	-13671
SLV_SIS_149	54007	75420	-5265	-15349	-13671
SLV_SIS_150	54007	75420	-5265	-15349	-13671
SLV_SIS_151	54834	75420	-7528	-15349	-13671
SLV_SIS_152	54834	75420	-7528	-15349	-13671
SLV_SIS_153	54834	75461	-16679	-15353	-13671
SLV_SIS_154	54834	75461	-16679	-15353	-13671
SLV_SIS_155	56749	22965	-16019	-4637	-13671
SLV_SIS_156	56749	22965	-16019	-4637	-13671
SLV_SIS_157	56739	22944	-15494	-4633	-13671
SLV_SIS_158	56739	22944	-15494	-4633	-13671
SLV_SIS_159	57500	22944	-10167	-4633	-13671
SLV_SIS_160	57500	22944	-10167	-4633	-13671
SLV_SIS_161	57091	22944	-3873	-4633	-13671
SLV_SIS_162	57091	22944	-3873	-4633	-13671
SLV_SIS_163	57091	22944	-2301	-4633	-13671
SLV_SIS_164	57091	22944	-2301	-4633	-13671
SLV_SIS_165	57918	22944	-4564	-4633	-13671
SLV_SIS_166	57918	22944	-4564	-4633	-13671
SLV_SIS_167	57918	22985	-13714	-4637	-13671
SLV_SIS_168	57918	22985	-13714	-4637	-13671
SLV_SIS_169	53665	-22014	78473	4549	6231
SLV_SIS_170	53665	-22014	78473	4549	6231
SLV_SIS_171	53655	-22036	78998	4553	6231
SLV_SIS_172	53655	-22036	78998	4553	6231
SLV_SIS_173	54417	-22036	84324	4553	6231
SLV_SIS_174	54417	-22036	84324	4553	6231
SLV_SIS_175	54007	-22036	90618	4553	6231
SLV_SIS_176	54007	-22036	90618	4553	6231
SLV_SIS_177	54007	-22036	92191	4553	6231
SLV_SIS_178	54007	-22036	92191	4553	6231
SLV_SIS_179	54834	-22036	89928	4553	6231
SLV_SIS_180	54834	-22036	89928	4553	6231
SLV_SIS_181	54834	-21995	80777	4549	6231
SLV_SIS_182	54834	-21995	80777	4549	6231
SLV_SIS_183	53665	-22014	78473	4549	6231
SLV_SIS_184	53665	-22014	78473	4549	6231
SLV_SIS_185	53655	-22036	78998	4553	6231
SLV_SIS_186	53655	-22036	78998	4553	6231
SLV_SIS_187	54417	-22036	84324	4553	6231
SLV_SIS_188	54417	-22036	84324	4553	6231
SLV_SIS_189	54007	-22036	90618	4553	6231
SLV_SIS_190	54007	-22036	90618	4553	6231
SLV_SIS_191	54007	-22036	92191	4553	6231
SLV_SIS_192	54007	-22036	92191	4553	6231
SLV_SIS_193	54834	-22036	89928	4553	6231
SLV_SIS_194	54834	-22036	89928	4553	6231

Relazione Geotecnica di calcolo delle fondazioni

COMMESSA	LOTTO	CODIFICA	DOCUMENTO	REV.	FOGLIO
IF1N	01 E ZZ	CL	VI0300 002	D	39 di 170

SLV_SIS_195	54834	-21995	80777	4549	6231
SLV_SIS_196	54834	-21995	80777	4549	6231
SLV_SIS_197	53665	-74490	25997	15265	-4485
SLV_SIS_198	53665	-74490	25997	15265	-4485
SLV_SIS_199	53655	-74512	26522	15269	-4485
SLV_SIS_200	53655	-74512	26522	15269	-4485
SLV_SIS_201	54417	-74512	31848	15269	-4485
SLV_SIS_202	54417	-74512	31848	15269	-4485
SLV_SIS_203	54007	-74512	38142	15269	-4485
SLV_SIS_204	54007	-74512	38142	15269	-4485
SLV_SIS_205	54007	-74512	39714	15269	-4485
SLV_SIS_206	54007	-74512	39714	15269	-4485
SLV_SIS_207	54834	-74512	37452	15269	-4485
SLV_SIS_208	54834	-74512	37452	15269	-4485
SLV_SIS_209	54834	-74471	28301	15265	-4485
SLV_SIS_210	54834	-74471	28301	15265	-4485
SLV_SIS_211	56749	-22014	28961	4549	-4485
SLV_SIS_212	56749	-22014	28961	4549	-4485
SLV_SIS_213	56739	-22036	29486	4553	-4485
SLV_SIS_214	56739	-22036	29486	4553	-4485
SLV_SIS_215	57500	-22036	34813	4553	-4485
SLV_SIS_216	57500	-22036	34813	4553	-4485
SLV_SIS_217	57091	-22036	41106	4553	-4485
SLV_SIS_218	57091	-22036	41106	4553	-4485
SLV_SIS_219	57091	-22036	42679	4553	-4485
SLV_SIS_220	57091	-22036	42679	4553	-4485
SLV_SIS_221	57918	-22036	40416	4553	-4485
SLV_SIS_222	57918	-22036	40416	4553	-4485
SLV_SIS_223	57918	-21995	31265	4549	-4485
SLV_SIS_224	57918	-21995	31265	4549	-4485

  	ITINERARIO NAPOLI – BARI RADDOPPIO TRATTA CANCELLO – BENEVENTO I° LOTTO FUNZIONALE CANCELLO - FRASSO TELESINO E VARIANTE ALLA LINEA ROMA-NAPOLI VIA CASSINO NEL COMUNE DI MADDALONI – PROGETTO ESECUTIVO												
Relazione Geotecnica di calcolo delle fondazioni	<table border="1"> <tr> <td>COMMESSA</td> <td>LOTTO</td> <td>CODIFICA</td> <td>DOCUMENTO</td> <td>REV.</td> <td>FOGLIO</td> </tr> <tr> <td>IF1N</td> <td>01 E ZZ</td> <td>CL</td> <td>VI0300 002</td> <td>D</td> <td>40 di 170</td> </tr> </table>	COMMESSA	LOTTO	CODIFICA	DOCUMENTO	REV.	FOGLIO	IF1N	01 E ZZ	CL	VI0300 002	D	40 di 170
COMMESSA	LOTTO	CODIFICA	DOCUMENTO	REV.	FOGLIO								
IF1N	01 E ZZ	CL	VI0300 002	D	40 di 170								

7.1.3 SCATOLARE “B” (LATO BENEVENTO)

	N	M _B	M _L	T _B	T _L
	[kN]	[kNm]	[kNm]	[kN]	[kN]
SLU_GEO_001	38504	0	-12465	0	-4709
SLU_GEO_002	38504	0	-2415	0	-3622
SLU_GEO_003	38504	0	-2415	0	-3622
SLU_GEO_004	46177	3473	-14441	-306	-3622
SLU_GEO_005	46177	3473	-2415	-306	-3622
SLU_GEO_006	46177	3473	9611	-306	-3622
SLU_GEO_007	38504	0	-2415	0	-3622
SLU_GEO_008	38504	0	-2415	0	-3622
SLU_GEO_009	46177	3473	-14441	-306	-3622
SLU_GEO_010	46177	3473	-2415	-306	-3622
SLU_GEO_011	46177	3473	9611	-306	-3622
SLU_GEO_012	48496	3178	-2415	-280	-3622
SLU_GEO_013	45934	0	-20991	0	-3622
SLU_GEO_014	38504	-2239	-2415	417	-3622
SLU_GEO_015	38504	-2239	-2415	417	-3622
SLU_GEO_016	46177	1234	-14441	111	-3622
SLU_GEO_017	46177	1234	-2415	111	-3622
SLU_GEO_018	46177	1234	9611	111	-3622
SLU_GEO_019	46177	-2239	9611	417	-3622
SLU_GEO_020	38504	-2239	-2415	417	-3622
SLU_GEO_021	38504	-2239	-2415	417	-3622
SLU_GEO_022	46177	1234	-14441	111	-3622
SLU_GEO_023	46177	1234	-2415	111	-3622
SLU_GEO_024	46177	1234	9611	111	-3622
SLU_GEO_025	48496	939	-2415	137	-3622
SLU_GEO_026	45934	-2239	-20991	417	-3622
SLU_GEO_027	38504	0	-12465	0	-4709
SLU_GEO_028	38504	0	-12465	0	-4709
SLU_GEO_029	38504	-2239	-12465	417	-4709
SLU_GEO_030	38504	2239	-12465	-417	-4709
SLU_GEO_031	38504	0	-12465	0	-4709
SLU_GEO_032	38504	0	-2415	0	-3622
SLU_GEO_033	38504	0	-2415	0	-3622
SLU_GEO_034	46177	3473	-14441	-306	-3622
SLU_GEO_035	46177	3473	-2415	-306	-3622
SLU_GEO_036	46177	3473	9611	-306	-3622
SLU_GEO_037	46177	0	9611	0	-3622
SLU_GEO_038	38504	0	-2415	0	-3622
SLU_GEO_039	38504	0	-2415	0	-3622
SLU_GEO_040	46177	3473	-14441	-306	-3622
SLU_GEO_041	46177	3473	-2415	-306	-3622
SLU_GEO_042	46177	3473	9611	-306	-3622
SLU_GEO_043	48496	3178	-2415	-280	-3622
SLU_GEO_044	45934	0	-20991	0	-3622
SLU_GEO_045	38504	-2239	-12465	417	-4709
SLU_GEO_046	38504	-2239	-2415	417	-3622

Relazione Geotecnica di calcolo delle fondazioni

COMMESSA	LOTTO	CODIFICA	DOCUMENTO	REV.	FOGLIO
IF1N	01 E ZZ	CL	VI0300 002	D	41 di 170

SLU_GEO_047	38504	-2239	-2415	417	-3622
SLU_GEO_048	46177	1234	-14441	111	-3622
SLU_GEO_049	46177	1234	-2415	111	-3622
SLU_GEO_050	46177	1234	9611	111	-3622
SLU_GEO_051	46177	-2239	9611	417	-3622
SLU_GEO_052	38504	-2239	-2415	417	-3622
SLU_GEO_053	38504	-2239	-2415	417	-3622
SLU_GEO_054	46177	1234	-14441	111	-3622
SLU_GEO_055	46177	1234	-2415	111	-3622
SLU_GEO_056	46177	1234	9611	111	-3622
SLU_GEO_057	46177	-5712	9611	723	-3622
SLU_GEO_058	48496	939	-2415	137	-3622
SLU_GEO_059	45934	-2239	-20991	417	-3622
SLU_GEO_060	39108	0	-12465	0	-4709
SLU_GEO_061	39108	0	-12465	0	-4709
SLU_GEO_062	39108	0	-12465	0	-4709
SLU_GEO_063	38504	0	-12465	0	-4709
SLU_GEO_064	38504	0	-2415	0	-3622
SLU_GEO_065	38504	0	-2415	0	-3622
SLU_GEO_066	46177	3473	-14441	-306	-3622
SLU_GEO_067	46177	3473	-2415	-306	-3622
SLU_GEO_068	46177	3473	9611	-306	-3622
SLU_GEO_069	48496	3178	-2415	-280	-3622
SLU_GEO_070	45934	0	-20991	0	-3622
SLU_GEO_071	38504	0	-12818	0	-5872
SLU_GEO_072	38504	0	-12818	0	-5872
SLU_GEO_073	46177	3473	-24845	-306	-5872
SLU_GEO_074	46177	3473	-12818	-306	-5872
SLU_GEO_075	46177	3473	-792	-306	-5872
SLU_GEO_076	38504	0	-12818	0	-5872
SLU_GEO_077	38504	0	-12818	0	-5872
SLU_GEO_078	46177	3473	-24845	-306	-5872
SLU_GEO_079	46177	3473	-12818	-306	-5872
SLU_GEO_080	46177	3473	-792	-306	-5872
SLU_GEO_081	48496	3178	-12818	-280	-5872
SLU_GEO_082	45934	0	-31394	0	-5872
SLU_GEO_083	38504	-2239	-12818	417	-5872
SLU_GEO_084	38504	-2239	-12818	417	-5872
SLU_GEO_085	46177	1234	-24845	111	-5872
SLU_GEO_086	46177	1234	-12818	111	-5872
SLU_GEO_087	46177	1234	-792	111	-5872
SLU_GEO_088	46177	-2239	-792	417	-5872
SLU_GEO_089	38504	-2239	-12818	417	-5872
SLU_GEO_090	38504	-2239	-12818	417	-5872
SLU_GEO_091	46177	1234	-24845	111	-5872
SLU_GEO_092	46177	1234	-12818	111	-5872
SLU_GEO_093	46177	1234	-792	111	-5872
SLU_GEO_094	48496	939	-12818	137	-5872
SLU_GEO_095	45934	-2239	-31394	417	-5872

Relazione Geotecnica di calcolo delle fondazioni

COMMESSA	LOTTO	CODIFICA	DOCUMENTO	REV.	FOGLIO
IF1N	01 E ZZ	CL	VI0300 002	D	42 di 170

SLU_GEO_096	38504	0	-22868	0	-6958
SLU_GEO_097	38504	0	-22868	0	-6958
SLU_GEO_098	38504	-2239	-22868	417	-6958
SLU_GEO_099	38504	2239	-22868	-417	-6958
SLU_GEO_100	38504	0	-22868	0	-6958
SLU_GEO_101	38504	0	-12818	0	-5872
SLU_GEO_102	38504	0	-12818	0	-5872
SLU_GEO_103	46177	3473	-24845	-306	-5872
SLU_GEO_104	46177	3473	-12818	-306	-5872
SLU_GEO_105	46177	3473	-792	-306	-5872
SLU_GEO_106	46177	0	-792	0	-5872
SLU_GEO_107	38504	0	-12818	0	-5872
SLU_GEO_108	38504	0	-12818	0	-5872
SLU_GEO_109	46177	3473	-24845	-306	-5872
SLU_GEO_110	46177	3473	-12818	-306	-5872
SLU_GEO_111	46177	3473	-792	-306	-5872
SLU_GEO_112	48496	3178	-12818	-280	-5872
SLU_GEO_113	45934	0	-31394	0	-5872
SLU_GEO_114	38504	-2239	-22868	417	-6958
SLU_GEO_115	38504	-2239	-12818	417	-5872
SLU_GEO_116	38504	-2239	-12818	417	-5872
SLU_GEO_117	46177	1234	-24845	111	-5872
SLU_GEO_118	46177	1234	-12818	111	-5872
SLU_GEO_119	46177	1234	-792	111	-5872
SLU_GEO_120	46177	-2239	-792	417	-5872
SLU_GEO_121	38504	-2239	-12818	417	-5872
SLU_GEO_122	38504	-2239	-12818	417	-5872
SLU_GEO_123	46177	1234	-24845	111	-5872
SLU_GEO_124	46177	1234	-12818	111	-5872
SLU_GEO_125	46177	1234	-792	111	-5872
SLU_GEO_126	46177	-5712	-792	723	-5872
SLU_GEO_127	48496	939	-12818	137	-5872
SLU_GEO_128	45934	-2239	-31394	417	-5872
SLU_GEO_129	39108	0	-22868	0	-6958
SLU_GEO_130	39108	0	-22868	0	-6958
SLU_GEO_131	39108	0	-22868	0	-6958
SLU_GEO_132	38504	0	-12818	0	-5872
SLU_GEO_133	38504	0	-12818	0	-5872
SLU_GEO_134	46177	3473	-24845	-306	-5872
SLU_GEO_135	46177	3473	-12818	-306	-5872
SLU_GEO_136	46177	3473	-792	-306	-5872
SLU_GEO_137	48496	3178	-12818	-280	-5872
SLU_GEO_138	45934	0	-31394	0	-5872

Relazione Geotecnica di calcolo delle fondazioni

COMMESSA	LOTTO	CODIFICA	DOCUMENTO	REV.	FOGLIO
IF1N	01 E ZZ	CL	VI0300 002	D	43 di 170

	N [kN]	M _B [kNm]	M _L [kNm]	T _B [kN]	T _L [kN]
SLV_SIS_001	38422	16524	-67564	-3355	-15892
SLV_SIS_002	38422	16524	-67564	-3355	-15892
SLV_SIS_003	38422	16524	-67564	-3355	-15892
SLV_SIS_004	38422	16524	-67564	-3355	-15892
SLV_SIS_005	39425	16978	-69137	-3395	-15892
SLV_SIS_006	39425	16978	-69137	-3395	-15892
SLV_SIS_007	39425	16978	-67564	-3395	-15892
SLV_SIS_008	39425	16978	-67564	-3395	-15892
SLV_SIS_009	39425	16978	-65992	-3395	-15892
SLV_SIS_010	39425	16978	-65992	-3395	-15892
SLV_SIS_011	39849	16978	-67564	-3395	-15892
SLV_SIS_012	39849	16978	-67564	-3395	-15892
SLV_SIS_013	39483	16524	-70218	-3355	-15892
SLV_SIS_014	39483	16524	-70218	-3355	-15892
SLV_SIS_015	38422	16524	-67564	-3355	-15892
SLV_SIS_016	38422	16524	-67564	-3355	-15892
SLV_SIS_017	38422	16524	-67564	-3355	-15892
SLV_SIS_018	38422	16524	-67564	-3355	-15892
SLV_SIS_019	39425	16978	-69137	-3395	-15892
SLV_SIS_020	39425	16978	-69137	-3395	-15892
SLV_SIS_021	39425	16978	-67564	-3395	-15892
SLV_SIS_022	39425	16978	-67564	-3395	-15892
SLV_SIS_023	39425	16978	-65992	-3395	-15892
SLV_SIS_024	39425	16978	-65992	-3395	-15892
SLV_SIS_025	39849	16978	-67564	-3395	-15892
SLV_SIS_026	39849	16978	-67564	-3395	-15892
SLV_SIS_027	39483	16524	-70218	-3355	-15892
SLV_SIS_028	39483	16524	-70218	-3355	-15892
SLV_SIS_029	38422	55079	-29009	-11183	-8064
SLV_SIS_030	38422	55079	-29009	-11183	-8064
SLV_SIS_031	38422	55079	-29009	-11183	-8064
SLV_SIS_032	38422	55079	-29009	-11183	-8064
SLV_SIS_033	39425	55533	-30581	-11223	-8064
SLV_SIS_034	39425	55533	-30581	-11223	-8064
SLV_SIS_035	39425	55533	-29009	-11223	-8064
SLV_SIS_036	39425	55533	-29009	-11223	-8064
SLV_SIS_037	39425	55533	-27437	-11223	-8064
SLV_SIS_038	39425	55533	-27437	-11223	-8064
SLV_SIS_039	39849	55533	-29009	-11223	-8064
SLV_SIS_040	39849	55533	-29009	-11223	-8064
SLV_SIS_041	39483	55079	-31663	-11183	-8064
SLV_SIS_042	39483	55079	-31663	-11183	-8064
SLV_SIS_043	40674	16524	-28896	-3355	-8064
SLV_SIS_044	40674	16524	-28896	-3355	-8064
SLV_SIS_045	40674	16524	-28896	-3355	-8064

Relazione Geotecnica di calcolo delle fondazioni

COMMESSA	LOTTO	CODIFICA	DOCUMENTO	REV.	FOGLIO
IF1N	01 E ZZ	CL	VI0300 002	D	44 di 170

SLV_SIS_046	40674	16524	-28896	-3355	-8064
SLV_SIS_047	41677	16978	-30468	-3395	-8064
SLV_SIS_048	41677	16978	-30468	-3395	-8064
SLV_SIS_049	41677	16978	-28896	-3395	-8064
SLV_SIS_050	41677	16978	-28896	-3395	-8064
SLV_SIS_051	41677	16978	-27324	-3395	-8064
SLV_SIS_052	41677	16978	-27324	-3395	-8064
SLV_SIS_053	42102	16978	-28896	-3395	-8064
SLV_SIS_054	42102	16978	-28896	-3395	-8064
SLV_SIS_055	41736	16524	-31550	-3355	-8064
SLV_SIS_056	41736	16524	-31550	-3355	-8064
SLV_SIS_057	38422	-16524	42593	3355	6474
SLV_SIS_058	38422	-16524	42593	3355	6474
SLV_SIS_059	38422	-16524	42593	3355	6474
SLV_SIS_060	38422	-16524	42593	3355	6474
SLV_SIS_061	39425	-16070	41021	3315	6474
SLV_SIS_062	39425	-16070	41021	3315	6474
SLV_SIS_063	39425	-16070	42593	3315	6474
SLV_SIS_064	39425	-16070	42593	3315	6474
SLV_SIS_065	39425	-16070	44166	3315	6474
SLV_SIS_066	39425	-16070	44166	3315	6474
SLV_SIS_067	39849	-16070	42593	3315	6474
SLV_SIS_068	39849	-16070	42593	3315	6474
SLV_SIS_069	39483	-16524	39940	3355	6474
SLV_SIS_070	39483	-16524	39940	3355	6474
SLV_SIS_071	38422	-16524	42593	3355	6474
SLV_SIS_072	38422	-16524	42593	3355	6474
SLV_SIS_073	38422	-16524	42593	3355	6474
SLV_SIS_074	38422	-16524	42593	3355	6474
SLV_SIS_075	39425	-16070	41021	3315	6474
SLV_SIS_076	39425	-16070	41021	3315	6474
SLV_SIS_077	39425	-16070	42593	3315	6474
SLV_SIS_078	39425	-16070	42593	3315	6474
SLV_SIS_079	39425	-16070	44166	3315	6474
SLV_SIS_080	39425	-16070	44166	3315	6474
SLV_SIS_081	39849	-16070	42593	3315	6474
SLV_SIS_082	39849	-16070	42593	3315	6474
SLV_SIS_083	39483	-16524	39940	3355	6474
SLV_SIS_084	39483	-16524	39940	3355	6474
SLV_SIS_085	38422	-55079	4038	11183	-1354
SLV_SIS_086	38422	-55079	4038	11183	-1354
SLV_SIS_087	38422	-55079	4038	11183	-1354
SLV_SIS_088	38422	-55079	4038	11183	-1354
SLV_SIS_089	39425	-54625	2466	11143	-1354
SLV_SIS_090	39425	-54625	2466	11143	-1354
SLV_SIS_091	39425	-54625	4038	11143	-1354
SLV_SIS_092	39425	-54625	4038	11143	-1354
SLV_SIS_093	39425	-54625	5610	11143	-1354
SLV_SIS_094	39425	-54625	5610	11143	-1354

Relazione Geotecnica di calcolo delle fondazioni

COMMESSA	LOTTO	CODIFICA	DOCUMENTO	REV.	FOGLIO
IF1N	01 E ZZ	CL	VI0300 002	D	45 di 170

SLV_SIS_095	39849	-54625	4038	11143	-1354
SLV_SIS_096	39849	-54625	4038	11143	-1354
SLV_SIS_097	39483	-55079	1384	11183	-1354
SLV_SIS_098	39483	-55079	1384	11183	-1354
SLV_SIS_099	40674	-16524	4152	3355	-1354
SLV_SIS_100	40674	-16524	4152	3355	-1354
SLV_SIS_101	40674	-16524	4152	3355	-1354
SLV_SIS_102	40674	-16524	4152	3355	-1354
SLV_SIS_103	41677	-16070	2579	3315	-1354
SLV_SIS_104	41677	-16070	2579	3315	-1354
SLV_SIS_105	41677	-16070	4152	3315	-1354
SLV_SIS_106	41677	-16070	4152	3315	-1354
SLV_SIS_107	41677	-16070	5724	3315	-1354
SLV_SIS_108	41677	-16070	5724	3315	-1354
SLV_SIS_109	42102	-16070	4152	3315	-1354
SLV_SIS_110	42102	-16070	4152	3315	-1354
SLV_SIS_111	41736	-16524	1498	3355	-1354
SLV_SIS_112	41736	-16524	1498	3355	-1354
SLV_SIS_113	38422	16524	-87771	-3355	-20261
SLV_SIS_114	38422	16524	-87771	-3355	-20261
SLV_SIS_115	38422	16524	-87771	-3355	-20261
SLV_SIS_116	38422	16524	-87771	-3355	-20261
SLV_SIS_117	39425	16978	-89343	-3395	-20261
SLV_SIS_118	39425	16978	-89343	-3395	-20261
SLV_SIS_119	39425	16978	-87771	-3395	-20261
SLV_SIS_120	39425	16978	-87771	-3395	-20261
SLV_SIS_121	39425	16978	-86199	-3395	-20261
SLV_SIS_122	39425	16978	-86199	-3395	-20261
SLV_SIS_123	39849	16978	-87771	-3395	-20261
SLV_SIS_124	39849	16978	-87771	-3395	-20261
SLV_SIS_125	39483	16524	-90425	-3355	-20261
SLV_SIS_126	39483	16524	-90425	-3355	-20261
SLV_SIS_127	38422	16524	-87771	-3355	-20261
SLV_SIS_128	38422	16524	-87771	-3355	-20261
SLV_SIS_129	38422	16524	-87771	-3355	-20261
SLV_SIS_130	38422	16524	-87771	-3355	-20261
SLV_SIS_131	39425	16978	-89343	-3395	-20261
SLV_SIS_132	39425	16978	-89343	-3395	-20261
SLV_SIS_133	39425	16978	-87771	-3395	-20261
SLV_SIS_134	39425	16978	-87771	-3395	-20261
SLV_SIS_135	39425	16978	-86199	-3395	-20261
SLV_SIS_136	39425	16978	-86199	-3395	-20261
SLV_SIS_137	39849	16978	-87771	-3395	-20261
SLV_SIS_138	39849	16978	-87771	-3395	-20261
SLV_SIS_139	39483	16524	-90425	-3355	-20261
SLV_SIS_140	39483	16524	-90425	-3355	-20261
SLV_SIS_141	38422	55079	-49216	-11183	-12433
SLV_SIS_142	38422	55079	-49216	-11183	-12433
SLV_SIS_143	38422	55079	-49216	-11183	-12433

Relazione Geotecnica di calcolo delle fondazioni

COMMESSA	LOTTO	CODIFICA	DOCUMENTO	REV.	FOGLIO
IF1N	01 E ZZ	CL	VI0300 002	D	46 di 170

SLV_SIS_144	38422	55079	-49216	-11183	-12433
SLV_SIS_145	39425	55533	-50788	-11223	-12433
SLV_SIS_146	39425	55533	-50788	-11223	-12433
SLV_SIS_147	39425	55533	-49216	-11223	-12433
SLV_SIS_148	39425	55533	-49216	-11223	-12433
SLV_SIS_149	39425	55533	-47644	-11223	-12433
SLV_SIS_150	39425	55533	-47644	-11223	-12433
SLV_SIS_151	39849	55533	-49216	-11223	-12433
SLV_SIS_152	39849	55533	-49216	-11223	-12433
SLV_SIS_153	39483	55079	-51870	-11183	-12433
SLV_SIS_154	39483	55079	-51870	-11183	-12433
SLV_SIS_155	40674	16524	-49103	-3355	-12433
SLV_SIS_156	40674	16524	-49103	-3355	-12433
SLV_SIS_157	40674	16524	-49103	-3355	-12433
SLV_SIS_158	40674	16524	-49103	-3355	-12433
SLV_SIS_159	41677	16978	-50675	-3395	-12433
SLV_SIS_160	41677	16978	-50675	-3395	-12433
SLV_SIS_161	41677	16978	-49103	-3395	-12433
SLV_SIS_162	41677	16978	-49103	-3395	-12433
SLV_SIS_163	41677	16978	-47531	-3395	-12433
SLV_SIS_164	41677	16978	-47531	-3395	-12433
SLV_SIS_165	42102	16978	-49103	-3395	-12433
SLV_SIS_166	42102	16978	-49103	-3395	-12433
SLV_SIS_167	41736	16524	-51756	-3355	-12433
SLV_SIS_168	41736	16524	-51756	-3355	-12433
SLV_SIS_169	38422	-16524	22387	3355	2105
SLV_SIS_170	38422	-16524	22387	3355	2105
SLV_SIS_171	38422	-16524	22387	3355	2105
SLV_SIS_172	38422	-16524	22387	3355	2105
SLV_SIS_173	39425	-16070	20815	3315	2105
SLV_SIS_174	39425	-16070	20815	3315	2105
SLV_SIS_175	39425	-16070	22387	3315	2105
SLV_SIS_176	39425	-16070	22387	3315	2105
SLV_SIS_177	39425	-16070	23959	3315	2105
SLV_SIS_178	39425	-16070	23959	3315	2105
SLV_SIS_179	39849	-16070	22387	3315	2105
SLV_SIS_180	39849	-16070	22387	3315	2105
SLV_SIS_181	39483	-16524	19733	3355	2105
SLV_SIS_182	39483	-16524	19733	3355	2105
SLV_SIS_183	38422	-16524	22387	3355	2105
SLV_SIS_184	38422	-16524	22387	3355	2105
SLV_SIS_185	38422	-16524	22387	3355	2105
SLV_SIS_186	38422	-16524	22387	3355	2105
SLV_SIS_187	39425	-16070	20815	3315	2105
SLV_SIS_188	39425	-16070	20815	3315	2105
SLV_SIS_189	39425	-16070	22387	3315	2105
SLV_SIS_190	39425	-16070	22387	3315	2105
SLV_SIS_191	39425	-16070	23959	3315	2105
SLV_SIS_192	39425	-16070	23959	3315	2105

Relazione Geotecnica di calcolo delle fondazioni

COMMESSA	LOTTO	CODIFICA	DOCUMENTO	REV.	FOGLIO
IF1N	01 E ZZ	CL	VI0300 002	D	47 di 170

SLV_SIS_193	39849	-16070	22387	3315	2105
SLV_SIS_194	39849	-16070	22387	3315	2105
SLV_SIS_195	39483	-16524	19733	3355	2105
SLV_SIS_196	39483	-16524	19733	3355	2105
SLV_SIS_197	38422	-55079	-16169	11183	-5723
SLV_SIS_198	38422	-55079	-16169	11183	-5723
SLV_SIS_199	38422	-55079	-16169	11183	-5723
SLV_SIS_200	38422	-55079	-16169	11183	-5723
SLV_SIS_201	39425	-54625	-17741	11143	-5723
SLV_SIS_202	39425	-54625	-17741	11143	-5723
SLV_SIS_203	39425	-54625	-16169	11143	-5723
SLV_SIS_204	39425	-54625	-16169	11143	-5723
SLV_SIS_205	39425	-54625	-14596	11143	-5723
SLV_SIS_206	39425	-54625	-14596	11143	-5723
SLV_SIS_207	39849	-54625	-16169	11143	-5723
SLV_SIS_208	39849	-54625	-16169	11143	-5723
SLV_SIS_209	39483	-55079	-18822	11183	-5723
SLV_SIS_210	39483	-55079	-18822	11183	-5723
SLV_SIS_211	40674	-16524	-16055	3355	-5723
SLV_SIS_212	40674	-16524	-16055	3355	-5723
SLV_SIS_213	40674	-16524	-16055	3355	-5723
SLV_SIS_214	40674	-16524	-16055	3355	-5723
SLV_SIS_215	41677	-16070	-17627	3315	-5723
SLV_SIS_216	41677	-16070	-17627	3315	-5723
SLV_SIS_217	41677	-16070	-16055	3315	-5723
SLV_SIS_218	41677	-16070	-16055	3315	-5723
SLV_SIS_219	41677	-16070	-14483	3315	-5723
SLV_SIS_220	41677	-16070	-14483	3315	-5723
SLV_SIS_221	42102	-16070	-16055	3315	-5723
SLV_SIS_222	42102	-16070	-16055	3315	-5723
SLV_SIS_223	41736	-16524	-18709	3355	-5723
SLV_SIS_224	41736	-16524	-18709	3355	-5723

  	ITINERARIO NAPOLI – BARI RADDOPPIO TRATTA CANCELLO – BENEVENTO I° LOTTO FUNZIONALE CANCELLO - FRASSO TELESINO E VARIANTE ALLA LINEA ROMA-NAPOLI VIA CASSINO NEL COMUNE DI MADDALONI – PROGETTO ESECUTIVO												
Relazione Geotecnica di calcolo delle fondazioni	<table border="1"> <tr> <td>COMMESSA</td> <td>LOTTO</td> <td>CODIFICA</td> <td>DOCUMENTO</td> <td>REV.</td> <td>FOGLIO</td> </tr> <tr> <td>IF1N</td> <td>01 E ZZ</td> <td>CL</td> <td>VI0300 002</td> <td>D</td> <td>48 di 170</td> </tr> </table>	COMMESSA	LOTTO	CODIFICA	DOCUMENTO	REV.	FOGLIO	IF1N	01 E ZZ	CL	VI0300 002	D	48 di 170
COMMESSA	LOTTO	CODIFICA	DOCUMENTO	REV.	FOGLIO								
IF1N	01 E ZZ	CL	VI0300 002	D	48 di 170								

7.2 VERIFICA DI CAPACITA' PORTANTE DELLA FONDAZIONE

7.2.1 CONCIO TIPO AD ARCHI – SITUAZIONE CON RIEMPIMENTO

Fondazioni Dirette

Verifica in tensioni efficaci

Pista pedonale Latina. Scatolare su Fosso Fantacchiotto

$$q_{lim} = c' \cdot N_c \cdot s_c \cdot d_c \cdot i_c \cdot b_c \cdot g_c + q \cdot N_q \cdot s_q \cdot d_q \cdot i_q \cdot b_q \cdot g_q + 0,5 \cdot \gamma \cdot B \cdot N_{\gamma} \cdot s_{\gamma} \cdot d_{\gamma} \cdot i_{\gamma} \cdot b_{\gamma} \cdot g_{\gamma}$$

D = Profondità del piano di appoggio

e_B = Eccentricità in direzione B ($e_B = Mb/N$)

e_L = Eccentricità in direzione L ($e_L = Ml/N$) (per fondazione nastriforme $e_L = 0$; $L^* = L$)

B^* = Larghezza fittizia della fondazione ($B^* = B - 2 \cdot e_B$)

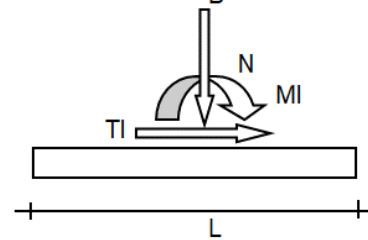
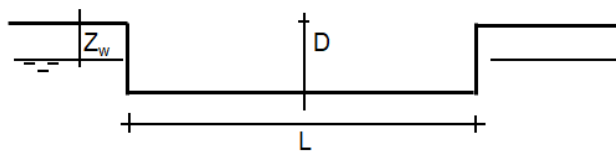
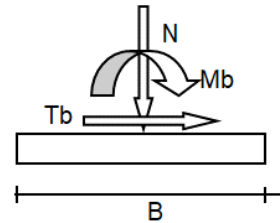
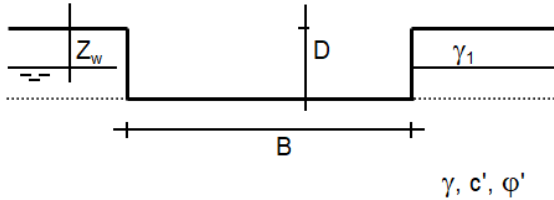
L^* = Lunghezza fittizia della fondazione ($L^* = L - 2 \cdot e_L$)

(per fondazione nastriforme le sollecitazioni agenti sono riferite all'unità di lunghezza)

Metodo di calcolo			coefficienti parziali					
			azioni		proprietà del terreno		resistenze	
			permanenti	temporanee variabili	$\tan \phi'$	c'	q_{lim}	scorr
Stato Limite Ultimo	A1+M1+R1	○	1.30	1.50	1.00	1.00	1.00	1.00
	A2+M2+R2	○	1.00	1.30	1.25	1.25	1.80	1.00
	SISMA	○	1.00	1.00	1.25	1.25	1.80	1.00
	A1+M1+R3	○	1.30	1.50	1.00	1.00	2.30	1.10
	SISMA	○	1.00	1.00	1.00	1.00	2.30	1.10
Tensioni Ammissibili		○	1.00	1.00	1.00	1.00	3.00	3.00
Definiti dal Progettista		⊗	1.00	1.00	1.25	1.25	1.80	1.00

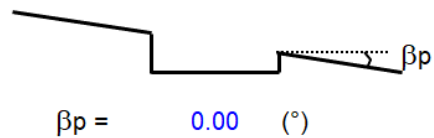
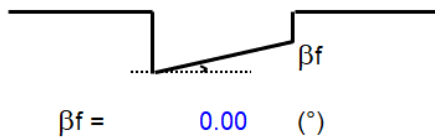
Relazione Geotecnica di calcolo delle fondazioni

COMMESSA	LOTTO	CODIFICA	DOCUMENTO	REV.	FOGLIO
IF1N	01 E ZZ	CL	VI0300 002	D	49 di 170



(Per fondazione nastriforme L = 100 m)

B	=	13.70	(m)
L	=	28.00	(m)
D	=	2.50	(m)

*Peso unità di volume del terreno*

γ_1	=	17.00	(kN/mc)
γ	=	17.00	(kN/mc)

Valori caratteristici di resistenza del terreno

c'	=	0.00	(kN/mq)
φ'	=	30.00	(°)

Valori di progetto

c'	=	0.00	(kN/mq)
φ'	=	24.79	(°)

Profondità della falda

Z_w	=	15.00	(m)
-------	---	-------	-----

Relazione Geotecnica di calcolo delle fondazioni

COMMESSA	LOTTO	CODIFICA	DOCUMENTO	REV.	FOGLIO
IF1N	01 E ZZ	CL	VI0300 002	D	50 di 170

	N [kN]	M _B [kNm]	M _L [kNm]	T _B [kN]	T _L [kN]	H [kN]	e _B * [m]	e _L * [m]	B* [m]	L* [m]
SLU_GEO_001	50574	0	-36	0	0	0	0.00	0.00	13.70	28.00
SLU_GEO_002	58069	-596	14276	64	1511	1512	0.01	0.25	13.68	27.51
SLU_GEO_003	58069	-591	21405	64	1511	1512	0.01	0.37	13.68	27.26
SLU_GEO_004	58069	-596	28535	64	1511	1512	0.01	0.49	13.68	27.02
SLU_GEO_005	58069	-591	21405	64	1511	1512	0.01	0.37	13.68	27.26
SLU_GEO_006	58069	596	14276	-64	1511	1512	0.01	0.25	13.68	27.51
SLU_GEO_007	58069	591	21405	-64	1511	1512	0.01	0.37	13.68	27.26
SLU_GEO_008	58069	596	28535	-64	1511	1512	0.01	0.49	13.68	27.02
SLU_GEO_009	58069	591	21405	-64	1511	1512	0.01	0.37	13.68	27.26
SLU_GEO_010	58069	-596	-13668	64	-1511	1512	0.01	0.24	13.68	27.53
SLU_GEO_011	58069	-591	-6539	64	-1511	1512	0.01	0.11	13.68	27.77
SLU_GEO_012	58069	-596	590	64	-1511	1512	0.01	0.01	13.68	27.98
SLU_GEO_013	58069	-591	-6539	64	-1511	1512	0.01	0.11	13.68	27.77
SLU_GEO_014	58069	596	-13668	-64	-1511	1512	0.01	0.24	13.68	27.53
SLU_GEO_015	58069	591	-6539	-64	-1511	1512	0.01	0.11	13.68	27.77
SLU_GEO_016	58069	596	590	-64	-1511	1512	0.01	0.01	13.68	27.98
SLU_GEO_017	58069	548	-6539	-59	-1511	1512	0.01	0.11	13.68	27.77
SLU_GEO_018	62083	-596	13936	64	1511	1512	0.01	0.22	13.68	27.55
SLU_GEO_019	62083	-591	13936	64	1511	1512	0.01	0.22	13.68	27.55
SLU_GEO_020	62083	-596	13936	64	1511	1512	0.01	0.22	13.68	27.55
SLU_GEO_021	62083	-591	13936	64	1511	1512	0.01	0.22	13.68	27.55
SLU_GEO_022	62083	596	13936	-64	1511	1512	0.01	0.22	13.68	27.55
SLU_GEO_023	62083	591	13936	-64	1511	1512	0.01	0.22	13.68	27.55
SLU_GEO_024	62083	596	13936	-64	1511	1512	0.01	0.22	13.68	27.55
SLU_GEO_025	62083	591	13936	-64	1511	1512	0.01	0.22	13.68	27.55
SLU_GEO_026	62083	-596	-14008	64	-1511	1512	0.01	0.23	13.68	27.55
SLU_GEO_027	62083	-591	-14008	64	-1511	1512	0.01	0.23	13.68	27.55
SLU_GEO_028	62083	-596	-14008	64	-1511	1512	0.01	0.23	13.68	27.55
SLU_GEO_029	62083	-591	-14008	64	-1511	1512	0.01	0.23	13.68	27.55
SLU_GEO_030	62083	596	-14008	-64	-1511	1512	0.01	0.23	13.68	27.55
SLU_GEO_031	62083	591	-14008	-64	-1511	1512	0.01	0.23	13.68	27.55
SLU_GEO_032	62083	596	-14008	-64	-1511	1512	0.01	0.23	13.68	27.55
SLU_GEO_033	62083	548	-14008	-59	-1511	1512	0.01	0.23	13.68	27.55
SLU_GEO_034	50574	0	-36	0	0	0	0.00	0.00	13.70	28.00
SLU_GEO_035	50574	0	-36	0	0	0	0.00	0.00	13.70	28.00
SLU_GEO_036	50574	-2646	-36	471	0	471	0.05	0.00	13.60	28.00
SLU_GEO_037	50574	2646	-36	-471	0	471	0.05	0.00	13.60	28.00
SLU_GEO_038	50574	0	-36	0	0	0	0.00	0.00	13.70	28.00
SLU_GEO_039	58069	-3241	14276	535	1511	1603	0.06	0.25	13.59	27.51
SLU_GEO_040	58069	-3237	21405	535	1511	1602	0.06	0.37	13.59	27.26
SLU_GEO_041	58069	-3241	28535	535	1511	1603	0.06	0.49	13.59	27.02
SLU_GEO_042	58069	-3237	21405	535	1511	1602	0.06	0.37	13.59	27.26
SLU_GEO_043	58069	-2050	14276	407	1511	1564	0.04	0.25	13.63	27.51
SLU_GEO_044	58069	-2054	21405	407	1511	1564	0.04	0.37	13.63	27.26
SLU_GEO_045	58069	-2050	28535	407	1511	1564	0.04	0.49	13.63	27.02
SLU_GEO_046	58069	-2054	21405	407	1511	1564	0.04	0.37	13.63	27.26

Relazione Geotecnica di calcolo delle fondazioni

COMMESSA	LOTTO	CODIFICA	DOCUMENTO	REV.	FOGLIO
IF1N	01 E ZZ	CL	VI0300 002	D	51 di 170

SLU_GEO_047	58069	-3241	-13668	535	-1511	1603	0.06	0.24	13.59	27.53
SLU_GEO_048	58069	-3237	-6539	535	-1511	1602	0.06	0.11	13.59	27.77
SLU_GEO_049	58069	-3241	590	535	-1511	1603	0.06	0.01	13.59	27.98
SLU_GEO_050	58069	-3237	-6539	535	-1511	1602	0.06	0.11	13.59	27.77
SLU_GEO_051	58069	-2050	-13668	407	-1511	1564	0.04	0.24	13.63	27.53
SLU_GEO_052	58069	-2054	-6539	407	-1511	1564	0.04	0.11	13.63	27.77
SLU_GEO_053	58069	-2050	590	407	-1511	1564	0.04	0.01	13.63	27.98
SLU_GEO_054	58069	-2098	-6539	412	-1511	1566	0.04	0.11	13.63	27.77
SLU_GEO_055	62083	-3241	13936	535	1511	1603	0.05	0.22	13.60	27.55
SLU_GEO_056	62083	-3237	13936	535	1511	1602	0.05	0.22	13.60	27.55
SLU_GEO_057	62083	-3241	13936	535	1511	1603	0.05	0.22	13.60	27.55
SLU_GEO_058	62083	-3237	13936	535	1511	1602	0.05	0.22	13.60	27.55
SLU_GEO_059	62083	-2050	13936	407	1511	1564	0.03	0.22	13.63	27.55
SLU_GEO_060	62083	-2054	13936	407	1511	1564	0.03	0.22	13.63	27.55
SLU_GEO_061	62083	-2050	13936	407	1511	1564	0.03	0.22	13.63	27.55
SLU_GEO_062	62083	-2054	13936	407	1511	1564	0.03	0.22	13.63	27.55
SLU_GEO_063	62083	-3241	-14008	535	-1511	1603	0.05	0.23	13.60	27.55
SLU_GEO_064	62083	-3237	-14008	535	-1511	1602	0.05	0.23	13.60	27.55
SLU_GEO_065	62083	-3241	-14008	535	-1511	1603	0.05	0.23	13.60	27.55
SLU_GEO_066	62083	-3237	-14008	535	-1511	1602	0.05	0.23	13.60	27.55
SLU_GEO_067	62083	-2050	-14008	407	-1511	1564	0.03	0.23	13.63	27.55
SLU_GEO_068	62083	-2054	-14008	407	-1511	1564	0.03	0.23	13.63	27.55
SLU_GEO_069	62083	-2050	-14008	407	-1511	1564	0.03	0.23	13.63	27.55
SLU_GEO_070	62083	-2098	-14008	412	-1511	1566	0.03	0.23	13.63	27.55
SLU_GEO_071	58069	-3241	14276	535	1511	1603	0.06	0.25	13.59	27.51
SLU_GEO_072	58069	-3237	21405	535	1511	1602	0.06	0.37	13.59	27.26
SLU_GEO_073	58069	-3241	28535	535	1511	1603	0.06	0.49	13.59	27.02
SLU_GEO_074	58069	-3237	21405	535	1511	1602	0.06	0.37	13.59	27.26
SLU_GEO_075	58069	-2050	14276	407	1511	1564	0.04	0.25	13.63	27.51
SLU_GEO_076	58069	-2054	21405	407	1511	1564	0.04	0.37	13.63	27.26
SLU_GEO_077	58069	-2050	28535	407	1511	1564	0.04	0.49	13.63	27.02
SLU_GEO_078	58069	-2054	21405	407	1511	1564	0.04	0.37	13.63	27.26
SLU_GEO_079	58069	-3241	-13668	535	-1511	1603	0.06	0.24	13.59	27.53
SLU_GEO_080	58069	-3237	-6539	535	-1511	1602	0.06	0.11	13.59	27.77
SLU_GEO_081	58069	-3241	590	535	-1511	1603	0.06	0.01	13.59	27.98
SLU_GEO_082	58069	-3237	-6539	535	-1511	1602	0.06	0.11	13.59	27.77
SLU_GEO_083	58069	-2050	-13668	407	-1511	1564	0.04	0.24	13.63	27.53
SLU_GEO_084	58069	-2054	-6539	407	-1511	1564	0.04	0.11	13.63	27.77
SLU_GEO_085	58069	-2050	590	407	-1511	1564	0.04	0.01	13.63	27.98
SLU_GEO_086	58069	-2098	-6539	412	-1511	1566	0.04	0.11	13.63	27.77
SLU_GEO_087	62083	-3241	13936	535	1511	1603	0.05	0.22	13.60	27.55
SLU_GEO_088	62083	-3237	13936	535	1511	1602	0.05	0.22	13.60	27.55
SLU_GEO_089	62083	-3241	13936	535	1511	1603	0.05	0.22	13.60	27.55
SLU_GEO_090	62083	-3237	13936	535	1511	1602	0.05	0.22	13.60	27.55
SLU_GEO_091	62083	-2050	13936	407	1511	1564	0.03	0.22	13.63	27.55
SLU_GEO_092	62083	-2054	13936	407	1511	1564	0.03	0.22	13.63	27.55
SLU_GEO_093	62083	-2050	13936	407	1511	1564	0.03	0.22	13.63	27.55
SLU_GEO_094	62083	-2054	13936	407	1511	1564	0.03	0.22	13.63	27.55
SLU_GEO_095	62083	-3241	-14008	535	-1511	1603	0.05	0.23	13.60	27.55

  	ITINERARIO NAPOLI – BARI RADDOPPIO TRATTA CANCELLO – BENEVENTO I° LOTTO FUNZIONALE CANCELLO - FRASSO TELESINO E VARIANTE ALLA LINEA ROMA-NAPOLI VIA CASSINO NEL COMUNE DI MADDALONI – PROGETTO ESECUTIVO					
	Relazione Geotecnica di calcolo delle fondazioni	COMMESSA IF1N	LOTTO 01 E ZZ	CODIFICA CL	DOCUMENTO VI0300 002	REV. D

SLU_GEO_096	62083	-3237	-14008	535	-1511	1602	0.05	0.23	13.60	27.55
SLU_GEO_097	62083	-3241	-14008	535	-1511	1603	0.05	0.23	13.60	27.55
SLU_GEO_098	62083	-3237	-14008	535	-1511	1602	0.05	0.23	13.60	27.55
SLU_GEO_099	62083	-2050	-14008	407	-1511	1564	0.03	0.23	13.63	27.55
SLU_GEO_100	62083	-2054	-14008	407	-1511	1564	0.03	0.23	13.63	27.55
SLU_GEO_101	62083	-2050	-14008	407	-1511	1564	0.03	0.23	13.63	27.55
SLU_GEO_102	62083	-2098	-14008	412	-1511	1566	0.03	0.23	13.63	27.55
SLU_GEO_103	51008	2680	-36	0	0	0	0.05	0.00	13.59	28.00
SLU_GEO_104	51442	0	-36	0	0	0	0.00	0.00	13.70	28.00
SLU_GEO_105	51442	0	-36	0	0	0	0.00	0.00	13.70	28.00

	Nc, Nq, Ny			Sc, Sq, Sy			ic, iq, iy						
	coefficienti di capacità portante			fattori di forma			fattori di inclinazione del carico						
	Nc [-]	Nq [-]	Ny [-]	sc [-]	sq [-]	sy [-]	mb [-]	ml [-]	θ [rad]	m [-]	ic [-]	iq [-]	iy [-]
SLU_GEO_001	20.42	10.43	10.56	1.25	1.23	0.80	1.67	1.33	67.15	1.62	1.00	1.00	1.00
SLU_GEO_002	20.42	10.43	10.56	1.25	1.23	0.80	1.67	1.33	2.44	1.33	0.96	0.97	0.94
SLU_GEO_003	20.42	10.43	10.56	1.26	1.23	0.80	1.67	1.33	2.42	1.33	0.96	0.97	0.94
SLU_GEO_004	20.42	10.43	10.56	1.26	1.23	0.80	1.66	1.34	2.44	1.34	0.96	0.97	0.94
SLU_GEO_005	20.42	10.43	10.56	1.26	1.23	0.80	1.67	1.33	2.42	1.33	0.96	0.97	0.94
SLU_GEO_006	20.42	10.43	10.56	1.25	1.23	0.80	1.67	1.33	2.44	1.33	0.96	0.97	0.94
SLU_GEO_007	20.42	10.43	10.56	1.26	1.23	0.80	1.67	1.33	2.42	1.33	0.96	0.97	0.94
SLU_GEO_008	20.42	10.43	10.56	1.26	1.23	0.80	1.66	1.34	2.44	1.34	0.96	0.97	0.94
SLU_GEO_009	20.42	10.43	10.56	1.26	1.23	0.80	1.67	1.33	2.42	1.33	0.96	0.97	0.94
SLU_GEO_010	20.42	10.43	10.56	1.25	1.23	0.80	1.67	1.33	2.44	1.33	0.96	0.97	0.94
SLU_GEO_011	20.42	10.43	10.56	1.25	1.23	0.80	1.67	1.33	2.42	1.33	0.96	0.97	0.94
SLU_GEO_012	20.42	10.43	10.56	1.25	1.23	0.80	1.67	1.33	2.44	1.33	0.96	0.97	0.94
SLU_GEO_013	20.42	10.43	10.56	1.25	1.23	0.80	1.67	1.33	2.42	1.33	0.96	0.97	0.94
SLU_GEO_014	20.42	10.43	10.56	1.25	1.23	0.80	1.67	1.33	2.44	1.33	0.96	0.97	0.94
SLU_GEO_015	20.42	10.43	10.56	1.25	1.23	0.80	1.67	1.33	2.42	1.33	0.96	0.97	0.94
SLU_GEO_016	20.42	10.43	10.56	1.25	1.23	0.80	1.67	1.33	2.44	1.33	0.96	0.97	0.94
SLU_GEO_017	20.42	10.43	10.56	1.25	1.23	0.80	1.67	1.33	2.25	1.33	0.96	0.97	0.94
SLU_GEO_018	20.42	10.43	10.56	1.25	1.23	0.80	1.67	1.33	2.44	1.33	0.96	0.97	0.94
SLU_GEO_019	20.42	10.43	10.56	1.25	1.23	0.80	1.67	1.33	2.42	1.33	0.96	0.97	0.94
SLU_GEO_020	20.42	10.43	10.56	1.25	1.23	0.80	1.67	1.33	2.44	1.33	0.96	0.97	0.94
SLU_GEO_021	20.42	10.43	10.56	1.25	1.23	0.80	1.67	1.33	2.42	1.33	0.96	0.97	0.94
SLU_GEO_022	20.42	10.43	10.56	1.25	1.23	0.80	1.67	1.33	2.44	1.33	0.96	0.97	0.94
SLU_GEO_023	20.42	10.43	10.56	1.25	1.23	0.80	1.67	1.33	2.42	1.33	0.96	0.97	0.94
SLU_GEO_024	20.42	10.43	10.56	1.25	1.23	0.80	1.67	1.33	2.44	1.33	0.96	0.97	0.94
SLU_GEO_025	20.42	10.43	10.56	1.25	1.23	0.80	1.67	1.33	2.42	1.33	0.96	0.97	0.94
SLU_GEO_026	20.42	10.43	10.56	1.25	1.23	0.80	1.67	1.33	2.44	1.33	0.96	0.97	0.94
SLU_GEO_027	20.42	10.43	10.56	1.25	1.23	0.80	1.67	1.33	2.42	1.33	0.96	0.97	0.94
SLU_GEO_028	20.42	10.43	10.56	1.25	1.23	0.80	1.67	1.33	2.44	1.33	0.96	0.97	0.94
SLU_GEO_029	20.42	10.43	10.56	1.25	1.23	0.80	1.67	1.33	2.42	1.33	0.96	0.97	0.94
SLU_GEO_030	20.42	10.43	10.56	1.25	1.23	0.80	1.67	1.33	2.44	1.33	0.96	0.97	0.94
SLU_GEO_031	20.42	10.43	10.56	1.25	1.23	0.80	1.67	1.33	2.42	1.33	0.96	0.97	0.94
SLU_GEO_032	20.42	10.43	10.56	1.25	1.23	0.80	1.67	1.33	2.44	1.33	0.96	0.97	0.94
SLU_GEO_033	20.42	10.43	10.56	1.25	1.23	0.80	1.67	1.33	2.25	1.33	0.96	0.97	0.94

ITINERARIO NAPOLI – BARI

RADDOPPIO TRATTA CANCELLO – BENEVENTO

I° LOTTO FUNZIONALE CANCELLO - FRASSO TELESINO E
VARIANTE ALLA LINEA ROMA-NAPOLI VIA CASSINO NEL
COMUNE DI MADDALONI – PROGETTO ESECUTIVO

Relazione Geotecnica di calcolo delle fondazioni

COMMESSA	LOTTO	CODIFICA	DOCUMENTO	REV.	FOGLIO
IF1N	01 E ZZ	CL	VI0300 002	D	53 di 170

SLU_GEO_034	20.42	10.43	10.56	1.25	1.23	0.80	1.67	1.33	67.36	1.62	1.00	1.00	1.00
SLU_GEO_035	20.42	10.43	10.56	1.25	1.23	0.80	1.67	1.33	67.70	1.62	1.00	1.00	1.00
SLU_GEO_036	20.42	10.43	10.56	1.25	1.22	0.81	1.67	1.33	90.00	1.67	0.98	0.98	0.98
SLU_GEO_037	20.42	10.43	10.56	1.25	1.22	0.81	1.67	1.33	90.00	1.67	0.98	0.98	0.98
SLU_GEO_038	20.42	10.43	10.56	1.25	1.23	0.80	1.67	1.33	67.15	1.62	1.00	1.00	1.00
SLU_GEO_039	20.42	10.43	10.56	1.25	1.23	0.80	1.67	1.33	19.52	1.37	0.96	0.96	0.94
SLU_GEO_040	20.42	10.43	10.56	1.25	1.23	0.80	1.67	1.33	19.50	1.37	0.96	0.96	0.94
SLU_GEO_041	20.42	10.43	10.56	1.26	1.23	0.80	1.67	1.33	19.52	1.37	0.96	0.96	0.94
SLU_GEO_042	20.42	10.43	10.56	1.25	1.23	0.80	1.67	1.33	19.50	1.37	0.96	0.96	0.94
SLU_GEO_043	20.42	10.43	10.56	1.25	1.23	0.80	1.67	1.33	15.07	1.35	0.96	0.96	0.94
SLU_GEO_044	20.42	10.43	10.56	1.26	1.23	0.80	1.67	1.33	15.08	1.36	0.96	0.96	0.94
SLU_GEO_045	20.42	10.43	10.56	1.26	1.23	0.80	1.66	1.34	15.07	1.36	0.96	0.96	0.94
SLU_GEO_046	20.42	10.43	10.56	1.26	1.23	0.80	1.67	1.33	15.08	1.36	0.96	0.96	0.94
SLU_GEO_047	20.42	10.43	10.56	1.25	1.23	0.80	1.67	1.33	19.52	1.37	0.96	0.96	0.94
SLU_GEO_048	20.42	10.43	10.56	1.25	1.23	0.80	1.67	1.33	19.50	1.37	0.96	0.96	0.94
SLU_GEO_049	20.42	10.43	10.56	1.25	1.22	0.81	1.67	1.33	19.52	1.37	0.96	0.96	0.94
SLU_GEO_050	20.42	10.43	10.56	1.25	1.23	0.80	1.67	1.33	19.50	1.37	0.96	0.96	0.94
SLU_GEO_051	20.42	10.43	10.56	1.25	1.23	0.80	1.67	1.33	15.07	1.35	0.96	0.96	0.94
SLU_GEO_052	20.42	10.43	10.56	1.25	1.23	0.80	1.67	1.33	15.08	1.35	0.96	0.96	0.94
SLU_GEO_053	20.42	10.43	10.56	1.25	1.22	0.81	1.67	1.33	15.07	1.35	0.96	0.96	0.94
SLU_GEO_054	20.42	10.43	10.56	1.25	1.23	0.80	1.67	1.33	15.25	1.35	0.96	0.96	0.94
SLU_GEO_055	20.42	10.43	10.56	1.25	1.23	0.80	1.67	1.33	19.52	1.37	0.96	0.96	0.94
SLU_GEO_056	20.42	10.43	10.56	1.25	1.23	0.80	1.67	1.33	19.50	1.37	0.96	0.96	0.94
SLU_GEO_057	20.42	10.43	10.56	1.25	1.23	0.80	1.67	1.33	19.52	1.37	0.96	0.96	0.94
SLU_GEO_058	20.42	10.43	10.56	1.25	1.23	0.80	1.67	1.33	19.50	1.37	0.96	0.96	0.94
SLU_GEO_059	20.42	10.43	10.56	1.25	1.23	0.80	1.67	1.33	15.07	1.35	0.96	0.97	0.94
SLU_GEO_060	20.42	10.43	10.56	1.25	1.23	0.80	1.67	1.33	15.08	1.35	0.96	0.97	0.94
SLU_GEO_061	20.42	10.43	10.56	1.25	1.23	0.80	1.67	1.33	15.07	1.35	0.96	0.97	0.94
SLU_GEO_062	20.42	10.43	10.56	1.25	1.23	0.80	1.67	1.33	15.08	1.35	0.96	0.97	0.94
SLU_GEO_063	20.42	10.43	10.56	1.25	1.23	0.80	1.67	1.33	19.52	1.37	0.96	0.96	0.94
SLU_GEO_064	20.42	10.43	10.56	1.25	1.23	0.80	1.67	1.33	19.50	1.37	0.96	0.96	0.94
SLU_GEO_065	20.42	10.43	10.56	1.25	1.23	0.80	1.67	1.33	19.52	1.37	0.96	0.96	0.94
SLU_GEO_066	20.42	10.43	10.56	1.25	1.23	0.80	1.67	1.33	19.50	1.37	0.96	0.96	0.94
SLU_GEO_067	20.42	10.43	10.56	1.25	1.23	0.80	1.67	1.33	15.07	1.35	0.96	0.97	0.94
SLU_GEO_068	20.42	10.43	10.56	1.25	1.23	0.80	1.67	1.33	15.08	1.35	0.96	0.97	0.94
SLU_GEO_069	20.42	10.43	10.56	1.25	1.23	0.80	1.67	1.33	15.07	1.35	0.96	0.97	0.94
SLU_GEO_070	20.42	10.43	10.56	1.25	1.23	0.80	1.67	1.33	15.25	1.35	0.96	0.97	0.94
SLU_GEO_071	20.42	10.43	10.56	1.25	1.23	0.80	1.67	1.33	19.52	1.37	0.96	0.96	0.94
SLU_GEO_072	20.42	10.43	10.56	1.25	1.23	0.80	1.67	1.33	19.50	1.37	0.96	0.96	0.94
SLU_GEO_073	20.42	10.43	10.56	1.26	1.23	0.80	1.67	1.33	19.52	1.37	0.96	0.96	0.94
SLU_GEO_074	20.42	10.43	10.56	1.25	1.23	0.80	1.67	1.33	19.50	1.37	0.96	0.96	0.94
SLU_GEO_075	20.42	10.43	10.56	1.25	1.23	0.80	1.67	1.33	15.07	1.35	0.96	0.96	0.94
SLU_GEO_076	20.42	10.43	10.56	1.26	1.23	0.80	1.67	1.33	15.08	1.36	0.96	0.96	0.94
SLU_GEO_077	20.42	10.43	10.56	1.26	1.23	0.80	1.66	1.34	15.07	1.36	0.96	0.96	0.94
SLU_GEO_078	20.42	10.43	10.56	1.26	1.23	0.80	1.67	1.33	15.08	1.36	0.96	0.96	0.94
SLU_GEO_079	20.42	10.43	10.56	1.25	1.23	0.80	1.67	1.33	19.52	1.37	0.96	0.96	0.94
SLU_GEO_080	20.42	10.43	10.56	1.25	1.23	0.80	1.67	1.33	19.50	1.37	0.96	0.96	0.94
SLU_GEO_081	20.42	10.43	10.56	1.25	1.22	0.81	1.67	1.33	19.52	1.37	0.96	0.96	0.94
SLU_GEO_082	20.42	10.43	10.56	1.25	1.23	0.80	1.67	1.33	19.50	1.37	0.96	0.96	0.94

Relazione Geotecnica di calcolo delle fondazioni

COMMESSA	LOTTO	CODIFICA	DOCUMENTO	REV.	FOGLIO
IF1N	01 E ZZ	CL	VI0300 002	D	56 di 170

SLU_GEO_070	1.06	1.06	1.00	1.00	1.00	1.00	1.00	1.00	1.00
SLU_GEO_071	\	1.06	1.00	1.00	1.00	1.00	1.00	1.00	1.00
SLU_GEO_072	1.06	1.06	1.00	1.00	1.00	1.00	1.00	1.00	1.00
SLU_GEO_073	1.06	1.06	1.00	1.00	1.00	1.00	1.00	1.00	1.00
SLU_GEO_074	1.06	1.06	1.00	1.00	1.00	1.00	1.00	1.00	1.00
SLU_GEO_075	1.06	1.06	1.00	1.00	1.00	1.00	1.00	1.00	1.00
SLU_GEO_076	1.06	1.06	1.00	1.00	1.00	1.00	1.00	1.00	1.00
SLU_GEO_077	1.06	1.06	1.00	1.00	1.00	1.00	1.00	1.00	1.00
SLU_GEO_078	1.06	1.06	1.00	1.00	1.00	1.00	1.00	1.00	1.00
SLU_GEO_079	1.06	1.06	1.00	1.00	1.00	1.00	1.00	1.00	1.00
SLU_GEO_080	1.06	1.06	1.00	1.00	1.00	1.00	1.00	1.00	1.00
SLU_GEO_081	1.06	1.06	1.00	1.00	1.00	1.00	1.00	1.00	1.00
SLU_GEO_082	1.06	1.06	1.00	1.00	1.00	1.00	1.00	1.00	1.00
SLU_GEO_083	1.06	1.06	1.00	1.00	1.00	1.00	1.00	1.00	1.00
SLU_GEO_084	1.06	1.06	1.00	1.00	1.00	1.00	1.00	1.00	1.00
SLU_GEO_085	1.06	1.06	1.00	1.00	1.00	1.00	1.00	1.00	1.00
SLU_GEO_086	1.06	1.06	1.00	1.00	1.00	1.00	1.00	1.00	1.00
SLU_GEO_087	1.06	1.06	1.00	1.00	1.00	1.00	1.00	1.00	1.00
SLU_GEO_088	1.06	1.06	1.00	1.00	1.00	1.00	1.00	1.00	1.00
SLU_GEO_089	1.06	1.06	1.00	1.00	1.00	1.00	1.00	1.00	1.00
SLU_GEO_090	1.06	1.06	1.00	1.00	1.00	1.00	1.00	1.00	1.00
SLU_GEO_091	1.06	1.06	1.00	1.00	1.00	1.00	1.00	1.00	1.00
SLU_GEO_092	1.06	1.06	1.00	1.00	1.00	1.00	1.00	1.00	1.00
SLU_GEO_093	1.06	1.06	1.00	1.00	1.00	1.00	1.00	1.00	1.00
SLU_GEO_094	1.06	1.06	1.00	1.00	1.00	1.00	1.00	1.00	1.00
SLU_GEO_095	1.06	1.06	1.00	1.00	1.00	1.00	1.00	1.00	1.00
SLU_GEO_096	1.06	1.06	1.00	1.00	1.00	1.00	1.00	1.00	1.00
SLU_GEO_097	1.06	1.06	1.00	1.00	1.00	1.00	1.00	1.00	1.00
SLU_GEO_098	1.06	1.06	1.00	1.00	1.00	1.00	1.00	1.00	1.00
SLU_GEO_099	1.06	1.06	1.00	1.00	1.00	1.00	1.00	1.00	1.00
SLU_GEO_100	1.06	1.06	1.00	1.00	1.00	1.00	1.00	1.00	1.00
SLU_GEO_101	1.06	1.06	1.00	1.00	1.00	1.00	1.00	1.00	1.00
SLU_GEO_102	1.06	1.06	1.00	1.00	1.00	1.00	1.00	1.00	1.00
SLU_GEO_103	1.06	1.06	1.00	1.00	1.00	1.00	1.00	1.00	1.00
SLU_GEO_104	1.06	1.06	1.00	1.00	1.00	1.00	1.00	1.00	1.00
SLU_GEO_105	1.06	1.06	1.00	1.00	1.00	1.00	1.00	1.00	1.00

	<u>Carico limite unitario</u>	<u>Pressione agente</u>	<u>Verifica di capacità portante</u>	FS [-]
	q _{lim} [kPa]	q = N / B* L* [kPa]	q _{lim} / γ _R [kPa]	
SLU_GEO_001	1512	132	840	6.37
SLU_GEO_002	1433	154	796	5.16
SLU_GEO_003	1432	156	796	5.11
SLU_GEO_004	1431	157	795	5.06
SLU_GEO_005	1432	156	796	5.11
SLU_GEO_006	1433	154	796	5.16
SLU_GEO_007	1432	156	796	5.11
SLU_GEO_008	1431	157	795	5.06

Relazione Geotecnica di calcolo delle fondazioni

COMMESSA	LOTTO	CODIFICA	DOCUMENTO	REV.	FOGLIO
IF1N	01 E ZZ	CL	VI0300 002	D	57 di 170

SLU_GEO_009	1432	156	796	5.11
SLU_GEO_010	1434	154	796	5.16
SLU_GEO_011	1435	153	797	5.22
SLU_GEO_012	1436	152	798	5.26
SLU_GEO_013	1435	153	797	5.22
SLU_GEO_014	1434	154	796	5.16
SLU_GEO_015	1435	153	797	5.22
SLU_GEO_016	1436	152	798	5.26
SLU_GEO_017	1435	153	797	5.22
SLU_GEO_018	1439	165	799	4.85
SLU_GEO_019	1439	165	799	4.85
SLU_GEO_020	1439	165	799	4.85
SLU_GEO_021	1439	165	799	4.85
SLU_GEO_022	1439	165	799	4.85
SLU_GEO_023	1439	165	799	4.85
SLU_GEO_024	1439	165	799	4.85
SLU_GEO_025	1439	165	799	4.85
SLU_GEO_026	1439	165	799	4.85
SLU_GEO_027	1439	165	799	4.85
SLU_GEO_028	1439	165	799	4.85
SLU_GEO_029	1439	165	799	4.85
SLU_GEO_030	1439	165	799	4.85
SLU_GEO_031	1439	165	799	4.85
SLU_GEO_032	1439	165	799	4.85
SLU_GEO_033	1439	165	799	4.85
SLU_GEO_034	1512	132	840	6.37
SLU_GEO_035	1512	132	840	6.37
SLU_GEO_036	1474	133	819	6.17
SLU_GEO_037	1474	133	819	6.17
SLU_GEO_038	1512	132	840	6.37
SLU_GEO_039	1423	155	790	5.09
SLU_GEO_040	1422	157	790	5.04
SLU_GEO_041	1421	158	789	4.99
SLU_GEO_042	1422	157	790	5.04
SLU_GEO_043	1427	155	793	5.12
SLU_GEO_044	1426	156	792	5.07
SLU_GEO_045	1425	158	792	5.02
SLU_GEO_046	1426	156	792	5.07
SLU_GEO_047	1423	155	790	5.09
SLU_GEO_048	1424	154	791	5.14
SLU_GEO_049	2297	153	1276	8.36
SLU_GEO_050	1424	154	791	5.14
SLU_GEO_051	1427	155	793	5.12
SLU_GEO_052	1428	153	794	5.17
SLU_GEO_053	1429	152	794	5.22
SLU_GEO_054	1428	153	794	5.17
SLU_GEO_055	1428	166	794	4.79
SLU_GEO_056	1428	166	794	4.79
SLU_GEO_057	1428	166	794	4.79

Relazione Geotecnica di calcolo delle fondazioni

COMMESSA	LOTTO	CODIFICA	DOCUMENTO	REV.	FOGLIO
IF1N	01 E ZZ	CL	VI0300 002	D	58 di 170

SLU_GEO_058	1428	166	794	4.79
SLU_GEO_059	1433	165	796	4.82
SLU_GEO_060	1433	165	796	4.82
SLU_GEO_061	1433	165	796	4.82
SLU_GEO_062	1433	165	796	4.82
SLU_GEO_063	1428	166	794	4.79
SLU_GEO_064	1428	166	794	4.79
SLU_GEO_065	1428	166	794	4.79
SLU_GEO_066	1428	166	794	4.79
SLU_GEO_067	1433	165	796	4.82
SLU_GEO_068	1433	165	796	4.82
SLU_GEO_069	1433	165	796	4.82
SLU_GEO_070	1433	165	796	4.81
SLU_GEO_071	1423	155	790	5.09
SLU_GEO_072	1422	157	790	5.04
SLU_GEO_073	1421	158	789	4.99
SLU_GEO_074	1422	157	790	5.04
SLU_GEO_075	1427	155	793	5.12
SLU_GEO_076	1426	156	792	5.07
SLU_GEO_077	1425	158	792	5.02
SLU_GEO_078	1426	156	792	5.07
SLU_GEO_079	1423	155	790	5.09
SLU_GEO_080	1424	154	791	5.14
SLU_GEO_081	1425	153	791	5.18
SLU_GEO_082	1424	154	791	5.14
SLU_GEO_083	1427	155	793	5.12
SLU_GEO_084	1428	153	794	5.17
SLU_GEO_085	1429	152	794	5.22
SLU_GEO_086	1428	153	794	5.17
SLU_GEO_087	1428	166	794	4.79
SLU_GEO_088	1428	166	794	4.79
SLU_GEO_089	1428	166	794	4.79
SLU_GEO_090	1428	166	794	4.79
SLU_GEO_091	1433	165	796	4.82
SLU_GEO_092	1433	165	796	4.82
SLU_GEO_093	1433	165	796	4.82
SLU_GEO_094	1433	165	796	4.82
SLU_GEO_095	1428	166	794	4.79
SLU_GEO_096	1428	166	794	4.79
SLU_GEO_097	1428	166	794	4.79
SLU_GEO_098	1428	166	794	4.79
SLU_GEO_099	1433	165	796	4.82
SLU_GEO_100	1433	165	796	4.82
SLU_GEO_101	1433	165	796	4.82
SLU_GEO_102	1433	165	796	4.81
SLU_GEO_103	1506	134	837	6.24
SLU_GEO_104	1512	134	840	6.27
SLU_GEO_105	1512	134	840	6.27

Relazione Geotecnica di calcolo delle fondazioni

COMMESSA	LOTTO	CODIFICA	DOCUMENTO	REV.	FOGLIO
IF1N	01 E ZZ	CL	VI0300 002	D	59 di 170

	N [kN]	M _B [kNm]	M _L [kNm]	T _B [kN]	T _L [kN]	H [kN]	e _B * [m]	e _L * [m]	B* [m]	L* [m]
SLV_SIS_001	49113	18813	-62689	-4141	-13802	14410	0.38	1.28	12.93	25.45
SLV_SIS_002	49113	18813	-62689	-4141	-13802	14410	0.38	1.28	12.93	25.45
SLV_SIS_003	49699	18813	-62739	-4141	-13802	14410	0.38	1.26	12.94	25.48
SLV_SIS_004	49699	18813	-62739	-4141	-13802	14410	0.38	1.26	12.94	25.48
SLV_SIS_005	49113	18813	-60608	-4141	-13802	14410	0.38	1.23	12.93	25.53
SLV_SIS_006	49113	18813	-60608	-4141	-13802	14410	0.38	1.23	12.93	25.53
SLV_SIS_007	49699	18813	-62739	-4141	-13802	14410	0.38	1.26	12.94	25.48
SLV_SIS_008	49699	18813	-62739	-4141	-13802	14410	0.38	1.26	12.94	25.48
SLV_SIS_009	49113	62711	-18792	-13802	-4141	14410	1.28	0.38	11.15	27.23
SLV_SIS_010	49113	62711	-18792	-13802	-4141	14410	1.28	0.38	11.15	27.23
SLV_SIS_011	49699	62711	-18841	-13802	-4141	14410	1.26	0.38	11.18	27.24
SLV_SIS_012	49699	62711	-18841	-13802	-4141	14410	1.26	0.38	11.18	27.24
SLV_SIS_013	49113	62711	-16710	-13802	-4141	14410	1.28	0.34	11.15	27.32
SLV_SIS_014	49113	62711	-16710	-13802	-4141	14410	1.28	0.34	11.15	27.32
SLV_SIS_015	49699	62711	-18841	-13802	-4141	14410	1.26	0.38	11.18	27.24
SLV_SIS_016	52087	62711	-18843	-13802	-4141	14410	1.20	0.36	11.29	27.28
SLV_SIS_017	51501	18813	-18793	-4141	-4141	5856	0.37	0.36	12.97	27.27
SLV_SIS_018	51501	18813	-18793	-4141	-4141	5856	0.37	0.36	12.97	27.27
SLV_SIS_019	52087	18813	-18843	-4141	-4141	5856	0.36	0.36	12.98	27.28
SLV_SIS_020	52087	18813	-18843	-4141	-4141	5856	0.36	0.36	12.98	27.28
SLV_SIS_021	51501	18813	-16712	-4141	-4141	5856	0.37	0.32	12.97	27.35
SLV_SIS_022	51501	18813	-16712	-4141	-4141	5856	0.37	0.32	12.97	27.35
SLV_SIS_023	52087	18813	-18843	-4141	-4141	5856	0.36	0.36	12.98	27.28
SLV_SIS_024	52087	18813	-18843	-4141	-4141	5856	0.36	0.36	12.98	27.28
SLV_SIS_025	49113	-18813	62732	4141	13802	14410	0.38	1.28	12.93	25.45
SLV_SIS_026	49113	-18813	62732	4141	13802	14410	0.38	1.28	12.93	25.45
SLV_SIS_027	49699	-18813	62683	4141	13802	14410	0.38	1.26	12.94	25.48
SLV_SIS_028	49699	-18813	62683	4141	13802	14410	0.38	1.26	12.94	25.48
SLV_SIS_029	49113	-18813	64814	4141	13802	14410	0.38	1.32	12.93	25.36
SLV_SIS_030	49113	-18813	64814	4141	13802	14410	0.38	1.32	12.93	25.36
SLV_SIS_031	49699	-18813	62683	4141	13802	14410	0.38	1.26	12.94	25.48
SLV_SIS_032	49699	-18813	62683	4141	13802	14410	0.38	1.26	12.94	25.48
SLV_SIS_033	49113	-62711	18835	13802	4141	14410	1.28	0.38	11.15	27.23
SLV_SIS_034	49113	-62711	18835	13802	4141	14410	1.28	0.38	11.15	27.23
SLV_SIS_035	49699	-62711	18785	13802	4141	14410	1.26	0.38	11.18	27.24
SLV_SIS_036	49699	-62711	18785	13802	4141	14410	1.26	0.38	11.18	27.24
SLV_SIS_037	49113	-62711	20916	13802	4141	14410	1.28	0.43	11.15	27.15
SLV_SIS_038	49113	-62711	20916	13802	4141	14410	1.28	0.43	11.15	27.15
SLV_SIS_039	49699	-62711	18785	13802	4141	14410	1.26	0.38	11.18	27.24
SLV_SIS_040	52087	-62711	18783	13802	4141	14410	1.20	0.36	11.29	27.28
SLV_SIS_041	51501	-18813	18833	4141	4141	5856	0.37	0.37	12.97	27.27
SLV_SIS_042	51501	-18813	18833	4141	4141	5856	0.37	0.37	12.97	27.27
SLV_SIS_043	52087	-18813	18783	4141	4141	5856	0.36	0.36	12.98	27.28
SLV_SIS_044	52087	-18813	18783	4141	4141	5856	0.36	0.36	12.98	27.28
SLV_SIS_045	51501	-18813	20915	4141	4141	5856	0.37	0.41	12.97	27.19
SLV_SIS_046	51501	-18813	20915	4141	4141	5856	0.37	0.41	12.97	27.19

  	ITINERARIO NAPOLI – BARI RADDOPPIO TRATTA CANCELLO – BENEVENTO I° LOTTO FUNZIONALE CANCELLO - FRASSO TELESINO E VARIANTE ALLA LINEA ROMA-NAPOLI VIA CASSINO NEL COMUNE DI MADDALONI – PROGETTO ESECUTIVO					
	Relazione Geotecnica di calcolo delle fondazioni	COMMESSA IF1N	LOTTO 01 E ZZ	CODIFICA CL	DOCUMENTO VI0300 002	REV. D

SLV_SIS_047	52087	-18813	18783	4141	4141	5856	0.36	0.36	12.98	27.28
SLV_SIS_048	52087	-18813	18783	4141	4141	5856	0.36	0.36	12.98	27.28

	Nc, Nq, Ny			Sc, Sq, Sy			ic, iq, iy						
	coefficienti di capacità portante			fattori di forma			fattori di inclinazione del carico						
	Nc [-]	Nq [-]	Ny [-]	sc [-]	sq [-]	sy [-]	mb [-]	ml [-]	θ [rad]	m [-]	ic [-]	iq [-]	iy [-]
SLV_SIS_001	20.42	10.43	10.56	1.26	1.23	0.80	1.66	1.34	16.70	1.36	0.58	0.62	0.44
SLV_SIS_002	20.42	10.43	10.56	1.26	1.23	0.80	1.66	1.34	16.70	1.36	0.58	0.62	0.44
SLV_SIS_003	20.42	10.43	10.56	1.26	1.23	0.80	1.66	1.34	16.70	1.36	0.59	0.63	0.45
SLV_SIS_004	20.42	10.43	10.56	1.26	1.23	0.80	1.66	1.34	16.70	1.36	0.59	0.63	0.45
SLV_SIS_005	20.42	10.43	10.56	1.26	1.23	0.80	1.66	1.34	16.70	1.36	0.58	0.62	0.44
SLV_SIS_006	20.42	10.43	10.56	1.26	1.23	0.80	1.66	1.34	16.70	1.36	0.58	0.62	0.44
SLV_SIS_007	20.42	10.43	10.56	1.26	1.23	0.80	1.66	1.34	16.70	1.36	0.59	0.63	0.45
SLV_SIS_008	20.42	10.43	10.56	1.26	1.23	0.80	1.66	1.34	16.70	1.36	0.59	0.63	0.45
SLV_SIS_009	20.42	10.43	10.56	1.21	1.19	0.84	1.71	1.29	73.30	1.67	0.51	0.56	0.39
SLV_SIS_010	20.42	10.43	10.56	1.21	1.19	0.84	1.71	1.29	73.30	1.67	0.51	0.56	0.39
SLV_SIS_011	20.42	10.43	10.56	1.21	1.19	0.84	1.71	1.29	73.30	1.67	0.52	0.56	0.40
SLV_SIS_012	20.42	10.43	10.56	1.21	1.19	0.84	1.71	1.29	73.30	1.67	0.52	0.56	0.40
SLV_SIS_013	20.42	10.43	10.56	1.21	1.19	0.84	1.71	1.29	73.30	1.68	0.51	0.56	0.39
SLV_SIS_014	20.42	10.43	10.56	1.21	1.19	0.84	1.71	1.29	73.30	1.68	0.51	0.56	0.39
SLV_SIS_015	20.42	10.43	10.56	1.21	1.19	0.84	1.71	1.29	73.30	1.67	0.52	0.56	0.40
SLV_SIS_016	20.42	10.43	10.56	1.21	1.19	0.83	1.71	1.29	73.30	1.67	0.54	0.58	0.42
SLV_SIS_017	20.42	10.43	10.56	1.24	1.22	0.81	1.68	1.32	45.00	1.50	0.82	0.83	0.74
SLV_SIS_018	20.42	10.43	10.56	1.24	1.22	0.81	1.68	1.32	45.00	1.50	0.82	0.83	0.74
SLV_SIS_019	20.42	10.43	10.56	1.24	1.22	0.81	1.68	1.32	45.00	1.50	0.82	0.84	0.74
SLV_SIS_020	20.42	10.43	10.56	1.24	1.22	0.81	1.68	1.32	45.00	1.50	0.82	0.84	0.74
SLV_SIS_021	20.42	10.43	10.56	1.24	1.22	0.81	1.68	1.32	45.00	1.50	0.82	0.83	0.74
SLV_SIS_022	20.42	10.43	10.56	1.24	1.22	0.81	1.68	1.32	45.00	1.50	0.82	0.83	0.74
SLV_SIS_023	20.42	10.43	10.56	1.24	1.22	0.81	1.68	1.32	45.00	1.50	0.82	0.84	0.74
SLV_SIS_024	20.42	10.43	10.56	1.24	1.22	0.81	1.68	1.32	45.00	1.50	0.82	0.84	0.74
SLV_SIS_025	20.42	10.43	10.56	1.26	1.23	0.80	1.66	1.34	16.70	1.36	0.58	0.62	0.44
SLV_SIS_026	20.42	10.43	10.56	1.26	1.23	0.80	1.66	1.34	16.70	1.36	0.58	0.62	0.44
SLV_SIS_027	20.42	10.43	10.56	1.26	1.23	0.80	1.66	1.34	16.70	1.36	0.59	0.63	0.45
SLV_SIS_028	20.42	10.43	10.56	1.26	1.23	0.80	1.66	1.34	16.70	1.36	0.59	0.63	0.45
SLV_SIS_029	20.42	10.43	10.56	1.26	1.24	0.80	1.66	1.34	16.70	1.36	0.58	0.62	0.44
SLV_SIS_030	20.42	10.43	10.56	1.26	1.24	0.80	1.66	1.34	16.70	1.36	0.58	0.62	0.44
SLV_SIS_031	20.42	10.43	10.56	1.26	1.23	0.80	1.66	1.34	16.70	1.36	0.59	0.63	0.45
SLV_SIS_032	20.42	10.43	10.56	1.26	1.23	0.80	1.66	1.34	16.70	1.36	0.59	0.63	0.45
SLV_SIS_033	20.42	10.43	10.56	1.21	1.19	0.84	1.71	1.29	73.30	1.67	0.51	0.56	0.39
SLV_SIS_034	20.42	10.43	10.56	1.21	1.19	0.84	1.71	1.29	73.30	1.67	0.51	0.56	0.39
SLV_SIS_035	20.42	10.43	10.56	1.21	1.19	0.84	1.71	1.29	73.30	1.67	0.52	0.56	0.40
SLV_SIS_036	20.42	10.43	10.56	1.21	1.19	0.84	1.71	1.29	73.30	1.67	0.52	0.56	0.40
SLV_SIS_037	20.42	10.43	10.56	1.21	1.19	0.84	1.71	1.29	73.30	1.67	0.51	0.56	0.40
SLV_SIS_038	20.42	10.43	10.56	1.21	1.19	0.84	1.71	1.29	73.30	1.67	0.51	0.56	0.40
SLV_SIS_039	20.42	10.43	10.56	1.21	1.19	0.84	1.71	1.29	73.30	1.67	0.52	0.56	0.40
SLV_SIS_040	20.42	10.43	10.56	1.21	1.19	0.83	1.71	1.29	73.30	1.67	0.54	0.58	0.42

Relazione Geotecnica di calcolo delle fondazioni

COMMESSA	LOTTO	CODIFICA	DOCUMENTO	REV.	FOGLIO
IF1N	01 E ZZ	CL	VI0300 002	D	62 di 170

SLV_SIS_035	1.07	1.08	1.00	1.00	1.00	1.00	1.00	1.00	1.00
SLV_SIS_036	1.07	1.08	1.00	1.00	1.00	1.00	1.00	1.00	1.00
SLV_SIS_037	1.07	1.08	1.00	1.00	1.00	1.00	1.00	1.00	1.00
SLV_SIS_038	1.07	1.08	1.00	1.00	1.00	1.00	1.00	1.00	1.00
SLV_SIS_039	1.07	1.08	1.00	1.00	1.00	1.00	1.00	1.00	1.00
SLV_SIS_040	1.07	1.08	1.00	1.00	1.00	1.00	1.00	1.00	1.00
SLV_SIS_041	1.06	1.07	1.00	1.00	1.00	1.00	1.00	1.00	1.00
SLV_SIS_042	1.06	1.07	1.00	1.00	1.00	1.00	1.00	1.00	1.00
SLV_SIS_043	1.06	1.07	1.00	1.00	1.00	1.00	1.00	1.00	1.00
SLV_SIS_044	1.06	1.07	1.00	1.00	1.00	1.00	1.00	1.00	1.00
SLV_SIS_045	1.06	1.07	1.00	1.00	1.00	1.00	1.00	1.00	1.00
SLV_SIS_046	1.06	1.07	1.00	1.00	1.00	1.00	1.00	1.00	1.00
SLV_SIS_047	1.06	1.07	1.00	1.00	1.00	1.00	1.00	1.00	1.00
SLV_SIS_048	1.06	1.07	1.00	1.00	1.00	1.00	1.00	1.00	1.00

	<u>Carico limite unitario</u>	<u>Pressione agente</u>	<u>Verifica di capacità portante</u>	FS [-]
	q_{lim} [kPa]	$q = N / B^* L^*$ [kPa]	q_{lim} / γ_R [kPa]	
SLV_SIS_001	747	149	415	2.78
SLV_SIS_002	747	149	415	2.78
SLV_SIS_003	755	151	419	2.78
SLV_SIS_004	755	151	419	2.78
SLV_SIS_005	748	149	415	2.79
SLV_SIS_006	748	149	415	2.79
SLV_SIS_007	755	151	419	2.78
SLV_SIS_008	755	151	419	2.78
SLV_SIS_009	629	162	349	2.16
SLV_SIS_010	629	162	349	2.16
SLV_SIS_011	636	163	353	2.17
SLV_SIS_012	636	163	353	2.17
SLV_SIS_013	629	161	349	2.16
SLV_SIS_014	629	161	349	2.16
SLV_SIS_015	636	163	353	2.17
SLV_SIS_016	666	169	370	2.19
SLV_SIS_017	1139	146	633	4.35
SLV_SIS_018	1139	146	633	4.35
SLV_SIS_019	1143	147	635	4.32
SLV_SIS_020	1143	147	635	4.32
SLV_SIS_021	1140	145	633	4.36
SLV_SIS_022	1140	145	633	4.36
SLV_SIS_023	1143	147	635	4.32
SLV_SIS_024	1143	147	635	4.32
SLV_SIS_025	747	149	415	2.78
SLV_SIS_026	747	149	415	2.78
SLV_SIS_027	755	151	419	2.78
SLV_SIS_028	755	151	419	2.78
SLV_SIS_029	747	150	415	2.77
SLV_SIS_030	747	150	415	2.77

Relazione Geotecnica di calcolo delle fondazioni

COMMESSA	LOTTO	CODIFICA	DOCUMENTO	REV.	FOGLIO
IF1N	01 E ZZ	CL	VI0300 002	D	63 di 170

SLV_SIS_031	755	151	419	2.78
SLV_SIS_032	755	151	419	2.78
SLV_SIS_033	629	162	349	2.16
SLV_SIS_034	629	162	349	2.16
SLV_SIS_035	636	163	353	2.17
SLV_SIS_036	636	163	353	2.17
SLV_SIS_037	629	162	349	2.15
SLV_SIS_038	629	162	349	2.15
SLV_SIS_039	636	163	353	2.17
SLV_SIS_040	666	169	370	2.19
SLV_SIS_041	1139	146	633	4.35
SLV_SIS_042	1139	146	633	4.35
SLV_SIS_043	1143	147	635	4.32
SLV_SIS_044	1143	147	635	4.32
SLV_SIS_045	1139	146	633	4.33
SLV_SIS_046	1139	146	633	4.33
SLV_SIS_047	1143	147	635	4.32
SLV_SIS_048	1143	147	635	4.32

  	ITINERARIO NAPOLI – BARI RADDOPPIO TRATTA CANCELLO – BENEVENTO I° LOTTO FUNZIONALE CANCELLO - FRASSO TELESINO E VARIANTE ALLA LINEA ROMA-NAPOLI VIA CASSINO NEL COMUNE DI MADDALONI – PROGETTO ESECUTIVO												
Relazione Geotecnica di calcolo delle fondazioni	<table border="1"> <tr> <td>COMMESSA</td> <td>LOTTO</td> <td>CODIFICA</td> <td>DOCUMENTO</td> <td>REV.</td> <td>FOGLIO</td> </tr> <tr> <td>IF1N</td> <td>01 E ZZ</td> <td>CL</td> <td>VI0300 002</td> <td>D</td> <td>64 di 170</td> </tr> </table>	COMMESSA	LOTTO	CODIFICA	DOCUMENTO	REV.	FOGLIO	IF1N	01 E ZZ	CL	VI0300 002	D	64 di 170
COMMESSA	LOTTO	CODIFICA	DOCUMENTO	REV.	FOGLIO								
IF1N	01 E ZZ	CL	VI0300 002	D	64 di 170								

7.2.2 SCATOLARE “A” + SOTTOVIA (LATO CANCELLO)

Fondazioni Dirette

Verifica in tensioni efficaci

Pista pedonale Latina. Scatolare su Fosso Fantacchiotto

$$q_{lim} = c' \cdot N_c \cdot s_c \cdot d_c \cdot i_c \cdot b_c \cdot g_c + q \cdot N_q \cdot s_q \cdot d_q \cdot i_q \cdot b_q \cdot g_q + 0,5 \cdot \gamma \cdot B \cdot N_{\gamma} \cdot s_{\gamma} \cdot d_{\gamma} \cdot i_{\gamma} \cdot b_{\gamma} \cdot g_{\gamma}$$

D = Profondità del piano di appoggio

e_B = Eccentricità in direzione B ($e_B = M_B/N$)

e_L = Eccentricità in direzione L ($e_L = M_L/N$) (per fondazione nastriforme $e_L = 0$; $L^* = L$)

B^* = Larghezza fittizia della fondazione ($B^* = B - 2 \cdot e_B$)

L^* = Lunghezza fittizia della fondazione ($L^* = L - 2 \cdot e_L$)

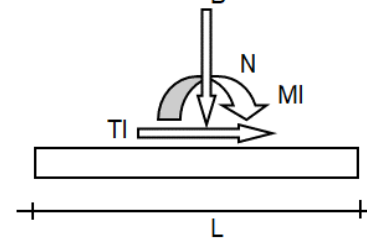
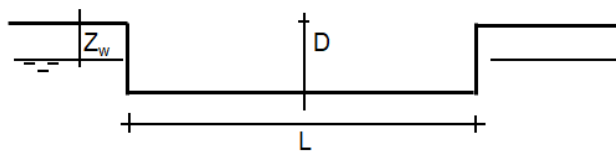
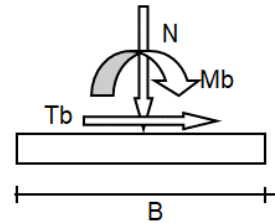
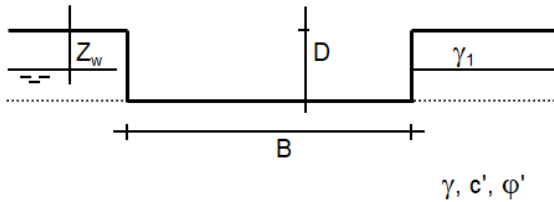
(per fondazione nastriforme le sollecitazioni agenti sono riferite all'unità di lunghezza)

coefficienti parziali

Metodo di calcolo			azioni		proprietà del terreno		resistenze	
			permanenti	temporanee variabili	$\tan \varphi'$	c'	q_{lim}	scorr
Stato Limite Ultimo	A1+M1+R1	○	1.30	1.50	1.00	1.00	1.00	1.00
	A2+M2+R2	○	1.00	1.30	1.25	1.25	1.80	1.00
	SISMA	○	1.00	1.00	1.25	1.25	1.80	1.00
	A1+M1+R3	○	1.30	1.50	1.00	1.00	2.30	1.10
	SISMA	○	1.00	1.00	1.00	1.00	2.30	1.10
Tensioni Ammissibili		○	1.00	1.00	1.00	1.00	3.00	3.00
Definiti dal Progettista		⊙	1.00	1.00	1.25	1.25	1.80	1.00

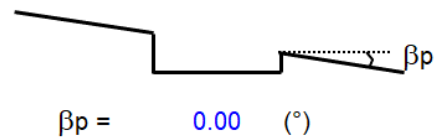
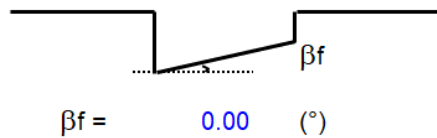
Relazione Geotecnica di calcolo delle fondazioni

COMMESSA	LOTTO	CODIFICA	DOCUMENTO	REV.	FOGLIO
IF1N	01 E ZZ	CL	VI0300 002	D	65 di 170



(Per fondazione nastriforme L = 100 m)

B	=	13.70	(m)
L	=	29.95	(m)
D	=	2.50	(m)

*Peso unità di volume del terreno*

γ_1	=	17.00	(kN/mc)
γ	=	17.00	(kN/mc)

Valori caratteristici di resistenza del terreno

c'	=	0.00	(kN/mq)
φ'	=	30.00	(°)

Valori di progetto

c'	=	0.00	(kN/mq)
φ'	=	24.79	(°)

Profondità della falda

Z_w	=	15.00	(m)
-------	---	-------	-----

Relazione Geotecnica di calcolo delle fondazioni

COMMESSA	LOTTO	CODIFICA	DOCUMENTO	REV.	FOGLIO
IF1N	01 E ZZ	CL	VI0300 002	D	66 di 170

	N [kN]	M _B [kNm]	M _L [kNm]	T _B [kN]	T _L [kN]	H [kN]	e _B * [m]	e _L * [m]	B* [m]	L* [m]
SLU_GEO_001	53299	0	29233	0	-4709	4709	0.00	0.55	13.70	28.85
SLU_GEO_002	58359	3637	-7708	-337	-3013	3032	0.06	0.13	13.58	29.69
SLU_GEO_003	58284	3473	-3691	-306	-3013	3028	0.06	0.06	13.58	29.82
SLU_GEO_004	64108	3473	37057	-306	-3013	3028	0.05	0.58	13.59	28.79
SLU_GEO_005	60972	3473	85206	-306	-3013	3028	0.06	1.40	13.59	27.16
SLU_GEO_006	60972	3473	97233	-306	-3013	3028	0.06	1.59	13.59	26.76
SLU_GEO_007	58359	3637	-7708	-337	-3013	3032	0.06	0.13	13.58	29.69
SLU_GEO_008	58284	3473	-3691	-306	-3013	3028	0.06	0.06	13.58	29.82
SLU_GEO_009	64108	3473	37057	-306	-3013	3028	0.05	0.58	13.59	28.79
SLU_GEO_010	60972	3473	85206	-306	-3013	3028	0.06	1.40	13.59	27.16
SLU_GEO_011	60972	3473	97233	-306	-3013	3028	0.06	1.59	13.59	26.76
SLU_GEO_012	66110	3178	76948	-280	-3013	3026	0.05	1.16	13.60	27.62
SLU_GEO_013	66110	3178	12893	-280	-3013	3026	0.05	0.20	13.60	29.56
SLU_GEO_014	58359	946	-7708	150	-3013	3016	0.02	0.13	13.67	29.69
SLU_GEO_015	58284	782	-3691	180	-3013	3018	0.01	0.06	13.67	29.82
SLU_GEO_016	64108	782	37057	180	-3013	3018	0.01	0.58	13.68	28.79
SLU_GEO_017	60972	782	85206	180	-3013	3018	0.01	1.40	13.67	27.16
SLU_GEO_018	60972	782	97233	180	-3013	3018	0.01	1.59	13.67	26.76
SLU_GEO_019	60972	-2691	97233	486	-3013	3052	0.04	1.59	13.61	26.76
SLU_GEO_020	58359	946	-7708	150	-3013	3016	0.02	0.13	13.67	29.69
SLU_GEO_021	58284	782	-3691	180	-3013	3018	0.01	0.06	13.67	29.82
SLU_GEO_022	64108	782	37057	180	-3013	3018	0.01	0.58	13.68	28.79
SLU_GEO_023	60972	782	85206	180	-3013	3018	0.01	1.40	13.67	27.16
SLU_GEO_024	60972	782	97233	180	-3013	3018	0.01	1.59	13.67	26.76
SLU_GEO_025	66110	487	76948	206	-3013	3020	0.01	1.16	13.69	27.62
SLU_GEO_026	66110	487	12893	206	-3013	3020	0.01	0.20	13.69	29.56
SLU_GEO_027	53299	0	29233	0	-4709	4709	0.00	0.55	13.70	28.85
SLU_GEO_028	53299	0	29233	0	-4709	4709	0.00	0.55	13.70	28.85
SLU_GEO_029	53299	-2691	29233	486	-4709	4734	0.05	0.55	13.60	28.85
SLU_GEO_030	53299	2691	29233	-486	-4709	4734	0.05	0.55	13.60	28.85
SLU_GEO_031	53299	0	29233	0	-4709	4709	0.00	0.55	13.70	28.85
SLU_GEO_032	58359	3637	-7708	-337	-3013	3032	0.06	0.13	13.58	29.69
SLU_GEO_033	58284	3473	-3691	-306	-3013	3028	0.06	0.06	13.58	29.82
SLU_GEO_034	64108	3473	37057	-306	-3013	3028	0.05	0.58	13.59	28.79
SLU_GEO_035	60972	3473	85206	-306	-3013	3028	0.06	1.40	13.59	27.16
SLU_GEO_036	60972	3473	97233	-306	-3013	3028	0.06	1.59	13.59	26.76
SLU_GEO_037	60972	0	97233	0	-3013	3013	0.00	1.59	13.70	26.76
SLU_GEO_038	58359	3637	-7708	-337	-3013	3032	0.06	0.13	13.58	29.69
SLU_GEO_039	58284	3473	-3691	-306	-3013	3028	0.06	0.06	13.58	29.82
SLU_GEO_040	64108	3473	37057	-306	-3013	3028	0.05	0.58	13.59	28.79
SLU_GEO_041	60972	3473	85206	-306	-3013	3028	0.06	1.40	13.59	27.16
SLU_GEO_042	60972	3473	97233	-306	-3013	3028	0.06	1.59	13.59	26.76
SLU_GEO_043	66110	3178	76948	-280	-3013	3026	0.05	1.16	13.60	27.62
SLU_GEO_044	66110	3178	12893	-280	-3013	3026	0.05	0.20	13.60	29.56
SLU_GEO_045	53299	-2691	29233	486	-4709	4734	0.05	0.55	13.60	28.85
SLU_GEO_046	58359	946	-7708	150	-3013	3016	0.02	0.13	13.67	29.69

Relazione Geotecnica di calcolo delle fondazioni

COMMESSA	LOTTO	CODIFICA	DOCUMENTO	REV.	FOGLIO
IF1N	01 E ZZ	CL	VI0300 002	D	67 di 170

SLU_GEO_047	58284	782	-3691	180	-3013	3018	0.01	0.06	13.67	29.82
SLU_GEO_048	64108	782	37057	180	-3013	3018	0.01	0.58	13.68	28.79
SLU_GEO_049	60972	782	85206	180	-3013	3018	0.01	1.40	13.67	27.16
SLU_GEO_050	60972	782	97233	180	-3013	3018	0.01	1.59	13.67	26.76
SLU_GEO_051	60972	-2691	97233	486	-3013	3052	0.04	1.59	13.61	26.76
SLU_GEO_052	58359	946	-7708	150	-3013	3016	0.02	0.13	13.67	29.69
SLU_GEO_053	58284	782	-3691	180	-3013	3018	0.01	0.06	13.67	29.82
SLU_GEO_054	64108	782	37057	180	-3013	3018	0.01	0.58	13.68	28.79
SLU_GEO_055	60972	782	85206	180	-3013	3018	0.01	1.40	13.67	27.16
SLU_GEO_056	60972	782	97233	180	-3013	3018	0.01	1.59	13.67	26.76
SLU_GEO_057	60972	-6164	97233	792	-3013	3115	0.10	1.59	13.50	26.76
SLU_GEO_058	66110	487	76948	206	-3013	3020	0.01	1.16	13.69	27.62
SLU_GEO_059	66110	487	12893	206	-3013	3020	0.01	0.20	13.69	29.56
SLU_GEO_060	54229	0	29233	0	-4709	4709	0.00	0.54	13.70	28.87
SLU_GEO_061	54229	0	29233	0	-4709	4709	0.00	0.54	13.70	28.87
SLU_GEO_062	54229	0	29233	0	-4709	4709	0.00	0.54	13.70	28.87
SLU_GEO_063	53299	0	29233	0	-4709	4709	0.00	0.55	13.70	28.85
SLU_GEO_064	58359	3637	-7708	-337	-3013	3032	0.06	0.13	13.58	29.69
SLU_GEO_065	58284	3473	-3691	-306	-3013	3028	0.06	0.06	13.58	29.82
SLU_GEO_066	64108	3473	37057	-306	-3013	3028	0.05	0.58	13.59	28.79
SLU_GEO_067	60972	3473	85206	-306	-3013	3028	0.06	1.40	13.59	27.16
SLU_GEO_068	60972	3473	97233	-306	-3013	3028	0.06	1.59	13.59	26.76
SLU_GEO_069	66110	3178	76948	-280	-3013	3026	0.05	1.16	13.60	27.62
SLU_GEO_070	66110	3178	12893	-280	-3013	3026	0.05	0.20	13.60	29.56
SLU_GEO_071	58359	3637	-18112	-337	-5262	5273	0.06	0.31	13.58	29.33
SLU_GEO_072	58284	3473	-14094	-306	-5262	5271	0.06	0.24	13.58	29.47
SLU_GEO_073	64108	3473	26654	-306	-5262	5271	0.05	0.42	13.59	29.12
SLU_GEO_074	60972	3473	74803	-306	-5262	5271	0.06	1.23	13.59	27.50
SLU_GEO_075	60972	3473	86830	-306	-5262	5271	0.06	1.42	13.59	27.10
SLU_GEO_076	58359	3637	-18112	-337	-5262	5273	0.06	0.31	13.58	29.33
SLU_GEO_077	58284	3473	-14094	-306	-5262	5271	0.06	0.24	13.58	29.47
SLU_GEO_078	64108	3473	26654	-306	-5262	5271	0.05	0.42	13.59	29.12
SLU_GEO_079	60972	3473	74803	-306	-5262	5271	0.06	1.23	13.59	27.50
SLU_GEO_080	60972	3473	86830	-306	-5262	5271	0.06	1.42	13.59	27.10
SLU_GEO_081	66110	3178	66545	-280	-5262	5270	0.05	1.01	13.60	27.94
SLU_GEO_082	66110	3178	2490	-280	-5262	5270	0.05	0.04	13.60	29.87
SLU_GEO_083	58359	946	-18112	150	-5262	5264	0.02	0.31	13.67	29.33
SLU_GEO_084	58284	782	-14094	180	-5262	5265	0.01	0.24	13.67	29.47
SLU_GEO_085	64108	782	26654	180	-5262	5265	0.01	0.42	13.68	29.12
SLU_GEO_086	60972	782	74803	180	-5262	5265	0.01	1.23	13.67	27.50
SLU_GEO_087	60972	782	86830	180	-5262	5265	0.01	1.42	13.67	27.10
SLU_GEO_088	60972	-2691	86830	486	-5262	5285	0.04	1.42	13.61	27.10
SLU_GEO_089	58359	946	-18112	150	-5262	5264	0.02	0.31	13.67	29.33
SLU_GEO_090	58284	782	-14094	180	-5262	5265	0.01	0.24	13.67	29.47
SLU_GEO_091	64108	782	26654	180	-5262	5265	0.01	0.42	13.68	29.12
SLU_GEO_092	60972	782	74803	180	-5262	5265	0.01	1.23	13.67	27.50
SLU_GEO_093	60972	782	86830	180	-5262	5265	0.01	1.42	13.67	27.10
SLU_GEO_094	66110	487	66545	206	-5262	5266	0.01	1.01	13.69	27.94
SLU_GEO_095	66110	487	2490	206	-5262	5266	0.01	0.04	13.69	29.87

ITINERARIO NAPOLI – BARI

RADDOPPIO TRATTA CANCELLO – BENEVENTO

I° LOTTO FUNZIONALE CANCELLO - FRASSO TELESINO E
VARIANTE ALLA LINEA ROMA-NAPOLI VIA CASSINO NEL
COMUNE DI MADDALONI – PROGETTO ESECUTIVO

Relazione Geotecnica di calcolo delle fondazioni

COMMESSA	LOTTO	CODIFICA	DOCUMENTO	REV.	FOGLIO
IF1N	01 E ZZ	CL	VI0300 002	D	68 di 170

SLU_GEO_096	53299	0	18830	0	-6958	6958	0.00	0.35	13.70	29.24
SLU_GEO_097	53299	0	18830	0	-6958	6958	0.00	0.35	13.70	29.24
SLU_GEO_098	53299	-2691	18830	486	-6958	6975	0.05	0.35	13.60	29.24
SLU_GEO_099	53299	2691	18830	-486	-6958	6975	0.05	0.35	13.60	29.24
SLU_GEO_100	53299	0	18830	0	-6958	6958	0.00	0.35	13.70	29.24
SLU_GEO_101	58359	3637	-18112	-337	-5262	5273	0.06	0.31	13.58	29.33
SLU_GEO_102	58284	3473	-14094	-306	-5262	5271	0.06	0.24	13.58	29.47
SLU_GEO_103	64108	3473	26654	-306	-5262	5271	0.05	0.42	13.59	29.12
SLU_GEO_104	60972	3473	74803	-306	-5262	5271	0.06	1.23	13.59	27.50
SLU_GEO_105	60972	3473	86830	-306	-5262	5271	0.06	1.42	13.59	27.10
SLU_GEO_106	60972	0	86830	0	-5262	5262	0.00	1.42	13.70	27.10
SLU_GEO_107	58359	3637	-18112	-337	-5262	5273	0.06	0.31	13.58	29.33
SLU_GEO_108	58284	3473	-14094	-306	-5262	5271	0.06	0.24	13.58	29.47
SLU_GEO_109	64108	3473	26654	-306	-5262	5271	0.05	0.42	13.59	29.12
SLU_GEO_110	60972	3473	74803	-306	-5262	5271	0.06	1.23	13.59	27.50
SLU_GEO_111	60972	3473	86830	-306	-5262	5271	0.06	1.42	13.59	27.10
SLU_GEO_112	66110	3178	66545	-280	-5262	5270	0.05	1.01	13.60	27.94
SLU_GEO_113	66110	3178	2490	-280	-5262	5270	0.05	0.04	13.60	29.87
SLU_GEO_114	53299	-2691	18830	486	-6958	6975	0.05	0.35	13.60	29.24
SLU_GEO_115	58359	946	-18112	150	-5262	5264	0.02	0.31	13.67	29.33
SLU_GEO_116	58284	782	-14094	180	-5262	5265	0.01	0.24	13.67	29.47
SLU_GEO_117	64108	782	26654	180	-5262	5265	0.01	0.42	13.68	29.12
SLU_GEO_118	60972	782	74803	180	-5262	5265	0.01	1.23	13.67	27.50
SLU_GEO_119	60972	782	86830	180	-5262	5265	0.01	1.42	13.67	27.10
SLU_GEO_120	60972	-2691	86830	486	-5262	5285	0.04	1.42	13.61	27.10
SLU_GEO_121	58359	946	-18112	150	-5262	5264	0.02	0.31	13.67	29.33
SLU_GEO_122	58284	782	-14094	180	-5262	5265	0.01	0.24	13.67	29.47
SLU_GEO_123	64108	782	26654	180	-5262	5265	0.01	0.42	13.68	29.12
SLU_GEO_124	60972	782	74803	180	-5262	5265	0.01	1.23	13.67	27.50
SLU_GEO_125	60972	782	86830	180	-5262	5265	0.01	1.42	13.67	27.10
SLU_GEO_126	60972	-6164	86830	792	-5262	5321	0.10	1.42	13.50	27.10
SLU_GEO_127	66110	487	66545	206	-5262	5266	0.01	1.01	13.69	27.94
SLU_GEO_128	66110	487	2490	206	-5262	5266	0.01	0.04	13.69	29.87
SLU_GEO_129	54229	0	18830	0	-6958	6958	0.00	0.35	13.70	29.26
SLU_GEO_130	54229	0	18830	0	-6958	6958	0.00	0.35	13.70	29.26
SLU_GEO_131	54229	0	18830	0	-6958	6958	0.00	0.35	13.70	29.26
SLU_GEO_132	58359	3637	-18112	-337	-5262	5273	0.06	0.31	13.58	29.33
SLU_GEO_133	58284	3473	-14094	-306	-5262	5271	0.06	0.24	13.58	29.47
SLU_GEO_134	64108	3473	26654	-306	-5262	5271	0.05	0.42	13.59	29.12
SLU_GEO_135	60972	3473	74803	-306	-5262	5271	0.06	1.23	13.59	27.50
SLU_GEO_136	60972	3473	86830	-306	-5262	5271	0.06	1.42	13.59	27.10
SLU_GEO_137	66110	3178	66545	-280	-5262	5270	0.05	1.01	13.60	27.94
SLU_GEO_138	66110	3178	2490	-280	-5262	5270	0.05	0.04	13.60	29.87

   	ITINERARIO NAPOLI – BARI RADDOPPIO TRATTA CANCELLO – BENEVENTO I° LOTTO FUNZIONALE CANCELLO - FRASSO TELESINO E VARIANTE ALLA LINEA ROMA-NAPOLI VIA CASSINO NEL COMUNE DI MADDALONI – PROGETTO ESECUTIVO												
Relazione Geotecnica di calcolo delle fondazioni	<table border="1"> <tr> <td>COMMESSA</td> <td>LOTTO</td> <td>CODIFICA</td> <td>DOCUMENTO</td> <td>REV.</td> <td>FOGLIO</td> </tr> <tr> <td>IF1N</td> <td>01 E ZZ</td> <td>CL</td> <td>VI0300 002</td> <td>D</td> <td>69 di 170</td> </tr> </table>	COMMESSA	LOTTO	CODIFICA	DOCUMENTO	REV.	FOGLIO	IF1N	01 E ZZ	CL	VI0300 002	D	69 di 170
COMMESSA	LOTTO	CODIFICA	DOCUMENTO	REV.	FOGLIO								
IF1N	01 E ZZ	CL	VI0300 002	D	69 di 170								

	Nc, Nq, Ny			Sc, Sq, Sy			ic, iq, iy						
	coefficienti di capacità portante			fattori di forma			fattori di inclinazione del carico						
	Nc [-]	Nq [-]	Ny [-]	sc [-]	sq [-]	sy [-]	mb [-]	ml [-]	θ [rad]	m [-]	ic [-]	iq [-]	iy [-]
SLU_GEO_001	20.42	10.43	10.56	1.24	1.22	0.81	1.68	1.32	0.00	1.32	0.87	0.88	0.81
SLU_GEO_002	20.42	10.43	10.56	1.23	1.21	0.82	1.69	1.31	6.37	1.32	0.92	0.93	0.88
SLU_GEO_003	20.42	10.43	10.56	1.23	1.21	0.82	1.69	1.31	5.80	1.32	0.92	0.93	0.88
SLU_GEO_004	20.42	10.43	10.56	1.24	1.22	0.81	1.68	1.32	5.80	1.32	0.93	0.94	0.89
SLU_GEO_005	20.42	10.43	10.56	1.26	1.23	0.80	1.67	1.33	5.80	1.34	0.93	0.93	0.89
SLU_GEO_006	20.42	10.43	10.56	1.26	1.23	0.80	1.66	1.34	5.80	1.34	0.93	0.93	0.89
SLU_GEO_007	20.42	10.43	10.56	1.23	1.21	0.82	1.69	1.31	6.37	1.32	0.92	0.93	0.88
SLU_GEO_008	20.42	10.43	10.56	1.23	1.21	0.82	1.69	1.31	5.80	1.32	0.92	0.93	0.88
SLU_GEO_009	20.42	10.43	10.56	1.24	1.22	0.81	1.68	1.32	5.80	1.32	0.93	0.94	0.89
SLU_GEO_010	20.42	10.43	10.56	1.26	1.23	0.80	1.67	1.33	5.80	1.34	0.93	0.93	0.89
SLU_GEO_011	20.42	10.43	10.56	1.26	1.23	0.80	1.66	1.34	5.80	1.34	0.93	0.93	0.89
SLU_GEO_012	20.42	10.43	10.56	1.25	1.23	0.80	1.67	1.33	5.31	1.33	0.93	0.94	0.90
SLU_GEO_013	20.42	10.43	10.56	1.24	1.21	0.82	1.68	1.32	5.31	1.32	0.93	0.94	0.90
SLU_GEO_014	20.42	10.43	10.56	1.24	1.21	0.82	1.68	1.32	2.84	1.32	0.93	0.93	0.88
SLU_GEO_015	20.42	10.43	10.56	1.23	1.21	0.82	1.69	1.31	3.42	1.32	0.93	0.93	0.88
SLU_GEO_016	20.42	10.43	10.56	1.24	1.22	0.81	1.68	1.32	3.42	1.32	0.93	0.94	0.89
SLU_GEO_017	20.42	10.43	10.56	1.26	1.23	0.80	1.67	1.33	3.42	1.34	0.93	0.93	0.89
SLU_GEO_018	20.42	10.43	10.56	1.26	1.24	0.80	1.66	1.34	3.42	1.34	0.93	0.93	0.89
SLU_GEO_019	20.42	10.43	10.56	1.26	1.23	0.80	1.66	1.34	9.17	1.35	0.93	0.93	0.89
SLU_GEO_020	20.42	10.43	10.56	1.24	1.21	0.82	1.68	1.32	2.84	1.32	0.93	0.93	0.88
SLU_GEO_021	20.42	10.43	10.56	1.23	1.21	0.82	1.69	1.31	3.42	1.32	0.93	0.93	0.88
SLU_GEO_022	20.42	10.43	10.56	1.24	1.22	0.81	1.68	1.32	3.42	1.32	0.93	0.94	0.89
SLU_GEO_023	20.42	10.43	10.56	1.26	1.23	0.80	1.67	1.33	3.42	1.34	0.93	0.93	0.89
SLU_GEO_024	20.42	10.43	10.56	1.26	1.24	0.80	1.66	1.34	3.42	1.34	0.93	0.93	0.89
SLU_GEO_025	20.42	10.43	10.56	1.25	1.23	0.80	1.67	1.33	3.91	1.33	0.93	0.94	0.90
SLU_GEO_026	20.42	10.43	10.56	1.24	1.21	0.81	1.68	1.32	3.91	1.32	0.93	0.94	0.90
SLU_GEO_027	20.42	10.43	10.56	1.24	1.22	0.81	1.68	1.32	0.00	1.32	0.87	0.88	0.81
SLU_GEO_028	20.42	10.43	10.56	1.24	1.22	0.81	1.68	1.32	0.00	1.32	0.87	0.88	0.81
SLU_GEO_029	20.42	10.43	10.56	1.24	1.22	0.81	1.68	1.32	5.89	1.32	0.87	0.88	0.81
SLU_GEO_030	20.42	10.43	10.56	1.24	1.22	0.81	1.68	1.32	5.89	1.32	0.87	0.88	0.81
SLU_GEO_031	20.42	10.43	10.56	1.24	1.22	0.81	1.68	1.32	0.00	1.32	0.87	0.88	0.81
SLU_GEO_032	20.42	10.43	10.56	1.23	1.21	0.82	1.69	1.31	6.37	1.32	0.92	0.93	0.88
SLU_GEO_033	20.42	10.43	10.56	1.23	1.21	0.82	1.69	1.31	5.80	1.32	0.92	0.93	0.88
SLU_GEO_034	20.42	10.43	10.56	1.24	1.22	0.81	1.68	1.32	5.80	1.32	0.93	0.94	0.89
SLU_GEO_035	20.42	10.43	10.56	1.26	1.23	0.80	1.67	1.33	5.80	1.34	0.93	0.93	0.89
SLU_GEO_036	20.42	10.43	10.56	1.26	1.23	0.80	1.66	1.34	5.80	1.34	0.93	0.93	0.89
SLU_GEO_037	20.42	10.43	10.56	1.26	1.24	0.80	1.66	1.34	0.00	1.34	0.93	0.93	0.89
SLU_GEO_038	20.42	10.43	10.56	1.23	1.21	0.82	1.69	1.31	6.37	1.32	0.92	0.93	0.88
SLU_GEO_039	20.42	10.43	10.56	1.23	1.21	0.82	1.69	1.31	5.80	1.32	0.92	0.93	0.88
SLU_GEO_040	20.42	10.43	10.56	1.24	1.22	0.81	1.68	1.32	5.80	1.32	0.93	0.94	0.89
SLU_GEO_041	20.42	10.43	10.56	1.26	1.23	0.80	1.67	1.33	5.80	1.34	0.93	0.93	0.89
SLU_GEO_042	20.42	10.43	10.56	1.26	1.23	0.80	1.66	1.34	5.80	1.34	0.93	0.93	0.89
SLU_GEO_043	20.42	10.43	10.56	1.25	1.23	0.80	1.67	1.33	5.31	1.33	0.93	0.94	0.90

ITINERARIO NAPOLI – BARI

RADDOPPIO TRATTA CANCELLO – BENEVENTO

I° LOTTO FUNZIONALE CANCELLO - FRASSO TELESINO E
VARIANTE ALLA LINEA ROMA-NAPOLI VIA CASSINO NEL
COMUNE DI MADDALONI – PROGETTO ESECUTIVO

Relazione Geotecnica di calcolo delle fondazioni

COMMESSA	LOTTO	CODIFICA	DOCUMENTO	REV.	FOGLIO
IF1N	01 E ZZ	CL	VI0300 002	D	70 di 170

SLU_GEO_044	20.42	10.43	10.56	1.24	1.21	0.82	1.68	1.32	5.31	1.32	0.93	0.94	0.90
SLU_GEO_045	20.42	10.43	10.56	1.24	1.22	0.81	1.68	1.32	5.89	1.32	0.87	0.88	0.81
SLU_GEO_046	20.42	10.43	10.56	1.24	1.21	0.82	1.68	1.32	2.84	1.32	0.93	0.93	0.88
SLU_GEO_047	20.42	10.43	10.56	1.23	1.21	0.82	1.69	1.31	3.42	1.32	0.93	0.93	0.88
SLU_GEO_048	20.42	10.43	10.56	1.24	1.22	0.81	1.68	1.32	3.42	1.32	0.93	0.94	0.89
SLU_GEO_049	20.42	10.43	10.56	1.26	1.23	0.80	1.67	1.33	3.42	1.34	0.93	0.93	0.89
SLU_GEO_050	20.42	10.43	10.56	1.26	1.24	0.80	1.66	1.34	3.42	1.34	0.93	0.93	0.89
SLU_GEO_051	20.42	10.43	10.56	1.26	1.23	0.80	1.66	1.34	9.17	1.35	0.93	0.93	0.89
SLU_GEO_052	20.42	10.43	10.56	1.24	1.21	0.82	1.68	1.32	2.84	1.32	0.93	0.93	0.88
SLU_GEO_053	20.42	10.43	10.56	1.23	1.21	0.82	1.69	1.31	3.42	1.32	0.93	0.93	0.88
SLU_GEO_054	20.42	10.43	10.56	1.24	1.22	0.81	1.68	1.32	3.42	1.32	0.93	0.94	0.89
SLU_GEO_055	20.42	10.43	10.56	1.26	1.23	0.80	1.67	1.33	3.42	1.34	0.93	0.93	0.89
SLU_GEO_056	20.42	10.43	10.56	1.26	1.24	0.80	1.66	1.34	3.42	1.34	0.93	0.93	0.89
SLU_GEO_057	20.42	10.43	10.56	1.26	1.23	0.80	1.66	1.34	14.73	1.36	0.92	0.93	0.88
SLU_GEO_058	20.42	10.43	10.56	1.25	1.23	0.80	1.67	1.33	3.91	1.33	0.93	0.94	0.90
SLU_GEO_059	20.42	10.43	10.56	1.24	1.21	0.81	1.68	1.32	3.91	1.32	0.93	0.94	0.90
SLU_GEO_060	20.42	10.43	10.56	1.24	1.22	0.81	1.68	1.32	0.00	1.32	0.87	0.89	0.81
SLU_GEO_061	20.42	10.43	10.56	1.24	1.22	0.81	1.68	1.32	0.00	1.32	0.87	0.89	0.81
SLU_GEO_062	20.42	10.43	10.56	1.24	1.22	0.81	1.68	1.32	0.00	1.32	0.87	0.89	0.81
SLU_GEO_063	20.42	10.43	10.56	1.24	1.22	0.81	1.68	1.32	0.00	1.32	0.87	0.88	0.81
SLU_GEO_064	20.42	10.43	10.56	1.23	1.21	0.82	1.69	1.31	6.37	1.32	0.92	0.93	0.88
SLU_GEO_065	20.42	10.43	10.56	1.23	1.21	0.82	1.69	1.31	5.80	1.32	0.92	0.93	0.88
SLU_GEO_066	20.42	10.43	10.56	1.24	1.22	0.81	1.68	1.32	5.80	1.32	0.93	0.94	0.89
SLU_GEO_067	20.42	10.43	10.56	1.26	1.23	0.80	1.67	1.33	5.80	1.34	0.93	0.93	0.89
SLU_GEO_068	20.42	10.43	10.56	1.26	1.23	0.80	1.66	1.34	5.80	1.34	0.93	0.93	0.89
SLU_GEO_069	20.42	10.43	10.56	1.25	1.23	0.80	1.67	1.33	5.31	1.33	0.93	0.94	0.90
SLU_GEO_070	20.42	10.43	10.56	1.24	1.21	0.82	1.68	1.32	5.31	1.32	0.93	0.94	0.90
SLU_GEO_071	20.42	10.43	10.56	1.24	1.21	0.81	1.68	1.32	3.66	1.32	0.87	0.88	0.80
SLU_GEO_072	20.42	10.43	10.56	1.24	1.21	0.82	1.68	1.32	3.33	1.32	0.87	0.88	0.80
SLU_GEO_073	20.42	10.43	10.56	1.24	1.22	0.81	1.68	1.32	3.33	1.32	0.88	0.89	0.82
SLU_GEO_074	20.42	10.43	10.56	1.25	1.23	0.80	1.67	1.33	3.33	1.33	0.87	0.89	0.81
SLU_GEO_075	20.42	10.43	10.56	1.26	1.23	0.80	1.67	1.33	3.33	1.34	0.87	0.89	0.81
SLU_GEO_076	20.42	10.43	10.56	1.24	1.21	0.81	1.68	1.32	3.66	1.32	0.87	0.88	0.80
SLU_GEO_077	20.42	10.43	10.56	1.24	1.21	0.82	1.68	1.32	3.33	1.32	0.87	0.88	0.80
SLU_GEO_078	20.42	10.43	10.56	1.24	1.22	0.81	1.68	1.32	3.33	1.32	0.88	0.89	0.82
SLU_GEO_079	20.42	10.43	10.56	1.25	1.23	0.80	1.67	1.33	3.33	1.33	0.87	0.89	0.81
SLU_GEO_080	20.42	10.43	10.56	1.26	1.23	0.80	1.67	1.33	3.33	1.34	0.87	0.89	0.81
SLU_GEO_081	20.42	10.43	10.56	1.25	1.22	0.81	1.67	1.33	3.05	1.33	0.88	0.90	0.82
SLU_GEO_082	20.42	10.43	10.56	1.23	1.21	0.82	1.69	1.31	3.05	1.31	0.89	0.90	0.83
SLU_GEO_083	20.42	10.43	10.56	1.24	1.22	0.81	1.68	1.32	1.63	1.32	0.87	0.88	0.80
SLU_GEO_084	20.42	10.43	10.56	1.24	1.21	0.81	1.68	1.32	1.96	1.32	0.87	0.88	0.80
SLU_GEO_085	20.42	10.43	10.56	1.24	1.22	0.81	1.68	1.32	1.96	1.32	0.88	0.89	0.82
SLU_GEO_086	20.42	10.43	10.56	1.25	1.23	0.80	1.67	1.33	1.96	1.33	0.87	0.89	0.81
SLU_GEO_087	20.42	10.43	10.56	1.26	1.23	0.80	1.66	1.34	1.96	1.34	0.87	0.89	0.81
SLU_GEO_088	20.42	10.43	10.56	1.26	1.23	0.80	1.67	1.33	5.28	1.34	0.87	0.89	0.81
SLU_GEO_089	20.42	10.43	10.56	1.24	1.22	0.81	1.68	1.32	1.63	1.32	0.87	0.88	0.80
SLU_GEO_090	20.42	10.43	10.56	1.24	1.21	0.81	1.68	1.32	1.96	1.32	0.87	0.88	0.80
SLU_GEO_091	20.42	10.43	10.56	1.24	1.22	0.81	1.68	1.32	1.96	1.32	0.88	0.89	0.82
SLU_GEO_092	20.42	10.43	10.56	1.25	1.23	0.80	1.67	1.33	1.96	1.33	0.87	0.89	0.81

ITINERARIO NAPOLI – BARI

RADDOPPIO TRATTA CANCELLO – BENEVENTO

I° LOTTO FUNZIONALE CANCELLO - FRASSO TELESINO E
VARIANTE ALLA LINEA ROMA-NAPOLI VIA CASSINO NEL
COMUNE DI MADDALONI – PROGETTO ESECUTIVO

Relazione Geotecnica di calcolo delle fondazioni

COMMESSA	LOTTO	CODIFICA	DOCUMENTO	REV.	FOGLIO
IF1N	01 E ZZ	CL	VI0300 002	D	71 di 170

SLU_GEO_093	20.42	10.43	10.56	1.26	1.23	0.80	1.66	1.34	1.96	1.34	0.87	0.89	0.81
SLU_GEO_094	20.42	10.43	10.56	1.25	1.23	0.80	1.67	1.33	2.24	1.33	0.88	0.90	0.82
SLU_GEO_095	20.42	10.43	10.56	1.23	1.21	0.82	1.69	1.31	2.24	1.31	0.89	0.90	0.83
SLU_GEO_096	20.42	10.43	10.56	1.24	1.22	0.81	1.68	1.32	0.00	1.32	0.81	0.83	0.72
SLU_GEO_097	20.42	10.43	10.56	1.24	1.22	0.81	1.68	1.32	0.00	1.32	0.81	0.83	0.72
SLU_GEO_098	20.42	10.43	10.56	1.24	1.21	0.81	1.68	1.32	4.00	1.32	0.81	0.83	0.72
SLU_GEO_099	20.42	10.43	10.56	1.24	1.21	0.81	1.68	1.32	4.00	1.32	0.81	0.83	0.72
SLU_GEO_100	20.42	10.43	10.56	1.24	1.22	0.81	1.68	1.32	0.00	1.32	0.81	0.83	0.72
SLU_GEO_101	20.42	10.43	10.56	1.24	1.21	0.81	1.68	1.32	3.66	1.32	0.87	0.88	0.80
SLU_GEO_102	20.42	10.43	10.56	1.24	1.21	0.82	1.68	1.32	3.33	1.32	0.87	0.88	0.80
SLU_GEO_103	20.42	10.43	10.56	1.24	1.22	0.81	1.68	1.32	3.33	1.32	0.88	0.89	0.82
SLU_GEO_104	20.42	10.43	10.56	1.25	1.23	0.80	1.67	1.33	3.33	1.33	0.87	0.89	0.81
SLU_GEO_105	20.42	10.43	10.56	1.26	1.23	0.80	1.67	1.33	3.33	1.34	0.87	0.89	0.81
SLU_GEO_106	20.42	10.43	10.56	1.26	1.23	0.80	1.66	1.34	0.00	1.34	0.87	0.89	0.81
SLU_GEO_107	20.42	10.43	10.56	1.24	1.21	0.81	1.68	1.32	3.66	1.32	0.87	0.88	0.80
SLU_GEO_108	20.42	10.43	10.56	1.24	1.21	0.82	1.68	1.32	3.33	1.32	0.87	0.88	0.80
SLU_GEO_109	20.42	10.43	10.56	1.24	1.22	0.81	1.68	1.32	3.33	1.32	0.88	0.89	0.82
SLU_GEO_110	20.42	10.43	10.56	1.25	1.23	0.80	1.67	1.33	3.33	1.33	0.87	0.89	0.81
SLU_GEO_111	20.42	10.43	10.56	1.26	1.23	0.80	1.67	1.33	3.33	1.34	0.87	0.89	0.81
SLU_GEO_112	20.42	10.43	10.56	1.25	1.22	0.81	1.67	1.33	3.05	1.33	0.88	0.90	0.82
SLU_GEO_113	20.42	10.43	10.56	1.23	1.21	0.82	1.69	1.31	3.05	1.31	0.89	0.90	0.83
SLU_GEO_114	20.42	10.43	10.56	1.24	1.21	0.81	1.68	1.32	4.00	1.32	0.81	0.83	0.72
SLU_GEO_115	20.42	10.43	10.56	1.24	1.22	0.81	1.68	1.32	1.63	1.32	0.87	0.88	0.80
SLU_GEO_116	20.42	10.43	10.56	1.24	1.21	0.81	1.68	1.32	1.96	1.32	0.87	0.88	0.80
SLU_GEO_117	20.42	10.43	10.56	1.24	1.22	0.81	1.68	1.32	1.96	1.32	0.88	0.89	0.82
SLU_GEO_118	20.42	10.43	10.56	1.25	1.23	0.80	1.67	1.33	1.96	1.33	0.87	0.89	0.81
SLU_GEO_119	20.42	10.43	10.56	1.26	1.23	0.80	1.66	1.34	1.96	1.34	0.87	0.89	0.81
SLU_GEO_120	20.42	10.43	10.56	1.26	1.23	0.80	1.67	1.33	5.28	1.34	0.87	0.89	0.81
SLU_GEO_121	20.42	10.43	10.56	1.24	1.22	0.81	1.68	1.32	1.63	1.32	0.87	0.88	0.80
SLU_GEO_122	20.42	10.43	10.56	1.24	1.21	0.81	1.68	1.32	1.96	1.32	0.87	0.88	0.80
SLU_GEO_123	20.42	10.43	10.56	1.24	1.22	0.81	1.68	1.32	1.96	1.32	0.88	0.89	0.82
SLU_GEO_124	20.42	10.43	10.56	1.25	1.23	0.80	1.67	1.33	1.96	1.33	0.87	0.89	0.81
SLU_GEO_125	20.42	10.43	10.56	1.26	1.23	0.80	1.66	1.34	1.96	1.34	0.87	0.89	0.81
SLU_GEO_126	20.42	10.43	10.56	1.25	1.23	0.80	1.67	1.33	8.56	1.34	0.87	0.88	0.81
SLU_GEO_127	20.42	10.43	10.56	1.25	1.23	0.80	1.67	1.33	2.24	1.33	0.88	0.90	0.82
SLU_GEO_128	20.42	10.43	10.56	1.23	1.21	0.82	1.69	1.31	2.24	1.31	0.89	0.90	0.83
SLU_GEO_129	20.42	10.43	10.56	1.24	1.22	0.81	1.68	1.32	0.00	1.32	0.82	0.83	0.73
SLU_GEO_130	20.42	10.43	10.56	1.24	1.22	0.81	1.68	1.32	0.00	1.32	0.82	0.83	0.73
SLU_GEO_131	20.42	10.43	10.56	1.24	1.22	0.81	1.68	1.32	0.00	1.32	0.82	0.83	0.73
SLU_GEO_132	20.42	10.43	10.56	1.24	1.21	0.81	1.68	1.32	3.66	1.32	0.87	0.88	0.80
SLU_GEO_133	20.42	10.43	10.56	1.24	1.21	0.82	1.68	1.32	3.33	1.32	0.87	0.88	0.80
SLU_GEO_134	20.42	10.43	10.56	1.24	1.22	0.81	1.68	1.32	3.33	1.32	0.88	0.89	0.82
SLU_GEO_135	20.42	10.43	10.56	1.25	1.23	0.80	1.67	1.33	3.33	1.33	0.87	0.89	0.81
SLU_GEO_136	20.42	10.43	10.56	1.26	1.23	0.80	1.67	1.33	3.33	1.34	0.87	0.89	0.81
SLU_GEO_137	20.42	10.43	10.56	1.25	1.22	0.81	1.67	1.33	3.05	1.33	0.88	0.90	0.82
SLU_GEO_138	20.42	10.43	10.56	1.23	1.21	0.82	1.69	1.31	3.05	1.31	0.89	0.90	0.83

	<u>Carico limite unitario</u>	<u>Pressione agente</u>	<u>Verifica di capacità portante</u>	FS [-]
	q _{lim} [kPa]	q = N / B* L* [kPa]	q _{lim} / γ _R [kPa]	
SLU_GEO_001	1268	135	704	5.22
SLU_GEO_002	1364	145	758	5.23
SLU_GEO_003	1364	144	758	5.27
SLU_GEO_004	1374	164	763	4.66
SLU_GEO_005	1360	165	756	4.57
SLU_GEO_006	1359	168	755	4.50
SLU_GEO_007	1364	145	758	5.23
SLU_GEO_008	1364	144	758	5.27
SLU_GEO_009	1374	164	763	4.66
SLU_GEO_010	1360	165	756	4.57
SLU_GEO_011	1359	168	755	4.50
SLU_GEO_012	1374	176	763	4.34
SLU_GEO_013	1382	164	768	4.67
SLU_GEO_014	1369	144	761	5.29
SLU_GEO_015	1370	143	761	5.32
SLU_GEO_016	1379	163	766	4.71
SLU_GEO_017	1365	164	759	4.62
SLU_GEO_018	1364	167	758	4.55
SLU_GEO_019	1358	167	755	4.51
SLU_GEO_020	1369	144	761	5.29
SLU_GEO_021	1370	143	761	5.32
SLU_GEO_022	1379	163	766	4.71
SLU_GEO_023	1365	164	759	4.62
SLU_GEO_024	1364	167	758	4.55
SLU_GEO_025	1379	175	766	4.38
SLU_GEO_026	1386	163	770	4.71
SLU_GEO_027	1268	135	704	5.22
SLU_GEO_028	1268	135	704	5.22
SLU_GEO_029	1261	136	701	5.16
SLU_GEO_030	1261	136	701	5.16
SLU_GEO_031	1268	135	704	5.22
SLU_GEO_032	1364	145	758	5.23
SLU_GEO_033	1364	144	758	5.27
SLU_GEO_034	1374	164	763	4.66
SLU_GEO_035	1360	165	756	4.57
SLU_GEO_036	1359	168	755	4.50
SLU_GEO_037	1365	166	758	4.56
SLU_GEO_038	1364	145	758	5.23
SLU_GEO_039	1364	144	758	5.27
SLU_GEO_040	1374	164	763	4.66
SLU_GEO_041	1360	165	756	4.57
SLU_GEO_042	1359	168	755	4.50
SLU_GEO_043	1374	176	763	4.34
SLU_GEO_044	1382	164	768	4.67

Relazione Geotecnica di calcolo delle fondazioni

COMMESSA	LOTTO	CODIFICA	DOCUMENTO	REV.	FOGLIO
IF1N	01 E ZZ	CL	VI0300 002	D	76 di 170

SLU_GEO_045	1261	136	701	5.16
SLU_GEO_046	1369	144	761	5.29
SLU_GEO_047	1370	143	761	5.32
SLU_GEO_048	1379	163	766	4.71
SLU_GEO_049	2191	164	1217	7.41
SLU_GEO_050	1364	167	758	4.55
SLU_GEO_051	1358	167	755	4.51
SLU_GEO_052	1369	144	761	5.29
SLU_GEO_053	1370	143	761	5.32
SLU_GEO_054	1379	163	766	4.71
SLU_GEO_055	1365	164	759	4.62
SLU_GEO_056	1364	167	758	4.55
SLU_GEO_057	1349	169	749	4.44
SLU_GEO_058	1379	175	766	4.38
SLU_GEO_059	1386	163	770	4.71
SLU_GEO_060	1272	137	707	5.15
SLU_GEO_061	1272	137	707	5.15
SLU_GEO_062	1272	137	707	5.15
SLU_GEO_063	1268	135	704	5.22
SLU_GEO_064	1364	145	758	5.23
SLU_GEO_065	1364	144	758	5.27
SLU_GEO_066	1374	164	763	4.66
SLU_GEO_067	1360	165	756	4.57
SLU_GEO_068	1359	168	755	4.50
SLU_GEO_069	1374	176	763	4.34
SLU_GEO_070	1382	164	768	4.67
SLU_GEO_071	1258	147	699	4.77
SLU_GEO_072	1259	146	699	4.80
SLU_GEO_073	1280	162	711	4.39
SLU_GEO_074	1262	163	701	4.30
SLU_GEO_075	1260	166	700	4.23
SLU_GEO_076	1258	147	699	4.77
SLU_GEO_077	1259	146	699	4.80
SLU_GEO_078	1280	162	711	4.39
SLU_GEO_079	1262	163	701	4.30
SLU_GEO_080	1260	166	700	4.23
SLU_GEO_081	1283	174	713	4.10
SLU_GEO_082	1290	163	717	4.41
SLU_GEO_083	1263	146	702	4.82
SLU_GEO_084	1263	145	702	4.85
SLU_GEO_085	1284	161	713	4.43
SLU_GEO_086	1266	162	703	4.34
SLU_GEO_087	1265	165	703	4.27
SLU_GEO_088	1261	165	700	4.24
SLU_GEO_089	1263	146	702	4.82
SLU_GEO_090	1263	145	702	4.85
SLU_GEO_091	1284	161	713	4.43
SLU_GEO_092	1266	162	703	4.34
SLU_GEO_093	1265	165	703	4.27

Relazione Geotecnica di calcolo delle fondazioni

COMMESSA	LOTTO	CODIFICA	DOCUMENTO	REV.	FOGLIO
IF1N	01 E ZZ	CL	VI0300 002	D	77 di 170

SLU_GEO_094	1287	173	715	4.13
SLU_GEO_095	1294	162	719	4.45
SLU_GEO_096	1159	133	644	4.84
SLU_GEO_097	1159	133	644	4.84
SLU_GEO_098	1154	134	641	4.78
SLU_GEO_099	1154	134	641	4.78
SLU_GEO_100	1159	133	644	4.84
SLU_GEO_101	1258	147	699	4.77
SLU_GEO_102	1259	146	699	4.80
SLU_GEO_103	1280	162	711	4.39
SLU_GEO_104	1262	163	701	4.30
SLU_GEO_105	1260	166	700	4.23
SLU_GEO_106	2019	164	1122	6.83
SLU_GEO_107	2771	147	1539	10.50
SLU_GEO_108	3530	146	1961	13.46
SLU_GEO_109	4365	162	2425	14.97
SLU_GEO_110	5020	163	2789	17.09
SLU_GEO_111	5752	166	3196	19.30
SLU_GEO_112	6662	174	3701	>> 1
SLU_GEO_113	7542	163	4190	>> 1
SLU_GEO_114	7280	134	4044	>> 1
SLU_GEO_115	8866	146	4926	>> 1
SLU_GEO_116	9637	145	5354	>> 1
SLU_GEO_117	10584	161	5880	>> 1
SLU_GEO_118	11086	162	6159	>> 1
SLU_GEO_119	11799	165	6555	>> 1
SLU_GEO_120	12498	165	6943	>> 1
SLU_GEO_121	13428	146	7460	>> 1
SLU_GEO_122	14204	145	7891	>> 1
SLU_GEO_123	15234	161	8464	>> 1
SLU_GEO_124	15619	162	8677	>> 1
SLU_GEO_125	16313	165	9063	>> 1
SLU_GEO_126	16859	167	9366	>> 1
SLU_GEO_127	18272	173	10151	>> 1
SLU_GEO_128	19354	162	10752	>> 1
SLU_GEO_129	17709	135	9838	>> 1
SLU_GEO_130	18398	135	10221	>> 1
SLU_GEO_131	19087	135	10604	>> 1
SLU_GEO_132	21673	147	12041	>> 1
SLU_GEO_133	22457	146	12476	>> 1
SLU_GEO_134	23645	162	13136	>> 1
SLU_GEO_135	23809	163	13227	>> 1
SLU_GEO_136	24469	166	13594	>> 1
SLU_GEO_137	25875	174	14375	>> 1
SLU_GEO_138	27080	163	15045	>> 1

Relazione Geotecnica di calcolo delle fondazioni

COMMESSA	LOTTO	CODIFICA	DOCUMENTO	REV.	FOGLIO
IF1N	01 E ZZ	CL	VI0300 002	D	78 di 170

	N [kN]	M _B [kNm]	M _L [kNm]	T _B [kN]	T _L [kN]	H [kN]	e _B * [m]	e _L * [m]	B* [m]	L* [m]
SLV_SIS_001	53665	22965	-51252	-4637	-20018	20548	0.43	0.96	12.84	28.04
SLV_SIS_002	53665	22965	-51252	-4637	-20018	20548	0.43	0.96	12.84	28.04
SLV_SIS_003	53655	22944	-50727	-4633	-20018	20547	0.43	0.95	12.84	28.06
SLV_SIS_004	53655	22944	-50727	-4633	-20018	20547	0.43	0.95	12.84	28.06
SLV_SIS_005	54417	22944	-45401	-4633	-20018	20547	0.42	0.83	12.86	28.28
SLV_SIS_006	54417	22944	-45401	-4633	-20018	20547	0.42	0.83	12.86	28.28
SLV_SIS_007	54007	22944	-39107	-4633	-20018	20547	0.42	0.72	12.85	28.50
SLV_SIS_008	54007	22944	-39107	-4633	-20018	20547	0.42	0.72	12.85	28.50
SLV_SIS_009	54007	22944	-37534	-4633	-20018	20547	0.42	0.69	12.85	28.56
SLV_SIS_010	54007	22944	-37534	-4633	-20018	20547	0.42	0.69	12.85	28.56
SLV_SIS_011	54834	22944	-39797	-4633	-20018	20547	0.42	0.73	12.86	28.50
SLV_SIS_012	54834	22944	-39797	-4633	-20018	20547	0.42	0.73	12.86	28.50
SLV_SIS_013	54834	22985	-48948	-4637	-20018	20548	0.42	0.89	12.86	28.16
SLV_SIS_014	54834	22985	-48948	-4637	-20018	20548	0.42	0.89	12.86	28.16
SLV_SIS_015	53665	22965	-51252	-4637	-20018	20548	0.43	0.96	12.84	28.04
SLV_SIS_016	53665	22965	-51252	-4637	-20018	20548	0.43	0.96	12.84	28.04
SLV_SIS_017	53655	22944	-50727	-4633	-20018	20547	0.43	0.95	12.84	28.06
SLV_SIS_018	53655	22944	-50727	-4633	-20018	20547	0.43	0.95	12.84	28.06
SLV_SIS_019	54417	22944	-45401	-4633	-20018	20547	0.42	0.83	12.86	28.28
SLV_SIS_020	54417	22944	-45401	-4633	-20018	20547	0.42	0.83	12.86	28.28
SLV_SIS_021	54007	22944	-39107	-4633	-20018	20547	0.42	0.72	12.85	28.50
SLV_SIS_022	54007	22944	-39107	-4633	-20018	20547	0.42	0.72	12.85	28.50
SLV_SIS_023	54007	22944	-37534	-4633	-20018	20547	0.42	0.69	12.85	28.56
SLV_SIS_024	54007	22944	-37534	-4633	-20018	20547	0.42	0.69	12.85	28.56
SLV_SIS_025	54834	22944	-39797	-4633	-20018	20547	0.42	0.73	12.86	28.50
SLV_SIS_026	54834	22944	-39797	-4633	-20018	20547	0.42	0.73	12.86	28.50
SLV_SIS_027	54834	22985	-48948	-4637	-20018	20548	0.42	0.89	12.86	28.16
SLV_SIS_028	54834	22985	-48948	-4637	-20018	20548	0.42	0.89	12.86	28.16
SLV_SIS_029	53665	75441	1224	-15353	-9302	17951	1.41	0.02	10.89	29.90
SLV_SIS_030	53665	75441	1224	-15353	-9302	17951	1.41	0.02	10.89	29.90
SLV_SIS_031	53655	75420	1749	-15349	-9302	17948	1.41	0.03	10.89	29.88
SLV_SIS_032	53655	75420	1749	-15349	-9302	17948	1.41	0.03	10.89	29.88
SLV_SIS_033	54417	75420	7076	-15349	-9302	17948	1.39	0.13	10.93	29.69
SLV_SIS_034	54417	75420	7076	-15349	-9302	17948	1.39	0.13	10.93	29.69
SLV_SIS_035	54007	75420	13370	-15349	-9302	17948	1.40	0.25	10.91	29.45
SLV_SIS_036	54007	75420	13370	-15349	-9302	17948	1.40	0.25	10.91	29.45
SLV_SIS_037	54007	75420	14942	-15349	-9302	17948	1.40	0.28	10.91	29.40
SLV_SIS_038	54007	75420	14942	-15349	-9302	17948	1.40	0.28	10.91	29.40
SLV_SIS_039	54834	75420	12679	-15349	-9302	17948	1.38	0.23	10.95	29.49
SLV_SIS_040	54834	75420	12679	-15349	-9302	17948	1.38	0.23	10.95	29.49
SLV_SIS_041	54834	75461	3528	-15353	-9302	17951	1.38	0.06	10.95	29.82
SLV_SIS_042	54834	75461	3528	-15353	-9302	17951	1.38	0.06	10.95	29.82
SLV_SIS_043	56749	22965	4188	-4637	-9302	10393	0.40	0.07	12.89	29.80
SLV_SIS_044	56749	22965	4188	-4637	-9302	10393	0.40	0.07	12.89	29.80
SLV_SIS_045	56739	22944	4713	-4633	-9302	10391	0.40	0.08	12.89	29.78
SLV_SIS_046	56739	22944	4713	-4633	-9302	10391	0.40	0.08	12.89	29.78

ITINERARIO NAPOLI – BARI

RADDOPPIO TRATTA CANCELLO – BENEVENTO

I° LOTTO FUNZIONALE CANCELLO - FRASSO TELESINO E
VARIANTE ALLA LINEA ROMA-NAPOLI VIA CASSINO NEL
COMUNE DI MADDALONI – PROGETTO ESECUTIVO

Relazione Geotecnica di calcolo delle fondazioni

COMMESSA	LOTTO	CODIFICA	DOCUMENTO	REV.	FOGLIO
IF1N	01 E ZZ	CL	VI0300 002	D	79 di 170

SLV_SIS_047	57500	22944	10040	-4633	-9302	10391	0.40	0.17	12.90	29.60
SLV_SIS_048	57500	22944	10040	-4633	-9302	10391	0.40	0.17	12.90	29.60
SLV_SIS_049	57091	22944	16334	-4633	-9302	10391	0.40	0.29	12.90	29.38
SLV_SIS_050	57091	22944	16334	-4633	-9302	10391	0.40	0.29	12.90	29.38
SLV_SIS_051	57091	22944	17906	-4633	-9302	10391	0.40	0.31	12.90	29.32
SLV_SIS_052	57091	22944	17906	-4633	-9302	10391	0.40	0.31	12.90	29.32
SLV_SIS_053	57918	22944	15643	-4633	-9302	10391	0.40	0.27	12.91	29.41
SLV_SIS_054	57918	22944	15643	-4633	-9302	10391	0.40	0.27	12.91	29.41
SLV_SIS_055	57918	22985	6492	-4637	-9302	10393	0.40	0.11	12.91	29.73
SLV_SIS_056	57918	22985	6492	-4637	-9302	10393	0.40	0.11	12.91	29.73
SLV_SIS_057	53665	-22014	98679	4549	10600	11535	0.41	1.84	12.88	26.27
SLV_SIS_058	53665	-22014	98679	4549	10600	11535	0.41	1.84	12.88	26.27
SLV_SIS_059	53655	-22036	99205	4553	10600	11537	0.41	1.85	12.88	26.25
SLV_SIS_060	53655	-22036	99205	4553	10600	11537	0.41	1.85	12.88	26.25
SLV_SIS_061	54417	-22036	104531	4553	10600	11537	0.40	1.92	12.89	26.11
SLV_SIS_062	54417	-22036	104531	4553	10600	11537	0.40	1.92	12.89	26.11
SLV_SIS_063	54007	-22036	110825	4553	10600	11537	0.41	2.05	12.88	25.85
SLV_SIS_064	54007	-22036	110825	4553	10600	11537	0.41	2.05	12.88	25.85
SLV_SIS_065	54007	-22036	112397	4553	10600	11537	0.41	2.08	12.88	25.79
SLV_SIS_066	54007	-22036	112397	4553	10600	11537	0.41	2.08	12.88	25.79
SLV_SIS_067	54834	-22036	110134	4553	10600	11537	0.40	2.01	12.90	25.93
SLV_SIS_068	54834	-22036	110134	4553	10600	11537	0.40	2.01	12.90	25.93
SLV_SIS_069	54834	-21995	100984	4549	10600	11535	0.40	1.84	12.90	26.27
SLV_SIS_070	54834	-21995	100984	4549	10600	11535	0.40	1.84	12.90	26.27
SLV_SIS_071	53665	-22014	98679	4549	10600	11535	0.41	1.84	12.88	26.27
SLV_SIS_072	53665	-22014	98679	4549	10600	11535	0.41	1.84	12.88	26.27
SLV_SIS_073	53655	-22036	99205	4553	10600	11537	0.41	1.85	12.88	26.25
SLV_SIS_074	53655	-22036	99205	4553	10600	11537	0.41	1.85	12.88	26.25
SLV_SIS_075	54417	-22036	104531	4553	10600	11537	0.40	1.92	12.89	26.11
SLV_SIS_076	54417	-22036	104531	4553	10600	11537	0.40	1.92	12.89	26.11
SLV_SIS_077	54007	-22036	110825	4553	10600	11537	0.41	2.05	12.88	25.85
SLV_SIS_078	54007	-22036	110825	4553	10600	11537	0.41	2.05	12.88	25.85
SLV_SIS_079	54007	-22036	112397	4553	10600	11537	0.41	2.08	12.88	25.79
SLV_SIS_080	54007	-22036	112397	4553	10600	11537	0.41	2.08	12.88	25.79
SLV_SIS_081	54834	-22036	110134	4553	10600	11537	0.40	2.01	12.90	25.93
SLV_SIS_082	54834	-22036	110134	4553	10600	11537	0.40	2.01	12.90	25.93
SLV_SIS_083	54834	-21995	100984	4549	10600	11535	0.40	1.84	12.90	26.27
SLV_SIS_084	54834	-21995	100984	4549	10600	11535	0.40	1.84	12.90	26.27
SLV_SIS_085	53665	-74490	46203	15265	-116	15266	1.39	0.86	10.92	28.23
SLV_SIS_086	53665	-74490	46203	15265	-116	15266	1.39	0.86	10.92	28.23
SLV_SIS_087	53655	-74512	46729	15269	-116	15270	1.39	0.87	10.92	28.21
SLV_SIS_088	53655	-74512	46729	15269	-116	15270	1.39	0.87	10.92	28.21
SLV_SIS_089	54417	-74512	52055	15269	-116	15270	1.37	0.96	10.96	28.04
SLV_SIS_090	54417	-74512	52055	15269	-116	15270	1.37	0.96	10.96	28.04
SLV_SIS_091	54007	-74512	58349	15269	-116	15270	1.38	1.08	10.94	27.79
SLV_SIS_092	54007	-74512	58349	15269	-116	15270	1.38	1.08	10.94	27.79
SLV_SIS_093	54007	-74512	59921	15269	-116	15270	1.38	1.11	10.94	27.73
SLV_SIS_094	54007	-74512	59921	15269	-116	15270	1.38	1.11	10.94	27.73
SLV_SIS_095	54834	-74512	57658	15269	-116	15270	1.36	1.05	10.98	27.85

Relazione Geotecnica di calcolo delle fondazioni

COMMESSA	LOTTO	CODIFICA	DOCUMENTO	REV.	FOGLIO
IF1N	01 E ZZ	CL	VI0300 002	D	80 di 170

SLV_SIS_096	54834	-74512	57658	15269	-116	15270	1.36	1.05	10.98	27.85
SLV_SIS_097	54834	-74471	48508	15265	-116	15266	1.36	0.88	10.98	28.18
SLV_SIS_098	54834	-74471	48508	15265	-116	15266	1.36	0.88	10.98	28.18
SLV_SIS_099	56749	-22014	49168	4549	-116	4550	0.39	0.87	12.92	28.22
SLV_SIS_100	56749	-22014	49168	4549	-116	4550	0.39	0.87	12.92	28.22
SLV_SIS_101	56739	-22036	49693	4553	-116	4554	0.39	0.88	12.92	28.20
SLV_SIS_102	56739	-22036	49693	4553	-116	4554	0.39	0.88	12.92	28.20
SLV_SIS_103	57500	-22036	55019	4553	-116	4554	0.38	0.96	12.93	28.04
SLV_SIS_104	57500	-22036	55019	4553	-116	4554	0.38	0.96	12.93	28.04
SLV_SIS_105	57091	-22036	61313	4553	-116	4554	0.39	1.07	12.93	27.80
SLV_SIS_106	57091	-22036	61313	4553	-116	4554	0.39	1.07	12.93	27.80
SLV_SIS_107	57091	-22036	62885	4553	-116	4554	0.39	1.10	12.93	27.75
SLV_SIS_108	57091	-22036	62885	4553	-116	4554	0.39	1.10	12.93	27.75
SLV_SIS_109	57918	-22036	60623	4553	-116	4554	0.38	1.05	12.94	27.86
SLV_SIS_110	57918	-22036	60623	4553	-116	4554	0.38	1.05	12.94	27.86
SLV_SIS_111	57918	-21995	51472	4549	-116	4550	0.38	0.89	12.94	28.17
SLV_SIS_112	57918	-21995	51472	4549	-116	4550	0.38	0.89	12.94	28.17
SLV_SIS_113	53665	22965	-71459	-4637	-24387	24824	0.43	1.33	12.84	27.29
SLV_SIS_114	53665	22965	-71459	-4637	-24387	24824	0.43	1.33	12.84	27.29
SLV_SIS_115	53655	22944	-70934	-4633	-24387	24823	0.43	1.32	12.84	27.31
SLV_SIS_116	53655	22944	-70934	-4633	-24387	24823	0.43	1.32	12.84	27.31
SLV_SIS_117	54417	22944	-65607	-4633	-24387	24823	0.42	1.21	12.86	27.54
SLV_SIS_118	54417	22944	-65607	-4633	-24387	24823	0.42	1.21	12.86	27.54
SLV_SIS_119	54007	22944	-59313	-4633	-24387	24823	0.42	1.10	12.85	27.75
SLV_SIS_120	54007	22944	-59313	-4633	-24387	24823	0.42	1.10	12.85	27.75
SLV_SIS_121	54007	22944	-57741	-4633	-24387	24823	0.42	1.07	12.85	27.81
SLV_SIS_122	54007	22944	-57741	-4633	-24387	24823	0.42	1.07	12.85	27.81
SLV_SIS_123	54834	22944	-60004	-4633	-24387	24823	0.42	1.09	12.86	27.76
SLV_SIS_124	54834	22944	-60004	-4633	-24387	24823	0.42	1.09	12.86	27.76
SLV_SIS_125	54834	22985	-69155	-4637	-24387	24824	0.42	1.26	12.86	27.43
SLV_SIS_126	54834	22985	-69155	-4637	-24387	24824	0.42	1.26	12.86	27.43
SLV_SIS_127	53665	22965	-71459	-4637	-24387	24824	0.43	1.33	12.84	27.29
SLV_SIS_128	53665	22965	-71459	-4637	-24387	24824	0.43	1.33	12.84	27.29
SLV_SIS_129	53655	22944	-70934	-4633	-24387	24823	0.43	1.32	12.84	27.31
SLV_SIS_130	53655	22944	-70934	-4633	-24387	24823	0.43	1.32	12.84	27.31
SLV_SIS_131	54417	22944	-65607	-4633	-24387	24823	0.42	1.21	12.86	27.54
SLV_SIS_132	54417	22944	-65607	-4633	-24387	24823	0.42	1.21	12.86	27.54
SLV_SIS_133	54007	22944	-59313	-4633	-24387	24823	0.42	1.10	12.85	27.75
SLV_SIS_134	54007	22944	-59313	-4633	-24387	24823	0.42	1.10	12.85	27.75
SLV_SIS_135	54007	22944	-57741	-4633	-24387	24823	0.42	1.07	12.85	27.81
SLV_SIS_136	54007	22944	-57741	-4633	-24387	24823	0.42	1.07	12.85	27.81
SLV_SIS_137	54834	22944	-60004	-4633	-24387	24823	0.42	1.09	12.86	27.76
SLV_SIS_138	54834	22944	-60004	-4633	-24387	24823	0.42	1.09	12.86	27.76
SLV_SIS_139	54834	22985	-69155	-4637	-24387	24824	0.42	1.26	12.86	27.43
SLV_SIS_140	54834	22985	-69155	-4637	-24387	24824	0.42	1.26	12.86	27.43
SLV_SIS_141	53665	75441	-18983	-15353	-13671	20557	1.41	0.35	10.89	29.24
SLV_SIS_142	53665	75441	-18983	-15353	-13671	20557	1.41	0.35	10.89	29.24
SLV_SIS_143	53655	75420	-18458	-15349	-13671	20554	1.41	0.34	10.89	29.26
SLV_SIS_144	53655	75420	-18458	-15349	-13671	20554	1.41	0.34	10.89	29.26

ITINERARIO NAPOLI – BARI

RADDOPPIO TRATTA CANCELLO – BENEVENTO

I° LOTTO FUNZIONALE CANCELLO - FRASSO TELESINO E
VARIANTE ALLA LINEA ROMA-NAPOLI VIA CASSINO NEL
COMUNE DI MADDALONI – PROGETTO ESECUTIVO

Relazione Geotecnica di calcolo delle fondazioni

COMMESSA	LOTTO	CODIFICA	DOCUMENTO	REV.	FOGLIO
IF1N	01 E ZZ	CL	VI0300 002	D	81 di 170

SLV_SIS_145	54417	75420	-13131	-15349	-13671	20554	1.39	0.24	10.93	29.47
SLV_SIS_146	54417	75420	-13131	-15349	-13671	20554	1.39	0.24	10.93	29.47
SLV_SIS_147	54007	75420	-6837	-15349	-13671	20554	1.40	0.13	10.91	29.70
SLV_SIS_148	54007	75420	-6837	-15349	-13671	20554	1.40	0.13	10.91	29.70
SLV_SIS_149	54007	75420	-5265	-15349	-13671	20554	1.40	0.10	10.91	29.76
SLV_SIS_150	54007	75420	-5265	-15349	-13671	20554	1.40	0.10	10.91	29.76
SLV_SIS_151	54834	75420	-7528	-15349	-13671	20554	1.38	0.14	10.95	29.68
SLV_SIS_152	54834	75420	-7528	-15349	-13671	20554	1.38	0.14	10.95	29.68
SLV_SIS_153	54834	75461	-16679	-15353	-13671	20557	1.38	0.30	10.95	29.34
SLV_SIS_154	54834	75461	-16679	-15353	-13671	20557	1.38	0.30	10.95	29.34
SLV_SIS_155	56749	22965	-16019	-4637	-13671	14436	0.40	0.28	12.89	29.39
SLV_SIS_156	56749	22965	-16019	-4637	-13671	14436	0.40	0.28	12.89	29.39
SLV_SIS_157	56739	22944	-15494	-4633	-13671	14434	0.40	0.27	12.89	29.40
SLV_SIS_158	56739	22944	-15494	-4633	-13671	14434	0.40	0.27	12.89	29.40
SLV_SIS_159	57500	22944	-10167	-4633	-13671	14434	0.40	0.18	12.90	29.60
SLV_SIS_160	57500	22944	-10167	-4633	-13671	14434	0.40	0.18	12.90	29.60
SLV_SIS_161	57091	22944	-3873	-4633	-13671	14434	0.40	0.07	12.90	29.81
SLV_SIS_162	57091	22944	-3873	-4633	-13671	14434	0.40	0.07	12.90	29.81
SLV_SIS_163	57091	22944	-2301	-4633	-13671	14434	0.40	0.04	12.90	29.87
SLV_SIS_164	57091	22944	-2301	-4633	-13671	14434	0.40	0.04	12.90	29.87
SLV_SIS_165	57918	22944	-4564	-4633	-13671	14434	0.40	0.08	12.91	29.79
SLV_SIS_166	57918	22944	-4564	-4633	-13671	14434	0.40	0.08	12.91	29.79
SLV_SIS_167	57918	22985	-13714	-4637	-13671	14436	0.40	0.24	12.91	29.48
SLV_SIS_168	57918	22985	-13714	-4637	-13671	14436	0.40	0.24	12.91	29.48
SLV_SIS_169	53665	-22014	78473	4549	6231	7715	0.41	1.46	12.88	27.03
SLV_SIS_170	53665	-22014	78473	4549	6231	7715	0.41	1.46	12.88	27.03
SLV_SIS_171	53655	-22036	78998	4553	6231	7717	0.41	1.47	12.88	27.01
SLV_SIS_172	53655	-22036	78998	4553	6231	7717	0.41	1.47	12.88	27.01
SLV_SIS_173	54417	-22036	84324	4553	6231	7717	0.40	1.55	12.89	26.85
SLV_SIS_174	54417	-22036	84324	4553	6231	7717	0.40	1.55	12.89	26.85
SLV_SIS_175	54007	-22036	90618	4553	6231	7717	0.41	1.68	12.88	26.59
SLV_SIS_176	54007	-22036	90618	4553	6231	7717	0.41	1.68	12.88	26.59
SLV_SIS_177	54007	-22036	92191	4553	6231	7717	0.41	1.71	12.88	26.54
SLV_SIS_178	54007	-22036	92191	4553	6231	7717	0.41	1.71	12.88	26.54
SLV_SIS_179	54834	-22036	89928	4553	6231	7717	0.40	1.64	12.90	26.67
SLV_SIS_180	54834	-22036	89928	4553	6231	7717	0.40	1.64	12.90	26.67
SLV_SIS_181	54834	-21995	80777	4549	6231	7715	0.40	1.47	12.90	27.00
SLV_SIS_182	54834	-21995	80777	4549	6231	7715	0.40	1.47	12.90	27.00
SLV_SIS_183	53665	-22014	78473	4549	6231	7715	0.41	1.46	12.88	27.03
SLV_SIS_184	53665	-22014	78473	4549	6231	7715	0.41	1.46	12.88	27.03
SLV_SIS_185	53655	-22036	78998	4553	6231	7717	0.41	1.47	12.88	27.01
SLV_SIS_186	53655	-22036	78998	4553	6231	7717	0.41	1.47	12.88	27.01
SLV_SIS_187	54417	-22036	84324	4553	6231	7717	0.40	1.55	12.89	26.85
SLV_SIS_188	54417	-22036	84324	4553	6231	7717	0.40	1.55	12.89	26.85
SLV_SIS_189	54007	-22036	90618	4553	6231	7717	0.41	1.68	12.88	26.59
SLV_SIS_190	54007	-22036	90618	4553	6231	7717	0.41	1.68	12.88	26.59
SLV_SIS_191	54007	-22036	92191	4553	6231	7717	0.41	1.71	12.88	26.54
SLV_SIS_192	54007	-22036	92191	4553	6231	7717	0.41	1.71	12.88	26.54
SLV_SIS_193	54834	-22036	89928	4553	6231	7717	0.40	1.64	12.90	26.67

  	ITINERARIO NAPOLI – BARI RADDOPPIO TRATTA CANCELLO – BENEVENTO I° LOTTO FUNZIONALE CANCELLO - FRASSO TELESINO E VARIANTE ALLA LINEA ROMA-NAPOLI VIA CASSINO NEL COMUNE DI MADDALONI – PROGETTO ESECUTIVO					
	Relazione Geotecnica di calcolo delle fondazioni	COMMESSA IF1N	LOTTO 01 E ZZ	CODIFICA CL	DOCUMENTO VI0300 002	REV. D

SLV_SIS_194	54834	-22036	89928	4553	6231	7717	0.40	1.64	12.90	26.67
SLV_SIS_195	54834	-21995	80777	4549	6231	7715	0.40	1.47	12.90	27.00
SLV_SIS_196	54834	-21995	80777	4549	6231	7715	0.40	1.47	12.90	27.00
SLV_SIS_197	53665	-74490	25997	15265	-4485	15910	1.39	0.48	10.92	28.98
SLV_SIS_198	53665	-74490	25997	15265	-4485	15910	1.39	0.48	10.92	28.98
SLV_SIS_199	53655	-74512	26522	15269	-4485	15914	1.39	0.49	10.92	28.96
SLV_SIS_200	53655	-74512	26522	15269	-4485	15914	1.39	0.49	10.92	28.96
SLV_SIS_201	54417	-74512	31848	15269	-4485	15914	1.37	0.59	10.96	28.78
SLV_SIS_202	54417	-74512	31848	15269	-4485	15914	1.37	0.59	10.96	28.78
SLV_SIS_203	54007	-74512	38142	15269	-4485	15914	1.38	0.71	10.94	28.54
SLV_SIS_204	54007	-74512	38142	15269	-4485	15914	1.38	0.71	10.94	28.54
SLV_SIS_205	54007	-74512	39714	15269	-4485	15914	1.38	0.74	10.94	28.48
SLV_SIS_206	54007	-74512	39714	15269	-4485	15914	1.38	0.74	10.94	28.48
SLV_SIS_207	54834	-74512	37452	15269	-4485	15914	1.36	0.68	10.98	28.58
SLV_SIS_208	54834	-74512	37452	15269	-4485	15914	1.36	0.68	10.98	28.58
SLV_SIS_209	54834	-74471	28301	15265	-4485	15910	1.36	0.52	10.98	28.92
SLV_SIS_210	54834	-74471	28301	15265	-4485	15910	1.36	0.52	10.98	28.92
SLV_SIS_211	56749	-22014	28961	4549	-4485	6388	0.39	0.51	12.92	28.93
SLV_SIS_212	56749	-22014	28961	4549	-4485	6388	0.39	0.51	12.92	28.93
SLV_SIS_213	56739	-22036	29486	4553	-4485	6391	0.39	0.52	12.92	28.91
SLV_SIS_214	56739	-22036	29486	4553	-4485	6391	0.39	0.52	12.92	28.91
SLV_SIS_215	57500	-22036	34813	4553	-4485	6391	0.38	0.61	12.93	28.74
SLV_SIS_216	57500	-22036	34813	4553	-4485	6391	0.38	0.61	12.93	28.74
SLV_SIS_217	57091	-22036	41106	4553	-4485	6391	0.39	0.72	12.93	28.51
SLV_SIS_218	57091	-22036	41106	4553	-4485	6391	0.39	0.72	12.93	28.51
SLV_SIS_219	57091	-22036	42679	4553	-4485	6391	0.39	0.75	12.93	28.45
SLV_SIS_220	57091	-22036	42679	4553	-4485	6391	0.39	0.75	12.93	28.45
SLV_SIS_221	57918	-22036	40416	4553	-4485	6391	0.38	0.70	12.94	28.55
SLV_SIS_222	57918	-22036	40416	4553	-4485	6391	0.38	0.70	12.94	28.55
SLV_SIS_223	57918	-21995	31265	4549	-4485	6388	0.38	0.54	12.94	28.87
SLV_SIS_224	57918	-21995	31265	4549	-4485	6388	0.38	0.54	12.94	28.87

	Nc, Nq, Ny			Sc, Sq, Sy			ic, iq, iy						
	coefficienti di capacità portante			fattori di forma			fattori di inclinazione del carico						
	Nc	Nq	Ny	sc	sq	sy	mb	ml	θ	m	ic	iq	iy
[-]	[-]	[-]	[-]	[-]	[-]	[-]	[-]	[-]	[rad]	[-]	[-]	[-]	[-]
SLV_SIS_001	20.42	10.43	10.56	1.23	1.21	0.82	1.69	1.31	13.04	1.33	0.48	0.53	0.32
SLV_SIS_002	20.42	10.43	10.56	1.23	1.21	0.82	1.69	1.31	13.04	1.33	0.48	0.53	0.32
SLV_SIS_003	20.42	10.43	10.56	1.23	1.21	0.82	1.69	1.31	13.03	1.33	0.48	0.53	0.32
SLV_SIS_004	20.42	10.43	10.56	1.23	1.21	0.82	1.69	1.31	13.03	1.33	0.48	0.53	0.32
SLV_SIS_005	20.42	10.43	10.56	1.23	1.21	0.82	1.69	1.31	13.03	1.33	0.48	0.53	0.33
SLV_SIS_006	20.42	10.43	10.56	1.23	1.21	0.82	1.69	1.31	13.03	1.33	0.48	0.53	0.33
SLV_SIS_007	20.42	10.43	10.56	1.23	1.21	0.82	1.69	1.31	13.03	1.33	0.48	0.53	0.33
SLV_SIS_008	20.42	10.43	10.56	1.23	1.21	0.82	1.69	1.31	13.03	1.33	0.48	0.53	0.33
SLV_SIS_009	20.42	10.43	10.56	1.23	1.21	0.82	1.69	1.31	13.03	1.33	0.48	0.53	0.33
SLV_SIS_010	20.42	10.43	10.56	1.23	1.21	0.82	1.69	1.31	13.03	1.33	0.48	0.53	0.33

ITINERARIO NAPOLI – BARI

RADDOPPIO TRATTA CANCELLO – BENEVENTO

I° LOTTO FUNZIONALE CANCELLO - FRASSO TELESINO E
VARIANTE ALLA LINEA ROMA-NAPOLI VIA CASSINO NEL
COMUNE DI MADDALONI – PROGETTO ESECUTIVO

Relazione Geotecnica di calcolo delle fondazioni

COMMESSA	LOTTO	CODIFICA	DOCUMENTO	REV.	FOGLIO
IF1N	01 E ZZ	CL	VI0300 002	D	83 di 170

SLV_SIS_011	20.42	10.43	10.56	1.23	1.21	0.82	1.69	1.31	13.03	1.33	0.49	0.54	0.33
SLV_SIS_012	20.42	10.43	10.56	1.23	1.21	0.82	1.69	1.31	13.03	1.33	0.49	0.54	0.33
SLV_SIS_013	20.42	10.43	10.56	1.23	1.21	0.82	1.69	1.31	13.04	1.33	0.49	0.53	0.33
SLV_SIS_014	20.42	10.43	10.56	1.23	1.21	0.82	1.69	1.31	13.04	1.33	0.49	0.53	0.33
SLV_SIS_015	20.42	10.43	10.56	1.23	1.21	0.82	1.69	1.31	13.04	1.33	0.48	0.53	0.32
SLV_SIS_016	20.42	10.43	10.56	1.23	1.21	0.82	1.69	1.31	13.04	1.33	0.48	0.53	0.32
SLV_SIS_017	20.42	10.43	10.56	1.23	1.21	0.82	1.69	1.31	13.03	1.33	0.48	0.53	0.32
SLV_SIS_018	20.42	10.43	10.56	1.23	1.21	0.82	1.69	1.31	13.03	1.33	0.48	0.53	0.32
SLV_SIS_019	20.42	10.43	10.56	1.23	1.21	0.82	1.69	1.31	13.03	1.33	0.48	0.53	0.33
SLV_SIS_020	20.42	10.43	10.56	1.23	1.21	0.82	1.69	1.31	13.03	1.33	0.48	0.53	0.33
SLV_SIS_021	20.42	10.43	10.56	1.23	1.21	0.82	1.69	1.31	13.03	1.33	0.48	0.53	0.33
SLV_SIS_022	20.42	10.43	10.56	1.23	1.21	0.82	1.69	1.31	13.03	1.33	0.48	0.53	0.33
SLV_SIS_023	20.42	10.43	10.56	1.23	1.21	0.82	1.69	1.31	13.03	1.33	0.48	0.53	0.33
SLV_SIS_024	20.42	10.43	10.56	1.23	1.21	0.82	1.69	1.31	13.03	1.33	0.48	0.53	0.33
SLV_SIS_025	20.42	10.43	10.56	1.23	1.21	0.82	1.69	1.31	13.03	1.33	0.49	0.54	0.33
SLV_SIS_026	20.42	10.43	10.56	1.23	1.21	0.82	1.69	1.31	13.03	1.33	0.49	0.54	0.33
SLV_SIS_027	20.42	10.43	10.56	1.23	1.21	0.82	1.69	1.31	13.04	1.33	0.49	0.53	0.33
SLV_SIS_028	20.42	10.43	10.56	1.23	1.21	0.82	1.69	1.31	13.04	1.33	0.49	0.53	0.33
SLV_SIS_029	20.42	10.43	10.56	1.19	1.17	0.85	1.73	1.27	58.79	1.61	0.47	0.52	0.35
SLV_SIS_030	20.42	10.43	10.56	1.19	1.17	0.85	1.73	1.27	58.79	1.61	0.47	0.52	0.35
SLV_SIS_031	20.42	10.43	10.56	1.19	1.17	0.85	1.73	1.27	58.78	1.61	0.47	0.52	0.35
SLV_SIS_032	20.42	10.43	10.56	1.19	1.17	0.85	1.73	1.27	58.78	1.61	0.47	0.52	0.35
SLV_SIS_033	20.42	10.43	10.56	1.19	1.17	0.85	1.73	1.27	58.78	1.61	0.48	0.53	0.35
SLV_SIS_034	20.42	10.43	10.56	1.19	1.17	0.85	1.73	1.27	58.78	1.61	0.48	0.53	0.35
SLV_SIS_035	20.42	10.43	10.56	1.19	1.17	0.85	1.73	1.27	58.78	1.61	0.47	0.52	0.35
SLV_SIS_036	20.42	10.43	10.56	1.19	1.17	0.85	1.73	1.27	58.78	1.61	0.47	0.52	0.35
SLV_SIS_037	20.42	10.43	10.56	1.19	1.17	0.85	1.73	1.27	58.78	1.61	0.47	0.52	0.35
SLV_SIS_038	20.42	10.43	10.56	1.19	1.17	0.85	1.73	1.27	58.78	1.61	0.47	0.52	0.35
SLV_SIS_039	20.42	10.43	10.56	1.19	1.17	0.85	1.73	1.27	58.78	1.61	0.48	0.53	0.36
SLV_SIS_040	20.42	10.43	10.56	1.19	1.17	0.85	1.73	1.27	58.78	1.61	0.48	0.53	0.36
SLV_SIS_041	20.42	10.43	10.56	1.19	1.17	0.85	1.73	1.27	58.79	1.61	0.48	0.53	0.36
SLV_SIS_042	20.42	10.43	10.56	1.19	1.17	0.85	1.73	1.27	58.79	1.61	0.48	0.53	0.36
SLV_SIS_043	20.42	10.43	10.56	1.22	1.20	0.83	1.70	1.30	26.50	1.38	0.73	0.76	0.62
SLV_SIS_044	20.42	10.43	10.56	1.22	1.20	0.83	1.70	1.30	26.50	1.38	0.73	0.76	0.62
SLV_SIS_045	20.42	10.43	10.56	1.22	1.20	0.83	1.70	1.30	26.48	1.38	0.73	0.76	0.62
SLV_SIS_046	20.42	10.43	10.56	1.22	1.20	0.83	1.70	1.30	26.48	1.38	0.73	0.76	0.62
SLV_SIS_047	20.42	10.43	10.56	1.22	1.20	0.83	1.70	1.30	26.48	1.38	0.73	0.76	0.62
SLV_SIS_048	20.42	10.43	10.56	1.22	1.20	0.83	1.70	1.30	26.48	1.38	0.73	0.76	0.62
SLV_SIS_049	20.42	10.43	10.56	1.22	1.20	0.82	1.69	1.31	26.48	1.38	0.73	0.76	0.62
SLV_SIS_050	20.42	10.43	10.56	1.22	1.20	0.82	1.69	1.31	26.48	1.38	0.73	0.76	0.62
SLV_SIS_051	20.42	10.43	10.56	1.22	1.20	0.82	1.69	1.31	26.48	1.38	0.73	0.76	0.62
SLV_SIS_052	20.42	10.43	10.56	1.22	1.20	0.82	1.69	1.31	26.48	1.38	0.73	0.76	0.62
SLV_SIS_053	20.42	10.43	10.56	1.22	1.20	0.82	1.69	1.31	26.48	1.38	0.74	0.76	0.62
SLV_SIS_054	20.42	10.43	10.56	1.22	1.20	0.82	1.69	1.31	26.48	1.38	0.74	0.76	0.62
SLV_SIS_055	20.42	10.43	10.56	1.22	1.20	0.83	1.70	1.30	26.50	1.38	0.74	0.76	0.62
SLV_SIS_056	20.42	10.43	10.56	1.22	1.20	0.83	1.70	1.30	26.50	1.38	0.74	0.76	0.62
SLV_SIS_057	20.42	10.43	10.56	1.25	1.23	0.80	1.67	1.33	23.22	1.38	0.69	0.72	0.56
SLV_SIS_058	20.42	10.43	10.56	1.25	1.23	0.80	1.67	1.33	23.22	1.38	0.69	0.72	0.56
SLV_SIS_059	20.42	10.43	10.56	1.25	1.23	0.80	1.67	1.33	23.24	1.38	0.69	0.72	0.56

ITINERARIO NAPOLI – BARI

RADDOPPIO TRATTA CANCELLO – BENEVENTO

I° LOTTO FUNZIONALE CANCELLO - FRASSO TELESINO E
VARIANTE ALLA LINEA ROMA-NAPOLI VIA CASSINO NEL
COMUNE DI MADDALONI – PROGETTO ESECUTIVO

Relazione Geotecnica di calcolo delle fondazioni

COMMESSA	LOTTO	CODIFICA	DOCUMENTO	REV.	FOGLIO
IF1N	01 E ZZ	CL	VI0300 002	D	84 di 170

SLV_SIS_060	20.42	10.43	10.56	1.25	1.23	0.80	1.67	1.33	23.24	1.38	0.69	0.72	0.56
SLV_SIS_061	20.42	10.43	10.56	1.25	1.23	0.80	1.67	1.33	23.24	1.38	0.69	0.72	0.57
SLV_SIS_062	20.42	10.43	10.56	1.25	1.23	0.80	1.67	1.33	23.24	1.38	0.69	0.72	0.57
SLV_SIS_063	20.42	10.43	10.56	1.25	1.23	0.80	1.67	1.33	23.24	1.38	0.69	0.72	0.56
SLV_SIS_064	20.42	10.43	10.56	1.25	1.23	0.80	1.67	1.33	23.24	1.38	0.69	0.72	0.56
SLV_SIS_065	20.42	10.43	10.56	1.26	1.23	0.80	1.67	1.33	23.24	1.39	0.69	0.72	0.56
SLV_SIS_066	20.42	10.43	10.56	1.26	1.23	0.80	1.67	1.33	23.24	1.39	0.69	0.72	0.56
SLV_SIS_067	20.42	10.43	10.56	1.25	1.23	0.80	1.67	1.33	23.24	1.38	0.69	0.72	0.57
SLV_SIS_068	20.42	10.43	10.56	1.25	1.23	0.80	1.67	1.33	23.24	1.38	0.69	0.72	0.57
SLV_SIS_069	20.42	10.43	10.56	1.25	1.23	0.80	1.67	1.33	23.22	1.38	0.69	0.72	0.57
SLV_SIS_070	20.42	10.43	10.56	1.25	1.23	0.80	1.67	1.33	23.22	1.38	0.69	0.72	0.57
SLV_SIS_071	20.42	10.43	10.56	1.25	1.23	0.80	1.67	1.33	23.22	1.38	0.69	0.72	0.56
SLV_SIS_072	20.42	10.43	10.56	1.25	1.23	0.80	1.67	1.33	23.22	1.38	0.69	0.72	0.56
SLV_SIS_073	20.42	10.43	10.56	1.25	1.23	0.80	1.67	1.33	23.24	1.38	0.69	0.72	0.56
SLV_SIS_074	20.42	10.43	10.56	1.25	1.23	0.80	1.67	1.33	23.24	1.38	0.69	0.72	0.56
SLV_SIS_075	20.42	10.43	10.56	1.25	1.23	0.80	1.67	1.33	23.24	1.38	0.69	0.72	0.57
SLV_SIS_076	20.42	10.43	10.56	1.25	1.23	0.80	1.67	1.33	23.24	1.38	0.69	0.72	0.57
SLV_SIS_077	20.42	10.43	10.56	1.25	1.23	0.80	1.67	1.33	23.24	1.38	0.69	0.72	0.56
SLV_SIS_078	20.42	10.43	10.56	1.25	1.23	0.80	1.67	1.33	23.24	1.38	0.69	0.72	0.56
SLV_SIS_079	20.42	10.43	10.56	1.26	1.23	0.80	1.67	1.33	23.24	1.39	0.69	0.72	0.56
SLV_SIS_080	20.42	10.43	10.56	1.26	1.23	0.80	1.67	1.33	23.24	1.39	0.69	0.72	0.56
SLV_SIS_081	20.42	10.43	10.56	1.25	1.23	0.80	1.67	1.33	23.24	1.38	0.69	0.72	0.57
SLV_SIS_082	20.42	10.43	10.56	1.25	1.23	0.80	1.67	1.33	23.24	1.38	0.69	0.72	0.57
SLV_SIS_083	20.42	10.43	10.56	1.25	1.23	0.80	1.67	1.33	23.22	1.38	0.69	0.72	0.57
SLV_SIS_084	20.42	10.43	10.56	1.25	1.23	0.80	1.67	1.33	23.22	1.38	0.69	0.72	0.57
SLV_SIS_085	20.42	10.43	10.56	1.20	1.18	0.85	1.72	1.28	89.56	1.72	0.52	0.56	0.40
SLV_SIS_086	20.42	10.43	10.56	1.20	1.18	0.85	1.72	1.28	89.56	1.72	0.52	0.56	0.40
SLV_SIS_087	20.42	10.43	10.56	1.20	1.18	0.85	1.72	1.28	89.56	1.72	0.52	0.56	0.40
SLV_SIS_088	20.42	10.43	10.56	1.20	1.18	0.85	1.72	1.28	89.56	1.72	0.52	0.56	0.40
SLV_SIS_089	20.42	10.43	10.56	1.20	1.18	0.84	1.72	1.28	89.56	1.72	0.52	0.57	0.41
SLV_SIS_090	20.42	10.43	10.56	1.20	1.18	0.84	1.72	1.28	89.56	1.72	0.52	0.57	0.41
SLV_SIS_091	20.42	10.43	10.56	1.20	1.18	0.84	1.72	1.28	89.56	1.72	0.52	0.57	0.41
SLV_SIS_092	20.42	10.43	10.56	1.20	1.18	0.84	1.72	1.28	89.56	1.72	0.52	0.57	0.41
SLV_SIS_093	20.42	10.43	10.56	1.20	1.18	0.84	1.72	1.28	89.56	1.72	0.52	0.57	0.41
SLV_SIS_094	20.42	10.43	10.56	1.20	1.18	0.84	1.72	1.28	89.56	1.72	0.52	0.57	0.41
SLV_SIS_095	20.42	10.43	10.56	1.20	1.18	0.84	1.72	1.28	89.56	1.72	0.53	0.57	0.41
SLV_SIS_096	20.42	10.43	10.56	1.20	1.18	0.84	1.72	1.28	89.56	1.72	0.53	0.57	0.41
SLV_SIS_097	20.42	10.43	10.56	1.20	1.18	0.84	1.72	1.28	89.56	1.72	0.53	0.57	0.41
SLV_SIS_098	20.42	10.43	10.56	1.20	1.18	0.84	1.72	1.28	89.56	1.72	0.53	0.57	0.41
SLV_SIS_099	20.42	10.43	10.56	1.23	1.21	0.82	1.69	1.31	88.54	1.69	0.85	0.87	0.80
SLV_SIS_100	20.42	10.43	10.56	1.23	1.21	0.82	1.69	1.31	88.54	1.69	0.85	0.87	0.80
SLV_SIS_101	20.42	10.43	10.56	1.23	1.21	0.82	1.69	1.31	88.54	1.69	0.85	0.87	0.80
SLV_SIS_102	20.42	10.43	10.56	1.23	1.21	0.82	1.69	1.31	88.54	1.69	0.85	0.87	0.80
SLV_SIS_103	20.42	10.43	10.56	1.24	1.21	0.82	1.68	1.32	88.54	1.68	0.86	0.87	0.80
SLV_SIS_104	20.42	10.43	10.56	1.24	1.21	0.82	1.68	1.32	88.54	1.68	0.86	0.87	0.80
SLV_SIS_105	20.42	10.43	10.56	1.24	1.21	0.81	1.68	1.32	88.54	1.68	0.86	0.87	0.80
SLV_SIS_106	20.42	10.43	10.56	1.24	1.21	0.81	1.68	1.32	88.54	1.68	0.86	0.87	0.80
SLV_SIS_107	20.42	10.43	10.56	1.24	1.22	0.81	1.68	1.32	88.54	1.68	0.86	0.87	0.80
SLV_SIS_108	20.42	10.43	10.56	1.24	1.22	0.81	1.68	1.32	88.54	1.68	0.86	0.87	0.80

ITINERARIO NAPOLI – BARI

RADDOPPIO TRATTA CANCELLO – BENEVENTO

I° LOTTO FUNZIONALE CANCELLO - FRASSO TELESINO E
VARIANTE ALLA LINEA ROMA-NAPOLI VIA CASSINO NEL
COMUNE DI MADDALONI – PROGETTO ESECUTIVO

Relazione Geotecnica di calcolo delle fondazioni

COMMESSA	LOTTO	CODIFICA	DOCUMENTO	REV.	FOGLIO
IF1N	01 E ZZ	CL	VI0300 002	D	85 di 170

SLV_SIS_109	20.42	10.43	10.56	1.24	1.21	0.81	1.68	1.32	88.54	1.68	0.86	0.87	0.80
SLV_SIS_110	20.42	10.43	10.56	1.24	1.21	0.81	1.68	1.32	88.54	1.68	0.86	0.87	0.80
SLV_SIS_111	20.42	10.43	10.56	1.23	1.21	0.82	1.69	1.31	88.54	1.69	0.86	0.87	0.80
SLV_SIS_112	20.42	10.43	10.56	1.23	1.21	0.82	1.69	1.31	88.54	1.69	0.86	0.87	0.80
SLV_SIS_113	20.42	10.43	10.56	1.24	1.22	0.81	1.68	1.32	10.77	1.33	0.38	0.44	0.23
SLV_SIS_114	20.42	10.43	10.56	1.24	1.22	0.81	1.68	1.32	10.77	1.33	0.38	0.44	0.23
SLV_SIS_115	20.42	10.43	10.56	1.24	1.22	0.81	1.68	1.32	10.76	1.33	0.38	0.44	0.23
SLV_SIS_116	20.42	10.43	10.56	1.24	1.22	0.81	1.68	1.32	10.76	1.33	0.38	0.44	0.23
SLV_SIS_117	20.42	10.43	10.56	1.24	1.22	0.81	1.68	1.32	10.76	1.33	0.39	0.44	0.24
SLV_SIS_118	20.42	10.43	10.56	1.24	1.22	0.81	1.68	1.32	10.76	1.33	0.39	0.44	0.24
SLV_SIS_119	20.42	10.43	10.56	1.24	1.21	0.81	1.68	1.32	10.76	1.33	0.38	0.44	0.24
SLV_SIS_120	20.42	10.43	10.56	1.24	1.21	0.81	1.68	1.32	10.76	1.33	0.38	0.44	0.24
SLV_SIS_121	20.42	10.43	10.56	1.24	1.21	0.82	1.68	1.32	10.76	1.33	0.38	0.44	0.24
SLV_SIS_122	20.42	10.43	10.56	1.24	1.21	0.82	1.68	1.32	10.76	1.33	0.38	0.44	0.24
SLV_SIS_123	20.42	10.43	10.56	1.24	1.21	0.81	1.68	1.32	10.76	1.33	0.39	0.45	0.25
SLV_SIS_124	20.42	10.43	10.56	1.24	1.21	0.81	1.68	1.32	10.76	1.33	0.39	0.45	0.25
SLV_SIS_125	20.42	10.43	10.56	1.24	1.22	0.81	1.68	1.32	10.77	1.33	0.39	0.45	0.25
SLV_SIS_126	20.42	10.43	10.56	1.24	1.22	0.81	1.68	1.32	10.77	1.33	0.39	0.45	0.25
SLV_SIS_127	20.42	10.43	10.56	1.24	1.22	0.81	1.68	1.32	10.77	1.33	0.38	0.44	0.23
SLV_SIS_128	20.42	10.43	10.56	1.24	1.22	0.81	1.68	1.32	10.77	1.33	0.38	0.44	0.23
SLV_SIS_129	20.42	10.43	10.56	1.24	1.22	0.81	1.68	1.32	10.76	1.33	0.38	0.44	0.23
SLV_SIS_130	20.42	10.43	10.56	1.24	1.22	0.81	1.68	1.32	10.76	1.33	0.38	0.44	0.23
SLV_SIS_131	20.42	10.43	10.56	1.24	1.22	0.81	1.68	1.32	10.76	1.33	0.39	0.44	0.24
SLV_SIS_132	20.42	10.43	10.56	1.24	1.22	0.81	1.68	1.32	10.76	1.33	0.39	0.44	0.24
SLV_SIS_133	20.42	10.43	10.56	1.24	1.21	0.81	1.68	1.32	10.76	1.33	0.38	0.44	0.24
SLV_SIS_134	20.42	10.43	10.56	1.24	1.21	0.81	1.68	1.32	10.76	1.33	0.38	0.44	0.24
SLV_SIS_135	20.42	10.43	10.56	1.24	1.21	0.82	1.68	1.32	10.76	1.33	0.38	0.44	0.24
SLV_SIS_136	20.42	10.43	10.56	1.24	1.21	0.82	1.68	1.32	10.76	1.33	0.38	0.44	0.24
SLV_SIS_137	20.42	10.43	10.56	1.24	1.21	0.81	1.68	1.32	10.76	1.33	0.39	0.45	0.25
SLV_SIS_138	20.42	10.43	10.56	1.24	1.21	0.81	1.68	1.32	10.76	1.33	0.39	0.45	0.25
SLV_SIS_139	20.42	10.43	10.56	1.24	1.22	0.81	1.68	1.32	10.77	1.33	0.39	0.45	0.25
SLV_SIS_140	20.42	10.43	10.56	1.24	1.22	0.81	1.68	1.32	10.77	1.33	0.39	0.45	0.25
SLV_SIS_141	20.42	10.43	10.56	1.19	1.17	0.85	1.73	1.27	48.32	1.53	0.42	0.48	0.30
SLV_SIS_142	20.42	10.43	10.56	1.19	1.17	0.85	1.73	1.27	48.32	1.53	0.42	0.48	0.30
SLV_SIS_143	20.42	10.43	10.56	1.19	1.17	0.85	1.73	1.27	48.31	1.53	0.42	0.48	0.30
SLV_SIS_144	20.42	10.43	10.56	1.19	1.17	0.85	1.73	1.27	48.31	1.53	0.42	0.48	0.30
SLV_SIS_145	20.42	10.43	10.56	1.19	1.17	0.85	1.73	1.27	48.31	1.53	0.43	0.48	0.30
SLV_SIS_146	20.42	10.43	10.56	1.19	1.17	0.85	1.73	1.27	48.31	1.53	0.43	0.48	0.30
SLV_SIS_147	20.42	10.43	10.56	1.19	1.17	0.85	1.73	1.27	48.31	1.53	0.43	0.48	0.30
SLV_SIS_148	20.42	10.43	10.56	1.19	1.17	0.85	1.73	1.27	48.31	1.53	0.43	0.48	0.30
SLV_SIS_149	20.42	10.43	10.56	1.19	1.17	0.85	1.73	1.27	48.31	1.53	0.43	0.48	0.30
SLV_SIS_150	20.42	10.43	10.56	1.19	1.17	0.85	1.73	1.27	48.31	1.53	0.43	0.48	0.30
SLV_SIS_151	20.42	10.43	10.56	1.19	1.17	0.85	1.73	1.27	48.31	1.53	0.43	0.49	0.31
SLV_SIS_152	20.42	10.43	10.56	1.19	1.17	0.85	1.73	1.27	48.31	1.53	0.43	0.49	0.31
SLV_SIS_153	20.42	10.43	10.56	1.19	1.17	0.85	1.73	1.27	48.32	1.53	0.43	0.49	0.31
SLV_SIS_154	20.42	10.43	10.56	1.19	1.17	0.85	1.73	1.27	48.32	1.53	0.43	0.49	0.31
SLV_SIS_155	20.42	10.43	10.56	1.22	1.20	0.82	1.70	1.30	18.74	1.35	0.64	0.67	0.50
SLV_SIS_156	20.42	10.43	10.56	1.22	1.20	0.82	1.70	1.30	18.74	1.35	0.64	0.67	0.50
SLV_SIS_157	20.42	10.43	10.56	1.22	1.20	0.82	1.70	1.30	18.72	1.35	0.64	0.67	0.50

ITINERARIO NAPOLI – BARI

RADDOPPIO TRATTA CANCELLO – BENEVENTO

I° LOTTO FUNZIONALE CANCELLO - FRASSO TELESINO E
VARIANTE ALLA LINEA ROMA-NAPOLI VIA CASSINO NEL
COMUNE DI MADDALONI – PROGETTO ESECUTIVO

Relazione Geotecnica di calcolo delle fondazioni

COMMESSA	LOTTO	CODIFICA	DOCUMENTO	REV.	FOGLIO
IF1N	01 E ZZ	CL	VI0300 002	D	86 di 170

SLV_SIS_158	20.42	10.43	10.56	1.22	1.20	0.82	1.70	1.30	18.72	1.35	0.64	0.67	0.50
SLV_SIS_159	20.42	10.43	10.56	1.22	1.20	0.83	1.70	1.30	18.72	1.34	0.64	0.68	0.51
SLV_SIS_160	20.42	10.43	10.56	1.22	1.20	0.83	1.70	1.30	18.72	1.34	0.64	0.68	0.51
SLV_SIS_161	20.42	10.43	10.56	1.22	1.20	0.83	1.70	1.30	18.72	1.34	0.64	0.68	0.51
SLV_SIS_162	20.42	10.43	10.56	1.22	1.20	0.83	1.70	1.30	18.72	1.34	0.64	0.68	0.51
SLV_SIS_163	20.42	10.43	10.56	1.22	1.20	0.83	1.70	1.30	18.72	1.34	0.64	0.68	0.51
SLV_SIS_164	20.42	10.43	10.56	1.22	1.20	0.83	1.70	1.30	18.72	1.34	0.64	0.68	0.51
SLV_SIS_165	20.42	10.43	10.56	1.22	1.20	0.83	1.70	1.30	18.72	1.34	0.65	0.68	0.51
SLV_SIS_166	20.42	10.43	10.56	1.22	1.20	0.83	1.70	1.30	18.72	1.34	0.65	0.68	0.51
SLV_SIS_167	20.42	10.43	10.56	1.22	1.20	0.82	1.70	1.30	18.74	1.34	0.65	0.68	0.51
SLV_SIS_168	20.42	10.43	10.56	1.22	1.20	0.82	1.70	1.30	18.74	1.34	0.65	0.68	0.51
SLV_SIS_169	20.42	10.43	10.56	1.24	1.22	0.81	1.68	1.32	36.13	1.45	0.78	0.80	0.68
SLV_SIS_170	20.42	10.43	10.56	1.24	1.22	0.81	1.68	1.32	36.13	1.45	0.78	0.80	0.68
SLV_SIS_171	20.42	10.43	10.56	1.24	1.22	0.81	1.68	1.32	36.15	1.45	0.78	0.80	0.68
SLV_SIS_172	20.42	10.43	10.56	1.24	1.22	0.81	1.68	1.32	36.15	1.45	0.78	0.80	0.68
SLV_SIS_173	20.42	10.43	10.56	1.25	1.22	0.81	1.68	1.32	36.15	1.45	0.78	0.80	0.69
SLV_SIS_174	20.42	10.43	10.56	1.25	1.22	0.81	1.68	1.32	36.15	1.45	0.78	0.80	0.69
SLV_SIS_175	20.42	10.43	10.56	1.25	1.22	0.81	1.67	1.33	36.15	1.45	0.78	0.80	0.69
SLV_SIS_176	20.42	10.43	10.56	1.25	1.22	0.81	1.67	1.33	36.15	1.45	0.78	0.80	0.69
SLV_SIS_177	20.42	10.43	10.56	1.25	1.22	0.81	1.67	1.33	36.15	1.45	0.78	0.80	0.69
SLV_SIS_178	20.42	10.43	10.56	1.25	1.22	0.81	1.67	1.33	36.15	1.45	0.78	0.80	0.69
SLV_SIS_179	20.42	10.43	10.56	1.25	1.22	0.81	1.67	1.33	36.15	1.45	0.78	0.80	0.69
SLV_SIS_180	20.42	10.43	10.56	1.25	1.22	0.81	1.67	1.33	36.15	1.45	0.78	0.80	0.69
SLV_SIS_181	20.42	10.43	10.56	1.24	1.22	0.81	1.68	1.32	36.13	1.45	0.78	0.80	0.69
SLV_SIS_182	20.42	10.43	10.56	1.24	1.22	0.81	1.68	1.32	36.13	1.45	0.78	0.80	0.69
SLV_SIS_183	20.42	10.43	10.56	1.24	1.22	0.81	1.68	1.32	36.13	1.45	0.78	0.80	0.68
SLV_SIS_184	20.42	10.43	10.56	1.24	1.22	0.81	1.68	1.32	36.13	1.45	0.78	0.80	0.68
SLV_SIS_185	20.42	10.43	10.56	1.24	1.22	0.81	1.68	1.32	36.15	1.45	0.78	0.80	0.68
SLV_SIS_186	20.42	10.43	10.56	1.24	1.22	0.81	1.68	1.32	36.15	1.45	0.78	0.80	0.68
SLV_SIS_187	20.42	10.43	10.56	1.25	1.22	0.81	1.68	1.32	36.15	1.45	0.78	0.80	0.69
SLV_SIS_188	20.42	10.43	10.56	1.25	1.22	0.81	1.68	1.32	36.15	1.45	0.78	0.80	0.69
SLV_SIS_189	20.42	10.43	10.56	1.25	1.22	0.81	1.67	1.33	36.15	1.45	0.78	0.80	0.69
SLV_SIS_190	20.42	10.43	10.56	1.25	1.22	0.81	1.67	1.33	36.15	1.45	0.78	0.80	0.69
SLV_SIS_191	20.42	10.43	10.56	1.25	1.22	0.81	1.67	1.33	36.15	1.45	0.78	0.80	0.69
SLV_SIS_192	20.42	10.43	10.56	1.25	1.22	0.81	1.67	1.33	36.15	1.45	0.78	0.80	0.69
SLV_SIS_193	20.42	10.43	10.56	1.25	1.22	0.81	1.67	1.33	36.15	1.45	0.78	0.80	0.69
SLV_SIS_194	20.42	10.43	10.56	1.25	1.22	0.81	1.67	1.33	36.15	1.45	0.78	0.80	0.69
SLV_SIS_195	20.42	10.43	10.56	1.24	1.22	0.81	1.68	1.32	36.13	1.45	0.78	0.80	0.69
SLV_SIS_196	20.42	10.43	10.56	1.24	1.22	0.81	1.68	1.32	36.13	1.45	0.78	0.80	0.69
SLV_SIS_197	20.42	10.43	10.56	1.19	1.17	0.85	1.73	1.27	73.63	1.69	0.50	0.55	0.39
SLV_SIS_198	20.42	10.43	10.56	1.19	1.17	0.85	1.73	1.27	73.63	1.69	0.50	0.55	0.39
SLV_SIS_199	20.42	10.43	10.56	1.19	1.17	0.85	1.73	1.27	73.63	1.69	0.50	0.55	0.39
SLV_SIS_200	20.42	10.43	10.56	1.19	1.17	0.85	1.73	1.27	73.63	1.69	0.50	0.55	0.39
SLV_SIS_201	20.42	10.43	10.56	1.19	1.18	0.85	1.72	1.28	73.63	1.69	0.51	0.56	0.39
SLV_SIS_202	20.42	10.43	10.56	1.19	1.18	0.85	1.72	1.28	73.63	1.69	0.51	0.56	0.39
SLV_SIS_203	20.42	10.43	10.56	1.20	1.18	0.85	1.72	1.28	73.63	1.69	0.51	0.55	0.39
SLV_SIS_204	20.42	10.43	10.56	1.20	1.18	0.85	1.72	1.28	73.63	1.69	0.51	0.55	0.39
SLV_SIS_205	20.42	10.43	10.56	1.20	1.18	0.85	1.72	1.28	73.63	1.69	0.51	0.55	0.39
SLV_SIS_206	20.42	10.43	10.56	1.20	1.18	0.85	1.72	1.28	73.63	1.69	0.51	0.55	0.39

  	ITINERARIO NAPOLI – BARI RADDOPPIO TRATTA CANCELLO – BENEVENTO I° LOTTO FUNZIONALE CANCELLO - FRASSO TELESINO E VARIANTE ALLA LINEA ROMA-NAPOLI VIA CASSINO NEL COMUNE DI MADDALONI – PROGETTO ESECUTIVO												
Relazione Geotecnica di calcolo delle fondazioni	<table border="1" style="width: 100%; border-collapse: collapse;"> <tr> <td style="text-align: center;">COMMESSA</td> <td style="text-align: center;">LOTTO</td> <td style="text-align: center;">CODIFICA</td> <td style="text-align: center;">DOCUMENTO</td> <td style="text-align: center;">REV.</td> <td style="text-align: center;">FOGLIO</td> </tr> <tr> <td style="text-align: center;">IF1N</td> <td style="text-align: center;">01 E ZZ</td> <td style="text-align: center;">CL</td> <td style="text-align: center;">VI0300 002</td> <td style="text-align: center;">D</td> <td style="text-align: center;">92 di 170</td> </tr> </table>	COMMESSA	LOTTO	CODIFICA	DOCUMENTO	REV.	FOGLIO	IF1N	01 E ZZ	CL	VI0300 002	D	92 di 170
COMMESSA	LOTTO	CODIFICA	DOCUMENTO	REV.	FOGLIO								
IF1N	01 E ZZ	CL	VI0300 002	D	92 di 170								

SLV_SIS_222	1.06	1.07	176.00	1.00	1.00	1.00	1.00	1.00	1.00
SLV_SIS_223	1.06	1.07	177.00	1.00	1.00	1.00	1.00	1.00	1.00
SLV_SIS_224	1.06	1.07	178.00	1.00	1.00	1.00	1.00	1.00	1.00

	<u>Carico limite unitario</u>	<u>Pressione agente</u>	<u>Verifica di capacità portante</u>	FS [-]
	q _{lim} [kPa]	q = N / B* L* [kPa]	q _{lim} / γ _R [kPa]	
SLV_SIS_001	589	149	327	2.20
SLV_SIS_002	589	149	327	2.20
SLV_SIS_003	589	149	327	2.20
SLV_SIS_004	589	149	327	2.20
SLV_SIS_005	599	150	333	2.22
SLV_SIS_006	599	150	333	2.22
SLV_SIS_007	594	147	330	2.24
SLV_SIS_008	594	147	330	2.24
SLV_SIS_009	595	147	330	2.24
SLV_SIS_010	595	147	330	2.24
SLV_SIS_011	605	150	336	2.25
SLV_SIS_012	605	150	336	2.25
SLV_SIS_013	604	151	335	2.22
SLV_SIS_014	604	151	335	2.22
SLV_SIS_015	589	149	327	2.20
SLV_SIS_016	589	149	327	2.20
SLV_SIS_017	589	149	327	2.20
SLV_SIS_018	589	149	327	2.20
SLV_SIS_019	599	150	333	2.22
SLV_SIS_020	599	150	333	2.22
SLV_SIS_021	594	147	330	2.24
SLV_SIS_022	594	147	330	2.24
SLV_SIS_023	595	147	330	2.24
SLV_SIS_024	595	147	330	2.24
SLV_SIS_025	605	150	336	2.25
SLV_SIS_026	605	150	336	2.25
SLV_SIS_027	604	151	335	2.22
SLV_SIS_028	604	151	335	2.22
SLV_SIS_029	562	165	312	1.89
SLV_SIS_030	562	165	312	1.89
SLV_SIS_031	562	165	312	1.89
SLV_SIS_032	562	165	312	1.89
SLV_SIS_033	572	168	318	1.89
SLV_SIS_034	572	168	318	1.89
SLV_SIS_035	567	168	315	1.87
SLV_SIS_036	567	168	315	1.87
SLV_SIS_037	567	168	315	1.87
SLV_SIS_038	567	168	315	1.87
SLV_SIS_039	577	170	320	1.89

Relazione Geotecnica di calcolo delle fondazioni

COMMESSA	LOTTO	CODIFICA	DOCUMENTO	REV.	FOGLIO
IF1N	01 E ZZ	CL	VI0300 002	D	93 di 170

SLV_SIS_040	577	170	320	1.89
SLV_SIS_041	576	168	320	1.91
SLV_SIS_042	576	168	320	1.91
SLV_SIS_043	987	148	548	3.71
SLV_SIS_044	987	148	548	3.71
SLV_SIS_045	987	148	548	3.71
SLV_SIS_046	987	148	548	3.71
SLV_SIS_047	993	151	552	3.66
SLV_SIS_048	1557	151	865	5.75
SLV_SIS_049	2111	151	1173	7.78
SLV_SIS_050	2671	151	1484	9.85
SLV_SIS_051	3231	151	1795	11.89
SLV_SIS_052	3792	151	2106	13.95
SLV_SIS_053	4389	153	2438	15.98
SLV_SIS_054	4955	153	2753	18.04
SLV_SIS_055	5531	151	3073	>> 1
SLV_SIS_056	6098	151	3388	>> 1
SLV_SIS_057	5860	159	3256	>> 1
SLV_SIS_058	6356	159	3531	>> 1
SLV_SIS_059	6848	159	3804	>> 1
SLV_SIS_060	7343	159	4079	>> 1
SLV_SIS_061	7901	162	4390	>> 1
SLV_SIS_062	8400	162	4667	>> 1
SLV_SIS_063	8831	162	4906	>> 1
SLV_SIS_064	9326	162	5181	>> 1
SLV_SIS_065	9815	163	5453	>> 1
SLV_SIS_066	10310	163	5728	>> 1
SLV_SIS_067	10932	164	6073	>> 1
SLV_SIS_068	11433	164	6352	>> 1
SLV_SIS_069	11977	162	6654	>> 1
SLV_SIS_070	12479	162	6933	>> 1
SLV_SIS_071	12794	159	7108	>> 1
SLV_SIS_072	13289	159	7383	>> 1
SLV_SIS_073	13778	159	7654	>> 1
SLV_SIS_074	14273	159	7929	>> 1
SLV_SIS_075	14888	162	8271	>> 1
SLV_SIS_076	15387	162	8549	>> 1
SLV_SIS_077	15761	162	8756	>> 1
SLV_SIS_078	16256	162	9031	>> 1
SLV_SIS_079	16741	163	9301	>> 1
SLV_SIS_080	17236	163	9576	>> 1
SLV_SIS_081	17942	164	9968	>> 1
SLV_SIS_082	18443	164	10246	>> 1
SLV_SIS_083	19014	162	10563	>> 1
SLV_SIS_084	19516	162	10842	>> 1
SLV_SIS_085	12644	174	7025	>> 1
SLV_SIS_086	12960	174	7200	>> 1
SLV_SIS_087	13268	174	7371	>> 1
SLV_SIS_088	13584	174	7547	>> 1

Relazione Geotecnica di calcolo delle fondazioni

COMMESSA	LOTTO	CODIFICA	DOCUMENTO	REV.	FOGLIO
IF1N	01 E ZZ	CL	VI0300 002	D	94 di 170

SLV_SIS_089	14143	177	7857	>> 1
SLV_SIS_090	14465	177	8036	>> 1
SLV_SIS_091	14630	178	8128	>> 1
SLV_SIS_092	14948	178	8304	>> 1
SLV_SIS_093	15262	178	8479	>> 1
SLV_SIS_094	15580	178	8656	>> 1
SLV_SIS_095	16216	179	9009	>> 1
SLV_SIS_096	16540	179	9189	>> 1
SLV_SIS_097	16894	177	9385	>> 1
SLV_SIS_098	17219	177	9566	>> 1
SLV_SIS_099	38547	156	21415	>> 1
SLV_SIS_100	39265	156	21814	>> 1
SLV_SIS_101	39966	156	22203	>> 1
SLV_SIS_102	40684	156	22602	>> 1
SLV_SIS_103	41507	159	23059	>> 1
SLV_SIS_104	42226	159	23459	>> 1
SLV_SIS_105	42787	159	23770	>> 1
SLV_SIS_106	43504	159	24169	>> 1
SLV_SIS_107	44202	159	24557	>> 1
SLV_SIS_108	44919	159	24955	>> 1
SLV_SIS_109	45854	161	25475	>> 1
SLV_SIS_110	46574	161	25875	>> 1
SLV_SIS_111	47417	159	26343	>> 1
SLV_SIS_112	48139	159	26744	>> 1
SLV_SIS_113	14221	153	7900	>> 1
SLV_SIS_114	14429	153	8016	>> 1
SLV_SIS_115	14637	153	8132	>> 1
SLV_SIS_116	14846	153	8248	>> 1
SLV_SIS_117	15533	154	8629	>> 1
SLV_SIS_118	15748	154	8749	>> 1
SLV_SIS_119	15766	151	8759	>> 1
SLV_SIS_120	15979	151	8877	>> 1
SLV_SIS_121	16203	151	9002	>> 1
SLV_SIS_122	16415	151	9120	>> 1
SLV_SIS_123	17126	154	9515	>> 1
SLV_SIS_124	17345	154	9636	>> 1
SLV_SIS_125	17489	155	9716	>> 1
SLV_SIS_126	17707	155	9837	>> 1
SLV_SIS_127	17140	153	9522	>> 1
SLV_SIS_128	17348	153	9638	>> 1
SLV_SIS_129	17557	153	9754	>> 1
SLV_SIS_130	17765	153	9870	>> 1
SLV_SIS_131	18545	154	10303	>> 1
SLV_SIS_132	18760	154	10422	>> 1
SLV_SIS_133	18741	151	10412	>> 1
SLV_SIS_134	18954	151	10530	>> 1
SLV_SIS_135	19180	151	10656	>> 1
SLV_SIS_136	19393	151	10774	>> 1
SLV_SIS_137	20194	154	11219	>> 1

Relazione Geotecnica di calcolo delle fondazioni

COMMESSA	LOTTO	CODIFICA	DOCUMENTO	REV.	FOGLIO
IF1N	01 E ZZ	CL	VI0300 002	D	95 di 170

SLV_SIS_138	20413	154	11340	>> 1
SLV_SIS_139	20543	155	11413	>> 1
SLV_SIS_140	20761	155	11534	>> 1
SLV_SIS_141	22386	169	12437	>> 1
SLV_SIS_142	22619	169	12566	>> 1
SLV_SIS_143	22854	168	12697	>> 1
SLV_SIS_144	23087	168	12826	>> 1
SLV_SIS_145	23931	169	13295	>> 1
SLV_SIS_146	24170	169	13428	>> 1
SLV_SIS_147	24118	167	13399	>> 1
SLV_SIS_148	24354	167	13530	>> 1
SLV_SIS_149	24598	166	13665	>> 1
SLV_SIS_150	24834	166	13797	>> 1
SLV_SIS_151	25730	169	14295	>> 1
SLV_SIS_152	25973	169	14429	>> 1
SLV_SIS_153	26158	171	14532	>> 1
SLV_SIS_154	26400	171	14667	>> 1
SLV_SIS_155	49929	150	27738	>> 1
SLV_SIS_156	50383	150	27991	>> 1
SLV_SIS_157	50846	150	28248	>> 1
SLV_SIS_158	51300	150	28500	>> 1
SLV_SIS_159	52423	151	29124	>> 1
SLV_SIS_160	52884	151	29380	>> 1
SLV_SIS_161	53127	148	29515	>> 1
SLV_SIS_162	53586	148	29770	>> 1
SLV_SIS_163	54070	148	30039	>> 1
SLV_SIS_164	54529	148	30294	>> 1
SLV_SIS_165	55610	151	30895	>> 1
SLV_SIS_166	56074	151	31152	>> 1
SLV_SIS_167	56374	152	31319	>> 1
SLV_SIS_168	56837	152	31576	>> 1
SLV_SIS_169	75131	154	41739	>> 1
SLV_SIS_170	75738	154	42077	>> 1
SLV_SIS_171	76310	154	42394	>> 1
SLV_SIS_172	76917	154	42732	>> 1
SLV_SIS_173	77912	157	43284	>> 1
SLV_SIS_174	78522	157	43623	>> 1
SLV_SIS_175	78675	158	43708	>> 1
SLV_SIS_176	79281	158	44045	>> 1
SLV_SIS_177	79844	158	44358	>> 1
SLV_SIS_178	80450	158	44694	>> 1
SLV_SIS_179	81714	159	45397	>> 1
SLV_SIS_180	82325	159	45736	>> 1
SLV_SIS_181	83209	157	46227	>> 1
SLV_SIS_182	83822	157	46568	>> 1
SLV_SIS_183	83630	154	46461	>> 1
SLV_SIS_184	84237	154	46798	>> 1
SLV_SIS_185	84805	154	47114	>> 1
SLV_SIS_186	85412	154	47451	>> 1

ITINERARIO NAPOLI – BARI

RADDOPPIO TRATTA CANCELLO – BENEVENTO

I° LOTTO FUNZIONALE CANCELLO - FRASSO TELESINO E
VARIANTE ALLA LINEA ROMA-NAPOLI VIA CASSINO NEL
COMUNE DI MADDALONI – PROGETTO ESECUTIVO

Relazione Geotecnica di calcolo delle fondazioni

COMMESSA	LOTTO	CODIFICA	DOCUMENTO	REV.	FOGLIO
IF1N	01 E ZZ	CL	VI0300 002	D	96 di 170

SLV_SIS_187	86450	157	48028	>> 1
SLV_SIS_188	87059	157	48366	>> 1
SLV_SIS_189	87163	158	48424	>> 1
SLV_SIS_190	87769	158	48761	>> 1
SLV_SIS_191	88327	158	49071	>> 1
SLV_SIS_192	88933	158	49407	>> 1
SLV_SIS_193	90267	159	50149	>> 1
SLV_SIS_194	90878	159	50488	>> 1
SLV_SIS_195	91791	157	50995	>> 1
SLV_SIS_196	92404	157	51335	>> 1
SLV_SIS_197	46609	170	25894	>> 1
SLV_SIS_198	46916	170	26064	>> 1
SLV_SIS_199	47191	170	26217	>> 1
SLV_SIS_200	47497	170	26387	>> 1
SLV_SIS_201	48679	173	27044	>> 1
SLV_SIS_202	48991	173	27217	>> 1
SLV_SIS_203	48759	173	27088	>> 1
SLV_SIS_204	49067	173	27260	>> 1
SLV_SIS_205	49364	173	27424	>> 1
SLV_SIS_206	49672	173	27596	>> 1
SLV_SIS_207	51021	175	28345	>> 1
SLV_SIS_208	51336	175	28520	>> 1
SLV_SIS_209	51743	173	28746	>> 1
SLV_SIS_210	52059	173	28922	>> 1
SLV_SIS_211	111051	152	61695	>> 1
SLV_SIS_212	111722	152	62068	>> 1
SLV_SIS_213	112346	152	62414	>> 1
SLV_SIS_214	113016	152	62786	>> 1
SLV_SIS_215	114087	155	63382	>> 1
SLV_SIS_216	114759	155	63755	>> 1
SLV_SIS_217	114933	155	63852	>> 1
SLV_SIS_218	115603	155	64224	>> 1
SLV_SIS_219	116223	155	64568	>> 1
SLV_SIS_220	116892	155	64940	>> 1
SLV_SIS_221	118259	157	65700	>> 1
SLV_SIS_222	118932	157	66073	>> 1
SLV_SIS_223	119922	155	66623	>> 1
SLV_SIS_224	120597	155	66998	>> 1

  	ITINERARIO NAPOLI – BARI RADDOPPIO TRATTA CANCELLO – BENEVENTO I° LOTTO FUNZIONALE CANCELLO - FRASSO TELESINO E VARIANTE ALLA LINEA ROMA-NAPOLI VIA CASSINO NEL COMUNE DI MADDALONI – PROGETTO ESECUTIVO												
Relazione Geotecnica di calcolo delle fondazioni	<table border="1"> <tr> <td>COMMESSA</td> <td>LOTTO</td> <td>CODIFICA</td> <td>DOCUMENTO</td> <td>REV.</td> <td>FOGLIO</td> </tr> <tr> <td>IF1N</td> <td>01 E ZZ</td> <td>CL</td> <td>VI0300 002</td> <td>D</td> <td>97 di 170</td> </tr> </table>	COMMESSA	LOTTO	CODIFICA	DOCUMENTO	REV.	FOGLIO	IF1N	01 E ZZ	CL	VI0300 002	D	97 di 170
COMMESSA	LOTTO	CODIFICA	DOCUMENTO	REV.	FOGLIO								
IF1N	01 E ZZ	CL	VI0300 002	D	97 di 170								

7.2.3 SCATOLARE “B” (LATO BENEVENTO)

Fondazioni Dirette

Verifica in tensioni efficaci

Pista pedonale Latina. Scatolare su Fosso Fantacchiotto

$$q_{lim} = c' \cdot N_c \cdot s_c \cdot d_c \cdot i_c \cdot b_c \cdot g_c + q \cdot N_q \cdot s_q \cdot d_q \cdot i_q \cdot b_q \cdot g_q + 0,5 \cdot \gamma \cdot B \cdot N_\gamma \cdot s_\gamma \cdot d_\gamma \cdot i_\gamma \cdot b_\gamma \cdot g_\gamma$$

D = Profondità del piano di appoggio

e_B = Eccentricità in direzione B ($e_B = M_B/N$)

e_L = Eccentricità in direzione L ($e_L = M_L/N$) (per fondazione nastriforme $e_L = 0$; $L^* = L$)

B^* = Larghezza fittizia della fondazione ($B^* = B - 2 \cdot e_B$)

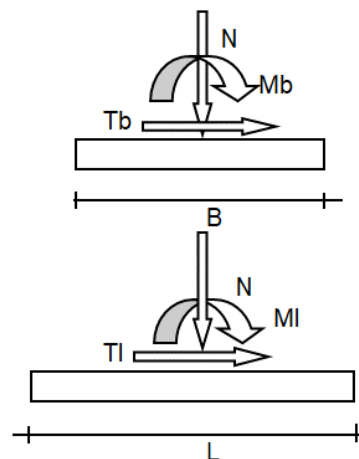
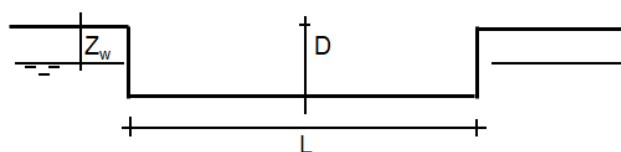
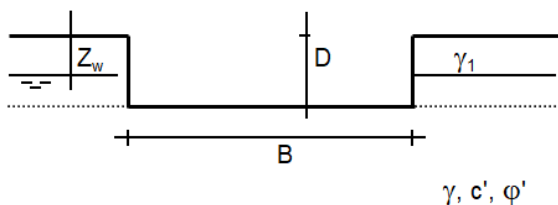
L^* = Lunghezza fittizia della fondazione ($L^* = L - 2 \cdot e_L$)

(per fondazione nastriforme le sollecitazioni agenti sono riferite all'unità di lunghezza)

Metodo di calcolo			coefficienti parziali				resistenze	
			azioni		proprietà del terreno			
			permanenti	temporanee variabili	$\tan \phi'$	c'	q_{lim}	scorr
Stato Limite Ultimo	A1+M1+R1	○	1.30	1.50	1.00	1.00	1.00	1.00
	A2+M2+R2	○	1.00	1.30	1.25	1.25	1.80	1.00
	SISMA	○	1.00	1.00	1.25	1.25	1.80	1.00
	A1+M1+R3	○	1.30	1.50	1.00	1.00	2.30	1.10
	SISMA	○	1.00	1.00	1.00	1.00	2.30	1.10
Tensioni Ammissibili		○	1.00	1.00	1.00	1.00	3.00	3.00
Definiti dal Progettista		⊗	1.00	1.00	1.25	1.25	1.80	1.00

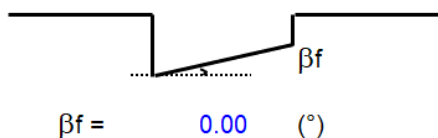
Relazione Geotecnica di calcolo delle fondazioni

COMMESSA	LOTTO	CODIFICA	DOCUMENTO	REV.	FOGLIO
IF1N	01 E ZZ	CL	VI0300 002	D	98 di 170



(Per fondazione nastriforme L = 100 m)

B	=	13.70	(m)
L	=	20.00	(m)
D	=	2.50	(m)

*Peso unità di volume del terreno*

γ_1	=	17.00	(kN/mc)
γ	=	17.00	(kN/mc)

Valori caratteristici di resistenza del terreno

c'	=	0.00	(kN/mq)
φ'	=	30.00	(°)

Valori di progetto

c'	=	0.00	(kN/mq)
φ'	=	24.79	(°)

Profondità della falda

Zw	=	15.00	(m)
----	---	-------	-----

Relazione Geotecnica di calcolo delle fondazioni

COMMESSA	LOTTO	CODIFICA	DOCUMENTO	REV.	FOGLIO
IF1N	01 E ZZ	CL	VI0300 002	D	99 di 170

	N [kN]	M _B [kNm]	M _L [kNm]	T _B [kN]	T _L [kN]	H [kN]	e _B * [m]	e _L * [m]	B* [m]	L* [m]
SLU_GEO_001	38504	0	-12465	0	-4709	4709	0.00	0.32	13.70	19.35
SLU_GEO_002	38504	0	-2415	0	-3622	3622	0.00	0.06	13.70	19.87
SLU_GEO_003	38504	0	-2415	0	-3622	3622	0.00	0.06	13.70	19.87
SLU_GEO_004	46177	3473	-14441	-306	-3622	3635	0.08	0.31	13.55	19.37
SLU_GEO_005	46177	3473	-2415	-306	-3622	3635	0.08	0.05	13.55	19.90
SLU_GEO_006	46177	3473	9611	-306	-3622	3635	0.08	0.21	13.55	19.58
SLU_GEO_007	38504	0	-2415	0	-3622	3622	0.00	0.06	13.70	19.87
SLU_GEO_008	38504	0	-2415	0	-3622	3622	0.00	0.06	13.70	19.87
SLU_GEO_009	46177	3473	-14441	-306	-3622	3635	0.08	0.31	13.55	19.37
SLU_GEO_010	46177	3473	-2415	-306	-3622	3635	0.08	0.05	13.55	19.90
SLU_GEO_011	46177	3473	9611	-306	-3622	3635	0.08	0.21	13.55	19.58
SLU_GEO_012	48496	3178	-2415	-280	-3622	3633	0.07	0.05	13.57	19.90
SLU_GEO_013	45934	0	-20991	0	-3622	3622	0.00	0.46	13.70	19.09
SLU_GEO_014	38504	-2239	-2415	417	-3622	3646	0.06	0.06	13.58	19.87
SLU_GEO_015	38504	-2239	-2415	417	-3622	3646	0.06	0.06	13.58	19.87
SLU_GEO_016	46177	1234	-14441	111	-3622	3624	0.03	0.31	13.65	19.37
SLU_GEO_017	46177	1234	-2415	111	-3622	3624	0.03	0.05	13.65	19.90
SLU_GEO_018	46177	1234	9611	111	-3622	3624	0.03	0.21	13.65	19.58
SLU_GEO_019	46177	-2239	9611	417	-3622	3646	0.05	0.21	13.60	19.58
SLU_GEO_020	38504	-2239	-2415	417	-3622	3646	0.06	0.06	13.58	19.87
SLU_GEO_021	38504	-2239	-2415	417	-3622	3646	0.06	0.06	13.58	19.87
SLU_GEO_022	46177	1234	-14441	111	-3622	3624	0.03	0.31	13.65	19.37
SLU_GEO_023	46177	1234	-2415	111	-3622	3624	0.03	0.05	13.65	19.90
SLU_GEO_024	46177	1234	9611	111	-3622	3624	0.03	0.21	13.65	19.58
SLU_GEO_025	48496	939	-2415	137	-3622	3625	0.02	0.05	13.66	19.90
SLU_GEO_026	45934	-2239	-20991	417	-3622	3646	0.05	0.46	13.60	19.09
SLU_GEO_027	38504	0	-12465	0	-4709	4709	0.00	0.32	13.70	19.35
SLU_GEO_028	38504	0	-12465	0	-4709	4709	0.00	0.32	13.70	19.35
SLU_GEO_029	38504	-2239	-12465	417	-4709	4727	0.06	0.32	13.58	19.35
SLU_GEO_030	38504	2239	-12465	-417	-4709	4727	0.06	0.32	13.58	19.35
SLU_GEO_031	38504	0	-12465	0	-4709	4709	0.00	0.32	13.70	19.35
SLU_GEO_032	38504	0	-2415	0	-3622	3622	0.00	0.06	13.70	19.87
SLU_GEO_033	38504	0	-2415	0	-3622	3622	0.00	0.06	13.70	19.87
SLU_GEO_034	46177	3473	-14441	-306	-3622	3635	0.08	0.31	13.55	19.37
SLU_GEO_035	46177	3473	-2415	-306	-3622	3635	0.08	0.05	13.55	19.90
SLU_GEO_036	46177	3473	9611	-306	-3622	3635	0.08	0.21	13.55	19.58
SLU_GEO_037	46177	0	9611	0	-3622	3622	0.00	0.21	13.70	19.58
SLU_GEO_038	38504	0	-2415	0	-3622	3622	0.00	0.06	13.70	19.87
SLU_GEO_039	38504	0	-2415	0	-3622	3622	0.00	0.06	13.70	19.87
SLU_GEO_040	46177	3473	-14441	-306	-3622	3635	0.08	0.31	13.55	19.37
SLU_GEO_041	46177	3473	-2415	-306	-3622	3635	0.08	0.05	13.55	19.90
SLU_GEO_042	46177	3473	9611	-306	-3622	3635	0.08	0.21	13.55	19.58
SLU_GEO_043	48496	3178	-2415	-280	-3622	3633	0.07	0.05	13.57	19.90
SLU_GEO_044	45934	0	-20991	0	-3622	3622	0.00	0.46	13.70	19.09
SLU_GEO_045	38504	-2239	-12465	417	-4709	4727	0.06	0.32	13.58	19.35
SLU_GEO_046	38504	-2239	-2415	417	-3622	3646	0.06	0.06	13.58	19.87

ITINERARIO NAPOLI – BARI

RADDOPPIO TRATTA CANCELLO – BENEVENTO

I° LOTTO FUNZIONALE CANCELLO - FRASSO TELESINO E
VARIANTE ALLA LINEA ROMA-NAPOLI VIA CASSINO NEL
COMUNE DI MADDALONI – PROGETTO ESECUTIVO

Relazione Geotecnica di calcolo delle fondazioni

COMMESSA	LOTTO	CODIFICA	DOCUMENTO	REV.	FOGLIO
IF1N	01 E ZZ	CL	VI0300 002	D	100 di 170

SLU_GEO_047	38504	-2239	-2415	417	-3622	3646	0.06	0.06	13.58	19.87
SLU_GEO_048	46177	1234	-14441	111	-3622	3624	0.03	0.31	13.65	19.37
SLU_GEO_049	46177	1234	-2415	111	-3622	3624	0.03	0.05	13.65	19.90
SLU_GEO_050	46177	1234	9611	111	-3622	3624	0.03	0.21	13.65	19.58
SLU_GEO_051	46177	-2239	9611	417	-3622	3646	0.05	0.21	13.60	19.58
SLU_GEO_052	38504	-2239	-2415	417	-3622	3646	0.06	0.06	13.58	19.87
SLU_GEO_053	38504	-2239	-2415	417	-3622	3646	0.06	0.06	13.58	19.87
SLU_GEO_054	46177	1234	-14441	111	-3622	3624	0.03	0.31	13.65	19.37
SLU_GEO_055	46177	1234	-2415	111	-3622	3624	0.03	0.05	13.65	19.90
SLU_GEO_056	46177	1234	9611	111	-3622	3624	0.03	0.21	13.65	19.58
SLU_GEO_057	46177	-5712	9611	723	-3622	3694	0.12	0.21	13.45	19.58
SLU_GEO_058	48496	939	-2415	137	-3622	3625	0.02	0.05	13.66	19.90
SLU_GEO_059	45934	-2239	-20991	417	-3622	3646	0.05	0.46	13.60	19.09
SLU_GEO_060	39108	0	-12465	0	-4709	4709	0.00	0.32	13.70	19.36
SLU_GEO_061	39108	0	-12465	0	-4709	4709	0.00	0.32	13.70	19.36
SLU_GEO_062	39108	0	-12465	0	-4709	4709	0.00	0.32	13.70	19.36
SLU_GEO_063	38504	0	-12465	0	-4709	4709	0.00	0.32	13.70	19.35
SLU_GEO_064	38504	0	-2415	0	-3622	3622	0.00	0.06	13.70	19.87
SLU_GEO_065	38504	0	-2415	0	-3622	3622	0.00	0.06	13.70	19.87
SLU_GEO_066	46177	3473	-14441	-306	-3622	3635	0.08	0.31	13.55	19.37
SLU_GEO_067	46177	3473	-2415	-306	-3622	3635	0.08	0.05	13.55	19.90
SLU_GEO_068	46177	3473	9611	-306	-3622	3635	0.08	0.21	13.55	19.58
SLU_GEO_069	48496	3178	-2415	-280	-3622	3633	0.07	0.05	13.57	19.90
SLU_GEO_070	45934	0	-20991	0	-3622	3622	0.00	0.46	13.70	19.09
SLU_GEO_071	38504	0	-12818	0	-5872	5872	0.00	0.33	13.70	19.33
SLU_GEO_072	38504	0	-12818	0	-5872	5872	0.00	0.33	13.70	19.33
SLU_GEO_073	46177	3473	-24845	-306	-5872	5880	0.08	0.54	13.55	18.92
SLU_GEO_074	46177	3473	-12818	-306	-5872	5880	0.08	0.28	13.55	19.44
SLU_GEO_075	46177	3473	-792	-306	-5872	5880	0.08	0.02	13.55	19.97
SLU_GEO_076	38504	0	-12818	0	-5872	5872	0.00	0.33	13.70	19.33
SLU_GEO_077	38504	0	-12818	0	-5872	5872	0.00	0.33	13.70	19.33
SLU_GEO_078	46177	3473	-24845	-306	-5872	5880	0.08	0.54	13.55	18.92
SLU_GEO_079	46177	3473	-12818	-306	-5872	5880	0.08	0.28	13.55	19.44
SLU_GEO_080	46177	3473	-792	-306	-5872	5880	0.08	0.02	13.55	19.97
SLU_GEO_081	48496	3178	-12818	-280	-5872	5878	0.07	0.26	13.57	19.47
SLU_GEO_082	45934	0	-31394	0	-5872	5872	0.00	0.68	13.70	18.63
SLU_GEO_083	38504	-2239	-12818	417	-5872	5886	0.06	0.33	13.58	19.33
SLU_GEO_084	38504	-2239	-12818	417	-5872	5886	0.06	0.33	13.58	19.33
SLU_GEO_085	46177	1234	-24845	111	-5872	5873	0.03	0.54	13.65	18.92
SLU_GEO_086	46177	1234	-12818	111	-5872	5873	0.03	0.28	13.65	19.44
SLU_GEO_087	46177	1234	-792	111	-5872	5873	0.03	0.02	13.65	19.97
SLU_GEO_088	46177	-2239	-792	417	-5872	5886	0.05	0.02	13.60	19.97
SLU_GEO_089	38504	-2239	-12818	417	-5872	5886	0.06	0.33	13.58	19.33
SLU_GEO_090	38504	-2239	-12818	417	-5872	5886	0.06	0.33	13.58	19.33
SLU_GEO_091	46177	1234	-24845	111	-5872	5873	0.03	0.54	13.65	18.92
SLU_GEO_092	46177	1234	-12818	111	-5872	5873	0.03	0.28	13.65	19.44
SLU_GEO_093	46177	1234	-792	111	-5872	5873	0.03	0.02	13.65	19.97
SLU_GEO_094	48496	939	-12818	137	-5872	5873	0.02	0.26	13.66	19.47
SLU_GEO_095	45934	-2239	-31394	417	-5872	5886	0.05	0.68	13.60	18.63

ITINERARIO NAPOLI – BARI

RADDOPPIO TRATTA CANCELLO – BENEVENTO

I° LOTTO FUNZIONALE CANCELLO - FRASSO TELESINO E
VARIANTE ALLA LINEA ROMA-NAPOLI VIA CASSINO NEL
COMUNE DI MADDALONI – PROGETTO ESECUTIVO

Relazione Geotecnica di calcolo delle fondazioni

COMMESSA	LOTTO	CODIFICA	DOCUMENTO	REV.	FOGLIO
IF1N	01 E ZZ	CL	VI0300 002	D	101 di 170

SLU_GEO_096	38504	0	-22868	0	-6958	6958	0.00	0.59	13.70	18.81
SLU_GEO_097	38504	0	-22868	0	-6958	6958	0.00	0.59	13.70	18.81
SLU_GEO_098	38504	-2239	-22868	417	-6958	6971	0.06	0.59	13.58	18.81
SLU_GEO_099	38504	2239	-22868	-417	-6958	6971	0.06	0.59	13.58	18.81
SLU_GEO_100	38504	0	-22868	0	-6958	6958	0.00	0.59	13.70	18.81
SLU_GEO_101	38504	0	-12818	0	-5872	5872	0.00	0.33	13.70	19.33
SLU_GEO_102	38504	0	-12818	0	-5872	5872	0.00	0.33	13.70	19.33
SLU_GEO_103	46177	3473	-24845	-306	-5872	5880	0.08	0.54	13.55	18.92
SLU_GEO_104	46177	3473	-12818	-306	-5872	5880	0.08	0.28	13.55	19.44
SLU_GEO_105	46177	3473	-792	-306	-5872	5880	0.08	0.02	13.55	19.97
SLU_GEO_106	46177	0	-792	0	-5872	5872	0.00	0.02	13.70	19.97
SLU_GEO_107	38504	0	-12818	0	-5872	5872	0.00	0.33	13.70	19.33
SLU_GEO_108	38504	0	-12818	0	-5872	5872	0.00	0.33	13.70	19.33
SLU_GEO_109	46177	3473	-24845	-306	-5872	5880	0.08	0.54	13.55	18.92
SLU_GEO_110	46177	3473	-12818	-306	-5872	5880	0.08	0.28	13.55	19.44
SLU_GEO_111	46177	3473	-792	-306	-5872	5880	0.08	0.02	13.55	19.97
SLU_GEO_112	48496	3178	-12818	-280	-5872	5878	0.07	0.26	13.57	19.47
SLU_GEO_113	45934	0	-31394	0	-5872	5872	0.00	0.68	13.70	18.63
SLU_GEO_114	38504	-2239	-22868	417	-6958	6971	0.06	0.59	13.58	18.81
SLU_GEO_115	38504	-2239	-12818	417	-5872	5886	0.06	0.33	13.58	19.33
SLU_GEO_116	38504	-2239	-12818	417	-5872	5886	0.06	0.33	13.58	19.33
SLU_GEO_117	46177	1234	-24845	111	-5872	5873	0.03	0.54	13.65	18.92
SLU_GEO_118	46177	1234	-12818	111	-5872	5873	0.03	0.28	13.65	19.44
SLU_GEO_119	46177	1234	-792	111	-5872	5873	0.03	0.02	13.65	19.97
SLU_GEO_120	46177	-2239	-792	417	-5872	5886	0.05	0.02	13.60	19.97
SLU_GEO_121	38504	-2239	-12818	417	-5872	5886	0.06	0.33	13.58	19.33
SLU_GEO_122	38504	-2239	-12818	417	-5872	5886	0.06	0.33	13.58	19.33
SLU_GEO_123	46177	1234	-24845	111	-5872	5873	0.03	0.54	13.65	18.92
SLU_GEO_124	46177	1234	-12818	111	-5872	5873	0.03	0.28	13.65	19.44
SLU_GEO_125	46177	1234	-792	111	-5872	5873	0.03	0.02	13.65	19.97
SLU_GEO_126	46177	-5712	-792	723	-5872	5916	0.12	0.02	13.45	19.97
SLU_GEO_127	48496	939	-12818	137	-5872	5873	0.02	0.26	13.66	19.47
SLU_GEO_128	45934	-2239	-31394	417	-5872	5886	0.05	0.68	13.60	18.63
SLU_GEO_129	39108	0	-22868	0	-6958	6958	0.00	0.58	13.70	18.83
SLU_GEO_130	39108	0	-22868	0	-6958	6958	0.00	0.58	13.70	18.83
SLU_GEO_131	39108	0	-22868	0	-6958	6958	0.00	0.58	13.70	18.83
SLU_GEO_132	38504	0	-12818	0	-5872	5872	0.00	0.33	13.70	19.33
SLU_GEO_133	38504	0	-12818	0	-5872	5872	0.00	0.33	13.70	19.33
SLU_GEO_134	46177	3473	-24845	-306	-5872	5880	0.08	0.54	13.55	18.92
SLU_GEO_135	46177	3473	-12818	-306	-5872	5880	0.08	0.28	13.55	19.44
SLU_GEO_136	46177	3473	-792	-306	-5872	5880	0.08	0.02	13.55	19.97
SLU_GEO_137	48496	3178	-12818	-280	-5872	5878	0.07	0.26	13.57	19.47
SLU_GEO_138	45934	0	-31394	0	-5872	5872	0.00	0.68	13.70	18.63

   	ITINERARIO NAPOLI – BARI RADDOPPIO TRATTA CANCELLO – BENEVENTO I° LOTTO FUNZIONALE CANCELLO - FRASSO TELESINO E VARIANTE ALLA LINEA ROMA-NAPOLI VIA CASSINO NEL COMUNE DI MADDALONI – PROGETTO ESECUTIVO												
Relazione Geotecnica di calcolo delle fondazioni	<table border="1"> <tr> <td>COMMESSA</td> <td>LOTTO</td> <td>CODIFICA</td> <td>DOCUMENTO</td> <td>REV.</td> <td>FOGLIO</td> </tr> <tr> <td>IF1N</td> <td>01 E ZZ</td> <td>CL</td> <td>VI0300 002</td> <td>D</td> <td>102 di 170</td> </tr> </table>	COMMESSA	LOTTO	CODIFICA	DOCUMENTO	REV.	FOGLIO	IF1N	01 E ZZ	CL	VI0300 002	D	102 di 170
COMMESSA	LOTTO	CODIFICA	DOCUMENTO	REV.	FOGLIO								
IF1N	01 E ZZ	CL	VI0300 002	D	102 di 170								

	Nc, Nq, Ny			Sc, Sq, Sy			ic, iq, iy						
	coefficienti di capacità portante			fattori di forma			fattori di inclinazione del carico						
	Nc [-]	Nq [-]	Ny [-]	sc [-]	sq [-]	sy [-]	mb [-]	ml [-]	θ [rad]	m [-]	ic [-]	iq [-]	iy [-]
SLU_GEO_001	20.42	10.43	10.56	1.36	1.33	0.72	1.59	1.41	0.00	1.41	0.81	0.83	0.73
SLU_GEO_002	20.42	10.43	10.56	1.35	1.32	0.72	1.59	1.41	0.00	1.41	0.86	0.87	0.79
SLU_GEO_003	20.42	10.43	10.56	1.35	1.32	0.72	1.59	1.41	0.00	1.41	0.86	0.87	0.79
SLU_GEO_004	20.42	10.43	10.56	1.36	1.32	0.72	1.59	1.41	4.83	1.41	0.88	0.89	0.82
SLU_GEO_005	20.42	10.43	10.56	1.35	1.31	0.73	1.59	1.41	4.83	1.41	0.88	0.89	0.82
SLU_GEO_006	20.42	10.43	10.56	1.35	1.32	0.72	1.59	1.41	4.83	1.41	0.88	0.89	0.82
SLU_GEO_007	20.42	10.43	10.56	1.35	1.32	0.72	1.59	1.41	0.00	1.41	0.86	0.87	0.79
SLU_GEO_008	20.42	10.43	10.56	1.35	1.32	0.72	1.59	1.41	0.00	1.41	0.86	0.87	0.79
SLU_GEO_009	20.42	10.43	10.56	1.36	1.32	0.72	1.59	1.41	4.83	1.41	0.88	0.89	0.82
SLU_GEO_010	20.42	10.43	10.56	1.35	1.31	0.73	1.59	1.41	4.83	1.41	0.88	0.89	0.82
SLU_GEO_011	20.42	10.43	10.56	1.35	1.32	0.72	1.59	1.41	4.83	1.41	0.88	0.89	0.82
SLU_GEO_012	20.42	10.43	10.56	1.35	1.31	0.73	1.59	1.41	4.42	1.41	0.89	0.90	0.83
SLU_GEO_013	20.42	10.43	10.56	1.37	1.33	0.71	1.58	1.42	0.00	1.42	0.88	0.89	0.82
SLU_GEO_014	20.42	10.43	10.56	1.35	1.32	0.73	1.59	1.41	6.57	1.41	0.86	0.87	0.79
SLU_GEO_015	20.42	10.43	10.56	1.35	1.32	0.73	1.59	1.41	6.57	1.41	0.86	0.87	0.79
SLU_GEO_016	20.42	10.43	10.56	1.36	1.33	0.72	1.59	1.41	1.76	1.41	0.88	0.89	0.82
SLU_GEO_017	20.42	10.43	10.56	1.35	1.32	0.73	1.59	1.41	1.76	1.41	0.88	0.89	0.82
SLU_GEO_018	20.42	10.43	10.56	1.36	1.32	0.72	1.59	1.41	1.76	1.41	0.88	0.89	0.82
SLU_GEO_019	20.42	10.43	10.56	1.35	1.32	0.72	1.59	1.41	6.57	1.41	0.88	0.89	0.82
SLU_GEO_020	20.42	10.43	10.56	1.35	1.32	0.73	1.59	1.41	6.57	1.41	0.86	0.87	0.79
SLU_GEO_021	20.42	10.43	10.56	1.35	1.32	0.73	1.59	1.41	6.57	1.41	0.86	0.87	0.79
SLU_GEO_022	20.42	10.43	10.56	1.36	1.33	0.72	1.59	1.41	1.76	1.41	0.88	0.89	0.82
SLU_GEO_023	20.42	10.43	10.56	1.35	1.32	0.73	1.59	1.41	1.76	1.41	0.88	0.89	0.82
SLU_GEO_024	20.42	10.43	10.56	1.36	1.32	0.72	1.59	1.41	1.76	1.41	0.88	0.89	0.82
SLU_GEO_025	20.42	10.43	10.56	1.35	1.32	0.73	1.59	1.41	2.17	1.41	0.89	0.90	0.83
SLU_GEO_026	20.42	10.43	10.56	1.36	1.33	0.71	1.58	1.42	6.57	1.42	0.88	0.89	0.82
SLU_GEO_027	20.42	10.43	10.56	1.36	1.33	0.72	1.59	1.41	0.00	1.41	0.81	0.83	0.73
SLU_GEO_028	20.42	10.43	10.56	1.36	1.33	0.72	1.59	1.41	0.00	1.41	0.81	0.83	0.73
SLU_GEO_029	20.42	10.43	10.56	1.36	1.32	0.72	1.59	1.41	5.06	1.41	0.81	0.83	0.73
SLU_GEO_030	20.42	10.43	10.56	1.36	1.32	0.72	1.59	1.41	5.06	1.41	0.81	0.83	0.73
SLU_GEO_031	20.42	10.43	10.56	1.36	1.33	0.72	1.59	1.41	0.00	1.41	0.81	0.83	0.73
SLU_GEO_032	20.42	10.43	10.56	1.35	1.32	0.72	1.59	1.41	0.00	1.41	0.86	0.87	0.79
SLU_GEO_033	20.42	10.43	10.56	1.35	1.32	0.72	1.59	1.41	0.00	1.41	0.86	0.87	0.79
SLU_GEO_034	20.42	10.43	10.56	1.36	1.32	0.72	1.59	1.41	4.83	1.41	0.88	0.89	0.82
SLU_GEO_035	20.42	10.43	10.56	1.35	1.31	0.73	1.59	1.41	4.83	1.41	0.88	0.89	0.82
SLU_GEO_036	20.42	10.43	10.56	1.35	1.32	0.72	1.59	1.41	4.83	1.41	0.88	0.89	0.82
SLU_GEO_037	20.42	10.43	10.56	1.36	1.32	0.72	1.59	1.41	0.00	1.41	0.88	0.89	0.82
SLU_GEO_038	20.42	10.43	10.56	1.35	1.32	0.72	1.59	1.41	0.00	1.41	0.86	0.87	0.79
SLU_GEO_039	20.42	10.43	10.56	1.35	1.32	0.72	1.59	1.41	0.00	1.41	0.86	0.87	0.79
SLU_GEO_040	20.42	10.43	10.56	1.36	1.32	0.72	1.59	1.41	4.83	1.41	0.88	0.89	0.82
SLU_GEO_041	20.42	10.43	10.56	1.35	1.31	0.73	1.59	1.41	4.83	1.41	0.88	0.89	0.82
SLU_GEO_042	20.42	10.43	10.56	1.35	1.32	0.72	1.59	1.41	4.83	1.41	0.88	0.89	0.82
SLU_GEO_043	20.42	10.43	10.56	1.35	1.31	0.73	1.59	1.41	4.42	1.41	0.89	0.90	0.83

ITINERARIO NAPOLI – BARI

RADDOPPIO TRATTA CANCELLO – BENEVENTO

I° LOTTO FUNZIONALE CANCELLO - FRASSO TELESINO E
VARIANTE ALLA LINEA ROMA-NAPOLI VIA CASSINO NEL
COMUNE DI MADDALONI – PROGETTO ESECUTIVO

Relazione Geotecnica di calcolo delle fondazioni

COMMESSA	LOTTO	CODIFICA	DOCUMENTO	REV.	FOGLIO
IF1N	01 E ZZ	CL	VI0300 002	D	103 di 170

SLU_GEO_044	20.42	10.43	10.56	1.37	1.33	0.71	1.58	1.42	0.00	1.42	0.88	0.89	0.82
SLU_GEO_045	20.42	10.43	10.56	1.36	1.32	0.72	1.59	1.41	5.06	1.41	0.81	0.83	0.73
SLU_GEO_046	20.42	10.43	10.56	1.35	1.32	0.73	1.59	1.41	6.57	1.41	0.86	0.87	0.79
SLU_GEO_047	20.42	10.43	10.56	1.35	1.32	0.73	1.59	1.41	6.57	1.41	0.86	0.87	0.79
SLU_GEO_048	20.42	10.43	10.56	1.36	1.33	0.72	1.59	1.41	1.76	1.41	0.88	0.89	0.82
SLU_GEO_049	20.42	10.43	10.56	1.35	1.32	0.73	1.59	1.41	1.76	1.41	0.88	0.89	0.82
SLU_GEO_050	20.42	10.43	10.56	1.36	1.32	0.72	1.59	1.41	1.76	1.41	0.88	0.89	0.82
SLU_GEO_051	20.42	10.43	10.56	1.35	1.32	0.72	1.59	1.41	6.57	1.41	0.88	0.89	0.82
SLU_GEO_052	20.42	10.43	10.56	1.35	1.32	0.73	1.59	1.41	6.57	1.41	0.86	0.87	0.79
SLU_GEO_053	20.42	10.43	10.56	1.35	1.32	0.73	1.59	1.41	6.57	1.41	0.86	0.87	0.79
SLU_GEO_054	20.42	10.43	10.56	1.36	1.33	0.72	1.59	1.41	1.76	1.41	0.88	0.89	0.82
SLU_GEO_055	20.42	10.43	10.56	1.35	1.32	0.73	1.59	1.41	1.76	1.41	0.88	0.89	0.82
SLU_GEO_056	20.42	10.43	10.56	1.36	1.32	0.72	1.59	1.41	1.76	1.41	0.88	0.89	0.82
SLU_GEO_057	20.42	10.43	10.56	1.35	1.32	0.73	1.59	1.41	11.29	1.41	0.88	0.89	0.82
SLU_GEO_058	20.42	10.43	10.56	1.35	1.32	0.73	1.59	1.41	2.17	1.41	0.89	0.90	0.83
SLU_GEO_059	20.42	10.43	10.56	1.36	1.33	0.71	1.58	1.42	6.57	1.42	0.88	0.89	0.82
SLU_GEO_060	20.42	10.43	10.56	1.36	1.33	0.72	1.59	1.41	0.00	1.41	0.82	0.83	0.73
SLU_GEO_061	20.42	10.43	10.56	1.36	1.33	0.72	1.59	1.41	0.00	1.41	0.82	0.83	0.73
SLU_GEO_062	20.42	10.43	10.56	1.36	1.33	0.72	1.59	1.41	0.00	1.41	0.82	0.83	0.73
SLU_GEO_063	20.42	10.43	10.56	1.36	1.33	0.72	1.59	1.41	0.00	1.41	0.81	0.83	0.73
SLU_GEO_064	20.42	10.43	10.56	1.35	1.32	0.72	1.59	1.41	0.00	1.41	0.86	0.87	0.79
SLU_GEO_065	20.42	10.43	10.56	1.35	1.32	0.72	1.59	1.41	0.00	1.41	0.86	0.87	0.79
SLU_GEO_066	20.42	10.43	10.56	1.36	1.32	0.72	1.59	1.41	4.83	1.41	0.88	0.89	0.82
SLU_GEO_067	20.42	10.43	10.56	1.35	1.31	0.73	1.59	1.41	4.83	1.41	0.88	0.89	0.82
SLU_GEO_068	20.42	10.43	10.56	1.35	1.32	0.72	1.59	1.41	4.83	1.41	0.88	0.89	0.82
SLU_GEO_069	20.42	10.43	10.56	1.35	1.31	0.73	1.59	1.41	4.42	1.41	0.89	0.90	0.83
SLU_GEO_070	20.42	10.43	10.56	1.37	1.33	0.71	1.58	1.42	0.00	1.42	0.88	0.89	0.82
SLU_GEO_071	20.42	10.43	10.56	1.36	1.33	0.72	1.59	1.41	0.00	1.41	0.77	0.79	0.67
SLU_GEO_072	20.42	10.43	10.56	1.36	1.33	0.72	1.59	1.41	0.00	1.41	0.77	0.79	0.67
SLU_GEO_073	20.42	10.43	10.56	1.37	1.33	0.71	1.58	1.42	2.98	1.42	0.81	0.82	0.72
SLU_GEO_074	20.42	10.43	10.56	1.36	1.32	0.72	1.59	1.41	2.98	1.41	0.81	0.83	0.72
SLU_GEO_075	20.42	10.43	10.56	1.35	1.31	0.73	1.60	1.40	2.98	1.40	0.81	0.83	0.72
SLU_GEO_076	20.42	10.43	10.56	1.36	1.33	0.72	1.59	1.41	0.00	1.41	0.77	0.79	0.67
SLU_GEO_077	20.42	10.43	10.56	1.36	1.33	0.72	1.59	1.41	0.00	1.41	0.77	0.79	0.67
SLU_GEO_078	20.42	10.43	10.56	1.37	1.33	0.71	1.58	1.42	2.98	1.42	0.81	0.82	0.72
SLU_GEO_079	20.42	10.43	10.56	1.36	1.32	0.72	1.59	1.41	2.98	1.41	0.81	0.83	0.72
SLU_GEO_080	20.42	10.43	10.56	1.35	1.31	0.73	1.60	1.40	2.98	1.40	0.81	0.83	0.72
SLU_GEO_081	20.42	10.43	10.56	1.36	1.32	0.72	1.59	1.41	2.73	1.41	0.82	0.83	0.73
SLU_GEO_082	20.42	10.43	10.56	1.38	1.34	0.71	1.58	1.42	0.00	1.42	0.80	0.82	0.72
SLU_GEO_083	20.42	10.43	10.56	1.36	1.32	0.72	1.59	1.41	4.06	1.41	0.77	0.79	0.67
SLU_GEO_084	20.42	10.43	10.56	1.36	1.32	0.72	1.59	1.41	4.06	1.41	0.77	0.79	0.67
SLU_GEO_085	20.42	10.43	10.56	1.37	1.33	0.71	1.58	1.42	1.08	1.42	0.81	0.82	0.72
SLU_GEO_086	20.42	10.43	10.56	1.36	1.32	0.72	1.59	1.41	1.08	1.41	0.81	0.83	0.72
SLU_GEO_087	20.42	10.43	10.56	1.35	1.32	0.73	1.59	1.41	1.08	1.41	0.81	0.83	0.72
SLU_GEO_088	20.42	10.43	10.56	1.35	1.31	0.73	1.59	1.41	4.06	1.41	0.81	0.83	0.72
SLU_GEO_089	20.42	10.43	10.56	1.36	1.32	0.72	1.59	1.41	4.06	1.41	0.77	0.79	0.67
SLU_GEO_090	20.42	10.43	10.56	1.36	1.32	0.72	1.59	1.41	4.06	1.41	0.77	0.79	0.67
SLU_GEO_091	20.42	10.43	10.56	1.37	1.33	0.71	1.58	1.42	1.08	1.42	0.81	0.82	0.72
SLU_GEO_092	20.42	10.43	10.56	1.36	1.32	0.72	1.59	1.41	1.08	1.41	0.81	0.83	0.72

ITINERARIO NAPOLI – BARI

RADDOPPIO TRATTA CANCELLO – BENEVENTO

I° LOTTO FUNZIONALE CANCELLO - FRASSO TELESINO E
VARIANTE ALLA LINEA ROMA-NAPOLI VIA CASSINO NEL
COMUNE DI MADDALONI – PROGETTO ESECUTIVO

Relazione Geotecnica di calcolo delle fondazioni

COMMESSA	LOTTO	CODIFICA	DOCUMENTO	REV.	FOGLIO
IF1N	01 E ZZ	CL	VI0300 002	D	104 di 170

SLU_GEO_093	20.42	10.43	10.56	1.35	1.32	0.73	1.59	1.41	1.08	1.41	0.81	0.83	0.72
SLU_GEO_094	20.42	10.43	10.56	1.36	1.32	0.72	1.59	1.41	1.34	1.41	0.82	0.83	0.73
SLU_GEO_095	20.42	10.43	10.56	1.37	1.34	0.71	1.58	1.42	4.06	1.42	0.80	0.82	0.72
SLU_GEO_096	20.42	10.43	10.56	1.37	1.34	0.71	1.58	1.42	0.00	1.42	0.73	0.75	0.62
SLU_GEO_097	20.42	10.43	10.56	1.37	1.34	0.71	1.58	1.42	0.00	1.42	0.73	0.75	0.62
SLU_GEO_098	20.42	10.43	10.56	1.37	1.33	0.71	1.58	1.42	3.43	1.42	0.73	0.75	0.62
SLU_GEO_099	20.42	10.43	10.56	1.37	1.33	0.71	1.58	1.42	3.43	1.42	0.73	0.75	0.62
SLU_GEO_100	20.42	10.43	10.56	1.37	1.34	0.71	1.58	1.42	0.00	1.42	0.73	0.75	0.62
SLU_GEO_101	20.42	10.43	10.56	1.36	1.33	0.72	1.59	1.41	0.00	1.41	0.77	0.79	0.67
SLU_GEO_102	20.42	10.43	10.56	1.36	1.33	0.72	1.59	1.41	0.00	1.41	0.77	0.79	0.67
SLU_GEO_103	20.42	10.43	10.56	1.37	1.33	0.71	1.58	1.42	2.98	1.42	0.81	0.82	0.72
SLU_GEO_104	20.42	10.43	10.56	1.36	1.32	0.72	1.59	1.41	2.98	1.41	0.81	0.83	0.72
SLU_GEO_105	20.42	10.43	10.56	1.35	1.31	0.73	1.60	1.40	2.98	1.40	0.81	0.83	0.72
SLU_GEO_106	20.42	10.43	10.56	1.35	1.32	0.73	1.59	1.41	0.00	1.41	0.81	0.83	0.72
SLU_GEO_107	20.42	10.43	10.56	1.36	1.33	0.72	1.59	1.41	0.00	1.41	0.77	0.79	0.67
SLU_GEO_108	20.42	10.43	10.56	1.36	1.33	0.72	1.59	1.41	0.00	1.41	0.77	0.79	0.67
SLU_GEO_109	20.42	10.43	10.56	1.37	1.33	0.71	1.58	1.42	2.98	1.42	0.81	0.82	0.72
SLU_GEO_110	20.42	10.43	10.56	1.36	1.32	0.72	1.59	1.41	2.98	1.41	0.81	0.83	0.72
SLU_GEO_111	20.42	10.43	10.56	1.35	1.31	0.73	1.60	1.40	2.98	1.40	0.81	0.83	0.72
SLU_GEO_112	20.42	10.43	10.56	1.36	1.32	0.72	1.59	1.41	2.73	1.41	0.82	0.83	0.73
SLU_GEO_113	20.42	10.43	10.56	1.38	1.34	0.71	1.58	1.42	0.00	1.42	0.80	0.82	0.72
SLU_GEO_114	20.42	10.43	10.56	1.37	1.33	0.71	1.58	1.42	3.43	1.42	0.73	0.75	0.62
SLU_GEO_115	20.42	10.43	10.56	1.36	1.32	0.72	1.59	1.41	4.06	1.41	0.77	0.79	0.67
SLU_GEO_116	20.42	10.43	10.56	1.36	1.32	0.72	1.59	1.41	4.06	1.41	0.77	0.79	0.67
SLU_GEO_117	20.42	10.43	10.56	1.37	1.33	0.71	1.58	1.42	1.08	1.42	0.81	0.82	0.72
SLU_GEO_118	20.42	10.43	10.56	1.36	1.32	0.72	1.59	1.41	1.08	1.41	0.81	0.83	0.72
SLU_GEO_119	20.42	10.43	10.56	1.35	1.32	0.73	1.59	1.41	1.08	1.41	0.81	0.83	0.72
SLU_GEO_120	20.42	10.43	10.56	1.35	1.31	0.73	1.59	1.41	4.06	1.41	0.81	0.83	0.72
SLU_GEO_121	20.42	10.43	10.56	1.36	1.32	0.72	1.59	1.41	4.06	1.41	0.77	0.79	0.67
SLU_GEO_122	20.42	10.43	10.56	1.36	1.32	0.72	1.59	1.41	4.06	1.41	0.77	0.79	0.67
SLU_GEO_123	20.42	10.43	10.56	1.37	1.33	0.71	1.58	1.42	1.08	1.42	0.81	0.82	0.72
SLU_GEO_124	20.42	10.43	10.56	1.36	1.32	0.72	1.59	1.41	1.08	1.41	0.81	0.83	0.72
SLU_GEO_125	20.42	10.43	10.56	1.35	1.32	0.73	1.59	1.41	1.08	1.41	0.81	0.83	0.72
SLU_GEO_126	20.42	10.43	10.56	1.34	1.31	0.73	1.60	1.40	7.02	1.41	0.81	0.82	0.72
SLU_GEO_127	20.42	10.43	10.56	1.36	1.32	0.72	1.59	1.41	1.34	1.41	0.82	0.83	0.73
SLU_GEO_128	20.42	10.43	10.56	1.37	1.34	0.71	1.58	1.42	4.06	1.42	0.80	0.82	0.72
SLU_GEO_129	20.42	10.43	10.56	1.37	1.34	0.71	1.58	1.42	0.00	1.42	0.73	0.76	0.62
SLU_GEO_130	20.42	10.43	10.56	1.37	1.34	0.71	1.58	1.42	0.00	1.42	0.73	0.76	0.62
SLU_GEO_131	20.42	10.43	10.56	1.37	1.34	0.71	1.58	1.42	0.00	1.42	0.73	0.76	0.62
SLU_GEO_132	20.42	10.43	10.56	1.36	1.33	0.72	1.59	1.41	0.00	1.41	0.77	0.79	0.67
SLU_GEO_133	20.42	10.43	10.56	1.36	1.33	0.72	1.59	1.41	0.00	1.41	0.77	0.79	0.67
SLU_GEO_134	20.42	10.43	10.56	1.37	1.33	0.71	1.58	1.42	2.98	1.42	0.81	0.82	0.72
SLU_GEO_135	20.42	10.43	10.56	1.36	1.32	0.72	1.59	1.41	2.98	1.41	0.81	0.83	0.72
SLU_GEO_136	20.42	10.43	10.56	1.35	1.31	0.73	1.60	1.40	2.98	1.40	0.81	0.83	0.72
SLU_GEO_137	20.42	10.43	10.56	1.36	1.32	0.72	1.59	1.41	2.73	1.41	0.82	0.83	0.73
SLU_GEO_138	20.42	10.43	10.56	1.38	1.34	0.71	1.58	1.42	0.00	1.42	0.80	0.82	0.72

Relazione Geotecnica di calcolo delle fondazioni

COMMESSA	LOTTO	CODIFICA	DOCUMENTO	REV.	FOGLIO
IF1N	01 E ZZ	CL	VI0300 002	D	108 di 170

	<u>Carico limite unitario</u>	<u>Pressione agente</u>	<u>Verifica di capacità portante</u>	FS [-]
	q_{lim} [kPa]	$q = N / B * L^*$ [kPa]	q_{lim} / γ_R [kPa]	
SLU_GEO_001	1127	145	626	4.31
SLU_GEO_002	1203	141	669	4.73
SLU_GEO_003	1203	141	669	4.73
SLU_GEO_004	1234	176	686	3.90
SLU_GEO_005	1238	171	688	4.02
SLU_GEO_006	1236	174	686	3.94
SLU_GEO_007	1203	141	669	4.73
SLU_GEO_008	1203	141	669	4.73
SLU_GEO_009	1234	176	686	3.90
SLU_GEO_010	1238	171	688	4.02
SLU_GEO_011	1236	174	686	3.94
SLU_GEO_012	1249	180	694	3.86
SLU_GEO_013	1237	176	687	3.91
SLU_GEO_014	1197	143	665	4.66
SLU_GEO_015	1197	143	665	4.66
SLU_GEO_016	1238	175	688	3.94
SLU_GEO_017	1242	170	690	4.06
SLU_GEO_018	1240	173	689	3.99
SLU_GEO_019	1237	173	687	3.96
SLU_GEO_020	1197	143	665	4.66
SLU_GEO_021	1197	143	665	4.66
SLU_GEO_022	1238	175	688	3.94
SLU_GEO_023	1242	170	690	4.06
SLU_GEO_024	1240	173	689	3.99
SLU_GEO_025	1253	178	696	3.90
SLU_GEO_026	1232	177	684	3.87
SLU_GEO_027	1127	145	626	4.31
SLU_GEO_028	1127	145	626	4.31
SLU_GEO_029	1122	146	623	4.26
SLU_GEO_030	1122	146	623	4.26
SLU_GEO_031	1127	145	626	4.31
SLU_GEO_032	1203	141	669	4.73
SLU_GEO_033	1203	141	669	4.73
SLU_GEO_034	1234	176	686	3.90
SLU_GEO_035	1238	171	688	4.02
SLU_GEO_036	1236	174	686	3.94
SLU_GEO_037	1242	172	690	4.01
SLU_GEO_038	1203	141	669	4.73
SLU_GEO_039	1203	141	669	4.73
SLU_GEO_040	1234	176	686	3.90
SLU_GEO_041	1238	171	688	4.02
SLU_GEO_042	1236	174	686	3.94
SLU_GEO_043	1249	180	694	3.86
SLU_GEO_044	1237	176	687	3.91

Relazione Geotecnica di calcolo delle fondazioni

COMMESSA	LOTTO	CODIFICA	DOCUMENTO	REV.	FOGLIO
IF1N	01 E ZZ	CL	VI0300 002	D	109 di 170

SLU_GEO_045	1122	146	623	4.26
SLU_GEO_046	1197	143	665	4.66
SLU_GEO_047	1197	143	665	4.66
SLU_GEO_048	1238	175	688	3.94
SLU_GEO_049	1935	170	1075	6.32
SLU_GEO_050	1240	173	689	3.99
SLU_GEO_051	1237	173	687	3.96
SLU_GEO_052	1197	143	665	4.66
SLU_GEO_053	1197	143	665	4.66
SLU_GEO_054	1238	175	688	3.94
SLU_GEO_055	1242	170	690	4.06
SLU_GEO_056	1240	173	689	3.99
SLU_GEO_057	1228	175	682	3.89
SLU_GEO_058	1253	178	696	3.90
SLU_GEO_059	1232	177	684	3.87
SLU_GEO_060	1132	147	629	4.27
SLU_GEO_061	1132	147	629	4.27
SLU_GEO_062	1132	147	629	4.27
SLU_GEO_063	1127	145	626	4.31
SLU_GEO_064	1203	141	669	4.73
SLU_GEO_065	1203	141	669	4.73
SLU_GEO_066	1234	176	686	3.90
SLU_GEO_067	1238	171	688	4.02
SLU_GEO_068	1236	174	686	3.94
SLU_GEO_069	1249	180	694	3.86
SLU_GEO_070	1237	176	687	3.91
SLU_GEO_071	1053	145	585	4.02
SLU_GEO_072	1053	145	585	4.02
SLU_GEO_073	1106	180	615	3.41
SLU_GEO_074	1110	175	617	3.52
SLU_GEO_075	1114	171	619	3.63
SLU_GEO_076	1053	145	585	4.02
SLU_GEO_077	1053	145	585	4.02
SLU_GEO_078	1106	180	615	3.41
SLU_GEO_079	1110	175	617	3.52
SLU_GEO_080	1114	171	619	3.63
SLU_GEO_081	1126	184	626	3.41
SLU_GEO_082	1108	180	615	3.42
SLU_GEO_083	1048	147	582	3.97
SLU_GEO_084	1048	147	582	3.97
SLU_GEO_085	1110	179	617	3.45
SLU_GEO_086	1114	174	619	3.56
SLU_GEO_087	1118	169	621	3.66
SLU_GEO_088	1115	170	620	3.64
SLU_GEO_089	1048	147	582	3.97
SLU_GEO_090	1048	147	582	3.97
SLU_GEO_091	1110	179	617	3.45
SLU_GEO_092	1114	174	619	3.56
SLU_GEO_093	1118	169	621	3.66

Relazione Geotecnica di calcolo delle fondazioni

COMMESSA	LOTTO	CODIFICA	DOCUMENTO	REV.	FOGLIO
IF1N	01 E ZZ	CL	VI0300 002	D	110 di 170

SLU_GEO_094	1130	182	628	3.44
SLU_GEO_095	1104	181	613	3.38
SLU_GEO_096	982	149	545	3.65
SLU_GEO_097	982	149	545	3.65
SLU_GEO_098	978	151	543	3.61
SLU_GEO_099	978	151	543	3.61
SLU_GEO_100	982	149	545	3.65
SLU_GEO_101	1053	145	585	4.02
SLU_GEO_102	1053	145	585	4.02
SLU_GEO_103	1106	180	615	3.41
SLU_GEO_104	1110	175	617	3.52
SLU_GEO_105	1114	171	619	3.63
SLU_GEO_106	1729	169	961	5.69
SLU_GEO_107	2173	145	1207	8.31
SLU_GEO_108	2734	145	1519	10.45
SLU_GEO_109	3475	180	1931	10.72
SLU_GEO_110	4106	175	2281	13.01
SLU_GEO_111	4748	171	2638	15.45
SLU_GEO_112	5397	184	2998	16.34
SLU_GEO_113	5835	180	3242	18.02
SLU_GEO_114	5543	151	3079	>> 1
SLU_GEO_115	6619	147	3677	>> 1
SLU_GEO_116	7176	147	3987	>> 1
SLU_GEO_117	8248	179	4582	>> 1
SLU_GEO_118	8938	174	4965	>> 1
SLU_GEO_119	9637	169	5354	>> 1
SLU_GEO_120	10217	170	5676	>> 1
SLU_GEO_121	9961	147	5534	>> 1
SLU_GEO_122	10518	147	5843	>> 1
SLU_GEO_123	11817	179	6565	>> 1
SLU_GEO_124	12549	174	6972	>> 1
SLU_GEO_125	13288	169	7382	>> 1
SLU_GEO_126	13741	172	7634	>> 1
SLU_GEO_127	14610	182	8116	>> 1
SLU_GEO_128	14629	181	8127	>> 1
SLU_GEO_129	13338	152	7410	>> 1
SLU_GEO_130	13852	152	7696	>> 1
SLU_GEO_131	14367	152	7982	>> 1
SLU_GEO_132	16185	145	8991	>> 1
SLU_GEO_133	16745	145	9303	>> 1
SLU_GEO_134	18280	180	10155	>> 1
SLU_GEO_135	19083	175	10602	>> 1
SLU_GEO_136	19889	171	11050	>> 1
SLU_GEO_137	20650	184	11472	>> 1
SLU_GEO_138	20610	180	11450	>> 1

Relazione Geotecnica di calcolo delle fondazioni

COMMESSA	LOTTO	CODIFICA	DOCUMENTO	REV.	FOGLIO
IF1N	01 E ZZ	CL	VI0300 002	D	111 di 170

	N [kN]	M _B [kNm]	M _L [kNm]	T _B [kN]	T _L [kN]	H [kN]	e _B * [m]	e _L * [m]	B* [m]	L* [m]
SLV_SIS_001	38422	16524	-67564	-3355	-15892	16242	0.43	1.76	12.84	16.48
SLV_SIS_002	38422	16524	-67564	-3355	-15892	16242	0.43	1.76	12.84	16.48
SLV_SIS_003	38422	16524	-67564	-3355	-15892	16242	0.43	1.76	12.84	16.48
SLV_SIS_004	38422	16524	-67564	-3355	-15892	16242	0.43	1.76	12.84	16.48
SLV_SIS_005	39425	16978	-69137	-3395	-15892	16250	0.43	1.75	12.84	16.49
SLV_SIS_006	39425	16978	-69137	-3395	-15892	16250	0.43	1.75	12.84	16.49
SLV_SIS_007	39425	16978	-67564	-3395	-15892	16250	0.43	1.71	12.84	16.57
SLV_SIS_008	39425	16978	-67564	-3395	-15892	16250	0.43	1.71	12.84	16.57
SLV_SIS_009	39425	16978	-65992	-3395	-15892	16250	0.43	1.67	12.84	16.65
SLV_SIS_010	39425	16978	-65992	-3395	-15892	16250	0.43	1.67	12.84	16.65
SLV_SIS_011	39849	16978	-67564	-3395	-15892	16250	0.43	1.70	12.85	16.61
SLV_SIS_012	39849	16978	-67564	-3395	-15892	16250	0.43	1.70	12.85	16.61
SLV_SIS_013	39483	16524	-70218	-3355	-15892	16242	0.42	1.78	12.86	16.44
SLV_SIS_014	39483	16524	-70218	-3355	-15892	16242	0.42	1.78	12.86	16.44
SLV_SIS_015	38422	16524	-67564	-3355	-15892	16242	0.43	1.76	12.84	16.48
SLV_SIS_016	38422	16524	-67564	-3355	-15892	16242	0.43	1.76	12.84	16.48
SLV_SIS_017	38422	16524	-67564	-3355	-15892	16242	0.43	1.76	12.84	16.48
SLV_SIS_018	38422	16524	-67564	-3355	-15892	16242	0.43	1.76	12.84	16.48
SLV_SIS_019	39425	16978	-69137	-3395	-15892	16250	0.43	1.75	12.84	16.49
SLV_SIS_020	39425	16978	-69137	-3395	-15892	16250	0.43	1.75	12.84	16.49
SLV_SIS_021	39425	16978	-67564	-3395	-15892	16250	0.43	1.71	12.84	16.57
SLV_SIS_022	39425	16978	-67564	-3395	-15892	16250	0.43	1.71	12.84	16.57
SLV_SIS_023	39425	16978	-65992	-3395	-15892	16250	0.43	1.67	12.84	16.65
SLV_SIS_024	39425	16978	-65992	-3395	-15892	16250	0.43	1.67	12.84	16.65
SLV_SIS_025	39849	16978	-67564	-3395	-15892	16250	0.43	1.70	12.85	16.61
SLV_SIS_026	39849	16978	-67564	-3395	-15892	16250	0.43	1.70	12.85	16.61
SLV_SIS_027	39483	16524	-70218	-3355	-15892	16242	0.42	1.78	12.86	16.44
SLV_SIS_028	39483	16524	-70218	-3355	-15892	16242	0.42	1.78	12.86	16.44
SLV_SIS_029	38422	55079	-29009	-11183	-8064	13787	1.43	0.76	10.83	18.49
SLV_SIS_030	38422	55079	-29009	-11183	-8064	13787	1.43	0.76	10.83	18.49
SLV_SIS_031	38422	55079	-29009	-11183	-8064	13787	1.43	0.76	10.83	18.49
SLV_SIS_032	38422	55079	-29009	-11183	-8064	13787	1.43	0.76	10.83	18.49
SLV_SIS_033	39425	55533	-30581	-11223	-8064	13819	1.41	0.78	10.88	18.45
SLV_SIS_034	39425	55533	-30581	-11223	-8064	13819	1.41	0.78	10.88	18.45
SLV_SIS_035	39425	55533	-29009	-11223	-8064	13819	1.41	0.74	10.88	18.53
SLV_SIS_036	39425	55533	-29009	-11223	-8064	13819	1.41	0.74	10.88	18.53
SLV_SIS_037	39425	55533	-27437	-11223	-8064	13819	1.41	0.70	10.88	18.61
SLV_SIS_038	39425	55533	-27437	-11223	-8064	13819	1.41	0.70	10.88	18.61
SLV_SIS_039	39849	55533	-29009	-11223	-8064	13819	1.39	0.73	10.91	18.54
SLV_SIS_040	39849	55533	-29009	-11223	-8064	13819	1.39	0.73	10.91	18.54
SLV_SIS_041	39483	55079	-31663	-11183	-8064	13787	1.39	0.80	10.91	18.40
SLV_SIS_042	39483	55079	-31663	-11183	-8064	13787	1.39	0.80	10.91	18.40
SLV_SIS_043	40674	16524	-28896	-3355	-8064	8734	0.41	0.71	12.89	18.58
SLV_SIS_044	40674	16524	-28896	-3355	-8064	8734	0.41	0.71	12.89	18.58
SLV_SIS_045	40674	16524	-28896	-3355	-8064	8734	0.41	0.71	12.89	18.58
SLV_SIS_046	40674	16524	-28896	-3355	-8064	8734	0.41	0.71	12.89	18.58

ITINERARIO NAPOLI – BARI

RADDOPPIO TRATTA CANCELLO – BENEVENTO

I° LOTTO FUNZIONALE CANCELLO - FRASSO TELESINO E
VARIANTE ALLA LINEA ROMA-NAPOLI VIA CASSINO NEL
COMUNE DI MADDALONI – PROGETTO ESECUTIVO

Relazione Geotecnica di calcolo delle fondazioni

COMMESSA	LOTTO	CODIFICA	DOCUMENTO	REV.	FOGLIO
IF1N	01 E ZZ	CL	VI0300 002	D	112 di 170

SLV_SIS_047	41677	16978	-30468	-3395	-8064	8749	0.41	0.73	12.89	18.54
SLV_SIS_048	41677	16978	-30468	-3395	-8064	8749	0.41	0.73	12.89	18.54
SLV_SIS_049	41677	16978	-28896	-3395	-8064	8749	0.41	0.69	12.89	18.61
SLV_SIS_050	41677	16978	-28896	-3395	-8064	8749	0.41	0.69	12.89	18.61
SLV_SIS_051	41677	16978	-27324	-3395	-8064	8749	0.41	0.66	12.89	18.69
SLV_SIS_052	41677	16978	-27324	-3395	-8064	8749	0.41	0.66	12.89	18.69
SLV_SIS_053	42102	16978	-28896	-3395	-8064	8749	0.40	0.69	12.89	18.63
SLV_SIS_054	42102	16978	-28896	-3395	-8064	8749	0.40	0.69	12.89	18.63
SLV_SIS_055	41736	16524	-31550	-3355	-8064	8734	0.40	0.76	12.91	18.49
SLV_SIS_056	41736	16524	-31550	-3355	-8064	8734	0.40	0.76	12.91	18.49
SLV_SIS_057	38422	-16524	42593	3355	6474	7292	0.43	1.11	12.84	17.78
SLV_SIS_058	38422	-16524	42593	3355	6474	7292	0.43	1.11	12.84	17.78
SLV_SIS_059	38422	-16524	42593	3355	6474	7292	0.43	1.11	12.84	17.78
SLV_SIS_060	38422	-16524	42593	3355	6474	7292	0.43	1.11	12.84	17.78
SLV_SIS_061	39425	-16070	41021	3315	6474	7273	0.41	1.04	12.88	17.92
SLV_SIS_062	39425	-16070	41021	3315	6474	7273	0.41	1.04	12.88	17.92
SLV_SIS_063	39425	-16070	42593	3315	6474	7273	0.41	1.08	12.88	17.84
SLV_SIS_064	39425	-16070	42593	3315	6474	7273	0.41	1.08	12.88	17.84
SLV_SIS_065	39425	-16070	44166	3315	6474	7273	0.41	1.12	12.88	17.76
SLV_SIS_066	39425	-16070	44166	3315	6474	7273	0.41	1.12	12.88	17.76
SLV_SIS_067	39849	-16070	42593	3315	6474	7273	0.40	1.07	12.89	17.86
SLV_SIS_068	39849	-16070	42593	3315	6474	7273	0.40	1.07	12.89	17.86
SLV_SIS_069	39483	-16524	39940	3355	6474	7292	0.42	1.01	12.86	17.98
SLV_SIS_070	39483	-16524	39940	3355	6474	7292	0.42	1.01	12.86	17.98
SLV_SIS_071	38422	-16524	42593	3355	6474	7292	0.43	1.11	12.84	17.78
SLV_SIS_072	38422	-16524	42593	3355	6474	7292	0.43	1.11	12.84	17.78
SLV_SIS_073	38422	-16524	42593	3355	6474	7292	0.43	1.11	12.84	17.78
SLV_SIS_074	38422	-16524	42593	3355	6474	7292	0.43	1.11	12.84	17.78
SLV_SIS_075	39425	-16070	41021	3315	6474	7273	0.41	1.04	12.88	17.92
SLV_SIS_076	39425	-16070	41021	3315	6474	7273	0.41	1.04	12.88	17.92
SLV_SIS_077	39425	-16070	42593	3315	6474	7273	0.41	1.08	12.88	17.84
SLV_SIS_078	39425	-16070	42593	3315	6474	7273	0.41	1.08	12.88	17.84
SLV_SIS_079	39425	-16070	44166	3315	6474	7273	0.41	1.12	12.88	17.76
SLV_SIS_080	39425	-16070	44166	3315	6474	7273	0.41	1.12	12.88	17.76
SLV_SIS_081	39849	-16070	42593	3315	6474	7273	0.40	1.07	12.89	17.86
SLV_SIS_082	39849	-16070	42593	3315	6474	7273	0.40	1.07	12.89	17.86
SLV_SIS_083	39483	-16524	39940	3355	6474	7292	0.42	1.01	12.86	17.98
SLV_SIS_084	39483	-16524	39940	3355	6474	7292	0.42	1.01	12.86	17.98
SLV_SIS_085	38422	-55079	4038	11183	-1354	11265	1.43	0.11	10.83	19.79
SLV_SIS_086	38422	-55079	4038	11183	-1354	11265	1.43	0.11	10.83	19.79
SLV_SIS_087	38422	-55079	4038	11183	-1354	11265	1.43	0.11	10.83	19.79
SLV_SIS_088	38422	-55079	4038	11183	-1354	11265	1.43	0.11	10.83	19.79
SLV_SIS_089	39425	-54625	2466	11143	-1354	11225	1.39	0.06	10.93	19.87
SLV_SIS_090	39425	-54625	2466	11143	-1354	11225	1.39	0.06	10.93	19.87
SLV_SIS_091	39425	-54625	4038	11143	-1354	11225	1.39	0.10	10.93	19.80
SLV_SIS_092	39425	-54625	4038	11143	-1354	11225	1.39	0.10	10.93	19.80
SLV_SIS_093	39425	-54625	5610	11143	-1354	11225	1.39	0.14	10.93	19.72
SLV_SIS_094	39425	-54625	5610	11143	-1354	11225	1.39	0.14	10.93	19.72
SLV_SIS_095	39849	-54625	4038	11143	-1354	11225	1.37	0.10	10.96	19.80

Relazione Geotecnica di calcolo delle fondazioni

COMMESSA	LOTTO	CODIFICA	DOCUMENTO	REV.	FOGLIO
IF1N	01 E ZZ	CL	VI0300 002	D	113 di 170

SLV_SIS_096	39849	-54625	4038	11143	-1354	11225	1.37	0.10	10.96	19.80
SLV_SIS_097	39483	-55079	1384	11183	-1354	11265	1.39	0.04	10.91	19.93
SLV_SIS_098	39483	-55079	1384	11183	-1354	11265	1.39	0.04	10.91	19.93
SLV_SIS_099	40674	-16524	4152	3355	-1354	3618	0.41	0.10	12.89	19.80
SLV_SIS_100	40674	-16524	4152	3355	-1354	3618	0.41	0.10	12.89	19.80
SLV_SIS_101	40674	-16524	4152	3355	-1354	3618	0.41	0.10	12.89	19.80
SLV_SIS_102	40674	-16524	4152	3355	-1354	3618	0.41	0.10	12.89	19.80
SLV_SIS_103	41677	-16070	2579	3315	-1354	3581	0.39	0.06	12.93	19.88
SLV_SIS_104	41677	-16070	2579	3315	-1354	3581	0.39	0.06	12.93	19.88
SLV_SIS_105	41677	-16070	4152	3315	-1354	3581	0.39	0.10	12.93	19.80
SLV_SIS_106	41677	-16070	4152	3315	-1354	3581	0.39	0.10	12.93	19.80
SLV_SIS_107	41677	-16070	5724	3315	-1354	3581	0.39	0.14	12.93	19.73
SLV_SIS_108	41677	-16070	5724	3315	-1354	3581	0.39	0.14	12.93	19.73
SLV_SIS_109	42102	-16070	4152	3315	-1354	3581	0.38	0.10	12.94	19.80
SLV_SIS_110	42102	-16070	4152	3315	-1354	3581	0.38	0.10	12.94	19.80
SLV_SIS_111	41736	-16524	1498	3355	-1354	3618	0.40	0.04	12.91	19.93
SLV_SIS_112	41736	-16524	1498	3355	-1354	3618	0.40	0.04	12.91	19.93
SLV_SIS_113	38422	16524	-87771	-3355	-20261	20537	0.43	2.28	12.84	15.43
SLV_SIS_114	38422	16524	-87771	-3355	-20261	20537	0.43	2.28	12.84	15.43
SLV_SIS_115	38422	16524	-87771	-3355	-20261	20537	0.43	2.28	12.84	15.43
SLV_SIS_116	38422	16524	-87771	-3355	-20261	20537	0.43	2.28	12.84	15.43
SLV_SIS_117	39425	16978	-89343	-3395	-20261	20543	0.43	2.27	12.84	15.47
SLV_SIS_118	39425	16978	-89343	-3395	-20261	20543	0.43	2.27	12.84	15.47
SLV_SIS_119	39425	16978	-87771	-3395	-20261	20543	0.43	2.23	12.84	15.55
SLV_SIS_120	39425	16978	-87771	-3395	-20261	20543	0.43	2.23	12.84	15.55
SLV_SIS_121	39425	16978	-86199	-3395	-20261	20543	0.43	2.19	12.84	15.63
SLV_SIS_122	39425	16978	-86199	-3395	-20261	20543	0.43	2.19	12.84	15.63
SLV_SIS_123	39849	16978	-87771	-3395	-20261	20543	0.43	2.20	12.85	15.59
SLV_SIS_124	39849	16978	-87771	-3395	-20261	20543	0.43	2.20	12.85	15.59
SLV_SIS_125	39483	16524	-90425	-3355	-20261	20537	0.42	2.29	12.86	15.42
SLV_SIS_126	39483	16524	-90425	-3355	-20261	20537	0.42	2.29	12.86	15.42
SLV_SIS_127	38422	16524	-87771	-3355	-20261	20537	0.43	2.28	12.84	15.43
SLV_SIS_128	38422	16524	-87771	-3355	-20261	20537	0.43	2.28	12.84	15.43
SLV_SIS_129	38422	16524	-87771	-3355	-20261	20537	0.43	2.28	12.84	15.43
SLV_SIS_130	38422	16524	-87771	-3355	-20261	20537	0.43	2.28	12.84	15.43
SLV_SIS_131	39425	16978	-89343	-3395	-20261	20543	0.43	2.27	12.84	15.47
SLV_SIS_132	39425	16978	-89343	-3395	-20261	20543	0.43	2.27	12.84	15.47
SLV_SIS_133	39425	16978	-87771	-3395	-20261	20543	0.43	2.23	12.84	15.55
SLV_SIS_134	39425	16978	-87771	-3395	-20261	20543	0.43	2.23	12.84	15.55
SLV_SIS_135	39425	16978	-86199	-3395	-20261	20543	0.43	2.19	12.84	15.63
SLV_SIS_136	39425	16978	-86199	-3395	-20261	20543	0.43	2.19	12.84	15.63
SLV_SIS_137	39849	16978	-87771	-3395	-20261	20543	0.43	2.20	12.85	15.59
SLV_SIS_138	39849	16978	-87771	-3395	-20261	20543	0.43	2.20	12.85	15.59
SLV_SIS_139	39483	16524	-90425	-3355	-20261	20537	0.42	2.29	12.86	15.42
SLV_SIS_140	39483	16524	-90425	-3355	-20261	20537	0.42	2.29	12.86	15.42
SLV_SIS_141	38422	55079	-49216	-11183	-12433	16722	1.43	1.28	10.83	17.44
SLV_SIS_142	38422	55079	-49216	-11183	-12433	16722	1.43	1.28	10.83	17.44
SLV_SIS_143	38422	55079	-49216	-11183	-12433	16722	1.43	1.28	10.83	17.44
SLV_SIS_144	38422	55079	-49216	-11183	-12433	16722	1.43	1.28	10.83	17.44

Relazione Geotecnica di calcolo delle fondazioni

COMMESSA	LOTTO	CODIFICA	DOCUMENTO	REV.	FOGLIO
IF1N	01 E ZZ	CL	VI0300 002	D	114 di 170

SLV_SIS_145	39425	55533	-50788	-11223	-12433	16749	1.41	1.29	10.88	17.42
SLV_SIS_146	39425	55533	-50788	-11223	-12433	16749	1.41	1.29	10.88	17.42
SLV_SIS_147	39425	55533	-49216	-11223	-12433	16749	1.41	1.25	10.88	17.50
SLV_SIS_148	39425	55533	-49216	-11223	-12433	16749	1.41	1.25	10.88	17.50
SLV_SIS_149	39425	55533	-47644	-11223	-12433	16749	1.41	1.21	10.88	17.58
SLV_SIS_150	39425	55533	-47644	-11223	-12433	16749	1.41	1.21	10.88	17.58
SLV_SIS_151	39849	55533	-49216	-11223	-12433	16749	1.39	1.24	10.91	17.53
SLV_SIS_152	39849	55533	-49216	-11223	-12433	16749	1.39	1.24	10.91	17.53
SLV_SIS_153	39483	55079	-51870	-11183	-12433	16722	1.39	1.31	10.91	17.37
SLV_SIS_154	39483	55079	-51870	-11183	-12433	16722	1.39	1.31	10.91	17.37
SLV_SIS_155	40674	16524	-49103	-3355	-12433	12877	0.41	1.21	12.89	17.59
SLV_SIS_156	40674	16524	-49103	-3355	-12433	12877	0.41	1.21	12.89	17.59
SLV_SIS_157	40674	16524	-49103	-3355	-12433	12877	0.41	1.21	12.89	17.59
SLV_SIS_158	40674	16524	-49103	-3355	-12433	12877	0.41	1.21	12.89	17.59
SLV_SIS_159	41677	16978	-50675	-3395	-12433	12888	0.41	1.22	12.89	17.57
SLV_SIS_160	41677	16978	-50675	-3395	-12433	12888	0.41	1.22	12.89	17.57
SLV_SIS_161	41677	16978	-49103	-3395	-12433	12888	0.41	1.18	12.89	17.64
SLV_SIS_162	41677	16978	-49103	-3395	-12433	12888	0.41	1.18	12.89	17.64
SLV_SIS_163	41677	16978	-47531	-3395	-12433	12888	0.41	1.14	12.89	17.72
SLV_SIS_164	41677	16978	-47531	-3395	-12433	12888	0.41	1.14	12.89	17.72
SLV_SIS_165	42102	16978	-49103	-3395	-12433	12888	0.40	1.17	12.89	17.67
SLV_SIS_166	42102	16978	-49103	-3395	-12433	12888	0.40	1.17	12.89	17.67
SLV_SIS_167	41736	16524	-51756	-3355	-12433	12877	0.40	1.24	12.91	17.52
SLV_SIS_168	41736	16524	-51756	-3355	-12433	12877	0.40	1.24	12.91	17.52
SLV_SIS_169	38422	-16524	22387	3355	2105	3961	0.43	0.58	12.84	18.83
SLV_SIS_170	38422	-16524	22387	3355	2105	3961	0.43	0.58	12.84	18.83
SLV_SIS_171	38422	-16524	22387	3355	2105	3961	0.43	0.58	12.84	18.83
SLV_SIS_172	38422	-16524	22387	3355	2105	3961	0.43	0.58	12.84	18.83
SLV_SIS_173	39425	-16070	20815	3315	2105	3927	0.41	0.53	12.88	18.94
SLV_SIS_174	39425	-16070	20815	3315	2105	3927	0.41	0.53	12.88	18.94
SLV_SIS_175	39425	-16070	22387	3315	2105	3927	0.41	0.57	12.88	18.86
SLV_SIS_176	39425	-16070	22387	3315	2105	3927	0.41	0.57	12.88	18.86
SLV_SIS_177	39425	-16070	23959	3315	2105	3927	0.41	0.61	12.88	18.78
SLV_SIS_178	39425	-16070	23959	3315	2105	3927	0.41	0.61	12.88	18.78
SLV_SIS_179	39849	-16070	22387	3315	2105	3927	0.40	0.56	12.89	18.88
SLV_SIS_180	39849	-16070	22387	3315	2105	3927	0.40	0.56	12.89	18.88
SLV_SIS_181	39483	-16524	19733	3355	2105	3961	0.42	0.50	12.86	19.00
SLV_SIS_182	39483	-16524	19733	3355	2105	3961	0.42	0.50	12.86	19.00
SLV_SIS_183	38422	-16524	22387	3355	2105	3961	0.43	0.58	12.84	18.83
SLV_SIS_184	38422	-16524	22387	3355	2105	3961	0.43	0.58	12.84	18.83
SLV_SIS_185	38422	-16524	22387	3355	2105	3961	0.43	0.58	12.84	18.83
SLV_SIS_186	38422	-16524	22387	3355	2105	3961	0.43	0.58	12.84	18.83
SLV_SIS_187	39425	-16070	20815	3315	2105	3927	0.41	0.53	12.88	18.94
SLV_SIS_188	39425	-16070	20815	3315	2105	3927	0.41	0.53	12.88	18.94
SLV_SIS_189	39425	-16070	22387	3315	2105	3927	0.41	0.57	12.88	18.86
SLV_SIS_190	39425	-16070	22387	3315	2105	3927	0.41	0.57	12.88	18.86
SLV_SIS_191	39425	-16070	23959	3315	2105	3927	0.41	0.61	12.88	18.78
SLV_SIS_192	39425	-16070	23959	3315	2105	3927	0.41	0.61	12.88	18.78
SLV_SIS_193	39849	-16070	22387	3315	2105	3927	0.40	0.56	12.89	18.88

  	ITINERARIO NAPOLI – BARI RADDOPPIO TRATTA CANCELLO – BENEVENTO I° LOTTO FUNZIONALE CANCELLO - FRASSO TELESINO E VARIANTE ALLA LINEA ROMA-NAPOLI VIA CASSINO NEL COMUNE DI MADDALONI – PROGETTO ESECUTIVO					
	Relazione Geotecnica di calcolo delle fondazioni	COMMESSA IF1N	LOTTO 01 E ZZ	CODIFICA CL	DOCUMENTO VI0300 002	REV. D

SLV_SIS_194	39849	-16070	22387	3315	2105	3927	0.40	0.56	12.89	18.88
SLV_SIS_195	39483	-16524	19733	3355	2105	3961	0.42	0.50	12.86	19.00
SLV_SIS_196	39483	-16524	19733	3355	2105	3961	0.42	0.50	12.86	19.00
SLV_SIS_197	38422	-55079	-16169	11183	-5723	12562	1.43	0.42	10.83	19.16
SLV_SIS_198	38422	-55079	-16169	11183	-5723	12562	1.43	0.42	10.83	19.16
SLV_SIS_199	38422	-55079	-16169	11183	-5723	12562	1.43	0.42	10.83	19.16
SLV_SIS_200	38422	-55079	-16169	11183	-5723	12562	1.43	0.42	10.83	19.16
SLV_SIS_201	39425	-54625	-17741	11143	-5723	12527	1.39	0.45	10.93	19.10
SLV_SIS_202	39425	-54625	-17741	11143	-5723	12527	1.39	0.45	10.93	19.10
SLV_SIS_203	39425	-54625	-16169	11143	-5723	12527	1.39	0.41	10.93	19.18
SLV_SIS_204	39425	-54625	-16169	11143	-5723	12527	1.39	0.41	10.93	19.18
SLV_SIS_205	39425	-54625	-14596	11143	-5723	12527	1.39	0.37	10.93	19.26
SLV_SIS_206	39425	-54625	-14596	11143	-5723	12527	1.39	0.37	10.93	19.26
SLV_SIS_207	39849	-54625	-16169	11143	-5723	12527	1.37	0.41	10.96	19.19
SLV_SIS_208	39849	-54625	-16169	11143	-5723	12527	1.37	0.41	10.96	19.19
SLV_SIS_209	39483	-55079	-18822	11183	-5723	12562	1.39	0.48	10.91	19.05
SLV_SIS_210	39483	-55079	-18822	11183	-5723	12562	1.39	0.48	10.91	19.05
SLV_SIS_211	40674	-16524	-16055	3355	-5723	6634	0.41	0.39	12.89	19.21
SLV_SIS_212	40674	-16524	-16055	3355	-5723	6634	0.41	0.39	12.89	19.21
SLV_SIS_213	40674	-16524	-16055	3355	-5723	6634	0.41	0.39	12.89	19.21
SLV_SIS_214	40674	-16524	-16055	3355	-5723	6634	0.41	0.39	12.89	19.21
SLV_SIS_215	41677	-16070	-17627	3315	-5723	6614	0.39	0.42	12.93	19.15
SLV_SIS_216	41677	-16070	-17627	3315	-5723	6614	0.39	0.42	12.93	19.15
SLV_SIS_217	41677	-16070	-16055	3315	-5723	6614	0.39	0.39	12.93	19.23
SLV_SIS_218	41677	-16070	-16055	3315	-5723	6614	0.39	0.39	12.93	19.23
SLV_SIS_219	41677	-16070	-14483	3315	-5723	6614	0.39	0.35	12.93	19.30
SLV_SIS_220	41677	-16070	-14483	3315	-5723	6614	0.39	0.35	12.93	19.30
SLV_SIS_221	42102	-16070	-16055	3315	-5723	6614	0.38	0.38	12.94	19.24
SLV_SIS_222	42102	-16070	-16055	3315	-5723	6614	0.38	0.38	12.94	19.24
SLV_SIS_223	41736	-16524	-18709	3355	-5723	6634	0.40	0.45	12.91	19.10
SLV_SIS_224	41736	-16524	-18709	3355	-5723	6634	0.40	0.45	12.91	19.10

	Nc, Nq, Ny			Sc, Sq, Sy			ic, iq, iy						
	coefficienti di capacità portante			fattori di forma			fattori di inclinazione del carico						
	Nc [-]	Nq [-]	Ny [-]	sc [-]	sq [-]	sy [-]	mb [-]	ml [-]	θ [rad]	m [-]	ic [-]	iq [-]	iy [-]
SLV_SIS_001	20.42	10.43	10.56	1.40	1.36	0.69	1.56	1.44	11.92	1.44	0.39	0.45	0.26
SLV_SIS_002	20.42	10.43	10.56	1.40	1.36	0.69	1.56	1.44	11.92	1.44	0.39	0.45	0.26
SLV_SIS_003	20.42	10.43	10.56	1.40	1.36	0.69	1.56	1.44	11.92	1.44	0.39	0.45	0.26
SLV_SIS_004	20.42	10.43	10.56	1.40	1.36	0.69	1.56	1.44	11.92	1.44	0.39	0.45	0.26
SLV_SIS_005	20.42	10.43	10.56	1.40	1.36	0.69	1.56	1.44	12.06	1.44	0.41	0.46	0.27
SLV_SIS_006	20.42	10.43	10.56	1.40	1.36	0.69	1.56	1.44	12.06	1.44	0.41	0.46	0.27
SLV_SIS_007	20.42	10.43	10.56	1.40	1.36	0.69	1.56	1.44	12.06	1.44	0.41	0.46	0.27
SLV_SIS_008	20.42	10.43	10.56	1.40	1.36	0.69	1.56	1.44	12.06	1.44	0.41	0.46	0.27
SLV_SIS_009	20.42	10.43	10.56	1.39	1.36	0.69	1.56	1.44	12.06	1.44	0.41	0.47	0.27
SLV_SIS_010	20.42	10.43	10.56	1.39	1.36	0.69	1.56	1.44	12.06	1.44	0.41	0.47	0.27
SLV_SIS_011	20.42	10.43	10.56	1.40	1.36	0.69	1.56	1.44	12.06	1.44	0.41	0.47	0.28
SLV_SIS_012	20.42	10.43	10.56	1.40	1.36	0.69	1.56	1.44	12.06	1.44	0.41	0.47	0.28

ITINERARIO NAPOLI – BARI

RADDOPPIO TRATTA CANCELLO – BENEVENTO

I° LOTTO FUNZIONALE CANCELLO - FRASSO TELESINO E
VARIANTE ALLA LINEA ROMA-NAPOLI VIA CASSINO NEL
COMUNE DI MADDALONI – PROGETTO ESECUTIVO

Relazione Geotecnica di calcolo delle fondazioni

COMMESSA	LOTTO	CODIFICA	DOCUMENTO	REV.	FOGLIO
IF1N	01 E ZZ	CL	VI0300 002	D	116 di 170

SLV_SIS_013	20.42	10.43	10.56	1.40	1.36	0.69	1.56	1.44	11.92	1.44	0.41	0.47	0.27
SLV_SIS_014	20.42	10.43	10.56	1.40	1.36	0.69	1.56	1.44	11.92	1.44	0.41	0.47	0.27
SLV_SIS_015	20.42	10.43	10.56	1.40	1.36	0.69	1.56	1.44	11.92	1.44	0.39	0.45	0.26
SLV_SIS_016	20.42	10.43	10.56	1.40	1.36	0.69	1.56	1.44	11.92	1.44	0.39	0.45	0.26
SLV_SIS_017	20.42	10.43	10.56	1.40	1.36	0.69	1.56	1.44	11.92	1.44	0.39	0.45	0.26
SLV_SIS_018	20.42	10.43	10.56	1.40	1.36	0.69	1.56	1.44	11.92	1.44	0.39	0.45	0.26
SLV_SIS_019	20.42	10.43	10.56	1.40	1.36	0.69	1.56	1.44	12.06	1.44	0.41	0.46	0.27
SLV_SIS_020	20.42	10.43	10.56	1.40	1.36	0.69	1.56	1.44	12.06	1.44	0.41	0.46	0.27
SLV_SIS_021	20.42	10.43	10.56	1.40	1.36	0.69	1.56	1.44	12.06	1.44	0.41	0.46	0.27
SLV_SIS_022	20.42	10.43	10.56	1.40	1.36	0.69	1.56	1.44	12.06	1.44	0.41	0.46	0.27
SLV_SIS_023	20.42	10.43	10.56	1.39	1.36	0.69	1.56	1.44	12.06	1.44	0.41	0.47	0.27
SLV_SIS_024	20.42	10.43	10.56	1.39	1.36	0.69	1.56	1.44	12.06	1.44	0.41	0.47	0.27
SLV_SIS_025	20.42	10.43	10.56	1.40	1.36	0.69	1.56	1.44	12.06	1.44	0.41	0.47	0.28
SLV_SIS_026	20.42	10.43	10.56	1.40	1.36	0.69	1.56	1.44	12.06	1.44	0.41	0.47	0.28
SLV_SIS_027	20.42	10.43	10.56	1.40	1.36	0.69	1.56	1.44	11.92	1.44	0.41	0.47	0.27
SLV_SIS_028	20.42	10.43	10.56	1.40	1.36	0.69	1.56	1.44	11.92	1.44	0.41	0.47	0.27
SLV_SIS_029	20.42	10.43	10.56	1.30	1.27	0.77	1.63	1.37	54.21	1.54	0.45	0.50	0.32
SLV_SIS_030	20.42	10.43	10.56	1.30	1.27	0.77	1.63	1.37	54.21	1.54	0.45	0.50	0.32
SLV_SIS_031	20.42	10.43	10.56	1.30	1.27	0.77	1.63	1.37	54.21	1.54	0.45	0.50	0.32
SLV_SIS_032	20.42	10.43	10.56	1.30	1.27	0.77	1.63	1.37	54.21	1.54	0.45	0.50	0.32
SLV_SIS_033	20.42	10.43	10.56	1.30	1.27	0.76	1.63	1.37	54.30	1.54	0.46	0.51	0.33
SLV_SIS_034	20.42	10.43	10.56	1.30	1.27	0.76	1.63	1.37	54.30	1.54	0.46	0.51	0.33
SLV_SIS_035	20.42	10.43	10.56	1.30	1.27	0.77	1.63	1.37	54.30	1.54	0.46	0.51	0.33
SLV_SIS_036	20.42	10.43	10.56	1.30	1.27	0.77	1.63	1.37	54.30	1.54	0.46	0.51	0.33
SLV_SIS_037	20.42	10.43	10.56	1.30	1.27	0.77	1.63	1.37	54.30	1.54	0.46	0.51	0.33
SLV_SIS_038	20.42	10.43	10.56	1.30	1.27	0.77	1.63	1.37	54.30	1.54	0.46	0.51	0.33
SLV_SIS_039	20.42	10.43	10.56	1.30	1.27	0.76	1.63	1.37	54.30	1.54	0.47	0.52	0.34
SLV_SIS_040	20.42	10.43	10.56	1.30	1.27	0.76	1.63	1.37	54.30	1.54	0.47	0.52	0.34
SLV_SIS_041	20.42	10.43	10.56	1.30	1.27	0.76	1.63	1.37	54.21	1.54	0.46	0.52	0.34
SLV_SIS_042	20.42	10.43	10.56	1.30	1.27	0.76	1.63	1.37	54.21	1.54	0.46	0.52	0.34
SLV_SIS_043	20.42	10.43	10.56	1.35	1.32	0.72	1.59	1.41	22.59	1.44	0.68	0.71	0.55
SLV_SIS_044	20.42	10.43	10.56	1.35	1.32	0.72	1.59	1.41	22.59	1.44	0.68	0.71	0.55
SLV_SIS_045	20.42	10.43	10.56	1.35	1.32	0.72	1.59	1.41	22.59	1.44	0.68	0.71	0.55
SLV_SIS_046	20.42	10.43	10.56	1.35	1.32	0.72	1.59	1.41	22.59	1.44	0.68	0.71	0.55
SLV_SIS_047	20.42	10.43	10.56	1.36	1.32	0.72	1.59	1.41	22.83	1.44	0.68	0.71	0.56
SLV_SIS_048	20.42	10.43	10.56	1.36	1.32	0.72	1.59	1.41	22.83	1.44	0.68	0.71	0.56
SLV_SIS_049	20.42	10.43	10.56	1.35	1.32	0.72	1.59	1.41	22.83	1.44	0.68	0.71	0.56
SLV_SIS_050	20.42	10.43	10.56	1.35	1.32	0.72	1.59	1.41	22.83	1.44	0.68	0.71	0.56
SLV_SIS_051	20.42	10.43	10.56	1.35	1.32	0.72	1.59	1.41	22.83	1.44	0.68	0.71	0.56
SLV_SIS_052	20.42	10.43	10.56	1.35	1.32	0.72	1.59	1.41	22.83	1.44	0.68	0.71	0.56
SLV_SIS_053	20.42	10.43	10.56	1.35	1.32	0.72	1.59	1.41	22.83	1.44	0.69	0.72	0.57
SLV_SIS_054	20.42	10.43	10.56	1.35	1.32	0.72	1.59	1.41	22.83	1.44	0.69	0.72	0.57
SLV_SIS_055	20.42	10.43	10.56	1.36	1.32	0.72	1.59	1.41	22.59	1.44	0.68	0.71	0.56
SLV_SIS_056	20.42	10.43	10.56	1.36	1.32	0.72	1.59	1.41	22.59	1.44	0.68	0.71	0.56
SLV_SIS_057	20.42	10.43	10.56	1.37	1.33	0.71	1.58	1.42	27.39	1.45	0.71	0.74	0.60
SLV_SIS_058	20.42	10.43	10.56	1.37	1.33	0.71	1.58	1.42	27.39	1.45	0.71	0.74	0.60
SLV_SIS_059	20.42	10.43	10.56	1.37	1.33	0.71	1.58	1.42	27.39	1.45	0.71	0.74	0.60
SLV_SIS_060	20.42	10.43	10.56	1.37	1.33	0.71	1.58	1.42	27.39	1.45	0.71	0.74	0.60
SLV_SIS_061	20.42	10.43	10.56	1.37	1.33	0.71	1.58	1.42	27.11	1.45	0.72	0.74	0.61

ITINERARIO NAPOLI – BARI

RADDOPPIO TRATTA CANCELLO – BENEVENTO

I° LOTTO FUNZIONALE CANCELLO - FRASSO TELESINO E
VARIANTE ALLA LINEA ROMA-NAPOLI VIA CASSINO NEL
COMUNE DI MADDALONI – PROGETTO ESECUTIVO

Relazione Geotecnica di calcolo delle fondazioni

COMMESSA	LOTTO	CODIFICA	DOCUMENTO	REV.	FOGLIO
IF1N	01 E ZZ	CL	VI0300 002	D	117 di 170

SLV_SIS_062	20.42	10.43	10.56	1.37	1.33	0.71	1.58	1.42	27.11	1.45	0.72	0.74	0.61
SLV_SIS_063	20.42	10.43	10.56	1.37	1.33	0.71	1.58	1.42	27.11	1.45	0.72	0.74	0.61
SLV_SIS_064	20.42	10.43	10.56	1.37	1.33	0.71	1.58	1.42	27.11	1.45	0.72	0.74	0.61
SLV_SIS_065	20.42	10.43	10.56	1.37	1.34	0.71	1.58	1.42	27.11	1.45	0.72	0.74	0.61
SLV_SIS_066	20.42	10.43	10.56	1.37	1.34	0.71	1.58	1.42	27.11	1.45	0.72	0.74	0.61
SLV_SIS_067	20.42	10.43	10.56	1.37	1.33	0.71	1.58	1.42	27.11	1.45	0.72	0.75	0.61
SLV_SIS_068	20.42	10.43	10.56	1.37	1.33	0.71	1.58	1.42	27.11	1.45	0.72	0.75	0.61
SLV_SIS_069	20.42	10.43	10.56	1.37	1.33	0.71	1.58	1.42	27.39	1.45	0.72	0.74	0.61
SLV_SIS_070	20.42	10.43	10.56	1.37	1.33	0.71	1.58	1.42	27.39	1.45	0.72	0.74	0.61
SLV_SIS_071	20.42	10.43	10.56	1.37	1.33	0.71	1.58	1.42	27.39	1.45	0.71	0.74	0.60
SLV_SIS_072	20.42	10.43	10.56	1.37	1.33	0.71	1.58	1.42	27.39	1.45	0.71	0.74	0.60
SLV_SIS_073	20.42	10.43	10.56	1.37	1.33	0.71	1.58	1.42	27.39	1.45	0.71	0.74	0.60
SLV_SIS_074	20.42	10.43	10.56	1.37	1.33	0.71	1.58	1.42	27.39	1.45	0.71	0.74	0.60
SLV_SIS_075	20.42	10.43	10.56	1.37	1.33	0.71	1.58	1.42	27.11	1.45	0.72	0.74	0.61
SLV_SIS_076	20.42	10.43	10.56	1.37	1.33	0.71	1.58	1.42	27.11	1.45	0.72	0.74	0.61
SLV_SIS_077	20.42	10.43	10.56	1.37	1.33	0.71	1.58	1.42	27.11	1.45	0.72	0.74	0.61
SLV_SIS_078	20.42	10.43	10.56	1.37	1.33	0.71	1.58	1.42	27.11	1.45	0.72	0.74	0.61
SLV_SIS_079	20.42	10.43	10.56	1.37	1.34	0.71	1.58	1.42	27.11	1.45	0.72	0.74	0.61
SLV_SIS_080	20.42	10.43	10.56	1.37	1.34	0.71	1.58	1.42	27.11	1.45	0.72	0.74	0.61
SLV_SIS_081	20.42	10.43	10.56	1.37	1.33	0.71	1.58	1.42	27.11	1.45	0.72	0.75	0.61
SLV_SIS_082	20.42	10.43	10.56	1.37	1.33	0.71	1.58	1.42	27.11	1.45	0.72	0.75	0.61
SLV_SIS_083	20.42	10.43	10.56	1.37	1.33	0.71	1.58	1.42	27.39	1.45	0.72	0.74	0.61
SLV_SIS_084	20.42	10.43	10.56	1.37	1.33	0.71	1.58	1.42	27.39	1.45	0.72	0.74	0.61
SLV_SIS_085	20.42	10.43	10.56	1.28	1.25	0.78	1.65	1.35	83.10	1.64	0.52	0.57	0.40
SLV_SIS_086	20.42	10.43	10.56	1.28	1.25	0.78	1.65	1.35	83.10	1.64	0.52	0.57	0.40
SLV_SIS_087	20.42	10.43	10.56	1.28	1.25	0.78	1.65	1.35	83.10	1.64	0.52	0.57	0.40
SLV_SIS_088	20.42	10.43	10.56	1.28	1.25	0.78	1.65	1.35	83.10	1.64	0.52	0.57	0.40
SLV_SIS_089	20.42	10.43	10.56	1.28	1.25	0.78	1.65	1.35	83.07	1.64	0.53	0.58	0.41
SLV_SIS_090	20.42	10.43	10.56	1.28	1.25	0.78	1.65	1.35	83.07	1.64	0.53	0.58	0.41
SLV_SIS_091	20.42	10.43	10.56	1.28	1.26	0.78	1.64	1.36	83.07	1.64	0.53	0.58	0.41
SLV_SIS_092	20.42	10.43	10.56	1.28	1.26	0.78	1.64	1.36	83.07	1.64	0.53	0.58	0.41
SLV_SIS_093	20.42	10.43	10.56	1.28	1.26	0.78	1.64	1.36	83.07	1.64	0.53	0.58	0.41
SLV_SIS_094	20.42	10.43	10.56	1.28	1.26	0.78	1.64	1.36	83.07	1.64	0.53	0.58	0.41
SLV_SIS_095	20.42	10.43	10.56	1.28	1.26	0.78	1.64	1.36	83.07	1.64	0.54	0.58	0.42
SLV_SIS_096	20.42	10.43	10.56	1.28	1.26	0.78	1.64	1.36	83.07	1.64	0.54	0.58	0.42
SLV_SIS_097	20.42	10.43	10.56	1.28	1.25	0.78	1.65	1.35	83.10	1.64	0.53	0.58	0.41
SLV_SIS_098	20.42	10.43	10.56	1.28	1.25	0.78	1.65	1.35	83.10	1.64	0.53	0.58	0.41
SLV_SIS_099	20.42	10.43	10.56	1.33	1.30	0.74	1.61	1.39	68.02	1.58	0.85	0.86	0.79
SLV_SIS_100	20.42	10.43	10.56	1.33	1.30	0.74	1.61	1.39	68.02	1.58	0.85	0.86	0.79
SLV_SIS_101	20.42	10.43	10.56	1.33	1.30	0.74	1.61	1.39	68.02	1.58	0.85	0.86	0.79
SLV_SIS_102	20.42	10.43	10.56	1.33	1.30	0.74	1.61	1.39	68.02	1.58	0.85	0.86	0.79
SLV_SIS_103	20.42	10.43	10.56	1.33	1.30	0.74	1.61	1.39	67.78	1.58	0.85	0.87	0.79
SLV_SIS_104	20.42	10.43	10.56	1.33	1.30	0.74	1.61	1.39	67.78	1.58	0.85	0.87	0.79
SLV_SIS_105	20.42	10.43	10.56	1.33	1.30	0.74	1.60	1.40	67.78	1.57	0.85	0.87	0.79
SLV_SIS_106	20.42	10.43	10.56	1.33	1.30	0.74	1.60	1.40	67.78	1.57	0.85	0.87	0.79
SLV_SIS_107	20.42	10.43	10.56	1.33	1.30	0.74	1.60	1.40	67.78	1.57	0.85	0.87	0.79
SLV_SIS_108	20.42	10.43	10.56	1.33	1.30	0.74	1.60	1.40	67.78	1.57	0.85	0.87	0.79
SLV_SIS_109	20.42	10.43	10.56	1.33	1.30	0.74	1.60	1.40	67.78	1.57	0.86	0.87	0.80
SLV_SIS_110	20.42	10.43	10.56	1.33	1.30	0.74	1.60	1.40	67.78	1.57	0.86	0.87	0.80

ITINERARIO NAPOLI – BARI

RADDOPPIO TRATTA CANCELLO – BENEVENTO

I° LOTTO FUNZIONALE CANCELLO - FRASSO TELESINO E
VARIANTE ALLA LINEA ROMA-NAPOLI VIA CASSINO NEL
COMUNE DI MADDALONI – PROGETTO ESECUTIVO

Relazione Geotecnica di calcolo delle fondazioni

COMMESSA	LOTTO	CODIFICA	DOCUMENTO	REV.	FOGLIO
IF1N	01 E ZZ	CL	VI0300 002	D	118 di 170

SLV_SIS_111	20.42	10.43	10.56	1.33	1.30	0.74	1.61	1.39	68.02	1.58	0.85	0.87	0.79
SLV_SIS_112	20.42	10.43	10.56	1.33	1.30	0.74	1.61	1.39	68.02	1.58	0.85	0.87	0.79
SLV_SIS_113	20.42	10.43	10.56	1.43	1.38	0.67	1.55	1.45	9.40	1.46	0.26	0.33	0.15
SLV_SIS_114	20.42	10.43	10.56	1.43	1.38	0.67	1.55	1.45	9.40	1.46	0.26	0.33	0.15
SLV_SIS_115	20.42	10.43	10.56	1.43	1.38	0.67	1.55	1.45	9.40	1.46	0.26	0.33	0.15
SLV_SIS_116	20.42	10.43	10.56	1.43	1.38	0.67	1.55	1.45	9.40	1.46	0.26	0.33	0.15
SLV_SIS_117	20.42	10.43	10.56	1.42	1.38	0.67	1.55	1.45	9.51	1.46	0.27	0.34	0.16
SLV_SIS_118	20.42	10.43	10.56	1.42	1.38	0.67	1.55	1.45	9.51	1.46	0.27	0.34	0.16
SLV_SIS_119	20.42	10.43	10.56	1.42	1.38	0.67	1.55	1.45	9.51	1.45	0.27	0.34	0.16
SLV_SIS_120	20.42	10.43	10.56	1.42	1.38	0.67	1.55	1.45	9.51	1.45	0.27	0.34	0.16
SLV_SIS_121	20.42	10.43	10.56	1.42	1.38	0.67	1.55	1.45	9.51	1.45	0.27	0.34	0.16
SLV_SIS_122	20.42	10.43	10.56	1.42	1.38	0.67	1.55	1.45	9.51	1.45	0.27	0.34	0.16
SLV_SIS_123	20.42	10.43	10.56	1.42	1.38	0.67	1.55	1.45	9.51	1.45	0.28	0.35	0.17
SLV_SIS_124	20.42	10.43	10.56	1.42	1.38	0.67	1.55	1.45	9.51	1.45	0.28	0.35	0.17
SLV_SIS_125	20.42	10.43	10.56	1.43	1.39	0.67	1.55	1.45	9.40	1.46	0.27	0.34	0.16
SLV_SIS_126	20.42	10.43	10.56	1.43	1.39	0.67	1.55	1.45	9.40	1.46	0.27	0.34	0.16
SLV_SIS_127	20.42	10.43	10.56	1.43	1.38	0.67	1.55	1.45	9.40	1.46	0.26	0.33	0.15
SLV_SIS_128	20.42	10.43	10.56	1.43	1.38	0.67	1.55	1.45	9.40	1.46	0.26	0.33	0.15
SLV_SIS_129	20.42	10.43	10.56	1.43	1.38	0.67	1.55	1.45	9.40	1.46	0.26	0.33	0.15
SLV_SIS_130	20.42	10.43	10.56	1.43	1.38	0.67	1.55	1.45	9.40	1.46	0.26	0.33	0.15
SLV_SIS_131	20.42	10.43	10.56	1.42	1.38	0.67	1.55	1.45	9.51	1.46	0.27	0.34	0.16
SLV_SIS_132	20.42	10.43	10.56	1.42	1.38	0.67	1.55	1.45	9.51	1.46	0.27	0.34	0.16
SLV_SIS_133	20.42	10.43	10.56	1.42	1.38	0.67	1.55	1.45	9.51	1.45	0.27	0.34	0.16
SLV_SIS_134	20.42	10.43	10.56	1.42	1.38	0.67	1.55	1.45	9.51	1.45	0.27	0.34	0.16
SLV_SIS_135	20.42	10.43	10.56	1.42	1.38	0.67	1.55	1.45	9.51	1.45	0.27	0.34	0.16
SLV_SIS_136	20.42	10.43	10.56	1.42	1.38	0.67	1.55	1.45	9.51	1.45	0.27	0.34	0.16
SLV_SIS_137	20.42	10.43	10.56	1.42	1.38	0.67	1.55	1.45	9.51	1.45	0.28	0.35	0.17
SLV_SIS_138	20.42	10.43	10.56	1.42	1.38	0.67	1.55	1.45	9.51	1.45	0.28	0.35	0.17
SLV_SIS_139	20.42	10.43	10.56	1.43	1.39	0.67	1.55	1.45	9.40	1.46	0.27	0.34	0.16
SLV_SIS_140	20.42	10.43	10.56	1.43	1.39	0.67	1.55	1.45	9.40	1.46	0.27	0.34	0.16
SLV_SIS_141	20.42	10.43	10.56	1.32	1.29	0.75	1.62	1.38	41.97	1.49	0.37	0.43	0.24
SLV_SIS_142	20.42	10.43	10.56	1.32	1.29	0.75	1.62	1.38	41.97	1.49	0.37	0.43	0.24
SLV_SIS_143	20.42	10.43	10.56	1.32	1.29	0.75	1.62	1.38	41.97	1.49	0.37	0.43	0.24
SLV_SIS_144	20.42	10.43	10.56	1.32	1.29	0.75	1.62	1.38	41.97	1.49	0.37	0.43	0.24
SLV_SIS_145	20.42	10.43	10.56	1.32	1.29	0.75	1.62	1.38	42.07	1.49	0.38	0.44	0.25
SLV_SIS_146	20.42	10.43	10.56	1.32	1.29	0.75	1.62	1.38	42.07	1.49	0.38	0.44	0.25
SLV_SIS_147	20.42	10.43	10.56	1.32	1.29	0.75	1.62	1.38	42.07	1.49	0.38	0.44	0.25
SLV_SIS_148	20.42	10.43	10.56	1.32	1.29	0.75	1.62	1.38	42.07	1.49	0.38	0.44	0.25
SLV_SIS_149	20.42	10.43	10.56	1.32	1.29	0.75	1.62	1.38	42.07	1.49	0.38	0.44	0.25
SLV_SIS_150	20.42	10.43	10.56	1.32	1.29	0.75	1.62	1.38	42.07	1.49	0.38	0.44	0.25
SLV_SIS_151	20.42	10.43	10.56	1.32	1.29	0.75	1.62	1.38	42.07	1.49	0.39	0.44	0.26
SLV_SIS_152	20.42	10.43	10.56	1.32	1.29	0.75	1.62	1.38	42.07	1.49	0.39	0.44	0.26
SLV_SIS_153	20.42	10.43	10.56	1.32	1.29	0.75	1.61	1.39	41.97	1.49	0.38	0.44	0.25
SLV_SIS_154	20.42	10.43	10.56	1.32	1.29	0.75	1.61	1.39	41.97	1.49	0.38	0.44	0.25
SLV_SIS_155	20.42	10.43	10.56	1.37	1.34	0.71	1.58	1.42	15.10	1.43	0.53	0.58	0.40
SLV_SIS_156	20.42	10.43	10.56	1.37	1.34	0.71	1.58	1.42	15.10	1.43	0.53	0.58	0.40
SLV_SIS_157	20.42	10.43	10.56	1.37	1.34	0.71	1.58	1.42	15.10	1.43	0.53	0.58	0.40
SLV_SIS_158	20.42	10.43	10.56	1.37	1.34	0.71	1.58	1.42	15.10	1.43	0.53	0.58	0.40
SLV_SIS_159	20.42	10.43	10.56	1.37	1.34	0.71	1.58	1.42	15.27	1.43	0.54	0.59	0.41

ITINERARIO NAPOLI – BARI

RADDOPPIO TRATTA CANCELLO – BENEVENTO

I° LOTTO FUNZIONALE CANCELLO - FRASSO TELESINO E
VARIANTE ALLA LINEA ROMA-NAPOLI VIA CASSINO NEL
COMUNE DI MADDALONI – PROGETTO ESECUTIVO

Relazione Geotecnica di calcolo delle fondazioni

COMMESSA	LOTTO	CODIFICA	DOCUMENTO	REV.	FOGLIO
IF1N	01 E ZZ	CL	VI0300 002	D	119 di 170

SLV_SIS_160	20.42	10.43	10.56	1.37	1.34	0.71	1.58	1.42	15.27	1.43	0.54	0.59	0.41
SLV_SIS_161	20.42	10.43	10.56	1.37	1.34	0.71	1.58	1.42	15.27	1.43	0.54	0.59	0.41
SLV_SIS_162	20.42	10.43	10.56	1.37	1.34	0.71	1.58	1.42	15.27	1.43	0.54	0.59	0.41
SLV_SIS_163	20.42	10.43	10.56	1.37	1.34	0.71	1.58	1.42	15.27	1.43	0.55	0.59	0.41
SLV_SIS_164	20.42	10.43	10.56	1.37	1.34	0.71	1.58	1.42	15.27	1.43	0.55	0.59	0.41
SLV_SIS_165	20.42	10.43	10.56	1.37	1.34	0.71	1.58	1.42	15.27	1.43	0.55	0.59	0.41
SLV_SIS_166	20.42	10.43	10.56	1.37	1.34	0.71	1.58	1.42	15.27	1.43	0.55	0.59	0.41
SLV_SIS_167	20.42	10.43	10.56	1.38	1.34	0.71	1.58	1.42	15.10	1.43	0.55	0.59	0.41
SLV_SIS_168	20.42	10.43	10.56	1.38	1.34	0.71	1.58	1.42	15.10	1.43	0.55	0.59	0.41
SLV_SIS_169	20.42	10.43	10.56	1.35	1.31	0.73	1.59	1.41	57.89	1.54	0.83	0.85	0.76
SLV_SIS_170	20.42	10.43	10.56	1.35	1.31	0.73	1.59	1.41	57.89	1.54	0.83	0.85	0.76
SLV_SIS_171	20.42	10.43	10.56	1.35	1.31	0.73	1.59	1.41	57.89	1.54	0.83	0.85	0.76
SLV_SIS_172	20.42	10.43	10.56	1.35	1.31	0.73	1.59	1.41	57.89	1.54	0.83	0.85	0.76
SLV_SIS_173	20.42	10.43	10.56	1.35	1.31	0.73	1.60	1.40	57.58	1.54	0.83	0.85	0.77
SLV_SIS_174	20.42	10.43	10.56	1.35	1.31	0.73	1.60	1.40	57.58	1.54	0.83	0.85	0.77
SLV_SIS_175	20.42	10.43	10.56	1.35	1.32	0.73	1.59	1.41	57.58	1.54	0.83	0.85	0.77
SLV_SIS_176	20.42	10.43	10.56	1.35	1.32	0.73	1.59	1.41	57.58	1.54	0.83	0.85	0.77
SLV_SIS_177	20.42	10.43	10.56	1.35	1.32	0.73	1.59	1.41	57.58	1.54	0.84	0.85	0.77
SLV_SIS_178	20.42	10.43	10.56	1.35	1.32	0.73	1.59	1.41	57.58	1.54	0.84	0.85	0.77
SLV_SIS_179	20.42	10.43	10.56	1.35	1.32	0.73	1.59	1.41	57.58	1.54	0.84	0.85	0.77
SLV_SIS_180	20.42	10.43	10.56	1.35	1.32	0.73	1.59	1.41	57.58	1.54	0.84	0.85	0.77
SLV_SIS_181	20.42	10.43	10.56	1.35	1.31	0.73	1.60	1.40	57.89	1.54	0.83	0.85	0.76
SLV_SIS_182	20.42	10.43	10.56	1.35	1.31	0.73	1.60	1.40	57.89	1.54	0.83	0.85	0.76
SLV_SIS_183	20.42	10.43	10.56	1.35	1.31	0.73	1.59	1.41	57.89	1.54	0.83	0.85	0.76
SLV_SIS_184	20.42	10.43	10.56	1.35	1.31	0.73	1.59	1.41	57.89	1.54	0.83	0.85	0.76
SLV_SIS_185	20.42	10.43	10.56	1.35	1.31	0.73	1.59	1.41	57.89	1.54	0.83	0.85	0.76
SLV_SIS_186	20.42	10.43	10.56	1.35	1.31	0.73	1.59	1.41	57.89	1.54	0.83	0.85	0.76
SLV_SIS_187	20.42	10.43	10.56	1.35	1.31	0.73	1.60	1.40	57.58	1.54	0.83	0.85	0.77
SLV_SIS_188	20.42	10.43	10.56	1.35	1.31	0.73	1.60	1.40	57.58	1.54	0.83	0.85	0.77
SLV_SIS_189	20.42	10.43	10.56	1.35	1.32	0.73	1.59	1.41	57.58	1.54	0.83	0.85	0.77
SLV_SIS_190	20.42	10.43	10.56	1.35	1.32	0.73	1.59	1.41	57.58	1.54	0.83	0.85	0.77
SLV_SIS_191	20.42	10.43	10.56	1.35	1.32	0.73	1.59	1.41	57.58	1.54	0.84	0.85	0.77
SLV_SIS_192	20.42	10.43	10.56	1.35	1.32	0.73	1.59	1.41	57.58	1.54	0.84	0.85	0.77
SLV_SIS_193	20.42	10.43	10.56	1.35	1.32	0.73	1.59	1.41	57.58	1.54	0.84	0.85	0.77
SLV_SIS_194	20.42	10.43	10.56	1.35	1.32	0.73	1.59	1.41	57.58	1.54	0.84	0.85	0.77
SLV_SIS_195	20.42	10.43	10.56	1.35	1.31	0.73	1.60	1.40	57.89	1.54	0.83	0.85	0.76
SLV_SIS_196	20.42	10.43	10.56	1.35	1.31	0.73	1.60	1.40	57.89	1.54	0.83	0.85	0.76
SLV_SIS_197	20.42	10.43	10.56	1.29	1.26	0.77	1.64	1.36	62.90	1.58	0.49	0.53	0.36
SLV_SIS_198	20.42	10.43	10.56	1.29	1.26	0.77	1.64	1.36	62.90	1.58	0.49	0.53	0.36
SLV_SIS_199	20.42	10.43	10.56	1.29	1.26	0.77	1.64	1.36	62.90	1.58	0.49	0.53	0.36
SLV_SIS_200	20.42	10.43	10.56	1.29	1.26	0.77	1.64	1.36	62.90	1.58	0.49	0.53	0.36
SLV_SIS_201	20.42	10.43	10.56	1.29	1.26	0.77	1.64	1.36	62.82	1.58	0.50	0.55	0.37
SLV_SIS_202	20.42	10.43	10.56	1.29	1.26	0.77	1.64	1.36	62.82	1.58	0.50	0.55	0.37
SLV_SIS_203	20.42	10.43	10.56	1.29	1.26	0.77	1.64	1.36	62.82	1.58	0.50	0.55	0.37
SLV_SIS_204	20.42	10.43	10.56	1.29	1.26	0.77	1.64	1.36	62.82	1.58	0.50	0.55	0.37
SLV_SIS_205	20.42	10.43	10.56	1.29	1.26	0.77	1.64	1.36	62.82	1.58	0.50	0.55	0.37
SLV_SIS_206	20.42	10.43	10.56	1.29	1.26	0.77	1.64	1.36	62.82	1.58	0.50	0.55	0.37
SLV_SIS_207	20.42	10.43	10.56	1.29	1.26	0.77	1.64	1.36	62.82	1.58	0.50	0.55	0.38
SLV_SIS_208	20.42	10.43	10.56	1.29	1.26	0.77	1.64	1.36	62.82	1.58	0.50	0.55	0.38

  	ITINERARIO NAPOLI – BARI RADDOPPIO TRATTA CANCELLO – BENEVENTO I° LOTTO FUNZIONALE CANCELLO - FRASSO TELESINO E VARIANTE ALLA LINEA ROMA-NAPOLI VIA CASSINO NEL COMUNE DI MADDALONI – PROGETTO ESECUTIVO												
Relazione Geotecnica di calcolo delle fondazioni	<table border="1"> <tr> <td>COMMESSA</td> <td>LOTTO</td> <td>CODIFICA</td> <td>DOCUMENTO</td> <td>REV.</td> <td>FOGLIO</td> </tr> <tr> <td>IF1N</td> <td>01 E ZZ</td> <td>CL</td> <td>VI0300 002</td> <td>D</td> <td>125 di 170</td> </tr> </table>	COMMESSA	LOTTO	CODIFICA	DOCUMENTO	REV.	FOGLIO	IF1N	01 E ZZ	CL	VI0300 002	D	125 di 170
COMMESSA	LOTTO	CODIFICA	DOCUMENTO	REV.	FOGLIO								
IF1N	01 E ZZ	CL	VI0300 002	D	125 di 170								

SLV_SIS_224	1.06	1.07	178.00	1.00	1.00	1.00	1.00	1.00	1.00
-------------	------	------	--------	------	------	------	------	------	------

	<u>Carico limite unitario</u>	<u>Pressione agente</u>	<u>Verifica di capacità portante</u>	FS [-]
	q _{lim} [kPa]	q = N / B* L* [kPa]	q _{lim} / γ _R [kPa]	
SLV_SIS_001	486	182	270	1.49
SLV_SIS_002	486	182	270	1.49
SLV_SIS_003	486	182	270	1.49
SLV_SIS_004	486	182	270	1.49
SLV_SIS_005	502	186	279	1.50
SLV_SIS_006	502	186	279	1.50
SLV_SIS_007	503	185	279	1.51
SLV_SIS_008	503	185	279	1.51
SLV_SIS_009	503	184	280	1.52
SLV_SIS_010	503	184	280	1.52
SLV_SIS_011	510	187	283	1.52
SLV_SIS_012	510	187	283	1.52
SLV_SIS_013	504	187	280	1.50
SLV_SIS_014	504	187	280	1.50
SLV_SIS_015	486	182	270	1.49
SLV_SIS_016	486	182	270	1.49
SLV_SIS_017	486	182	270	1.49
SLV_SIS_018	486	182	270	1.49
SLV_SIS_019	502	186	279	1.50
SLV_SIS_020	502	186	279	1.50
SLV_SIS_021	503	185	279	1.51
SLV_SIS_022	503	185	279	1.51
SLV_SIS_023	503	184	280	1.52
SLV_SIS_024	503	184	280	1.52
SLV_SIS_025	510	187	283	1.52
SLV_SIS_026	510	187	283	1.52
SLV_SIS_027	504	187	280	1.50
SLV_SIS_028	504	187	280	1.50
SLV_SIS_029	533	192	296	1.54
SLV_SIS_030	533	192	296	1.54
SLV_SIS_031	533	192	296	1.54
SLV_SIS_032	533	192	296	1.54
SLV_SIS_033	547	196	304	1.55
SLV_SIS_034	547	196	304	1.55
SLV_SIS_035	547	196	304	1.55
SLV_SIS_036	547	196	304	1.55
SLV_SIS_037	547	195	304	1.56
SLV_SIS_038	547	195	304	1.56
SLV_SIS_039	554	197	308	1.56
SLV_SIS_040	554	197	308	1.56
SLV_SIS_041	550	197	306	1.55
SLV_SIS_042	550	197	306	1.55

Relazione Geotecnica di calcolo delle fondazioni

COMMESSA	LOTTO	CODIFICA	DOCUMENTO	REV.	FOGLIO
IF1N	01 E ZZ	CL	VI0300 002	D	126 di 170

SLV_SIS_043	879	170	488	2.87
SLV_SIS_044	879	170	488	2.87
SLV_SIS_045	879	170	488	2.87
SLV_SIS_046	879	170	488	2.87
SLV_SIS_047	889	174	494	2.83
SLV_SIS_048	1335	174	741	4.25
SLV_SIS_049	1782	174	990	5.70
SLV_SIS_050	2229	174	1238	7.13
SLV_SIS_051	2679	173	1489	8.60
SLV_SIS_052	3127	173	1737	10.04
SLV_SIS_053	3594	175	1996	11.39
SLV_SIS_054	4044	175	2246	12.81
SLV_SIS_055	4465	175	2481	14.19
SLV_SIS_056	4912	175	2729	15.61
SLV_SIS_057	5564	168	3091	18.37
SLV_SIS_058	6028	168	3349	19.90
SLV_SIS_059	6492	168	3607	>> 1
SLV_SIS_060	6956	168	3864	>> 1
SLV_SIS_061	7574	171	4208	>> 1
SLV_SIS_062	8048	171	4471	>> 1
SLV_SIS_063	8507	172	4726	>> 1
SLV_SIS_064	8980	172	4989	>> 1
SLV_SIS_065	9435	172	5242	>> 1
SLV_SIS_066	9907	172	5504	>> 1
SLV_SIS_067	10468	173	5816	>> 1
SLV_SIS_068	10944	173	6080	>> 1
SLV_SIS_069	11361	171	6312	>> 1
SLV_SIS_070	11835	171	6575	>> 1
SLV_SIS_071	12058	168	6699	>> 1
SLV_SIS_072	12522	168	6957	>> 1
SLV_SIS_073	12986	168	7214	>> 1
SLV_SIS_074	13450	168	7472	>> 1
SLV_SIS_075	14208	171	7894	>> 1
SLV_SIS_076	14682	171	8157	>> 1
SLV_SIS_077	15128	172	8405	>> 1
SLV_SIS_078	15601	172	8667	>> 1
SLV_SIS_079	16044	172	8913	>> 1
SLV_SIS_080	16516	172	9176	>> 1
SLV_SIS_081	17135	173	9520	>> 1
SLV_SIS_082	17611	173	9784	>> 1
SLV_SIS_083	17994	171	9997	>> 1
SLV_SIS_084	18468	171	10260	>> 1
SLV_SIS_085	11568	179	6427	>> 1
SLV_SIS_086	11856	179	6587	>> 1
SLV_SIS_087	12144	179	6747	>> 1
SLV_SIS_088	12432	179	6907	>> 1
SLV_SIS_089	13224	182	7347	>> 1
SLV_SIS_090	13523	182	7513	>> 1
SLV_SIS_091	13812	182	7673	>> 1

ITINERARIO NAPOLI – BARI

RADDOPPIO TRATTA CANCELLO – BENEVENTO

I° LOTTO FUNZIONALE CANCELLO - FRASSO TELESINO E
VARIANTE ALLA LINEA ROMA-NAPOLI VIA CASSINO NEL
COMUNE DI MADDALONI – PROGETTO ESECUTIVO

Relazione Geotecnica di calcolo delle fondazioni

COMMESSA	LOTTO	CODIFICA	DOCUMENTO	REV.	FOGLIO
IF1N	01 E ZZ	CL	VI0300 002	D	127 di 170

SLV_SIS_092	14111	182	7840	>> 1
SLV_SIS_093	14399	183	8000	>> 1
SLV_SIS_094	14698	183	8166	>> 1
SLV_SIS_095	15208	184	8449	>> 1
SLV_SIS_096	15512	184	8618	>> 1
SLV_SIS_097	15574	182	8652	>> 1
SLV_SIS_098	15873	182	8818	>> 1
SLV_SIS_099	34358	159	19088	>> 1
SLV_SIS_100	34996	159	19442	>> 1
SLV_SIS_101	35634	159	19797	>> 1
SLV_SIS_102	36273	159	20152	>> 1
SLV_SIS_103	37356	162	20754	>> 1
SLV_SIS_104	38002	162	21112	>> 1
SLV_SIS_105	38600	163	21445	>> 1
SLV_SIS_106	39245	163	21803	>> 1
SLV_SIS_107	39840	163	22133	>> 1
SLV_SIS_108	40485	163	22491	>> 1
SLV_SIS_109	41299	164	22944	>> 1
SLV_SIS_110	41946	164	23303	>> 1
SLV_SIS_111	42423	162	23568	>> 1
SLV_SIS_112	43067	162	23926	>> 1
SLV_SIS_113	7681	194	4267	>> 1
SLV_SIS_114	7792	194	4329	>> 1
SLV_SIS_115	7904	194	4391	>> 1
SLV_SIS_116	8015	194	4453	>> 1
SLV_SIS_117	8721	199	4845	>> 1
SLV_SIS_118	8841	199	4912	>> 1
SLV_SIS_119	8990	198	4995	>> 1
SLV_SIS_120	9110	198	5061	>> 1
SLV_SIS_121	9261	197	5145	>> 1
SLV_SIS_122	9382	197	5212	>> 1
SLV_SIS_123	9761	199	5423	>> 1
SLV_SIS_124	9885	199	5492	>> 1
SLV_SIS_125	9711	199	5395	>> 1
SLV_SIS_126	9831	199	5462	>> 1
SLV_SIS_127	9241	194	5134	>> 1
SLV_SIS_128	9352	194	5196	>> 1
SLV_SIS_129	9464	194	5258	>> 1
SLV_SIS_130	9575	194	5320	>> 1
SLV_SIS_131	10397	199	5776	>> 1
SLV_SIS_132	10516	199	5842	>> 1
SLV_SIS_133	10672	198	5929	>> 1
SLV_SIS_134	10792	198	5996	>> 1
SLV_SIS_135	10948	197	6082	>> 1
SLV_SIS_136	11069	197	6149	>> 1
SLV_SIS_137	11495	199	6386	>> 1
SLV_SIS_138	11619	199	6455	>> 1
SLV_SIS_139	11393	199	6329	>> 1
SLV_SIS_140	11513	199	6396	>> 1

ITINERARIO NAPOLI – BARI

RADDOPPIO TRATTA CANCELLO – BENEVENTO

I° LOTTO FUNZIONALE CANCELLO - FRASSO TELESINO E
VARIANTE ALLA LINEA ROMA-NAPOLI VIA CASSINO NEL
COMUNE DI MADDALONI – PROGETTO ESECUTIVO

Relazione Geotecnica di calcolo delle fondazioni

COMMESSA	LOTTO	CODIFICA	DOCUMENTO	REV.	FOGLIO
IF1N	01 E ZZ	CL	VI0300 002	D	128 di 170

SLV_SIS_141	16155	203	8975	>> 1
SLV_SIS_142	16323	203	9068	>> 1
SLV_SIS_143	16490	203	9161	>> 1
SLV_SIS_144	16657	203	9254	>> 1
SLV_SIS_145	17644	208	9802	>> 1
SLV_SIS_146	17819	208	9900	>> 1
SLV_SIS_147	18023	207	10013	>> 1
SLV_SIS_148	18198	207	10110	>> 1
SLV_SIS_149	18402	206	10223	>> 1
SLV_SIS_150	18578	206	10321	>> 1
SLV_SIS_151	19136	208	10631	>> 1
SLV_SIS_152	19316	208	10731	>> 1
SLV_SIS_153	19171	208	10651	>> 1
SLV_SIS_154	19348	208	10749	>> 1
SLV_SIS_155	33839	179	18800	>> 1
SLV_SIS_156	34146	179	18970	>> 1
SLV_SIS_157	34453	179	19141	>> 1
SLV_SIS_158	34761	179	19311	>> 1
SLV_SIS_159	35967	184	19982	>> 1
SLV_SIS_160	36282	184	20157	>> 1
SLV_SIS_161	36674	183	20374	>> 1
SLV_SIS_162	36989	183	20550	>> 1
SLV_SIS_163	37382	183	20768	>> 1
SLV_SIS_164	37698	183	20943	>> 1
SLV_SIS_165	38390	185	21328	>> 1
SLV_SIS_166	38709	185	21505	>> 1
SLV_SIS_167	38566	185	21425	>> 1
SLV_SIS_168	38881	185	21601	>> 1
SLV_SIS_169	74688	159	41494	>> 1
SLV_SIS_170	75291	159	41829	>> 1
SLV_SIS_171	75894	159	42164	>> 1
SLV_SIS_172	76497	159	42499	>> 1
SLV_SIS_173	78203	162	43446	>> 1
SLV_SIS_174	78815	162	43786	>> 1
SLV_SIS_175	79306	162	44059	>> 1
SLV_SIS_176	79917	162	44398	>> 1
SLV_SIS_177	80404	163	44669	>> 1
SLV_SIS_178	81014	163	45008	>> 1
SLV_SIS_179	82047	164	45582	>> 1
SLV_SIS_180	82660	164	45922	>> 1
SLV_SIS_181	82921	162	46067	>> 1
SLV_SIS_182	83532	162	46407	>> 1
SLV_SIS_183	83130	159	46183	>> 1
SLV_SIS_184	83733	159	46518	>> 1
SLV_SIS_185	84336	159	46853	>> 1
SLV_SIS_186	84939	159	47188	>> 1
SLV_SIS_187	86766	162	48204	>> 1
SLV_SIS_188	87378	162	48543	>> 1
SLV_SIS_189	87856	162	48809	>> 1

ITINERARIO NAPOLI – BARI

RADDOPPIO TRATTA CANCELLO – BENEVENTO

I° LOTTO FUNZIONALE CANCELLO - FRASSO TELESINO E
VARIANTE ALLA LINEA ROMA-NAPOLI VIA CASSINO NEL
COMUNE DI MADDALONI – PROGETTO ESECUTIVO

Relazione Geotecnica di calcolo delle fondazioni

COMMESSA	LOTTO	CODIFICA	DOCUMENTO	REV.	FOGLIO
IF1N	01 E ZZ	CL	VI0300 002	D	129 di 170

SLV_SIS_190	88467	162	49148	>> 1
SLV_SIS_191	88941	163	49411	>> 1
SLV_SIS_192	89550	163	49750	>> 1
SLV_SIS_193	90628	164	50349	>> 1
SLV_SIS_194	91241	164	50690	>> 1
SLV_SIS_195	91466	162	50815	>> 1
SLV_SIS_196	92077	162	51154	>> 1
SLV_SIS_197	39099	185	21722	>> 1
SLV_SIS_198	39356	185	21864	>> 1
SLV_SIS_199	39613	185	22007	>> 1
SLV_SIS_200	39869	185	22150	>> 1
SLV_SIS_201	41808	189	23226	>> 1
SLV_SIS_202	42075	189	23375	>> 1
SLV_SIS_203	42385	188	23547	>> 1
SLV_SIS_204	42653	188	23696	>> 1
SLV_SIS_205	42964	187	23869	>> 1
SLV_SIS_206	43232	187	24018	>> 1
SLV_SIS_207	44108	190	24504	>> 1
SLV_SIS_208	44380	190	24655	>> 1
SLV_SIS_209	43785	190	24325	>> 1
SLV_SIS_210	44052	190	24473	>> 1
SLV_SIS_211	86071	164	47817	>> 1
SLV_SIS_212	86590	164	48105	>> 1
SLV_SIS_213	87108	164	48394	>> 1
SLV_SIS_214	87627	164	48682	>> 1
SLV_SIS_215	89373	168	49652	>> 1
SLV_SIS_216	89899	168	49944	>> 1
SLV_SIS_217	90562	168	50312	>> 1
SLV_SIS_218	91089	168	50605	>> 1
SLV_SIS_219	91754	167	50974	>> 1
SLV_SIS_220	92281	167	51267	>> 1
SLV_SIS_221	93150	169	51750	>> 1
SLV_SIS_222	93679	169	52044	>> 1
SLV_SIS_223	93309	169	51838	>> 1
SLV_SIS_224	93834	169	52130	>> 1

  	ITINERARIO NAPOLI – BARI RADDOPPIO TRATTA CANCELLO – BENEVENTO I° LOTTO FUNZIONALE CANCELLO - FRASSO TELESINO E VARIANTE ALLA LINEA ROMA-NAPOLI VIA CASSINO NEL COMUNE DI MADDALONI – PROGETTO ESECUTIVO												
Relazione Geotecnica di calcolo delle fondazioni	<table border="1"> <tr> <td>COMMESSA</td> <td>LOTTO</td> <td>CODIFICA</td> <td>DOCUMENTO</td> <td>REV.</td> <td>FOGLIO</td> </tr> <tr> <td>IF1N</td> <td>01 E ZZ</td> <td>CL</td> <td>VI0300 002</td> <td>D</td> <td>130 di 170</td> </tr> </table>	COMMESSA	LOTTO	CODIFICA	DOCUMENTO	REV.	FOGLIO	IF1N	01 E ZZ	CL	VI0300 002	D	130 di 170
COMMESSA	LOTTO	CODIFICA	DOCUMENTO	REV.	FOGLIO								
IF1N	01 E ZZ	CL	VI0300 002	D	130 di 170								

7.3 VERIFICA A SCORRIMENTO DELLA FONDAZIONE

7.3.1 CONCIO TIPO AD ARCHI – SITUAZIONE CON RIEMPIMENTO

	N	M _B	M _L	T _B	T _L	H	e _B *	e _L *	B*	L*
	[kN]	[kNm]	[kNm]	[kN]	[kN]	[kN]	[m]	[m]	[m]	[m]
SLU_GEO_001	50574	0	-36	0	0	0	0.00	0.00	13.70	28.00
SLU_GEO_002	58069	-596	14276	64	1511	1512	0.01	0.25	13.68	27.51
SLU_GEO_003	58069	-591	21405	64	1511	1512	0.01	0.37	13.68	27.26
SLU_GEO_004	58069	-596	28535	64	1511	1512	0.01	0.49	13.68	27.02
SLU_GEO_005	58069	-591	21405	64	1511	1512	0.01	0.37	13.68	27.26
SLU_GEO_006	58069	596	14276	-64	1511	1512	0.01	0.25	13.68	27.51
SLU_GEO_007	58069	591	21405	-64	1511	1512	0.01	0.37	13.68	27.26
SLU_GEO_008	58069	596	28535	-64	1511	1512	0.01	0.49	13.68	27.02
SLU_GEO_009	58069	591	21405	-64	1511	1512	0.01	0.37	13.68	27.26
SLU_GEO_010	58069	-596	-13668	64	-1511	1512	0.01	0.24	13.68	27.53
SLU_GEO_011	58069	-591	-6539	64	-1511	1512	0.01	0.11	13.68	27.77
SLU_GEO_012	58069	-596	590	64	-1511	1512	0.01	0.01	13.68	27.98
SLU_GEO_013	58069	-591	-6539	64	-1511	1512	0.01	0.11	13.68	27.77
SLU_GEO_014	58069	596	-13668	-64	-1511	1512	0.01	0.24	13.68	27.53
SLU_GEO_015	58069	591	-6539	-64	-1511	1512	0.01	0.11	13.68	27.77
SLU_GEO_016	58069	596	590	-64	-1511	1512	0.01	0.01	13.68	27.98
SLU_GEO_017	58069	548	-6539	-59	-1511	1512	0.01	0.11	13.68	27.77
SLU_GEO_018	62083	-596	13936	64	1511	1512	0.01	0.22	13.68	27.55
SLU_GEO_019	62083	-591	13936	64	1511	1512	0.01	0.22	13.68	27.55
SLU_GEO_020	62083	-596	13936	64	1511	1512	0.01	0.22	13.68	27.55
SLU_GEO_021	62083	-591	13936	64	1511	1512	0.01	0.22	13.68	27.55
SLU_GEO_022	62083	596	13936	-64	1511	1512	0.01	0.22	13.68	27.55
SLU_GEO_023	62083	591	13936	-64	1511	1512	0.01	0.22	13.68	27.55
SLU_GEO_024	62083	596	13936	-64	1511	1512	0.01	0.22	13.68	27.55
SLU_GEO_025	62083	591	13936	-64	1511	1512	0.01	0.22	13.68	27.55
SLU_GEO_026	62083	-596	-14008	64	-1511	1512	0.01	0.23	13.68	27.55
SLU_GEO_027	62083	-591	-14008	64	-1511	1512	0.01	0.23	13.68	27.55
SLU_GEO_028	62083	-596	-14008	64	-1511	1512	0.01	0.23	13.68	27.55
SLU_GEO_029	62083	-591	-14008	64	-1511	1512	0.01	0.23	13.68	27.55
SLU_GEO_030	62083	596	-14008	-64	-1511	1512	0.01	0.23	13.68	27.55
SLU_GEO_031	62083	591	-14008	-64	-1511	1512	0.01	0.23	13.68	27.55
SLU_GEO_032	62083	596	-14008	-64	-1511	1512	0.01	0.23	13.68	27.55
SLU_GEO_033	62083	548	-14008	-59	-1511	1512	0.01	0.23	13.68	27.55
SLU_GEO_034	50574	0	-36	0	0	0	0.00	0.00	13.70	28.00
SLU_GEO_035	50574	0	-36	0	0	0	0.00	0.00	13.70	28.00
SLU_GEO_036	50574	-2646	-36	471	0	471	0.05	0.00	13.60	28.00
SLU_GEO_037	50574	2646	-36	-471	0	471	0.05	0.00	13.60	28.00
SLU_GEO_038	50574	0	-36	0	0	0	0.00	0.00	13.70	28.00
SLU_GEO_039	58069	-3241	14276	535	1511	1603	0.06	0.25	13.59	27.51
SLU_GEO_040	58069	-3237	21405	535	1511	1602	0.06	0.37	13.59	27.26
SLU_GEO_041	58069	-3241	28535	535	1511	1603	0.06	0.49	13.59	27.02
SLU_GEO_042	58069	-3237	21405	535	1511	1602	0.06	0.37	13.59	27.26
SLU_GEO_043	58069	-2050	14276	407	1511	1564	0.04	0.25	13.63	27.51

ITINERARIO NAPOLI – BARI

RADDOPPIO TRATTA CANCELLO – BENEVENTO

I° LOTTO FUNZIONALE CANCELLO - FRASSO TELESINO E
VARIANTE ALLA LINEA ROMA-NAPOLI VIA CASSINO NEL
COMUNE DI MADDALONI – PROGETTO ESECUTIVO

Relazione Geotecnica di calcolo delle fondazioni

COMMESSA	LOTTO	CODIFICA	DOCUMENTO	REV.	FOGLIO
IF1N	01 E ZZ	CL	VI0300 002	D	131 di 170

SLU_GEO_044	58069	-2054	21405	407	1511	1564	0.04	0.37	13.63	27.26
SLU_GEO_045	58069	-2050	28535	407	1511	1564	0.04	0.49	13.63	27.02
SLU_GEO_046	58069	-2054	21405	407	1511	1564	0.04	0.37	13.63	27.26
SLU_GEO_047	58069	-3241	-13668	535	-1511	1603	0.06	0.24	13.59	27.53
SLU_GEO_048	58069	-3237	-6539	535	-1511	1602	0.06	0.11	13.59	27.77
SLU_GEO_049	58069	-3241	590	535	-1511	1603	0.06	0.01	13.59	27.98
SLU_GEO_050	58069	-3237	-6539	535	-1511	1602	0.06	0.11	13.59	27.77
SLU_GEO_051	58069	-2050	-13668	407	-1511	1564	0.04	0.24	13.63	27.53
SLU_GEO_052	58069	-2054	-6539	407	-1511	1564	0.04	0.11	13.63	27.77
SLU_GEO_053	58069	-2050	590	407	-1511	1564	0.04	0.01	13.63	27.98
SLU_GEO_054	58069	-2098	-6539	412	-1511	1566	0.04	0.11	13.63	27.77
SLU_GEO_055	62083	-3241	13936	535	1511	1603	0.05	0.22	13.60	27.55
SLU_GEO_056	62083	-3237	13936	535	1511	1602	0.05	0.22	13.60	27.55
SLU_GEO_057	62083	-3241	13936	535	1511	1603	0.05	0.22	13.60	27.55
SLU_GEO_058	62083	-3237	13936	535	1511	1602	0.05	0.22	13.60	27.55
SLU_GEO_059	62083	-2050	13936	407	1511	1564	0.03	0.22	13.63	27.55
SLU_GEO_060	62083	-2054	13936	407	1511	1564	0.03	0.22	13.63	27.55
SLU_GEO_061	62083	-2050	13936	407	1511	1564	0.03	0.22	13.63	27.55
SLU_GEO_062	62083	-2054	13936	407	1511	1564	0.03	0.22	13.63	27.55
SLU_GEO_063	62083	-3241	-14008	535	-1511	1603	0.05	0.23	13.60	27.55
SLU_GEO_064	62083	-3237	-14008	535	-1511	1602	0.05	0.23	13.60	27.55
SLU_GEO_065	62083	-3241	-14008	535	-1511	1603	0.05	0.23	13.60	27.55
SLU_GEO_066	62083	-3237	-14008	535	-1511	1602	0.05	0.23	13.60	27.55
SLU_GEO_067	62083	-2050	-14008	407	-1511	1564	0.03	0.23	13.63	27.55
SLU_GEO_068	62083	-2054	-14008	407	-1511	1564	0.03	0.23	13.63	27.55
SLU_GEO_069	62083	-2050	-14008	407	-1511	1564	0.03	0.23	13.63	27.55
SLU_GEO_070	62083	-2098	-14008	412	-1511	1566	0.03	0.23	13.63	27.55
SLU_GEO_071	58069	-3241	14276	535	1511	1603	0.06	0.25	13.59	27.51
SLU_GEO_072	58069	-3237	21405	535	1511	1602	0.06	0.37	13.59	27.26
SLU_GEO_073	58069	-3241	28535	535	1511	1603	0.06	0.49	13.59	27.02
SLU_GEO_074	58069	-3237	21405	535	1511	1602	0.06	0.37	13.59	27.26
SLU_GEO_075	58069	-2050	14276	407	1511	1564	0.04	0.25	13.63	27.51
SLU_GEO_076	58069	-2054	21405	407	1511	1564	0.04	0.37	13.63	27.26
SLU_GEO_077	58069	-2050	28535	407	1511	1564	0.04	0.49	13.63	27.02
SLU_GEO_078	58069	-2054	21405	407	1511	1564	0.04	0.37	13.63	27.26
SLU_GEO_079	58069	-3241	-13668	535	-1511	1603	0.06	0.24	13.59	27.53
SLU_GEO_080	58069	-3237	-6539	535	-1511	1602	0.06	0.11	13.59	27.77
SLU_GEO_081	58069	-3241	590	535	-1511	1603	0.06	0.01	13.59	27.98
SLU_GEO_082	58069	-3237	-6539	535	-1511	1602	0.06	0.11	13.59	27.77
SLU_GEO_083	58069	-2050	-13668	407	-1511	1564	0.04	0.24	13.63	27.53
SLU_GEO_084	58069	-2054	-6539	407	-1511	1564	0.04	0.11	13.63	27.77
SLU_GEO_085	58069	-2050	590	407	-1511	1564	0.04	0.01	13.63	27.98
SLU_GEO_086	58069	-2098	-6539	412	-1511	1566	0.04	0.11	13.63	27.77
SLU_GEO_087	62083	-3241	13936	535	1511	1603	0.05	0.22	13.60	27.55
SLU_GEO_088	62083	-3237	13936	535	1511	1602	0.05	0.22	13.60	27.55
SLU_GEO_089	62083	-3241	13936	535	1511	1603	0.05	0.22	13.60	27.55
SLU_GEO_090	62083	-3237	13936	535	1511	1602	0.05	0.22	13.60	27.55
SLU_GEO_091	62083	-2050	13936	407	1511	1564	0.03	0.22	13.63	27.55
SLU_GEO_092	62083	-2054	13936	407	1511	1564	0.03	0.22	13.63	27.55

  	ITINERARIO NAPOLI – BARI RADDOPPIO TRATTA CANCELLO – BENEVENTO I° LOTTO FUNZIONALE CANCELLO - FRASSO TELESINO E VARIANTE ALLA LINEA ROMA-NAPOLI VIA CASSINO NEL COMUNE DI MADDALONI – PROGETTO ESECUTIVO					
	Relazione Geotecnica di calcolo delle fondazioni	COMMESSA IF1N	LOTTO 01 E ZZ	CODIFICA CL	DOCUMENTO VI0300 002	REV. D

SLU_GEO_093	62083	-2050	13936	407	1511	1564	0.03	0.22	13.63	27.55
SLU_GEO_094	62083	-2054	13936	407	1511	1564	0.03	0.22	13.63	27.55
SLU_GEO_095	62083	-3241	-14008	535	-1511	1603	0.05	0.23	13.60	27.55
SLU_GEO_096	62083	-3237	-14008	535	-1511	1602	0.05	0.23	13.60	27.55
SLU_GEO_097	62083	-3241	-14008	535	-1511	1603	0.05	0.23	13.60	27.55
SLU_GEO_098	62083	-3237	-14008	535	-1511	1602	0.05	0.23	13.60	27.55
SLU_GEO_099	62083	-2050	-14008	407	-1511	1564	0.03	0.23	13.63	27.55
SLU_GEO_100	62083	-2054	-14008	407	-1511	1564	0.03	0.23	13.63	27.55
SLU_GEO_101	62083	-2050	-14008	407	-1511	1564	0.03	0.23	13.63	27.55
SLU_GEO_102	62083	-2098	-14008	412	-1511	1566	0.03	0.23	13.63	27.55
SLU_GEO_103	51008	2680	-36	0	0	0	0.05	0.00	13.59	28.00
SLU_GEO_104	51442	0	-36	0	0	0	0.00	0.00	13.70	28.00
SLU_GEO_105	51442	0	-36	0	0	0	0.00	0.00	13.70	28.00

	<u>Carico agente</u>	<u>Azione Resistente</u>	FS [-]
	Hd [kN]	Sd = $N \tan(\varphi') + c' B^* L^*$ [kN]	
SLU_GEO_001	0	23359	>> 1
SLU_GEO_002	1512	26821	17.74
SLU_GEO_003	1512	26821	17.74
SLU_GEO_004	1512	26821	17.74
SLU_GEO_005	1512	26821	17.74
SLU_GEO_006	1512	26821	17.74
SLU_GEO_007	1512	26821	17.74
SLU_GEO_008	1512	26821	17.74
SLU_GEO_009	1512	26821	17.74
SLU_GEO_010	1512	26821	17.74
SLU_GEO_011	1512	26821	17.74
SLU_GEO_012	1512	26821	17.74
SLU_GEO_013	1512	26821	17.74
SLU_GEO_014	1512	26821	17.74
SLU_GEO_015	1512	26821	17.74
SLU_GEO_016	1512	26821	17.74
SLU_GEO_017	1512	26821	17.74
SLU_GEO_018	1512	28675	18.97
SLU_GEO_019	1512	28675	18.97
SLU_GEO_020	1512	28675	18.97
SLU_GEO_021	1512	28675	18.97
SLU_GEO_022	1512	28675	18.97
SLU_GEO_023	1512	28675	18.97
SLU_GEO_024	1512	28675	18.97
SLU_GEO_025	1512	28675	18.97
SLU_GEO_026	1512	28675	18.97
SLU_GEO_027	1512	28675	18.97
SLU_GEO_028	1512	28675	18.97
SLU_GEO_029	1512	28675	18.97
SLU_GEO_030	1512	28675	18.97

Relazione Geotecnica di calcolo delle fondazioni

COMMESSA	LOTTO	CODIFICA	DOCUMENTO	REV.	FOGLIO
IF1N	01 E ZZ	CL	VI0300 002	D	133 di 170

SLU_GEO_031	1512	28675	18.97
SLU_GEO_032	1512	28675	18.97
SLU_GEO_033	1512	28675	18.97
SLU_GEO_034	0	23359	>> 1
SLU_GEO_035	0	23359	>> 1
SLU_GEO_036	471	23359	>> 1
SLU_GEO_037	471	23359	>> 1
SLU_GEO_038	0	23359	>> 1
SLU_GEO_039	1603	26821	16.74
SLU_GEO_040	1602	26821	16.74
SLU_GEO_041	1603	26821	16.74
SLU_GEO_042	1602	26821	16.74
SLU_GEO_043	1564	26821	17.15
SLU_GEO_044	1564	26821	17.14
SLU_GEO_045	1564	26821	17.15
SLU_GEO_046	1564	26821	17.14
SLU_GEO_047	1603	26821	16.74
SLU_GEO_048	1602	26821	16.74
SLU_GEO_049	1603	26821	16.74
SLU_GEO_050	1602	26821	16.74
SLU_GEO_051	1564	26821	17.15
SLU_GEO_052	1564	26821	17.14
SLU_GEO_053	1564	26821	17.15
SLU_GEO_054	1566	26821	17.13
SLU_GEO_055	1603	28675	17.89
SLU_GEO_056	1602	28675	17.89
SLU_GEO_057	1603	28675	17.89
SLU_GEO_058	1602	28675	17.89
SLU_GEO_059	1564	28675	18.33
SLU_GEO_060	1564	28675	18.33
SLU_GEO_061	1564	28675	18.33
SLU_GEO_062	1564	28675	18.33
SLU_GEO_063	1603	28675	17.89
SLU_GEO_064	1602	28675	17.89
SLU_GEO_065	1603	28675	17.89
SLU_GEO_066	1602	28675	17.89
SLU_GEO_067	1564	28675	18.33
SLU_GEO_068	1564	28675	18.33
SLU_GEO_069	1564	28675	18.33
SLU_GEO_070	1566	28675	18.32
SLU_GEO_071	1603	26821	16.74
SLU_GEO_072	1602	26821	16.74
SLU_GEO_073	1603	26821	16.74
SLU_GEO_074	1602	26821	16.74
SLU_GEO_075	1564	26821	17.15
SLU_GEO_076	1564	26821	17.14
SLU_GEO_077	1564	26821	17.15
SLU_GEO_078	1564	26821	17.14
SLU_GEO_079	1603	26821	16.74

  	ITINERARIO NAPOLI – BARI RADDOPPIO TRATTA CANCELLO – BENEVENTO I° LOTTO FUNZIONALE CANCELLO - FRASSO TELESINO E VARIANTE ALLA LINEA ROMA-NAPOLI VIA CASSINO NEL COMUNE DI MADDALONI – PROGETTO ESECUTIVO					
	Relazione Geotecnica di calcolo delle fondazioni	COMMESSA IF1N	LOTTO 01 E ZZ	CODIFICA CL	DOCUMENTO VI0300 002	REV. D

SLU_GEO_080	1602	26821	16.74
SLU_GEO_081	1603	26821	16.74
SLU_GEO_082	1602	26821	16.74
SLU_GEO_083	1564	26821	17.15
SLU_GEO_084	1564	26821	17.14
SLU_GEO_085	1564	26821	17.15
SLU_GEO_086	1566	26821	17.13
SLU_GEO_087	1603	28675	17.89
SLU_GEO_088	1602	28675	17.89
SLU_GEO_089	1603	28675	17.89
SLU_GEO_090	1602	28675	17.89
SLU_GEO_091	1564	28675	18.33
SLU_GEO_092	1564	28675	18.33
SLU_GEO_093	1564	28675	18.33
SLU_GEO_094	1564	28675	18.33
SLU_GEO_095	1603	28675	17.89
SLU_GEO_096	1602	28675	17.89
SLU_GEO_097	1603	28675	17.89
SLU_GEO_098	1602	28675	17.89
SLU_GEO_099	1564	28675	18.33
SLU_GEO_100	1564	28675	18.33
SLU_GEO_101	1564	28675	18.33
SLU_GEO_102	1566	28675	18.32
SLU_GEO_103	0	23560	>> 1
SLU_GEO_104	0	23760	>> 1
SLU_GEO_105	0	23760	>> 1

	N	M _B	M _L	T _B	T _L	H	e _B *	e _L *	B*	L*
	[kN]	[kNm]	[kNm]	[kN]	[kN]	[kN]	[m]	[m]	[m]	[m]
SLV_SIS_009	49113	62711	-18792	-13802	-4141	14410	1.28	0.38	11.15	27.23
SLV_SIS_010	49113	62711	-18792	-13802	-4141	14410	1.28	0.38	11.15	27.23
SLV_SIS_011	49699	62711	-18841	-13802	-4141	14410	1.26	0.38	11.18	27.24
SLV_SIS_012	49699	62711	-18841	-13802	-4141	14410	1.26	0.38	11.18	27.24
SLV_SIS_013	49113	62711	-16710	-13802	-4141	14410	1.28	0.34	11.15	27.32
SLV_SIS_014	49113	62711	-16710	-13802	-4141	14410	1.28	0.34	11.15	27.32
SLV_SIS_015	49699	62711	-18841	-13802	-4141	14410	1.26	0.38	11.18	27.24
SLV_SIS_016	52087	62711	-18843	-13802	-4141	14410	1.20	0.36	11.29	27.28
SLV_SIS_017	51501	18813	-18793	-4141	-4141	5856	0.37	0.36	12.97	27.27
SLV_SIS_018	51501	18813	-18793	-4141	-4141	5856	0.37	0.36	12.97	27.27
SLV_SIS_019	52087	18813	-18843	-4141	-4141	5856	0.36	0.36	12.98	27.28
SLV_SIS_020	52087	18813	-18843	-4141	-4141	5856	0.36	0.36	12.98	27.28
SLV_SIS_021	51501	18813	-16712	-4141	-4141	5856	0.37	0.32	12.97	27.35
SLV_SIS_022	51501	18813	-16712	-4141	-4141	5856	0.37	0.32	12.97	27.35
SLV_SIS_023	52087	18813	-18843	-4141	-4141	5856	0.36	0.36	12.98	27.28
SLV_SIS_024	52087	18813	-18843	-4141	-4141	5856	0.36	0.36	12.98	27.28
SLV_SIS_033	49113	-62711	18835	13802	4141	14410	1.28	0.38	11.15	27.23

  	ITINERARIO NAPOLI – BARI RADDOPPIO TRATTA CANCELLO – BENEVENTO I° LOTTO FUNZIONALE CANCELLO - FRASSO TELESINO E VARIANTE ALLA LINEA ROMA-NAPOLI VIA CASSINO NEL COMUNE DI MADDALONI – PROGETTO ESECUTIVO												
Relazione Geotecnica di calcolo delle fondazioni	<table border="1"> <tr> <td>COMMESSA</td> <td>LOTTO</td> <td>CODIFICA</td> <td>DOCUMENTO</td> <td>REV.</td> <td>FOGLIO</td> </tr> <tr> <td>IF1N</td> <td>01 E ZZ</td> <td>CL</td> <td>VI0300 002</td> <td>D</td> <td>135 di 170</td> </tr> </table>	COMMESSA	LOTTO	CODIFICA	DOCUMENTO	REV.	FOGLIO	IF1N	01 E ZZ	CL	VI0300 002	D	135 di 170
COMMESSA	LOTTO	CODIFICA	DOCUMENTO	REV.	FOGLIO								
IF1N	01 E ZZ	CL	VI0300 002	D	135 di 170								

SLV_SIS_034	49113	-62711	18835	13802	4141	14410	1.28	0.38	11.15	27.23
SLV_SIS_035	49699	-62711	18785	13802	4141	14410	1.26	0.38	11.18	27.24
SLV_SIS_036	49699	-62711	18785	13802	4141	14410	1.26	0.38	11.18	27.24
SLV_SIS_037	49113	-62711	20916	13802	4141	14410	1.28	0.43	11.15	27.15
SLV_SIS_038	49113	-62711	20916	13802	4141	14410	1.28	0.43	11.15	27.15
SLV_SIS_039	49699	-62711	18785	13802	4141	14410	1.26	0.38	11.18	27.24
SLV_SIS_040	52087	-62711	18783	13802	4141	14410	1.20	0.36	11.29	27.28
SLV_SIS_041	51501	-18813	18833	4141	4141	5856	0.37	0.37	12.97	27.27
SLV_SIS_042	51501	-18813	18833	4141	4141	5856	0.37	0.37	12.97	27.27
SLV_SIS_043	52087	-18813	18783	4141	4141	5856	0.36	0.36	12.98	27.28
SLV_SIS_044	52087	-18813	18783	4141	4141	5856	0.36	0.36	12.98	27.28
SLV_SIS_045	51501	-18813	20915	4141	4141	5856	0.37	0.41	12.97	27.19
SLV_SIS_046	51501	-18813	20915	4141	4141	5856	0.37	0.41	12.97	27.19
SLV_SIS_047	52087	-18813	18783	4141	4141	5856	0.36	0.36	12.98	27.28
SLV_SIS_048	52087	-18813	18783	4141	4141	5856	0.36	0.36	12.98	27.28

	<u>Carico agente</u>	<u>Azione Resistente</u>	
	Hd	$Sd = N \tan(\varphi') + c' B^* L^*$	FS
	[kN]	[kN]	[-]
SLV_SIS_009	14410	22684	1.57
SLV_SIS_010	14410	22684	1.57
SLV_SIS_011	14410	22955	1.59
SLV_SIS_012	14410	22955	1.59
SLV_SIS_013	14410	22684	1.57
SLV_SIS_014	14410	22684	1.57
SLV_SIS_015	14410	22955	1.59
SLV_SIS_016	14410	24058	1.67
SLV_SIS_017	5856	23787	4.06
SLV_SIS_018	5856	23787	4.06
SLV_SIS_019	5856	24058	4.11
SLV_SIS_020	5856	24058	4.11
SLV_SIS_021	5856	23787	4.06
SLV_SIS_022	5856	23787	4.06
SLV_SIS_023	5856	24058	4.11
SLV_SIS_024	5856	24058	4.11
SLV_SIS_033	14410	22684	1.57
SLV_SIS_034	14410	22684	1.57
SLV_SIS_035	14410	22955	1.59
SLV_SIS_036	14410	22955	1.59
SLV_SIS_037	14410	22684	1.57
SLV_SIS_038	14410	22684	1.57
SLV_SIS_039	14410	22955	1.59
SLV_SIS_040	14410	24058	1.67
SLV_SIS_041	5856	23787	4.06
SLV_SIS_042	5856	23787	4.06
SLV_SIS_043	5856	24058	4.11

   	ITINERARIO NAPOLI – BARI RADDOPPIO TRATTA CANCELLO – BENEVENTO I° LOTTO FUNZIONALE CANCELLO - FRASSO TELESINO E VARIANTE ALLA LINEA ROMA-NAPOLI VIA CASSINO NEL COMUNE DI MADDALONI – PROGETTO ESECUTIVO												
Relazione Geotecnica di calcolo delle fondazioni	<table border="1"> <thead> <tr> <th>COMMESSA</th> <th>LOTTO</th> <th>CODIFICA</th> <th>DOCUMENTO</th> <th>REV.</th> <th>FOGLIO</th> </tr> </thead> <tbody> <tr> <td>IF1N</td> <td>01 E ZZ</td> <td>CL</td> <td>VI0300 002</td> <td>D</td> <td>136 di 170</td> </tr> </tbody> </table>	COMMESSA	LOTTO	CODIFICA	DOCUMENTO	REV.	FOGLIO	IF1N	01 E ZZ	CL	VI0300 002	D	136 di 170
COMMESSA	LOTTO	CODIFICA	DOCUMENTO	REV.	FOGLIO								
IF1N	01 E ZZ	CL	VI0300 002	D	136 di 170								

SLV_SIS_044	5856	24058	4.11
SLV_SIS_045	5856	23787	4.06
SLV_SIS_046	5856	23787	4.06
SLV_SIS_047	5856	24058	4.11
SLV_SIS_048	5856	24058	4.11

  	ITINERARIO NAPOLI – BARI RADDOPPIO TRATTA CANCELLO – BENEVENTO I° LOTTO FUNZIONALE CANCELLO - FRASSO TELESINO E VARIANTE ALLA LINEA ROMA-NAPOLI VIA CASSINO NEL COMUNE DI MADDALONI – PROGETTO ESECUTIVO												
Relazione Geotecnica di calcolo delle fondazioni	<table border="1"> <tr> <td>COMMESSA</td> <td>LOTTO</td> <td>CODIFICA</td> <td>DOCUMENTO</td> <td>REV.</td> <td>FOGLIO</td> </tr> <tr> <td>IF1N</td> <td>01 E ZZ</td> <td>CL</td> <td>VI0300 002</td> <td>D</td> <td>137 di 170</td> </tr> </table>	COMMESSA	LOTTO	CODIFICA	DOCUMENTO	REV.	FOGLIO	IF1N	01 E ZZ	CL	VI0300 002	D	137 di 170
COMMESSA	LOTTO	CODIFICA	DOCUMENTO	REV.	FOGLIO								
IF1N	01 E ZZ	CL	VI0300 002	D	137 di 170								

7.3.2 SCATOLARE “A” + SOTTOVIA (LATO CANCELLO)

	N	M _B	M _L	T _B	T _L	H	e _B *	e _L *	B*	L*
	[kN]	[kNm]	[kNm]	[kN]	[kN]	[kN]	[m]	[m]	[m]	[m]
SLU_GEO_001	53299	0	29233	0	-4709	4709	0.00	0.55	13.70	28.85
SLU_GEO_002	58359	3637	-7708	-337	-3013	3032	0.06	0.13	13.58	29.69
SLU_GEO_003	58284	3473	-3691	-306	-3013	3028	0.06	0.06	13.58	29.82
SLU_GEO_004	64108	3473	37057	-306	-3013	3028	0.05	0.58	13.59	28.79
SLU_GEO_005	60972	3473	85206	-306	-3013	3028	0.06	1.40	13.59	27.16
SLU_GEO_006	60972	3473	97233	-306	-3013	3028	0.06	1.59	13.59	26.76
SLU_GEO_007	58359	3637	-7708	-337	-3013	3032	0.06	0.13	13.58	29.69
SLU_GEO_008	58284	3473	-3691	-306	-3013	3028	0.06	0.06	13.58	29.82
SLU_GEO_009	64108	3473	37057	-306	-3013	3028	0.05	0.58	13.59	28.79
SLU_GEO_010	60972	3473	85206	-306	-3013	3028	0.06	1.40	13.59	27.16
SLU_GEO_011	60972	3473	97233	-306	-3013	3028	0.06	1.59	13.59	26.76
SLU_GEO_012	66110	3178	76948	-280	-3013	3026	0.05	1.16	13.60	27.62
SLU_GEO_013	66110	3178	12893	-280	-3013	3026	0.05	0.20	13.60	29.56
SLU_GEO_014	58359	946	-7708	150	-3013	3016	0.02	0.13	13.67	29.69
SLU_GEO_015	58284	782	-3691	180	-3013	3018	0.01	0.06	13.67	29.82
SLU_GEO_016	64108	782	37057	180	-3013	3018	0.01	0.58	13.68	28.79
SLU_GEO_017	60972	782	85206	180	-3013	3018	0.01	1.40	13.67	27.16
SLU_GEO_018	60972	782	97233	180	-3013	3018	0.01	1.59	13.67	26.76
SLU_GEO_019	60972	-2691	97233	486	-3013	3052	0.04	1.59	13.61	26.76
SLU_GEO_020	58359	946	-7708	150	-3013	3016	0.02	0.13	13.67	29.69
SLU_GEO_021	58284	782	-3691	180	-3013	3018	0.01	0.06	13.67	29.82
SLU_GEO_022	64108	782	37057	180	-3013	3018	0.01	0.58	13.68	28.79
SLU_GEO_023	60972	782	85206	180	-3013	3018	0.01	1.40	13.67	27.16
SLU_GEO_024	60972	782	97233	180	-3013	3018	0.01	1.59	13.67	26.76
SLU_GEO_025	66110	487	76948	206	-3013	3020	0.01	1.16	13.69	27.62
SLU_GEO_026	66110	487	12893	206	-3013	3020	0.01	0.20	13.69	29.56
SLU_GEO_027	53299	0	29233	0	-4709	4709	0.00	0.55	13.70	28.85
SLU_GEO_028	53299	0	29233	0	-4709	4709	0.00	0.55	13.70	28.85
SLU_GEO_029	53299	-2691	29233	486	-4709	4734	0.05	0.55	13.60	28.85
SLU_GEO_030	53299	2691	29233	-486	-4709	4734	0.05	0.55	13.60	28.85
SLU_GEO_031	53299	0	29233	0	-4709	4709	0.00	0.55	13.70	28.85
SLU_GEO_032	58359	3637	-7708	-337	-3013	3032	0.06	0.13	13.58	29.69
SLU_GEO_033	58284	3473	-3691	-306	-3013	3028	0.06	0.06	13.58	29.82
SLU_GEO_034	64108	3473	37057	-306	-3013	3028	0.05	0.58	13.59	28.79
SLU_GEO_035	60972	3473	85206	-306	-3013	3028	0.06	1.40	13.59	27.16
SLU_GEO_036	60972	3473	97233	-306	-3013	3028	0.06	1.59	13.59	26.76
SLU_GEO_037	60972	0	97233	0	-3013	3013	0.00	1.59	13.70	26.76
SLU_GEO_038	58359	3637	-7708	-337	-3013	3032	0.06	0.13	13.58	29.69
SLU_GEO_039	58284	3473	-3691	-306	-3013	3028	0.06	0.06	13.58	29.82
SLU_GEO_040	64108	3473	37057	-306	-3013	3028	0.05	0.58	13.59	28.79
SLU_GEO_041	60972	3473	85206	-306	-3013	3028	0.06	1.40	13.59	27.16
SLU_GEO_042	60972	3473	97233	-306	-3013	3028	0.06	1.59	13.59	26.76
SLU_GEO_043	66110	3178	76948	-280	-3013	3026	0.05	1.16	13.60	27.62
SLU_GEO_044	66110	3178	12893	-280	-3013	3026	0.05	0.20	13.60	29.56
SLU_GEO_045	53299	-2691	29233	486	-4709	4734	0.05	0.55	13.60	28.85
SLU_GEO_046	58359	946	-7708	150	-3013	3016	0.02	0.13	13.67	29.69

Relazione Geotecnica di calcolo delle fondazioni

COMMESSA	LOTTO	CODIFICA	DOCUMENTO	REV.	FOGLIO
IF1N	01 E ZZ	CL	VI0300 002	D	138 di 170

SLU_GEO_047	58284	782	-3691	180	-3013	3018	0.01	0.06	13.67	29.82
SLU_GEO_048	64108	782	37057	180	-3013	3018	0.01	0.58	13.68	28.79
SLU_GEO_049	60972	782	85206	180	-3013	3018	0.01	1.40	13.67	27.16
SLU_GEO_050	60972	782	97233	180	-3013	3018	0.01	1.59	13.67	26.76
SLU_GEO_051	60972	-2691	97233	486	-3013	3052	0.04	1.59	13.61	26.76
SLU_GEO_052	58359	946	-7708	150	-3013	3016	0.02	0.13	13.67	29.69
SLU_GEO_053	58284	782	-3691	180	-3013	3018	0.01	0.06	13.67	29.82
SLU_GEO_054	64108	782	37057	180	-3013	3018	0.01	0.58	13.68	28.79
SLU_GEO_055	60972	782	85206	180	-3013	3018	0.01	1.40	13.67	27.16
SLU_GEO_056	60972	782	97233	180	-3013	3018	0.01	1.59	13.67	26.76
SLU_GEO_057	60972	-6164	97233	792	-3013	3115	0.10	1.59	13.50	26.76
SLU_GEO_058	66110	487	76948	206	-3013	3020	0.01	1.16	13.69	27.62
SLU_GEO_059	66110	487	12893	206	-3013	3020	0.01	0.20	13.69	29.56
SLU_GEO_060	54229	0	29233	0	-4709	4709	0.00	0.54	13.70	28.87
SLU_GEO_061	54229	0	29233	0	-4709	4709	0.00	0.54	13.70	28.87
SLU_GEO_062	54229	0	29233	0	-4709	4709	0.00	0.54	13.70	28.87
SLU_GEO_063	53299	0	29233	0	-4709	4709	0.00	0.55	13.70	28.85
SLU_GEO_064	58359	3637	-7708	-337	-3013	3032	0.06	0.13	13.58	29.69
SLU_GEO_065	58284	3473	-3691	-306	-3013	3028	0.06	0.06	13.58	29.82
SLU_GEO_066	64108	3473	37057	-306	-3013	3028	0.05	0.58	13.59	28.79
SLU_GEO_067	60972	3473	85206	-306	-3013	3028	0.06	1.40	13.59	27.16
SLU_GEO_068	60972	3473	97233	-306	-3013	3028	0.06	1.59	13.59	26.76
SLU_GEO_069	66110	3178	76948	-280	-3013	3026	0.05	1.16	13.60	27.62
SLU_GEO_070	66110	3178	12893	-280	-3013	3026	0.05	0.20	13.60	29.56
SLU_GEO_071	58359	3637	-18112	-337	-5262	5273	0.06	0.31	13.58	29.33
SLU_GEO_072	58284	3473	-14094	-306	-5262	5271	0.06	0.24	13.58	29.47
SLU_GEO_073	64108	3473	26654	-306	-5262	5271	0.05	0.42	13.59	29.12
SLU_GEO_074	60972	3473	74803	-306	-5262	5271	0.06	1.23	13.59	27.50
SLU_GEO_075	60972	3473	86830	-306	-5262	5271	0.06	1.42	13.59	27.10
SLU_GEO_076	58359	3637	-18112	-337	-5262	5273	0.06	0.31	13.58	29.33
SLU_GEO_077	58284	3473	-14094	-306	-5262	5271	0.06	0.24	13.58	29.47
SLU_GEO_078	64108	3473	26654	-306	-5262	5271	0.05	0.42	13.59	29.12
SLU_GEO_079	60972	3473	74803	-306	-5262	5271	0.06	1.23	13.59	27.50
SLU_GEO_080	60972	3473	86830	-306	-5262	5271	0.06	1.42	13.59	27.10
SLU_GEO_081	66110	3178	66545	-280	-5262	5270	0.05	1.01	13.60	27.94
SLU_GEO_082	66110	3178	2490	-280	-5262	5270	0.05	0.04	13.60	29.87
SLU_GEO_083	58359	946	-18112	150	-5262	5264	0.02	0.31	13.67	29.33
SLU_GEO_084	58284	782	-14094	180	-5262	5265	0.01	0.24	13.67	29.47
SLU_GEO_085	64108	782	26654	180	-5262	5265	0.01	0.42	13.68	29.12
SLU_GEO_086	60972	782	74803	180	-5262	5265	0.01	1.23	13.67	27.50
SLU_GEO_087	60972	782	86830	180	-5262	5265	0.01	1.42	13.67	27.10
SLU_GEO_088	60972	-2691	86830	486	-5262	5285	0.04	1.42	13.61	27.10
SLU_GEO_089	58359	946	-18112	150	-5262	5264	0.02	0.31	13.67	29.33
SLU_GEO_090	58284	782	-14094	180	-5262	5265	0.01	0.24	13.67	29.47
SLU_GEO_091	64108	782	26654	180	-5262	5265	0.01	0.42	13.68	29.12
SLU_GEO_092	60972	782	74803	180	-5262	5265	0.01	1.23	13.67	27.50
SLU_GEO_093	60972	782	86830	180	-5262	5265	0.01	1.42	13.67	27.10
SLU_GEO_094	66110	487	66545	206	-5262	5266	0.01	1.01	13.69	27.94
SLU_GEO_095	66110	487	2490	206	-5262	5266	0.01	0.04	13.69	29.87

ITINERARIO NAPOLI – BARI

RADDOPPIO TRATTA CANCELLO – BENEVENTO

I° LOTTO FUNZIONALE CANCELLO - FRASSO TELESINO E
VARIANTE ALLA LINEA ROMA-NAPOLI VIA CASSINO NEL
COMUNE DI MADDALONI – PROGETTO ESECUTIVO

Relazione Geotecnica di calcolo delle fondazioni

COMMESSA	LOTTO	CODIFICA	DOCUMENTO	REV.	FOGLIO
IF1N	01 E ZZ	CL	VI0300 002	D	139 di 170

SLU_GEO_096	53299	0	18830	0	-6958	6958	0.00	0.35	13.70	29.24
SLU_GEO_097	53299	0	18830	0	-6958	6958	0.00	0.35	13.70	29.24
SLU_GEO_098	53299	-2691	18830	486	-6958	6975	0.05	0.35	13.60	29.24
SLU_GEO_099	53299	2691	18830	-486	-6958	6975	0.05	0.35	13.60	29.24
SLU_GEO_100	53299	0	18830	0	-6958	6958	0.00	0.35	13.70	29.24
SLU_GEO_101	58359	3637	-18112	-337	-5262	5273	0.06	0.31	13.58	29.33
SLU_GEO_102	58284	3473	-14094	-306	-5262	5271	0.06	0.24	13.58	29.47
SLU_GEO_103	64108	3473	26654	-306	-5262	5271	0.05	0.42	13.59	29.12
SLU_GEO_104	60972	3473	74803	-306	-5262	5271	0.06	1.23	13.59	27.50
SLU_GEO_105	60972	3473	86830	-306	-5262	5271	0.06	1.42	13.59	27.10
SLU_GEO_106	60972	0	86830	0	-5262	5262	0.00	1.42	13.70	27.10
SLU_GEO_107	58359	3637	-18112	-337	-5262	5273	0.06	0.31	13.58	29.33
SLU_GEO_108	58284	3473	-14094	-306	-5262	5271	0.06	0.24	13.58	29.47
SLU_GEO_109	64108	3473	26654	-306	-5262	5271	0.05	0.42	13.59	29.12
SLU_GEO_110	60972	3473	74803	-306	-5262	5271	0.06	1.23	13.59	27.50
SLU_GEO_111	60972	3473	86830	-306	-5262	5271	0.06	1.42	13.59	27.10
SLU_GEO_112	66110	3178	66545	-280	-5262	5270	0.05	1.01	13.60	27.94
SLU_GEO_113	66110	3178	2490	-280	-5262	5270	0.05	0.04	13.60	29.87
SLU_GEO_114	53299	-2691	18830	486	-6958	6975	0.05	0.35	13.60	29.24
SLU_GEO_115	58359	946	-18112	150	-5262	5264	0.02	0.31	13.67	29.33
SLU_GEO_116	58284	782	-14094	180	-5262	5265	0.01	0.24	13.67	29.47
SLU_GEO_117	64108	782	26654	180	-5262	5265	0.01	0.42	13.68	29.12
SLU_GEO_118	60972	782	74803	180	-5262	5265	0.01	1.23	13.67	27.50
SLU_GEO_119	60972	782	86830	180	-5262	5265	0.01	1.42	13.67	27.10
SLU_GEO_120	60972	-2691	86830	486	-5262	5285	0.04	1.42	13.61	27.10
SLU_GEO_121	58359	946	-18112	150	-5262	5264	0.02	0.31	13.67	29.33
SLU_GEO_122	58284	782	-14094	180	-5262	5265	0.01	0.24	13.67	29.47
SLU_GEO_123	64108	782	26654	180	-5262	5265	0.01	0.42	13.68	29.12
SLU_GEO_124	60972	782	74803	180	-5262	5265	0.01	1.23	13.67	27.50
SLU_GEO_125	60972	782	86830	180	-5262	5265	0.01	1.42	13.67	27.10
SLU_GEO_126	60972	-6164	86830	792	-5262	5321	0.10	1.42	13.50	27.10
SLU_GEO_127	66110	487	66545	206	-5262	5266	0.01	1.01	13.69	27.94
SLU_GEO_128	66110	487	2490	206	-5262	5266	0.01	0.04	13.69	29.87
SLU_GEO_129	54229	0	18830	0	-6958	6958	0.00	0.35	13.70	29.26
SLU_GEO_130	54229	0	18830	0	-6958	6958	0.00	0.35	13.70	29.26
SLU_GEO_131	54229	0	18830	0	-6958	6958	0.00	0.35	13.70	29.26
SLU_GEO_132	58359	3637	-18112	-337	-5262	5273	0.06	0.31	13.58	29.33
SLU_GEO_133	58284	3473	-14094	-306	-5262	5271	0.06	0.24	13.58	29.47
SLU_GEO_134	64108	3473	26654	-306	-5262	5271	0.05	0.42	13.59	29.12
SLU_GEO_135	60972	3473	74803	-306	-5262	5271	0.06	1.23	13.59	27.50
SLU_GEO_136	60972	3473	86830	-306	-5262	5271	0.06	1.42	13.59	27.10
SLU_GEO_137	66110	3178	66545	-280	-5262	5270	0.05	1.01	13.60	27.94
SLU_GEO_138	66110	3178	2490	-280	-5262	5270	0.05	0.04	13.60	29.87

Relazione Geotecnica di calcolo delle fondazioni

COMMESSA	LOTTO	CODIFICA	DOCUMENTO	REV.	FOGLIO
IF1N	01 E ZZ	CL	VI0300 002	D	140 di 170

	<u>Carico agente</u>	<u>Azione Resistente</u>	FS
	Hd [kN]	$S_d = N \tan(\varphi') + c' B^* L^*$ [kN]	
SLU_GEO_001	4709	24618	5.23
SLU_GEO_002	3032	26955	8.89
SLU_GEO_003	3028	26920	8.89
SLU_GEO_004	3028	29610	9.78
SLU_GEO_005	3028	28162	9.30
SLU_GEO_006	3028	28162	9.30
SLU_GEO_007	3032	26955	8.89
SLU_GEO_008	3028	26920	8.89
SLU_GEO_009	3028	29610	9.78
SLU_GEO_010	3028	28162	9.30
SLU_GEO_011	3028	28162	9.30
SLU_GEO_012	3026	30535	10.09
SLU_GEO_013	3026	30535	10.09
SLU_GEO_014	3016	26955	8.94
SLU_GEO_015	3018	26920	8.92
SLU_GEO_016	3018	29610	9.81
SLU_GEO_017	3018	28162	9.33
SLU_GEO_018	3018	28162	9.33
SLU_GEO_019	3052	28162	9.23
SLU_GEO_020	3016	26955	8.94
SLU_GEO_021	3018	26920	8.92
SLU_GEO_022	3018	29610	9.81
SLU_GEO_023	3018	28162	9.33
SLU_GEO_024	3018	28162	9.33
SLU_GEO_025	3020	30535	10.11
SLU_GEO_026	3020	30535	10.11
SLU_GEO_027	4709	24618	5.23
SLU_GEO_028	4709	24618	5.23
SLU_GEO_029	4734	24618	5.20
SLU_GEO_030	4734	24618	5.20
SLU_GEO_031	4709	24618	5.23
SLU_GEO_032	3032	26955	8.89
SLU_GEO_033	3028	26920	8.89
SLU_GEO_034	3028	29610	9.78
SLU_GEO_035	3028	28162	9.30
SLU_GEO_036	3028	28162	9.30
SLU_GEO_037	3013	28162	9.35
SLU_GEO_038	3032	26955	8.89
SLU_GEO_039	3028	26920	8.89
SLU_GEO_040	3028	29610	9.78
SLU_GEO_041	3028	28162	9.30
SLU_GEO_042	3028	28162	9.30
SLU_GEO_043	3026	30535	10.09
SLU_GEO_044	3026	30535	10.09

Relazione Geotecnica di calcolo delle fondazioni

COMMESSA	LOTTO	CODIFICA	DOCUMENTO	REV.	FOGLIO
IF1N	01 E ZZ	CL	VI0300 002	D	141 di 170

SLU_GEO_045	4734	24618	5.20
SLU_GEO_046	3016	26955	8.94
SLU_GEO_047	3018	26920	8.92
SLU_GEO_048	3018	29610	9.81
SLU_GEO_049	3018	28162	9.33
SLU_GEO_050	3018	28162	9.33
SLU_GEO_051	3052	28162	9.23
SLU_GEO_052	3016	26955	8.94
SLU_GEO_053	3018	26920	8.92
SLU_GEO_054	3018	29610	9.81
SLU_GEO_055	3018	28162	9.33
SLU_GEO_056	3018	28162	9.33
SLU_GEO_057	3115	28162	9.04
SLU_GEO_058	3020	30535	10.11
SLU_GEO_059	3020	30535	10.11
SLU_GEO_060	4709	25047	5.32
SLU_GEO_061	4709	25047	5.32
SLU_GEO_062	4709	25047	5.32
SLU_GEO_063	4709	24618	5.23
SLU_GEO_064	3032	26955	8.89
SLU_GEO_065	3028	26920	8.89
SLU_GEO_066	3028	29610	9.78
SLU_GEO_067	3028	28162	9.30
SLU_GEO_068	3028	28162	9.30
SLU_GEO_069	3026	30535	10.09
SLU_GEO_070	3026	30535	10.09
SLU_GEO_071	5273	26955	5.11
SLU_GEO_072	5271	26920	5.11
SLU_GEO_073	5271	29610	5.62
SLU_GEO_074	5271	28162	5.34
SLU_GEO_075	5271	28162	5.34
SLU_GEO_076	5273	26955	5.11
SLU_GEO_077	5271	26920	5.11
SLU_GEO_078	5271	29610	5.62
SLU_GEO_079	5271	28162	5.34
SLU_GEO_080	5271	28162	5.34
SLU_GEO_081	5270	30535	5.79
SLU_GEO_082	5270	30535	5.79
SLU_GEO_083	5264	26955	5.12
SLU_GEO_084	5265	26920	5.11
SLU_GEO_085	5265	29610	5.62
SLU_GEO_086	5265	28162	5.35
SLU_GEO_087	5265	28162	5.35
SLU_GEO_088	5285	28162	5.33
SLU_GEO_089	5264	26955	5.12
SLU_GEO_090	5265	26920	5.11
SLU_GEO_091	5265	29610	5.62
SLU_GEO_092	5265	28162	5.35
SLU_GEO_093	5265	28162	5.35

Relazione Geotecnica di calcolo delle fondazioni

COMMESSA	LOTTO	CODIFICA	DOCUMENTO	REV.	FOGLIO
IF1N	01 E ZZ	CL	VI0300 002	D	142 di 170

SLU_GEO_094	5266	30535	5.80
SLU_GEO_095	5266	30535	5.80
SLU_GEO_096	6958	24618	3.54
SLU_GEO_097	6958	24618	3.54
SLU_GEO_098	6975	24618	3.53
SLU_GEO_099	6975	24618	3.53
SLU_GEO_100	6958	24618	3.54
SLU_GEO_101	5273	26955	5.11
SLU_GEO_102	5271	26920	5.11
SLU_GEO_103	5271	29610	5.62
SLU_GEO_104	5271	28162	5.34
SLU_GEO_105	5271	28162	5.34
SLU_GEO_106	5262	28162	5.35
SLU_GEO_107	5273	26955	5.11
SLU_GEO_108	5271	26920	5.11
SLU_GEO_109	5271	29610	5.62
SLU_GEO_110	5271	28162	5.34
SLU_GEO_111	5271	28162	5.34
SLU_GEO_112	5270	30535	5.79
SLU_GEO_113	5270	30535	5.79
SLU_GEO_114	6975	24618	3.53
SLU_GEO_115	5264	26955	5.12
SLU_GEO_116	5265	26920	5.11
SLU_GEO_117	5265	29610	5.62
SLU_GEO_118	5265	28162	5.35
SLU_GEO_119	5265	28162	5.35
SLU_GEO_120	5285	28162	5.33
SLU_GEO_121	5264	26955	5.12
SLU_GEO_122	5265	26920	5.11
SLU_GEO_123	5265	29610	5.62
SLU_GEO_124	5265	28162	5.35
SLU_GEO_125	5265	28162	5.35
SLU_GEO_126	5321	28162	5.29
SLU_GEO_127	5266	30535	5.80
SLU_GEO_128	5266	30535	5.80
SLU_GEO_129	6958	25047	3.60
SLU_GEO_130	6958	25047	3.60
SLU_GEO_131	6958	25047	3.60
SLU_GEO_132	5273	26955	5.11
SLU_GEO_133	5271	26920	5.11
SLU_GEO_134	5271	29610	5.62
SLU_GEO_135	5271	28162	5.34
SLU_GEO_136	5271	28162	5.34
SLU_GEO_137	5270	30535	5.79
SLU_GEO_138	5270	30535	5.79

Relazione Geotecnica di calcolo delle fondazioni

COMMESSA	LOTTO	CODIFICA	DOCUMENTO	REV.	FOGLIO
IF1N	01 E ZZ	CL	VI0300 002	D	143 di 170

	N	M _B	M _L	T _B	T _L	H	e _B *	e _L *	B*	L*
	[kN]	[kNm]	[kNm]	[kN]	[kN]	[kN]	[m]	[m]	[m]	[m]
SLV_SIS_029	53665	75441	1224	-15353	-9302	17951	1.41	0.02	10.89	29.90
SLV_SIS_030	53665	75441	1224	-15353	-9302	17951	1.41	0.02	10.89	29.90
SLV_SIS_031	53655	75420	1749	-15349	-9302	17948	1.41	0.03	10.89	29.88
SLV_SIS_032	53655	75420	1749	-15349	-9302	17948	1.41	0.03	10.89	29.88
SLV_SIS_033	54417	75420	7076	-15349	-9302	17948	1.39	0.13	10.93	29.69
SLV_SIS_034	54417	75420	7076	-15349	-9302	17948	1.39	0.13	10.93	29.69
SLV_SIS_035	54007	75420	13370	-15349	-9302	17948	1.40	0.25	10.91	29.45
SLV_SIS_036	54007	75420	13370	-15349	-9302	17948	1.40	0.25	10.91	29.45
SLV_SIS_037	54007	75420	14942	-15349	-9302	17948	1.40	0.28	10.91	29.40
SLV_SIS_038	54007	75420	14942	-15349	-9302	17948	1.40	0.28	10.91	29.40
SLV_SIS_039	54834	75420	12679	-15349	-9302	17948	1.38	0.23	10.95	29.49
SLV_SIS_040	54834	75420	12679	-15349	-9302	17948	1.38	0.23	10.95	29.49
SLV_SIS_041	54834	75461	3528	-15353	-9302	17951	1.38	0.06	10.95	29.82
SLV_SIS_042	54834	75461	3528	-15353	-9302	17951	1.38	0.06	10.95	29.82
SLV_SIS_043	56749	22965	4188	-4637	-9302	10393	0.40	0.07	12.89	29.80
SLV_SIS_044	56749	22965	4188	-4637	-9302	10393	0.40	0.07	12.89	29.80
SLV_SIS_045	56739	22944	4713	-4633	-9302	10391	0.40	0.08	12.89	29.78
SLV_SIS_046	56739	22944	4713	-4633	-9302	10391	0.40	0.08	12.89	29.78
SLV_SIS_047	57500	22944	10040	-4633	-9302	10391	0.40	0.17	12.90	29.60
SLV_SIS_048	57500	22944	10040	-4633	-9302	10391	0.40	0.17	12.90	29.60
SLV_SIS_049	57091	22944	16334	-4633	-9302	10391	0.40	0.29	12.90	29.38
SLV_SIS_050	57091	22944	16334	-4633	-9302	10391	0.40	0.29	12.90	29.38
SLV_SIS_051	57091	22944	17906	-4633	-9302	10391	0.40	0.31	12.90	29.32
SLV_SIS_052	57091	22944	17906	-4633	-9302	10391	0.40	0.31	12.90	29.32
SLV_SIS_053	57918	22944	15643	-4633	-9302	10391	0.40	0.27	12.91	29.41
SLV_SIS_054	57918	22944	15643	-4633	-9302	10391	0.40	0.27	12.91	29.41
SLV_SIS_055	57918	22985	6492	-4637	-9302	10393	0.40	0.11	12.91	29.73
SLV_SIS_056	57918	22985	6492	-4637	-9302	10393	0.40	0.11	12.91	29.73
SLV_SIS_084	54834	-21995	100984	4549	10600	11535	0.40	1.84	12.90	26.27
SLV_SIS_085	53665	-74490	46203	15265	-116	15266	1.39	0.86	10.92	28.23
SLV_SIS_086	53665	-74490	46203	15265	-116	15266	1.39	0.86	10.92	28.23
SLV_SIS_087	53655	-74512	46729	15269	-116	15270	1.39	0.87	10.92	28.21
SLV_SIS_088	53655	-74512	46729	15269	-116	15270	1.39	0.87	10.92	28.21
SLV_SIS_089	54417	-74512	52055	15269	-116	15270	1.37	0.96	10.96	28.04
SLV_SIS_090	54417	-74512	52055	15269	-116	15270	1.37	0.96	10.96	28.04
SLV_SIS_091	54007	-74512	58349	15269	-116	15270	1.38	1.08	10.94	27.79
SLV_SIS_092	54007	-74512	58349	15269	-116	15270	1.38	1.08	10.94	27.79
SLV_SIS_093	54007	-74512	59921	15269	-116	15270	1.38	1.11	10.94	27.73
SLV_SIS_094	54007	-74512	59921	15269	-116	15270	1.38	1.11	10.94	27.73
SLV_SIS_095	54834	-74512	57658	15269	-116	15270	1.36	1.05	10.98	27.85
SLV_SIS_096	54834	-74512	57658	15269	-116	15270	1.36	1.05	10.98	27.85
SLV_SIS_097	54834	-74471	48508	15265	-116	15266	1.36	0.88	10.98	28.18
SLV_SIS_098	54834	-74471	48508	15265	-116	15266	1.36	0.88	10.98	28.18
SLV_SIS_099	56749	-22014	49168	4549	-116	4550	0.39	0.87	12.92	28.22
SLV_SIS_100	56749	-22014	49168	4549	-116	4550	0.39	0.87	12.92	28.22
SLV_SIS_101	56739	-22036	49693	4553	-116	4554	0.39	0.88	12.92	28.20

Relazione Geotecnica di calcolo delle fondazioni

COMMESSA	LOTTO	CODIFICA	DOCUMENTO	REV.	FOGLIO
IF1N	01 E ZZ	CL	VI0300 002	D	144 di 170

SLV_SIS_102	56739	-22036	49693	4553	-116	4554	0.39	0.88	12.92	28.20
SLV_SIS_103	57500	-22036	55019	4553	-116	4554	0.38	0.96	12.93	28.04
SLV_SIS_104	57500	-22036	55019	4553	-116	4554	0.38	0.96	12.93	28.04
SLV_SIS_105	57091	-22036	61313	4553	-116	4554	0.39	1.07	12.93	27.80
SLV_SIS_106	57091	-22036	61313	4553	-116	4554	0.39	1.07	12.93	27.80
SLV_SIS_107	57091	-22036	62885	4553	-116	4554	0.39	1.10	12.93	27.75
SLV_SIS_108	57091	-22036	62885	4553	-116	4554	0.39	1.10	12.93	27.75
SLV_SIS_109	57918	-22036	60623	4553	-116	4554	0.38	1.05	12.94	27.86
SLV_SIS_110	57918	-22036	60623	4553	-116	4554	0.38	1.05	12.94	27.86
SLV_SIS_111	57918	-21995	51472	4549	-116	4550	0.38	0.89	12.94	28.17
SLV_SIS_112	57918	-21995	51472	4549	-116	4550	0.38	0.89	12.94	28.17
SLV_SIS_141	53665	75441	-18983	-15353	-13671	20557	1.41	0.35	10.89	29.24
SLV_SIS_142	53665	75441	-18983	-15353	-13671	20557	1.41	0.35	10.89	29.24
SLV_SIS_143	53655	75420	-18458	-15349	-13671	20554	1.41	0.34	10.89	29.26
SLV_SIS_144	53655	75420	-18458	-15349	-13671	20554	1.41	0.34	10.89	29.26
SLV_SIS_145	54417	75420	-13131	-15349	-13671	20554	1.39	0.24	10.93	29.47
SLV_SIS_146	54417	75420	-13131	-15349	-13671	20554	1.39	0.24	10.93	29.47
SLV_SIS_147	54007	75420	-6837	-15349	-13671	20554	1.40	0.13	10.91	29.70
SLV_SIS_148	54007	75420	-6837	-15349	-13671	20554	1.40	0.13	10.91	29.70
SLV_SIS_149	54007	75420	-5265	-15349	-13671	20554	1.40	0.10	10.91	29.76
SLV_SIS_150	54007	75420	-5265	-15349	-13671	20554	1.40	0.10	10.91	29.76
SLV_SIS_151	54834	75420	-7528	-15349	-13671	20554	1.38	0.14	10.95	29.68
SLV_SIS_152	54834	75420	-7528	-15349	-13671	20554	1.38	0.14	10.95	29.68
SLV_SIS_153	54834	75461	-16679	-15353	-13671	20557	1.38	0.30	10.95	29.34
SLV_SIS_154	54834	75461	-16679	-15353	-13671	20557	1.38	0.30	10.95	29.34
SLV_SIS_155	56749	22965	-16019	-4637	-13671	14436	0.40	0.28	12.89	29.39
SLV_SIS_156	56749	22965	-16019	-4637	-13671	14436	0.40	0.28	12.89	29.39
SLV_SIS_157	56739	22944	-15494	-4633	-13671	14434	0.40	0.27	12.89	29.40
SLV_SIS_158	56739	22944	-15494	-4633	-13671	14434	0.40	0.27	12.89	29.40
SLV_SIS_159	57500	22944	-10167	-4633	-13671	14434	0.40	0.18	12.90	29.60
SLV_SIS_160	57500	22944	-10167	-4633	-13671	14434	0.40	0.18	12.90	29.60
SLV_SIS_161	57091	22944	-3873	-4633	-13671	14434	0.40	0.07	12.90	29.81
SLV_SIS_162	57091	22944	-3873	-4633	-13671	14434	0.40	0.07	12.90	29.81
SLV_SIS_163	57091	22944	-2301	-4633	-13671	14434	0.40	0.04	12.90	29.87
SLV_SIS_164	57091	22944	-2301	-4633	-13671	14434	0.40	0.04	12.90	29.87
SLV_SIS_165	57918	22944	-4564	-4633	-13671	14434	0.40	0.08	12.91	29.79
SLV_SIS_166	57918	22944	-4564	-4633	-13671	14434	0.40	0.08	12.91	29.79
SLV_SIS_167	57918	22985	-13714	-4637	-13671	14436	0.40	0.24	12.91	29.48
SLV_SIS_168	57918	22985	-13714	-4637	-13671	14436	0.40	0.24	12.91	29.48
SLV_SIS_197	53665	-74490	25997	15265	-4485	15910	1.39	0.48	10.92	28.98
SLV_SIS_198	53665	-74490	25997	15265	-4485	15910	1.39	0.48	10.92	28.98
SLV_SIS_199	53655	-74512	26522	15269	-4485	15914	1.39	0.49	10.92	28.96
SLV_SIS_200	53655	-74512	26522	15269	-4485	15914	1.39	0.49	10.92	28.96
SLV_SIS_201	54417	-74512	31848	15269	-4485	15914	1.37	0.59	10.96	28.78
SLV_SIS_202	54417	-74512	31848	15269	-4485	15914	1.37	0.59	10.96	28.78
SLV_SIS_203	54007	-74512	38142	15269	-4485	15914	1.38	0.71	10.94	28.54
SLV_SIS_204	54007	-74512	38142	15269	-4485	15914	1.38	0.71	10.94	28.54
SLV_SIS_205	54007	-74512	39714	15269	-4485	15914	1.38	0.74	10.94	28.48
SLV_SIS_206	54007	-74512	39714	15269	-4485	15914	1.38	0.74	10.94	28.48

  	ITINERARIO NAPOLI – BARI RADDOPPIO TRATTA CANCELLO – BENEVENTO I° LOTTO FUNZIONALE CANCELLO - FRASSO TELESINO E VARIANTE ALLA LINEA ROMA-NAPOLI VIA CASSINO NEL COMUNE DI MADDALONI – PROGETTO ESECUTIVO					
	Relazione Geotecnica di calcolo delle fondazioni	COMMESSA IF1N	LOTTO 01 E ZZ	CODIFICA CL	DOCUMENTO VI0300 002	REV. D

SLV_SIS_207	54834	-74512	37452	15269	-4485	15914	1.36	0.68	10.98	28.58
SLV_SIS_208	54834	-74512	37452	15269	-4485	15914	1.36	0.68	10.98	28.58
SLV_SIS_209	54834	-74471	28301	15265	-4485	15910	1.36	0.52	10.98	28.92
SLV_SIS_210	54834	-74471	28301	15265	-4485	15910	1.36	0.52	10.98	28.92
SLV_SIS_211	56749	-22014	28961	4549	-4485	6388	0.39	0.51	12.92	28.93
SLV_SIS_212	56749	-22014	28961	4549	-4485	6388	0.39	0.51	12.92	28.93
SLV_SIS_213	56739	-22036	29486	4553	-4485	6391	0.39	0.52	12.92	28.91
SLV_SIS_214	56739	-22036	29486	4553	-4485	6391	0.39	0.52	12.92	28.91
SLV_SIS_215	57500	-22036	34813	4553	-4485	6391	0.38	0.61	12.93	28.74
SLV_SIS_216	57500	-22036	34813	4553	-4485	6391	0.38	0.61	12.93	28.74
SLV_SIS_217	57091	-22036	41106	4553	-4485	6391	0.39	0.72	12.93	28.51
SLV_SIS_218	57091	-22036	41106	4553	-4485	6391	0.39	0.72	12.93	28.51
SLV_SIS_219	57091	-22036	42679	4553	-4485	6391	0.39	0.75	12.93	28.45
SLV_SIS_220	57091	-22036	42679	4553	-4485	6391	0.39	0.75	12.93	28.45
SLV_SIS_221	57918	-22036	40416	4553	-4485	6391	0.38	0.70	12.94	28.55
SLV_SIS_222	57918	-22036	40416	4553	-4485	6391	0.38	0.70	12.94	28.55
SLV_SIS_223	57918	-21995	31265	4549	-4485	6388	0.38	0.54	12.94	28.87
SLV_SIS_224	57918	-21995	31265	4549	-4485	6388	0.38	0.54	12.94	28.87

	<u>Carico agente</u>	<u>Azione Resistente</u>	
	Hd	Sd = N tan(φ') + c' B* L*	FS
	[kN]	[kN]	[-]
SLV_SIS_029	17951	24787	1.38
SLV_SIS_030	17951	24787	1.38
SLV_SIS_031	17948	24782	1.38
SLV_SIS_032	17948	24782	1.38
SLV_SIS_033	17948	25134	1.40
SLV_SIS_034	17948	25134	1.40
SLV_SIS_035	17948	24945	1.39
SLV_SIS_036	17948	24945	1.39
SLV_SIS_037	17948	24945	1.39
SLV_SIS_038	17948	24945	1.39
SLV_SIS_039	17948	25327	1.41
SLV_SIS_040	17948	25327	1.41
SLV_SIS_041	17951	25327	1.41
SLV_SIS_042	17951	25327	1.41
SLV_SIS_043	10393	26211	2.52
SLV_SIS_044	10393	26211	2.52
SLV_SIS_045	10391	26207	2.52
SLV_SIS_046	10391	26207	2.52
SLV_SIS_047	10391	26558	2.56
SLV_SIS_048	10391	26558	2.56
SLV_SIS_049	10391	26369	2.54
SLV_SIS_050	10391	26369	2.54
SLV_SIS_051	10391	26369	2.54
SLV_SIS_052	10391	26369	2.54
SLV_SIS_053	10391	26751	2.57
SLV_SIS_054	10391	26751	2.57

Relazione Geotecnica di calcolo delle fondazioni

COMMESSA	LOTTO	CODIFICA	DOCUMENTO	REV.	FOGLIO
IF1N	01 E ZZ	CL	VI0300 002	D	146 di 170

SLV_SIS_055	10393	26751	2.57
SLV_SIS_056	10393	26751	2.57
SLV_SIS_084	11535	25327	2.20
SLV_SIS_085	15266	24787	1.62
SLV_SIS_086	15266	24787	1.62
SLV_SIS_087	15270	24782	1.62
SLV_SIS_088	15270	24782	1.62
SLV_SIS_089	15270	25134	1.65
SLV_SIS_090	15270	25134	1.65
SLV_SIS_091	15270	24945	1.63
SLV_SIS_092	15270	24945	1.63
SLV_SIS_093	15270	24945	1.63
SLV_SIS_094	15270	24945	1.63
SLV_SIS_095	15270	25327	1.66
SLV_SIS_096	15270	25327	1.66
SLV_SIS_097	15266	25327	1.66
SLV_SIS_098	15266	25327	1.66
SLV_SIS_099	4550	26211	5.76
SLV_SIS_100	4550	26211	5.76
SLV_SIS_101	4554	26207	5.75
SLV_SIS_102	4554	26207	5.75
SLV_SIS_103	4554	26558	5.83
SLV_SIS_104	4554	26558	5.83
SLV_SIS_105	4554	26369	5.79
SLV_SIS_106	4554	26369	5.79
SLV_SIS_107	4554	26369	5.79
SLV_SIS_108	4554	26369	5.79
SLV_SIS_109	4554	26751	5.87
SLV_SIS_110	4554	26751	5.87
SLV_SIS_111	4550	26751	5.88
SLV_SIS_112	4550	26751	5.88
SLV_SIS_141	20557	24787	1.21
SLV_SIS_142	20557	24787	1.21
SLV_SIS_143	20554	24782	1.21
SLV_SIS_144	20554	24782	1.21
SLV_SIS_145	20554	25134	1.22
SLV_SIS_146	20554	25134	1.22
SLV_SIS_147	20554	24945	1.21
SLV_SIS_148	20554	24945	1.21
SLV_SIS_149	20554	24945	1.21
SLV_SIS_150	20554	24945	1.21
SLV_SIS_151	20554	25327	1.23
SLV_SIS_152	20554	25327	1.23
SLV_SIS_153	20557	25327	1.23
SLV_SIS_154	20557	25327	1.23
SLV_SIS_155	14436	26211	1.82
SLV_SIS_156	14436	26211	1.82
SLV_SIS_157	14434	26207	1.82
SLV_SIS_158	14434	26207	1.82

Relazione Geotecnica di calcolo delle fondazioni

COMMESSA	LOTTO	CODIFICA	DOCUMENTO	REV.	FOGLIO
IF1N	01 E ZZ	CL	VI0300 002	D	147 di 170

SLV_SIS_159	14434	26558	1.84
SLV_SIS_160	14434	26558	1.84
SLV_SIS_161	14434	26369	1.83
SLV_SIS_162	14434	26369	1.83
SLV_SIS_163	14434	26369	1.83
SLV_SIS_164	14434	26369	1.83
SLV_SIS_165	14434	26751	1.85
SLV_SIS_166	14434	26751	1.85
SLV_SIS_167	14436	26751	1.85
SLV_SIS_168	14436	26751	1.85
SLV_SIS_197	15910	24787	1.56
SLV_SIS_198	15910	24787	1.56
SLV_SIS_199	15914	24782	1.56
SLV_SIS_200	15914	24782	1.56
SLV_SIS_201	15914	25134	1.58
SLV_SIS_202	15914	25134	1.58
SLV_SIS_203	15914	24945	1.57
SLV_SIS_204	15914	24945	1.57
SLV_SIS_205	15914	24945	1.57
SLV_SIS_206	15914	24945	1.57
SLV_SIS_207	15914	25327	1.59
SLV_SIS_208	15914	25327	1.59
SLV_SIS_209	15910	25327	1.59
SLV_SIS_210	15910	25327	1.59
SLV_SIS_211	6388	26211	4.10
SLV_SIS_212	6388	26211	4.10
SLV_SIS_213	6391	26207	4.10
SLV_SIS_214	6391	26207	4.10
SLV_SIS_215	6391	26558	4.16
SLV_SIS_216	6391	26558	4.16
SLV_SIS_217	6391	26369	4.13
SLV_SIS_218	6391	26369	4.13
SLV_SIS_219	6391	26369	4.13
SLV_SIS_220	6391	26369	4.13
SLV_SIS_221	6391	26751	4.19
SLV_SIS_222	6391	26751	4.19
SLV_SIS_223	6388	26751	4.19
SLV_SIS_224	6388	26751	4.19

  	ITINERARIO NAPOLI – BARI RADDOPPIO TRATTA CANCELLO – BENEVENTO I° LOTTO FUNZIONALE CANCELLO - FRASSO TELESINO E VARIANTE ALLA LINEA ROMA-NAPOLI VIA CASSINO NEL COMUNE DI MADDALONI – PROGETTO ESECUTIVO					
	Relazione Geotecnica di calcolo delle fondazioni	COMMESSA IF1N	LOTTO 01 E ZZ	CODIFICA CL	DOCUMENTO VI0300 002	REV. D

7.3.3 SCATOLARE “B” (LATO BENEVENTO)

	N	M _B	M _L	T _B	T _L	H	e _B *	e _L *	B*	L*
	[kN]	[kNm]	[kNm]	[kN]	[kN]	[kN]	[m]	[m]	[m]	[m]
SLU_GEO_001	38504	0	-12465	0	-4709	4709	0.00	0.32	13.70	19.35
SLU_GEO_002	38504	0	-2415	0	-3622	3622	0.00	0.06	13.70	19.87
SLU_GEO_003	38504	0	-2415	0	-3622	3622	0.00	0.06	13.70	19.87
SLU_GEO_004	46177	3473	-14441	-306	-3622	3635	0.08	0.31	13.55	19.37
SLU_GEO_005	46177	3473	-2415	-306	-3622	3635	0.08	0.05	13.55	19.90
SLU_GEO_006	46177	3473	9611	-306	-3622	3635	0.08	0.21	13.55	19.58
SLU_GEO_007	38504	0	-2415	0	-3622	3622	0.00	0.06	13.70	19.87
SLU_GEO_008	38504	0	-2415	0	-3622	3622	0.00	0.06	13.70	19.87
SLU_GEO_009	46177	3473	-14441	-306	-3622	3635	0.08	0.31	13.55	19.37
SLU_GEO_010	46177	3473	-2415	-306	-3622	3635	0.08	0.05	13.55	19.90
SLU_GEO_011	46177	3473	9611	-306	-3622	3635	0.08	0.21	13.55	19.58
SLU_GEO_012	48496	3178	-2415	-280	-3622	3633	0.07	0.05	13.57	19.90
SLU_GEO_013	45934	0	-20991	0	-3622	3622	0.00	0.46	13.70	19.09
SLU_GEO_014	38504	-2239	-2415	417	-3622	3646	0.06	0.06	13.58	19.87
SLU_GEO_015	38504	-2239	-2415	417	-3622	3646	0.06	0.06	13.58	19.87
SLU_GEO_016	46177	1234	-14441	111	-3622	3624	0.03	0.31	13.65	19.37
SLU_GEO_017	46177	1234	-2415	111	-3622	3624	0.03	0.05	13.65	19.90
SLU_GEO_018	46177	1234	9611	111	-3622	3624	0.03	0.21	13.65	19.58
SLU_GEO_019	46177	-2239	9611	417	-3622	3646	0.05	0.21	13.60	19.58
SLU_GEO_020	38504	-2239	-2415	417	-3622	3646	0.06	0.06	13.58	19.87
SLU_GEO_021	38504	-2239	-2415	417	-3622	3646	0.06	0.06	13.58	19.87
SLU_GEO_022	46177	1234	-14441	111	-3622	3624	0.03	0.31	13.65	19.37
SLU_GEO_023	46177	1234	-2415	111	-3622	3624	0.03	0.05	13.65	19.90
SLU_GEO_024	46177	1234	9611	111	-3622	3624	0.03	0.21	13.65	19.58
SLU_GEO_025	48496	939	-2415	137	-3622	3625	0.02	0.05	13.66	19.90
SLU_GEO_026	45934	-2239	-20991	417	-3622	3646	0.05	0.46	13.60	19.09
SLU_GEO_027	38504	0	-12465	0	-4709	4709	0.00	0.32	13.70	19.35
SLU_GEO_028	38504	0	-12465	0	-4709	4709	0.00	0.32	13.70	19.35
SLU_GEO_029	38504	-2239	-12465	417	-4709	4727	0.06	0.32	13.58	19.35
SLU_GEO_030	38504	2239	-12465	-417	-4709	4727	0.06	0.32	13.58	19.35
SLU_GEO_031	38504	0	-12465	0	-4709	4709	0.00	0.32	13.70	19.35
SLU_GEO_032	38504	0	-2415	0	-3622	3622	0.00	0.06	13.70	19.87
SLU_GEO_033	38504	0	-2415	0	-3622	3622	0.00	0.06	13.70	19.87
SLU_GEO_034	46177	3473	-14441	-306	-3622	3635	0.08	0.31	13.55	19.37
SLU_GEO_035	46177	3473	-2415	-306	-3622	3635	0.08	0.05	13.55	19.90
SLU_GEO_036	46177	3473	9611	-306	-3622	3635	0.08	0.21	13.55	19.58
SLU_GEO_037	46177	0	9611	0	-3622	3622	0.00	0.21	13.70	19.58
SLU_GEO_038	38504	0	-2415	0	-3622	3622	0.00	0.06	13.70	19.87
SLU_GEO_039	38504	0	-2415	0	-3622	3622	0.00	0.06	13.70	19.87
SLU_GEO_040	46177	3473	-14441	-306	-3622	3635	0.08	0.31	13.55	19.37
SLU_GEO_041	46177	3473	-2415	-306	-3622	3635	0.08	0.05	13.55	19.90
SLU_GEO_042	46177	3473	9611	-306	-3622	3635	0.08	0.21	13.55	19.58
SLU_GEO_043	48496	3178	-2415	-280	-3622	3633	0.07	0.05	13.57	19.90
SLU_GEO_044	45934	0	-20991	0	-3622	3622	0.00	0.46	13.70	19.09
SLU_GEO_045	38504	-2239	-12465	417	-4709	4727	0.06	0.32	13.58	19.35
SLU_GEO_046	38504	-2239	-2415	417	-3622	3646	0.06	0.06	13.58	19.87

Relazione Geotecnica di calcolo delle fondazioni

COMMESSA	LOTTO	CODIFICA	DOCUMENTO	REV.	FOGLIO
IF1N	01 E ZZ	CL	VI0300 002	D	149 di 170

SLU_GEO_047	38504	-2239	-2415	417	-3622	3646	0.06	0.06	13.58	19.87
SLU_GEO_048	46177	1234	-14441	111	-3622	3624	0.03	0.31	13.65	19.37
SLU_GEO_049	46177	1234	-2415	111	-3622	3624	0.03	0.05	13.65	19.90
SLU_GEO_050	46177	1234	9611	111	-3622	3624	0.03	0.21	13.65	19.58
SLU_GEO_051	46177	-2239	9611	417	-3622	3646	0.05	0.21	13.60	19.58
SLU_GEO_052	38504	-2239	-2415	417	-3622	3646	0.06	0.06	13.58	19.87
SLU_GEO_053	38504	-2239	-2415	417	-3622	3646	0.06	0.06	13.58	19.87
SLU_GEO_054	46177	1234	-14441	111	-3622	3624	0.03	0.31	13.65	19.37
SLU_GEO_055	46177	1234	-2415	111	-3622	3624	0.03	0.05	13.65	19.90
SLU_GEO_056	46177	1234	9611	111	-3622	3624	0.03	0.21	13.65	19.58
SLU_GEO_057	46177	-5712	9611	723	-3622	3694	0.12	0.21	13.45	19.58
SLU_GEO_058	48496	939	-2415	137	-3622	3625	0.02	0.05	13.66	19.90
SLU_GEO_059	45934	-2239	-20991	417	-3622	3646	0.05	0.46	13.60	19.09
SLU_GEO_060	39108	0	-12465	0	-4709	4709	0.00	0.32	13.70	19.36
SLU_GEO_061	39108	0	-12465	0	-4709	4709	0.00	0.32	13.70	19.36
SLU_GEO_062	39108	0	-12465	0	-4709	4709	0.00	0.32	13.70	19.36
SLU_GEO_063	38504	0	-12465	0	-4709	4709	0.00	0.32	13.70	19.35
SLU_GEO_064	38504	0	-2415	0	-3622	3622	0.00	0.06	13.70	19.87
SLU_GEO_065	38504	0	-2415	0	-3622	3622	0.00	0.06	13.70	19.87
SLU_GEO_066	46177	3473	-14441	-306	-3622	3635	0.08	0.31	13.55	19.37
SLU_GEO_067	46177	3473	-2415	-306	-3622	3635	0.08	0.05	13.55	19.90
SLU_GEO_068	46177	3473	9611	-306	-3622	3635	0.08	0.21	13.55	19.58
SLU_GEO_069	48496	3178	-2415	-280	-3622	3633	0.07	0.05	13.57	19.90
SLU_GEO_070	45934	0	-20991	0	-3622	3622	0.00	0.46	13.70	19.09
SLU_GEO_071	38504	0	-12818	0	-5872	5872	0.00	0.33	13.70	19.33
SLU_GEO_072	38504	0	-12818	0	-5872	5872	0.00	0.33	13.70	19.33
SLU_GEO_073	46177	3473	-24845	-306	-5872	5880	0.08	0.54	13.55	18.92
SLU_GEO_074	46177	3473	-12818	-306	-5872	5880	0.08	0.28	13.55	19.44
SLU_GEO_075	46177	3473	-792	-306	-5872	5880	0.08	0.02	13.55	19.97
SLU_GEO_076	38504	0	-12818	0	-5872	5872	0.00	0.33	13.70	19.33
SLU_GEO_077	38504	0	-12818	0	-5872	5872	0.00	0.33	13.70	19.33
SLU_GEO_078	46177	3473	-24845	-306	-5872	5880	0.08	0.54	13.55	18.92
SLU_GEO_079	46177	3473	-12818	-306	-5872	5880	0.08	0.28	13.55	19.44
SLU_GEO_080	46177	3473	-792	-306	-5872	5880	0.08	0.02	13.55	19.97
SLU_GEO_081	48496	3178	-12818	-280	-5872	5878	0.07	0.26	13.57	19.47
SLU_GEO_082	45934	0	-31394	0	-5872	5872	0.00	0.68	13.70	18.63
SLU_GEO_083	38504	-2239	-12818	417	-5872	5886	0.06	0.33	13.58	19.33
SLU_GEO_084	38504	-2239	-12818	417	-5872	5886	0.06	0.33	13.58	19.33
SLU_GEO_085	46177	1234	-24845	111	-5872	5873	0.03	0.54	13.65	18.92
SLU_GEO_086	46177	1234	-12818	111	-5872	5873	0.03	0.28	13.65	19.44
SLU_GEO_087	46177	1234	-792	111	-5872	5873	0.03	0.02	13.65	19.97
SLU_GEO_088	46177	-2239	-792	417	-5872	5886	0.05	0.02	13.60	19.97
SLU_GEO_089	38504	-2239	-12818	417	-5872	5886	0.06	0.33	13.58	19.33
SLU_GEO_090	38504	-2239	-12818	417	-5872	5886	0.06	0.33	13.58	19.33
SLU_GEO_091	46177	1234	-24845	111	-5872	5873	0.03	0.54	13.65	18.92
SLU_GEO_092	46177	1234	-12818	111	-5872	5873	0.03	0.28	13.65	19.44
SLU_GEO_093	46177	1234	-792	111	-5872	5873	0.03	0.02	13.65	19.97
SLU_GEO_094	48496	939	-12818	137	-5872	5873	0.02	0.26	13.66	19.47
SLU_GEO_095	45934	-2239	-31394	417	-5872	5886	0.05	0.68	13.60	18.63

Relazione Geotecnica di calcolo delle fondazioni

COMMESSA	LOTTO	CODIFICA	DOCUMENTO	REV.	FOGLIO
IF1N	01 E ZZ	CL	VI0300 002	D	150 di 170

SLU_GEO_096	38504	0	-22868	0	-6958	6958	0.00	0.59	13.70	18.81
SLU_GEO_097	38504	0	-22868	0	-6958	6958	0.00	0.59	13.70	18.81
SLU_GEO_098	38504	-2239	-22868	417	-6958	6971	0.06	0.59	13.58	18.81
SLU_GEO_099	38504	2239	-22868	-417	-6958	6971	0.06	0.59	13.58	18.81
SLU_GEO_100	38504	0	-22868	0	-6958	6958	0.00	0.59	13.70	18.81
SLU_GEO_101	38504	0	-12818	0	-5872	5872	0.00	0.33	13.70	19.33
SLU_GEO_102	38504	0	-12818	0	-5872	5872	0.00	0.33	13.70	19.33
SLU_GEO_103	46177	3473	-24845	-306	-5872	5880	0.08	0.54	13.55	18.92
SLU_GEO_104	46177	3473	-12818	-306	-5872	5880	0.08	0.28	13.55	19.44
SLU_GEO_105	46177	3473	-792	-306	-5872	5880	0.08	0.02	13.55	19.97
SLU_GEO_106	46177	0	-792	0	-5872	5872	0.00	0.02	13.70	19.97
SLU_GEO_107	38504	0	-12818	0	-5872	5872	0.00	0.33	13.70	19.33
SLU_GEO_108	38504	0	-12818	0	-5872	5872	0.00	0.33	13.70	19.33
SLU_GEO_109	46177	3473	-24845	-306	-5872	5880	0.08	0.54	13.55	18.92
SLU_GEO_110	46177	3473	-12818	-306	-5872	5880	0.08	0.28	13.55	19.44
SLU_GEO_111	46177	3473	-792	-306	-5872	5880	0.08	0.02	13.55	19.97
SLU_GEO_112	48496	3178	-12818	-280	-5872	5878	0.07	0.26	13.57	19.47
SLU_GEO_113	45934	0	-31394	0	-5872	5872	0.00	0.68	13.70	18.63
SLU_GEO_114	38504	-2239	-22868	417	-6958	6971	0.06	0.59	13.58	18.81
SLU_GEO_115	38504	-2239	-12818	417	-5872	5886	0.06	0.33	13.58	19.33
SLU_GEO_116	38504	-2239	-12818	417	-5872	5886	0.06	0.33	13.58	19.33
SLU_GEO_117	46177	1234	-24845	111	-5872	5873	0.03	0.54	13.65	18.92
SLU_GEO_118	46177	1234	-12818	111	-5872	5873	0.03	0.28	13.65	19.44
SLU_GEO_119	46177	1234	-792	111	-5872	5873	0.03	0.02	13.65	19.97
SLU_GEO_120	46177	-2239	-792	417	-5872	5886	0.05	0.02	13.60	19.97
SLU_GEO_121	38504	-2239	-12818	417	-5872	5886	0.06	0.33	13.58	19.33
SLU_GEO_122	38504	-2239	-12818	417	-5872	5886	0.06	0.33	13.58	19.33
SLU_GEO_123	46177	1234	-24845	111	-5872	5873	0.03	0.54	13.65	18.92
SLU_GEO_124	46177	1234	-12818	111	-5872	5873	0.03	0.28	13.65	19.44
SLU_GEO_125	46177	1234	-792	111	-5872	5873	0.03	0.02	13.65	19.97
SLU_GEO_126	46177	-5712	-792	723	-5872	5916	0.12	0.02	13.45	19.97
SLU_GEO_127	48496	939	-12818	137	-5872	5873	0.02	0.26	13.66	19.47
SLU_GEO_128	45934	-2239	-31394	417	-5872	5886	0.05	0.68	13.60	18.63
SLU_GEO_129	39108	0	-22868	0	-6958	6958	0.00	0.58	13.70	18.83
SLU_GEO_130	39108	0	-22868	0	-6958	6958	0.00	0.58	13.70	18.83
SLU_GEO_131	39108	0	-22868	0	-6958	6958	0.00	0.58	13.70	18.83
SLU_GEO_132	38504	0	-12818	0	-5872	5872	0.00	0.33	13.70	19.33
SLU_GEO_133	38504	0	-12818	0	-5872	5872	0.00	0.33	13.70	19.33
SLU_GEO_134	46177	3473	-24845	-306	-5872	5880	0.08	0.54	13.55	18.92
SLU_GEO_135	46177	3473	-12818	-306	-5872	5880	0.08	0.28	13.55	19.44
SLU_GEO_136	46177	3473	-792	-306	-5872	5880	0.08	0.02	13.55	19.97
SLU_GEO_137	48496	3178	-12818	-280	-5872	5878	0.07	0.26	13.57	19.47
SLU_GEO_138	45934	0	-31394	0	-5872	5872	0.00	0.68	13.70	18.63

Relazione Geotecnica di calcolo delle fondazioni

COMMESSA	LOTTO	CODIFICA	DOCUMENTO	REV.	FOGLIO
IF1N	01 E ZZ	CL	VI0300 002	D	151 di 170

	<u>Carico agente</u>	<u>Azione Resistente</u>	FS [-]
	Hd [kN]	$S_d = N \tan(\varphi') + c' B^* L^*$ [kN]	
SLU_GEO_001	4709	17784	3.78
SLU_GEO_002	3622	17784	4.91
SLU_GEO_003	3622	17784	4.91
SLU_GEO_004	3635	21328	5.87
SLU_GEO_005	3635	21328	5.87
SLU_GEO_006	3635	21328	5.87
SLU_GEO_007	3622	17784	4.91
SLU_GEO_008	3622	17784	4.91
SLU_GEO_009	3635	21328	5.87
SLU_GEO_010	3635	21328	5.87
SLU_GEO_011	3635	21328	5.87
SLU_GEO_012	3633	22399	6.17
SLU_GEO_013	3622	21216	5.86
SLU_GEO_014	3646	17784	4.88
SLU_GEO_015	3646	17784	4.88
SLU_GEO_016	3624	21328	5.89
SLU_GEO_017	3624	21328	5.89
SLU_GEO_018	3624	21328	5.89
SLU_GEO_019	3646	21328	5.85
SLU_GEO_020	3646	17784	4.88
SLU_GEO_021	3646	17784	4.88
SLU_GEO_022	3624	21328	5.89
SLU_GEO_023	3624	21328	5.89
SLU_GEO_024	3624	21328	5.89
SLU_GEO_025	3625	22399	6.18
SLU_GEO_026	3646	21216	5.82
SLU_GEO_027	4709	17784	3.78
SLU_GEO_028	4709	17784	3.78
SLU_GEO_029	4727	17784	3.76
SLU_GEO_030	4727	17784	3.76
SLU_GEO_031	4709	17784	3.78
SLU_GEO_032	3622	17784	4.91
SLU_GEO_033	3622	17784	4.91
SLU_GEO_034	3635	21328	5.87
SLU_GEO_035	3635	21328	5.87
SLU_GEO_036	3635	21328	5.87
SLU_GEO_037	3622	21328	5.89
SLU_GEO_038	3622	17784	4.91
SLU_GEO_039	3622	17784	4.91
SLU_GEO_040	3635	21328	5.87
SLU_GEO_041	3635	21328	5.87
SLU_GEO_042	3635	21328	5.87
SLU_GEO_043	3633	22399	6.17
SLU_GEO_044	3622	21216	5.86

ITINERARIO NAPOLI – BARI

RADDOPPIO TRATTA CANCELLO – BENEVENTO

I° LOTTO FUNZIONALE CANCELLO - FRASSO TELESINO E
VARIANTE ALLA LINEA ROMA-NAPOLI VIA CASSINO NEL
COMUNE DI MADDALONI – PROGETTO ESECUTIVO

Relazione Geotecnica di calcolo delle fondazioni

COMMESSA	LOTTO	CODIFICA	DOCUMENTO	REV.	FOGLIO
IF1N	01 E ZZ	CL	VI0300 002	D	152 di 170

SLU_GEO_045	4727	17784	3.76
SLU_GEO_046	3646	17784	4.88
SLU_GEO_047	3646	17784	4.88
SLU_GEO_048	3624	21328	5.89
SLU_GEO_049	3624	21328	5.89
SLU_GEO_050	3624	21328	5.89
SLU_GEO_051	3646	21328	5.85
SLU_GEO_052	3646	17784	4.88
SLU_GEO_053	3646	17784	4.88
SLU_GEO_054	3624	21328	5.89
SLU_GEO_055	3624	21328	5.89
SLU_GEO_056	3624	21328	5.89
SLU_GEO_057	3694	21328	5.77
SLU_GEO_058	3625	22399	6.18
SLU_GEO_059	3646	21216	5.82
SLU_GEO_060	4709	18063	3.84
SLU_GEO_061	4709	18063	3.84
SLU_GEO_062	4709	18063	3.84
SLU_GEO_063	4709	17784	3.78
SLU_GEO_064	3622	17784	4.91
SLU_GEO_065	3622	17784	4.91
SLU_GEO_066	3635	21328	5.87
SLU_GEO_067	3635	21328	5.87
SLU_GEO_068	3635	21328	5.87
SLU_GEO_069	3633	22399	6.17
SLU_GEO_070	3622	21216	5.86
SLU_GEO_071	5872	17784	3.03
SLU_GEO_072	5872	17784	3.03
SLU_GEO_073	5880	21328	3.63
SLU_GEO_074	5880	21328	3.63
SLU_GEO_075	5880	21328	3.63
SLU_GEO_076	5872	17784	3.03
SLU_GEO_077	5872	17784	3.03
SLU_GEO_078	5880	21328	3.63
SLU_GEO_079	5880	21328	3.63
SLU_GEO_080	5880	21328	3.63
SLU_GEO_081	5878	22399	3.81
SLU_GEO_082	5872	21216	3.61
SLU_GEO_083	5886	17784	3.02
SLU_GEO_084	5886	17784	3.02
SLU_GEO_085	5873	21328	3.63
SLU_GEO_086	5873	21328	3.63
SLU_GEO_087	5873	21328	3.63
SLU_GEO_088	5886	21328	3.62
SLU_GEO_089	5886	17784	3.02
SLU_GEO_090	5886	17784	3.02
SLU_GEO_091	5873	21328	3.63
SLU_GEO_092	5873	21328	3.63
SLU_GEO_093	5873	21328	3.63

Relazione Geotecnica di calcolo delle fondazioni

COMMESSA	LOTTO	CODIFICA	DOCUMENTO	REV.	FOGLIO
IF1N	01 E ZZ	CL	VI0300 002	D	153 di 170

SLU_GEO_094	5873	22399	3.81
SLU_GEO_095	5886	21216	3.60
SLU_GEO_096	6958	17784	2.56
SLU_GEO_097	6958	17784	2.56
SLU_GEO_098	6971	17784	2.55
SLU_GEO_099	6971	17784	2.55
SLU_GEO_100	6958	17784	2.56
SLU_GEO_101	5872	17784	3.03
SLU_GEO_102	5872	17784	3.03
SLU_GEO_103	5880	21328	3.63
SLU_GEO_104	5880	21328	3.63
SLU_GEO_105	5880	21328	3.63
SLU_GEO_106	5872	21328	3.63
SLU_GEO_107	5872	17784	3.03
SLU_GEO_108	5872	17784	3.03
SLU_GEO_109	5880	21328	3.63
SLU_GEO_110	5880	21328	3.63
SLU_GEO_111	5880	21328	3.63
SLU_GEO_112	5878	22399	3.81
SLU_GEO_113	5872	21216	3.61
SLU_GEO_114	6971	17784	2.55
SLU_GEO_115	5886	17784	3.02
SLU_GEO_116	5886	17784	3.02
SLU_GEO_117	5873	21328	3.63
SLU_GEO_118	5873	21328	3.63
SLU_GEO_119	5873	21328	3.63
SLU_GEO_120	5886	21328	3.62
SLU_GEO_121	5886	17784	3.02
SLU_GEO_122	5886	17784	3.02
SLU_GEO_123	5873	21328	3.63
SLU_GEO_124	5873	21328	3.63
SLU_GEO_125	5873	21328	3.63
SLU_GEO_126	5916	21328	3.61
SLU_GEO_127	5873	22399	3.81
SLU_GEO_128	5886	21216	3.60
SLU_GEO_129	6958	18063	2.60
SLU_GEO_130	6958	18063	2.60
SLU_GEO_131	6958	18063	2.60
SLU_GEO_132	5872	17784	3.03
SLU_GEO_133	5872	17784	3.03
SLU_GEO_134	5880	21328	3.63
SLU_GEO_135	5880	21328	3.63
SLU_GEO_136	5880	21328	3.63
SLU_GEO_137	5878	22399	3.81
SLU_GEO_138	5872	21216	3.61

Relazione Geotecnica di calcolo delle fondazioni

COMMESSA	LOTTO	CODIFICA	DOCUMENTO	REV.	FOGLIO
IF1N	01 E ZZ	CL	VI0300 002	D	154 di 170

	N	M _B	M _L	T _B	T _L	H	e _B *	e _L *	B*	L*
	[kN]	[kNm]	[kNm]	[kN]	[kN]	[kN]	[m]	[m]	[m]	[m]
SLV_SIS_029	38422	55079	-29009	-11183	-8064	13787	1.43	0.76	10.83	18.49
SLV_SIS_030	38422	55079	-29009	-11183	-8064	13787	1.43	0.76	10.83	18.49
SLV_SIS_031	38422	55079	-29009	-11183	-8064	13787	1.43	0.76	10.83	18.49
SLV_SIS_032	38422	55079	-29009	-11183	-8064	13787	1.43	0.76	10.83	18.49
SLV_SIS_033	39425	55533	-30581	-11223	-8064	13819	1.41	0.78	10.88	18.45
SLV_SIS_034	39425	55533	-30581	-11223	-8064	13819	1.41	0.78	10.88	18.45
SLV_SIS_035	39425	55533	-29009	-11223	-8064	13819	1.41	0.74	10.88	18.53
SLV_SIS_036	39425	55533	-29009	-11223	-8064	13819	1.41	0.74	10.88	18.53
SLV_SIS_037	39425	55533	-27437	-11223	-8064	13819	1.41	0.70	10.88	18.61
SLV_SIS_038	39425	55533	-27437	-11223	-8064	13819	1.41	0.70	10.88	18.61
SLV_SIS_039	39849	55533	-29009	-11223	-8064	13819	1.39	0.73	10.91	18.54
SLV_SIS_040	39849	55533	-29009	-11223	-8064	13819	1.39	0.73	10.91	18.54
SLV_SIS_041	39483	55079	-31663	-11183	-8064	13787	1.39	0.80	10.91	18.40
SLV_SIS_042	39483	55079	-31663	-11183	-8064	13787	1.39	0.80	10.91	18.40
SLV_SIS_043	40674	16524	-28896	-3355	-8064	8734	0.41	0.71	12.89	18.58
SLV_SIS_044	40674	16524	-28896	-3355	-8064	8734	0.41	0.71	12.89	18.58
SLV_SIS_045	40674	16524	-28896	-3355	-8064	8734	0.41	0.71	12.89	18.58
SLV_SIS_046	40674	16524	-28896	-3355	-8064	8734	0.41	0.71	12.89	18.58
SLV_SIS_047	41677	16978	-30468	-3395	-8064	8749	0.41	0.73	12.89	18.54
SLV_SIS_048	41677	16978	-30468	-3395	-8064	8749	0.41	0.73	12.89	18.54
SLV_SIS_049	41677	16978	-28896	-3395	-8064	8749	0.41	0.69	12.89	18.61
SLV_SIS_050	41677	16978	-28896	-3395	-8064	8749	0.41	0.69	12.89	18.61
SLV_SIS_051	41677	16978	-27324	-3395	-8064	8749	0.41	0.66	12.89	18.69
SLV_SIS_052	41677	16978	-27324	-3395	-8064	8749	0.41	0.66	12.89	18.69
SLV_SIS_053	42102	16978	-28896	-3395	-8064	8749	0.40	0.69	12.89	18.63
SLV_SIS_054	42102	16978	-28896	-3395	-8064	8749	0.40	0.69	12.89	18.63
SLV_SIS_055	41736	16524	-31550	-3355	-8064	8734	0.40	0.76	12.91	18.49
SLV_SIS_056	41736	16524	-31550	-3355	-8064	8734	0.40	0.76	12.91	18.49
SLV_SIS_084	39483	-16524	39940	3355	6474	7292	0.42	1.01	12.86	17.98
SLV_SIS_085	38422	-55079	4038	11183	-1354	11265	1.43	0.11	10.83	19.79
SLV_SIS_086	38422	-55079	4038	11183	-1354	11265	1.43	0.11	10.83	19.79
SLV_SIS_087	38422	-55079	4038	11183	-1354	11265	1.43	0.11	10.83	19.79
SLV_SIS_088	38422	-55079	4038	11183	-1354	11265	1.43	0.11	10.83	19.79
SLV_SIS_089	39425	-54625	2466	11143	-1354	11225	1.39	0.06	10.93	19.87
SLV_SIS_090	39425	-54625	2466	11143	-1354	11225	1.39	0.06	10.93	19.87
SLV_SIS_091	39425	-54625	4038	11143	-1354	11225	1.39	0.10	10.93	19.80
SLV_SIS_092	39425	-54625	4038	11143	-1354	11225	1.39	0.10	10.93	19.80
SLV_SIS_093	39425	-54625	5610	11143	-1354	11225	1.39	0.14	10.93	19.72
SLV_SIS_094	39425	-54625	5610	11143	-1354	11225	1.39	0.14	10.93	19.72
SLV_SIS_095	39849	-54625	4038	11143	-1354	11225	1.37	0.10	10.96	19.80
SLV_SIS_096	39849	-54625	4038	11143	-1354	11225	1.37	0.10	10.96	19.80
SLV_SIS_097	39483	-55079	1384	11183	-1354	11265	1.39	0.04	10.91	19.93
SLV_SIS_098	39483	-55079	1384	11183	-1354	11265	1.39	0.04	10.91	19.93
SLV_SIS_099	40674	-16524	4152	3355	-1354	3618	0.41	0.10	12.89	19.80
SLV_SIS_100	40674	-16524	4152	3355	-1354	3618	0.41	0.10	12.89	19.80
SLV_SIS_101	40674	-16524	4152	3355	-1354	3618	0.41	0.10	12.89	19.80

ITINERARIO NAPOLI – BARI

RADDOPPIO TRATTA CANCELLO – BENEVENTO

I° LOTTO FUNZIONALE CANCELLO - FRASSO TELESINO E
VARIANTE ALLA LINEA ROMA-NAPOLI VIA CASSINO NEL
COMUNE DI MADDALONI – PROGETTO ESECUTIVO

Relazione Geotecnica di calcolo delle fondazioni

COMMESSA	LOTTO	CODIFICA	DOCUMENTO	REV.	FOGLIO
IF1N	01 E ZZ	CL	VI0300 002	D	155 di 170

SLV_SIS_102	40674	-16524	4152	3355	-1354	3618	0.41	0.10	12.89	19.80
SLV_SIS_103	41677	-16070	2579	3315	-1354	3581	0.39	0.06	12.93	19.88
SLV_SIS_104	41677	-16070	2579	3315	-1354	3581	0.39	0.06	12.93	19.88
SLV_SIS_105	41677	-16070	4152	3315	-1354	3581	0.39	0.10	12.93	19.80
SLV_SIS_106	41677	-16070	4152	3315	-1354	3581	0.39	0.10	12.93	19.80
SLV_SIS_107	41677	-16070	5724	3315	-1354	3581	0.39	0.14	12.93	19.73
SLV_SIS_108	41677	-16070	5724	3315	-1354	3581	0.39	0.14	12.93	19.73
SLV_SIS_109	42102	-16070	4152	3315	-1354	3581	0.38	0.10	12.94	19.80
SLV_SIS_110	42102	-16070	4152	3315	-1354	3581	0.38	0.10	12.94	19.80
SLV_SIS_111	41736	-16524	1498	3355	-1354	3618	0.40	0.04	12.91	19.93
SLV_SIS_112	41736	-16524	1498	3355	-1354	3618	0.40	0.04	12.91	19.93
SLV_SIS_141	38422	55079	-49216	-11183	-12433	16722	1.43	1.28	10.83	17.44
SLV_SIS_142	38422	55079	-49216	-11183	-12433	16722	1.43	1.28	10.83	17.44
SLV_SIS_143	38422	55079	-49216	-11183	-12433	16722	1.43	1.28	10.83	17.44
SLV_SIS_144	38422	55079	-49216	-11183	-12433	16722	1.43	1.28	10.83	17.44
SLV_SIS_145	39425	55533	-50788	-11223	-12433	16749	1.41	1.29	10.88	17.42
SLV_SIS_146	39425	55533	-50788	-11223	-12433	16749	1.41	1.29	10.88	17.42
SLV_SIS_147	39425	55533	-49216	-11223	-12433	16749	1.41	1.25	10.88	17.50
SLV_SIS_148	39425	55533	-49216	-11223	-12433	16749	1.41	1.25	10.88	17.50
SLV_SIS_149	39425	55533	-47644	-11223	-12433	16749	1.41	1.21	10.88	17.58
SLV_SIS_150	39425	55533	-47644	-11223	-12433	16749	1.41	1.21	10.88	17.58
SLV_SIS_151	39849	55533	-49216	-11223	-12433	16749	1.39	1.24	10.91	17.53
SLV_SIS_152	39849	55533	-49216	-11223	-12433	16749	1.39	1.24	10.91	17.53
SLV_SIS_153	39483	55079	-51870	-11183	-12433	16722	1.39	1.31	10.91	17.37
SLV_SIS_154	39483	55079	-51870	-11183	-12433	16722	1.39	1.31	10.91	17.37
SLV_SIS_155	40674	16524	-49103	-3355	-12433	12877	0.41	1.21	12.89	17.59
SLV_SIS_156	40674	16524	-49103	-3355	-12433	12877	0.41	1.21	12.89	17.59
SLV_SIS_157	40674	16524	-49103	-3355	-12433	12877	0.41	1.21	12.89	17.59
SLV_SIS_158	40674	16524	-49103	-3355	-12433	12877	0.41	1.21	12.89	17.59
SLV_SIS_159	41677	16978	-50675	-3395	-12433	12888	0.41	1.22	12.89	17.57
SLV_SIS_160	41677	16978	-50675	-3395	-12433	12888	0.41	1.22	12.89	17.57
SLV_SIS_161	41677	16978	-49103	-3395	-12433	12888	0.41	1.18	12.89	17.64
SLV_SIS_162	41677	16978	-49103	-3395	-12433	12888	0.41	1.18	12.89	17.64
SLV_SIS_163	41677	16978	-47531	-3395	-12433	12888	0.41	1.14	12.89	17.72
SLV_SIS_164	41677	16978	-47531	-3395	-12433	12888	0.41	1.14	12.89	17.72
SLV_SIS_165	42102	16978	-49103	-3395	-12433	12888	0.40	1.17	12.89	17.67
SLV_SIS_166	42102	16978	-49103	-3395	-12433	12888	0.40	1.17	12.89	17.67
SLV_SIS_167	41736	16524	-51756	-3355	-12433	12877	0.40	1.24	12.91	17.52
SLV_SIS_168	41736	16524	-51756	-3355	-12433	12877	0.40	1.24	12.91	17.52
SLV_SIS_197	38422	-55079	-16169	11183	-5723	12562	1.43	0.42	10.83	19.16
SLV_SIS_198	38422	-55079	-16169	11183	-5723	12562	1.43	0.42	10.83	19.16
SLV_SIS_199	38422	-55079	-16169	11183	-5723	12562	1.43	0.42	10.83	19.16
SLV_SIS_200	38422	-55079	-16169	11183	-5723	12562	1.43	0.42	10.83	19.16
SLV_SIS_201	39425	-54625	-17741	11143	-5723	12527	1.39	0.45	10.93	19.10
SLV_SIS_202	39425	-54625	-17741	11143	-5723	12527	1.39	0.45	10.93	19.10
SLV_SIS_203	39425	-54625	-16169	11143	-5723	12527	1.39	0.41	10.93	19.18
SLV_SIS_204	39425	-54625	-16169	11143	-5723	12527	1.39	0.41	10.93	19.18
SLV_SIS_205	39425	-54625	-14596	11143	-5723	12527	1.39	0.37	10.93	19.26
SLV_SIS_206	39425	-54625	-14596	11143	-5723	12527	1.39	0.37	10.93	19.26

   	ITINERARIO NAPOLI – BARI RADDOPPIO TRATTA CANCELLO – BENEVENTO I° LOTTO FUNZIONALE CANCELLO - FRASSO TELESINO E VARIANTE ALLA LINEA ROMA-NAPOLI VIA CASSINO NEL COMUNE DI MADDALONI – PROGETTO ESECUTIVO												
Relazione Geotecnica di calcolo delle fondazioni	<table border="1"> <tr> <td>COMMESSA</td> <td>LOTTO</td> <td>CODIFICA</td> <td>DOCUMENTO</td> <td>REV.</td> <td>FOGLIO</td> </tr> <tr> <td>IF1N</td> <td>01 E ZZ</td> <td>CL</td> <td>VI0300 002</td> <td>D</td> <td>156 di 170</td> </tr> </table>	COMMESSA	LOTTO	CODIFICA	DOCUMENTO	REV.	FOGLIO	IF1N	01 E ZZ	CL	VI0300 002	D	156 di 170
COMMESSA	LOTTO	CODIFICA	DOCUMENTO	REV.	FOGLIO								
IF1N	01 E ZZ	CL	VI0300 002	D	156 di 170								

SLV_SIS_207	39849	-54625	-16169	11143	-5723	12527	1.37	0.41	10.96	19.19
SLV_SIS_208	39849	-54625	-16169	11143	-5723	12527	1.37	0.41	10.96	19.19
SLV_SIS_209	39483	-55079	-18822	11183	-5723	12562	1.39	0.48	10.91	19.05
SLV_SIS_210	39483	-55079	-18822	11183	-5723	12562	1.39	0.48	10.91	19.05
SLV_SIS_211	40674	-16524	-16055	3355	-5723	6634	0.41	0.39	12.89	19.21
SLV_SIS_212	40674	-16524	-16055	3355	-5723	6634	0.41	0.39	12.89	19.21
SLV_SIS_213	40674	-16524	-16055	3355	-5723	6634	0.41	0.39	12.89	19.21
SLV_SIS_214	40674	-16524	-16055	3355	-5723	6634	0.41	0.39	12.89	19.21
SLV_SIS_215	41677	-16070	-17627	3315	-5723	6614	0.39	0.42	12.93	19.15
SLV_SIS_216	41677	-16070	-17627	3315	-5723	6614	0.39	0.42	12.93	19.15
SLV_SIS_217	41677	-16070	-16055	3315	-5723	6614	0.39	0.39	12.93	19.23
SLV_SIS_218	41677	-16070	-16055	3315	-5723	6614	0.39	0.39	12.93	19.23
SLV_SIS_219	41677	-16070	-14483	3315	-5723	6614	0.39	0.35	12.93	19.30
SLV_SIS_220	41677	-16070	-14483	3315	-5723	6614	0.39	0.35	12.93	19.30
SLV_SIS_221	42102	-16070	-16055	3315	-5723	6614	0.38	0.38	12.94	19.24
SLV_SIS_222	42102	-16070	-16055	3315	-5723	6614	0.38	0.38	12.94	19.24
SLV_SIS_223	41736	-16524	-18709	3355	-5723	6634	0.40	0.45	12.91	19.10
SLV_SIS_224	41736	-16524	-18709	3355	-5723	6634	0.40	0.45	12.91	19.10

	<u>Carico agente</u>	<u>Azione Resistente</u>	
	Hd	Sd = N tan(φ') + c' B* L*	FS
	[kN]	[kN]	[-]
SLV_SIS_029	13787	17746	1.29
SLV_SIS_030	13787	17746	1.29
SLV_SIS_031	13787	17746	1.29
SLV_SIS_032	13787	17746	1.29
SLV_SIS_033	13819	18210	1.32
SLV_SIS_034	13819	18210	1.32
SLV_SIS_035	13819	18210	1.32
SLV_SIS_036	13819	18210	1.32
SLV_SIS_037	13819	18210	1.32
SLV_SIS_038	13819	18210	1.32
SLV_SIS_039	13819	18406	1.33
SLV_SIS_040	13819	18406	1.33
SLV_SIS_041	13787	18237	1.32
SLV_SIS_042	13787	18237	1.32
SLV_SIS_043	8734	18787	2.15
SLV_SIS_044	8734	18787	2.15
SLV_SIS_045	8734	18787	2.15
SLV_SIS_046	8734	18787	2.15
SLV_SIS_047	8749	19250	2.20
SLV_SIS_048	8749	19250	2.20
SLV_SIS_049	8749	19250	2.20
SLV_SIS_050	8749	19250	2.20
SLV_SIS_051	8749	19250	2.20
SLV_SIS_052	8749	19250	2.20
SLV_SIS_053	8749	19446	2.22
SLV_SIS_054	8749	19446	2.22

Relazione Geotecnica di calcolo delle fondazioni

COMMESSA	LOTTO	CODIFICA	DOCUMENTO	REV.	FOGLIO
IF1N	01 E ZZ	CL	VI0300 002	D	157 di 170

SLV_SIS_055	8734	19277	2.21
SLV_SIS_056	8734	19277	2.21
SLV_SIS_086	11265	17746	1.58
SLV_SIS_087	11265	17746	1.58
SLV_SIS_088	11265	17746	1.58
SLV_SIS_089	11225	18210	1.62
SLV_SIS_090	11225	18210	1.62
SLV_SIS_091	11225	18210	1.62
SLV_SIS_092	11225	18210	1.62
SLV_SIS_093	11225	18210	1.62
SLV_SIS_094	11225	18210	1.62
SLV_SIS_095	11225	18406	1.64
SLV_SIS_096	11225	18406	1.64
SLV_SIS_097	11265	18237	1.62
SLV_SIS_098	11265	18237	1.62
SLV_SIS_099	3618	18787	5.19
SLV_SIS_100	3618	18787	5.19
SLV_SIS_101	3618	18787	5.19
SLV_SIS_102	3618	18787	5.19
SLV_SIS_103	3581	19250	5.38
SLV_SIS_104	3581	19250	5.38
SLV_SIS_105	3581	19250	5.38
SLV_SIS_106	3581	19250	5.38
SLV_SIS_107	3581	19250	5.38
SLV_SIS_108	3581	19250	5.38
SLV_SIS_109	3581	19446	5.43
SLV_SIS_110	3581	19446	5.43
SLV_SIS_111	3618	19277	5.33
SLV_SIS_112	3618	19277	5.33
SLV_SIS_141	16722	17746	1.06
SLV_SIS_142	16722	17746	1.06
SLV_SIS_143	16722	17746	1.06
SLV_SIS_144	16722	17746	1.06
SLV_SIS_145	16749	18210	1.09
SLV_SIS_146	16749	18210	1.09
SLV_SIS_147	16749	18210	1.09
SLV_SIS_148	16749	18210	1.09
SLV_SIS_149	16749	18210	1.09
SLV_SIS_150	16749	18210	1.09
SLV_SIS_151	16749	18406	1.10
SLV_SIS_152	16749	18406	1.10
SLV_SIS_153	16722	18237	1.09
SLV_SIS_154	16722	18237	1.09
SLV_SIS_155	12877	18787	1.46
SLV_SIS_156	12877	18787	1.46
SLV_SIS_157	12877	18787	1.46
SLV_SIS_158	12877	18787	1.46
SLV_SIS_159	12888	19250	1.49
SLV_SIS_160	12888	19250	1.49

Relazione Geotecnica di calcolo delle fondazioni

COMMESSA	LOTTO	CODIFICA	DOCUMENTO	REV.	FOGLIO
IF1N	01 E ZZ	CL	VI0300 002	D	158 di 170

SLV_SIS_161	12888	19250	1.49
SLV_SIS_162	12888	19250	1.49
SLV_SIS_163	12888	19250	1.49
SLV_SIS_164	12888	19250	1.49
SLV_SIS_165	12888	19446	1.51
SLV_SIS_166	12888	19446	1.51
SLV_SIS_167	12877	19277	1.50
SLV_SIS_168	12877	19277	1.50
SLV_SIS_197	12562	17746	1.41
SLV_SIS_198	12562	17746	1.41
SLV_SIS_199	12562	17746	1.41
SLV_SIS_200	12562	17746	1.41
SLV_SIS_201	12527	18210	1.45
SLV_SIS_202	12527	18210	1.45
SLV_SIS_203	12527	18210	1.45
SLV_SIS_204	12527	18210	1.45
SLV_SIS_205	12527	18210	1.45
SLV_SIS_206	12527	18210	1.45
SLV_SIS_207	12527	18406	1.47
SLV_SIS_208	12527	18406	1.47
SLV_SIS_209	12562	18237	1.45
SLV_SIS_210	12562	18237	1.45
SLV_SIS_211	6634	18787	2.83
SLV_SIS_212	6634	18787	2.83
SLV_SIS_213	6634	18787	2.83
SLV_SIS_214	6634	18787	2.83
SLV_SIS_215	6614	19250	2.91
SLV_SIS_216	6614	19250	2.91
SLV_SIS_217	6614	19250	2.91
SLV_SIS_218	6614	19250	2.91
SLV_SIS_219	6614	19250	2.91
SLV_SIS_220	6614	19250	2.91
SLV_SIS_221	6614	19446	2.94
SLV_SIS_222	6614	19446	2.94
SLV_SIS_223	6634	19277	2.91
SLV_SIS_224	6634	19277	2.91

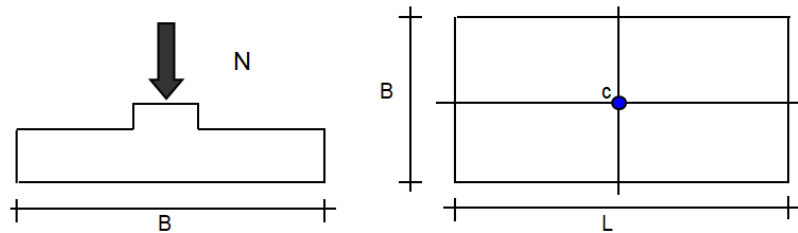
  	ITINERARIO NAPOLI – BARI RADDOPPIO TRATTA CANCELLO – BENEVENTO I° LOTTO FUNZIONALE CANCELLO - FRASSO TELESINO E VARIANTE ALLA LINEA ROMA-NAPOLI VIA CASSINO NEL COMUNE DI MADDALONI – PROGETTO ESECUTIVO					
	Relazione Geotecnica di calcolo delle fondazioni	COMMESSA IF1N	LOTTO 01 E ZZ	CODIFICA CL	DOCUMENTO VI0300 002	REV. D

7.4 CALCOLO DEI CEDIMENTI DELLA FONDAZIONE

7.4.1 CONCIO TIPO AD ARCHI – SITUAZIONE CON RIEMPIMENTO

CEDIMENTI DI UNA FONDAZIONE RETTANGOLARE

CONCIO TIPO AD ARCHI - Fine costruzione - con riempimento - Schema di calcolo 01



Formulazione Teorica (H.G. Poulos, E.H. Davis; 1974)

$$\Delta\sigma_{zi} = (q/2\pi) * (\tan^{-1}((L/2)(B/2)/(zR_3)) + ((L/2)(B/2)z)/R_3) * (1/R_1^2 + 1/R_2^2)$$

$$\Delta\sigma_{xi} = (q/2\pi) * (\tan^{-1}((L/2)(B/2)/(zR_3)) - ((L/2)(B/2)z)/R_3) * R_1^2$$

$$\Delta\sigma_{yi} = (q/2\pi) * (\tan^{-1}((L/2)(B/2)/(zR_3)) - ((L/2)(B/2)z)/R_3) * R_2^2$$

$$R_1 = ((L/2)^2 + z^2)^{0.5}$$

$$R_2 = ((B/2)^2 + z^2)^{0.5}$$

$$R_3 = ((L/2)^2 + (B/2)^2 + z^2)^{0.5}$$

$$\delta_{tot} = \sum \delta_i = \sum ((\Delta\sigma_{zi} - \nu_i(\Delta\sigma_{xi} + \Delta\sigma_{yi})) \Delta z_i / E_i)$$

DATI DI INPUT:

B = 13.70 (m) (Larghezza della Fondazione)

L = 28.00 (m) (Lunghezza della Fondazione)

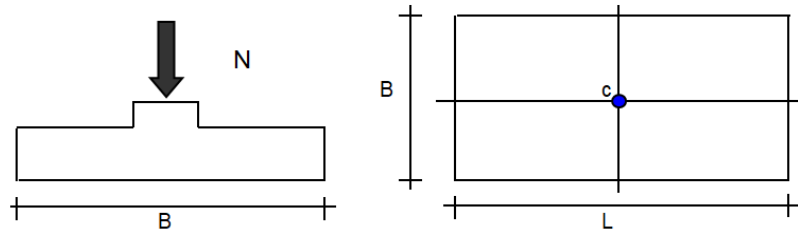
N = 46996 (kN) (Carico Verticale Agente)

q = 122.51 (kN/mq) (Pressione Agente (q = N/(B*L)))

ns = 5 (-) (numero strati) (massimo 6)

Strato	Litologia	Spessore	da z _i	a z _{i+1}	Δz _i	E	ν	δ _{ci}
(-)	(-)	(m)	(m)	(m)	(m)	(kN/m ²)	(-)	(cm)
1	strato 1	2.00	0.0	2.0	1.0	3000	0.25	5.28
2	strato 2	4.50	2.0	6.5	1.0	35000	0.25	0.97
3	strato 3	4.50	6.5	11.0	1.0	1000000	0.25	0.03
4	strato 4	24.00	11.0	35.0	1.0	50000	0.25	0.77
5	strato 5	100.00	35.0	135.0	1.0	10000	0.25	0.00
-					1.0			-

$$\delta_{ctot} = 7.04 \text{ (cm)}$$

CEDIMENTI DI UNA FONDAZIONE RETTANGOLARE**CONCIO TIPO AD ARCHI - Fine costruzione - con riempimento - Schema di calcolo 02****Formulazione Teorica (H.G. Poulos, E.H. Davis; 1974)**

$$\Delta\sigma_{zi} = (q/2\pi) * (\tan^{-1}((L/2)(B/2)/(zR_3)) + ((L/2)(B/2)z)/R_3) * (1/R_1^2 + 1/R_2^2)$$

$$\Delta\sigma_{xi} = (q/2\pi) * (\tan^{-1}((L/2)(B/2)/(zR_3)) - ((L/2)(B/2)z)/R_3) * R_1^2$$

$$\Delta\sigma_{yi} = (q/2\pi) * (\tan^{-1}((L/2)(B/2)/(zR_3)) - ((L/2)(B/2)z)/R_3) * R_2^2$$

$$R_1 = ((L/2)^2 + z^2)^{0.5}$$

$$R_2 = ((B/2)^2 + z^2)^{0.5}$$

$$R_3 = ((L/2)^2 + (B/2)^2 + z^2)^{0.5}$$

$$\delta_{tot} = \Sigma\delta_i = \Sigma(((\Delta\sigma_{zi} - \nu_i(\Delta\sigma_{xi} + \Delta\sigma_{yi}))\Delta z_i/E_i)$$

DATI DI INPUT:

B = 13.70 (m) (Larghezza della Fondazione)

L = 28.00 (m) (Lunghezza della Fondazione)

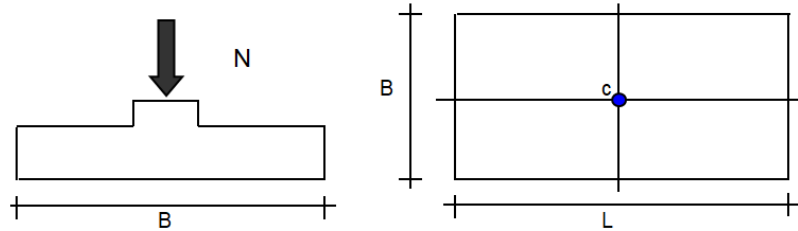
N = 46996 (kN) (Carico Verticale Agente)

q = 122.51 (kN/mq) (Pressione Agente (q = N/(B*L)))

ns = 5 (-) (numero strati) (massimo 6)

Strato	Litologia	Spessore	da z _i	a z _{i+1}	Δz _i	E	ν	δ _{ci}
(-)	(-)	(m)	(m)	(m)	(m)	(kN/m ²)	(-)	(cm)
1	strato 1	2.00	0.0	2.0	1.0	6000	0.25	2.64
2	strato 2	4.50	2.0	6.5	1.0	35000	0.25	0.97
3	strato 3	4.50	6.5	11.0	1.0	1000000	0.25	0.03
4	strato 4	24.00	11.0	35.0	1.0	50000	0.25	0.77
5	strato 5	100.00	35.0	135.0	1.0	10000	0.25	0.00
-					1.0			-

$$\delta_{ctot} = 4.40 \text{ (cm)}$$

CEDIMENTI DI UNA FONDAZIONE RETTANGOLARE**CONCIO TIPO AD ARCHI - Esercizio - con riempimento - Schema di calcolo 01****Formulazione Teorica (H.G. Poulos, E.H. Davis; 1974)**

$$\Delta\sigma_{zi} = (q/2\pi) * (\tan^{-1}((L/2)(B/2)/(zR_3)) + ((L/2)(B/2)z)/R_3) * (1/R_1^2 + 1/R_2^2)$$

$$\Delta\sigma_{xi} = (q/2\pi) * (\tan^{-1}((L/2)(B/2)/(zR_3)) - ((L/2)(B/2)z)/R_3) * R_1^2$$

$$\Delta\sigma_{yi} = (q/2\pi) * (\tan^{-1}((L/2)(B/2)/(zR_3)) - ((L/2)(B/2)z)/R_3) * R_2^2$$

$$R_1 = ((L/2)^2 + z^2)^{0.5}$$

$$R_2 = ((B/2)^2 + z^2)^{0.5}$$

$$R_3 = ((L/2)^2 + (B/2)^2 + z^2)^{0.5}$$

$$\delta_{tot} = \Sigma \delta_i = \Sigma (((\Delta\sigma_{zi} - \nu_i(\Delta\sigma_{xi} + \Delta\sigma_{yi})) \Delta z_i / E_i)$$

DATI DI INPUT:

B = 13.70 (m) (Larghezza della Fondazione)

L = 28.00 (m) (Lunghezza della Fondazione)

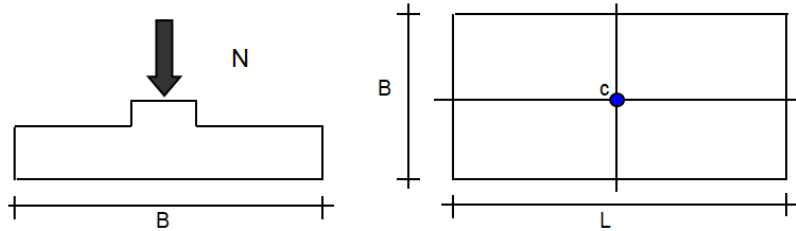
N = 57244 (kN) (Carico Verticale Agente)

q = 149.23 (kN/mq) (Pressione Agente (q = N/(B*L)))

ns = 5 (-) (numero strati) (massimo 6)

Strato	Litologia	Spessore	da z _i	a z _{i+1}	Δz _i	E	ν	δ _{c_i}
(-)	(-)	(m)	(m)	(m)	(m)	(kN/m ²)	(-)	(cm)
1	strato 1	2.00	0.0	2.0	1.0	3000	0.25	6.43
2	strato 2	4.50	2.0	6.5	1.0	35000	0.25	1.18
3	strato 3	4.50	6.5	11.0	1.0	1000000	0.25	0.04
4	strato 4	24.00	11.0	35.0	1.0	50000	0.25	1.08
5	strato 5	100.00	35.0	135.0	1.0	10000	0.25	0.00
-					1.0			-

$$\delta_{ctot} = 8.72 \text{ (cm)}$$

CEDIMENTI DI UNA FONDAZIONE RETTANGOLARE**CONCIO TIPO AD ARCHI - Esercizio - con riempimento - Schema di calcolo 02****Formulazione Teorica (H.G. Poulos, E.H. Davis; 1974)**

$$\Delta\sigma_{zi} = (q/2\pi) * (\tan^{-1}((L/2)(B/2)/(zR_3)) + ((L/2)(B/2)z)/R_3) * (1/R_1^2 + 1/R_2^2)$$

$$\Delta\sigma_{xi} = (q/2\pi) * (\tan^{-1}((L/2)(B/2)/(zR_3)) - ((L/2)(B/2)z)/R_3) * R_1^2$$

$$\Delta\sigma_{yi} = (q/2\pi) * (\tan^{-1}((L/2)(B/2)/(zR_3)) - ((L/2)(B/2)z)/R_3) * R_2^2$$

$$R_1 = ((L/2)^2 + z^2)^{0.5}$$

$$R_2 = ((B/2)^2 + z^2)^{0.5}$$

$$R_3 = ((L/2)^2 + (B/2)^2 + z^2)^{0.5}$$

$$\delta_{tot} = \Sigma \delta_i = \Sigma (((\Delta\sigma_{zi} - \nu_i(\Delta\sigma_{xi} + \Delta\sigma_{yi})) \Delta z_i / E_i)$$

DATI DI INPUT:

B = 13.70 (m) (Larghezza della Fondazione)

L = 28.00 (m) (Lunghezza della Fondazione)

N = 57244 (kN) (Carico Verticale Agente)

q = 149.23 (kN/mq) (Pressione Agente (q = N/(B*L)))

ns = 5 (-) (numero strati) (massimo 6)

Strato	Litologia	Spessore	da z _i	a z _{i+1}	Δz _i	E	ν	δ _{c_i}
(-)	(-)	(m)	(m)	(m)	(m)	(kN/m ²)	(-)	(cm)
1	strato 1	2.00	0.0	2.0	1.0	6000	0.25	3.21
2	strato 2	4.50	2.0	6.5	1.0	35000	0.25	1.18
3	strato 3	4.50	6.5	11.0	1.0	1000000	0.25	0.04
4	strato 4	24.00	11.0	35.0	1.0	50000	0.25	1.08
5	strato 5	100.00	35.0	135.0	1.0	10000	0.25	0.00
-					1.0			-

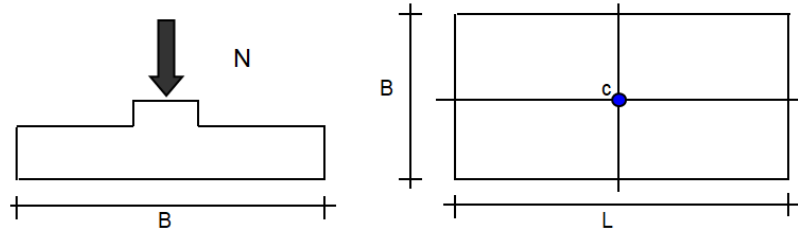
$$\delta_{ctot} = 5.51 \text{ (cm)}$$

  	ITINERARIO NAPOLI – BARI RADDOPPIO TRATTA CANCELLO – BENEVENTO I° LOTTO FUNZIONALE CANCELLO - FRASSO TELESINO E VARIANTE ALLA LINEA ROMA-NAPOLI VIA CASSINO NEL COMUNE DI MADDALONI – PROGETTO ESECUTIVO					
	Relazione Geotecnica di calcolo delle fondazioni	COMMESSA IF1N	LOTTO 01 E ZZ	CODIFICA CL	DOCUMENTO VI0300 002	REV. D

7.4.2 SCATOLARE “A” + SOTTOVIA (LATO CANCELLO)

CEDIMENTI DI UNA FONDAZIONE RETTANGOLARE

CONCIO LATO CANCELLO - Fine costruzione - Schema di calcolo 01



Formulazione Teorica (H.G. Poulos, E.H. Davis; 1974)

$$\Delta\sigma_z = (q/2\pi) * (\tan^{-1}((L/2)(B/2)/(zR_3)) + ((L/2)(B/2)z)/R_3(1/R_1^2 + 1/R_2^2))$$

$$\Delta\sigma_x = (q/2\pi) * (\tan^{-1}((L/2)(B/2)/(zR_3)) - ((L/2)(B/2)z)/R_3R_1^2)$$

$$\Delta\sigma_y = (q/2\pi) * (\tan^{-1}((L/2)(B/2)/(zR_3)) - ((L/2)(B/2)z)/R_3R_2^2)$$

$$R_1 = ((L/2)^2 + z^2)^{0.5}$$

$$R_2 = ((B/2)^2 + z^2)^{0.5}$$

$$R_3 = ((L/2)^2 + (B/2)^2 + z^2)^{0.5}$$

$$\delta_{tot} = \Sigma\delta_t = \Sigma(((\Delta\sigma_z - \nu(\Delta\sigma_x + \Delta\sigma_y))\Delta z)/E_i)$$

DATI DI INPUT:

B = 13.70 (m) (Larghezza della Fondazione)

L = 29.95 (m) (Lunghezza della Fondazione)

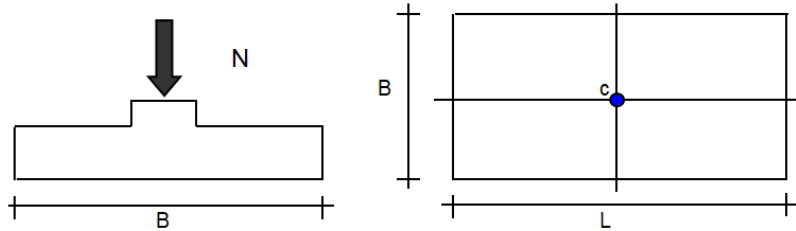
N = 51682 (kN) (Carico Verticale Agente)

q = 125.96 (kN/mq) (Pressione Agente (q = N/(B*L)))

ns = 5 (-) (numero strati) (massimo 6)

Strato	Litologia	Spessore	da z _i	a z _{i+1}	Δz _i	E	ν	δ _{ci}
(-)	(-)	(m)	(m)	(m)	(m)	(kN/m ²)	(-)	(cm)
1	strato 1	2.00	0.0	2.0	1.0	3000	0.25	5.43
2	strato 2	4.50	2.0	6.5	1.0	35000	0.25	0.99
3	strato 3	4.50	6.5	11.0	1.0	1000000	0.25	0.03
4	strato 4	24.00	11.0	35.0	1.0	50000	0.25	0.80
5	strato 5	100.00	35.0	135.0	1.0	10000	0.25	0.00
-					1.0			-

$$\delta_{ctot} = 7.26 \text{ (cm)}$$

CEDIMENTI DI UNA FONDAZIONE RETTANGOLARE**CONCIO LATO CANCELLO - Fine costruzione - Schema di calcolo 02****Formulazione Teorica (H.G. Poulos, E.H. Davis; 1974)**

$$\Delta\sigma_{zi} = (q/2\pi) * (\tan^{-1}((L/2)(B/2)/(zR_3)) + ((L/2)(B/2)z)/R_3) * (1/R_1^2 + 1/R_2^2)$$

$$\Delta\sigma_{xi} = (q/2\pi) * (\tan^{-1}((L/2)(B/2)/(zR_3)) - ((L/2)(B/2)z)/R_3) * R_1^2$$

$$\Delta\sigma_{yi} = (q/2\pi) * (\tan^{-1}((L/2)(B/2)/(zR_3)) - ((L/2)(B/2)z)/R_3) * R_2^2$$

$$R_1 = ((L/2)^2 + z^2)^{0.5}$$

$$R_2 = ((B/2)^2 + z^2)^{0.5}$$

$$R_3 = ((L/2)^2 + (B/2)^2 + z^2)^{0.5}$$

$$\delta_{tot} = \Sigma \delta_i = \Sigma (((\Delta\sigma_{zi} - v_i(\Delta\sigma_{xi} + \Delta\sigma_{yi})) \Delta z_i / E_i)$$

DATI DI INPUT:

B = 13.70 (m) (Larghezza della Fondazione)

L = 29.95 (m) (Lunghezza della Fondazione)

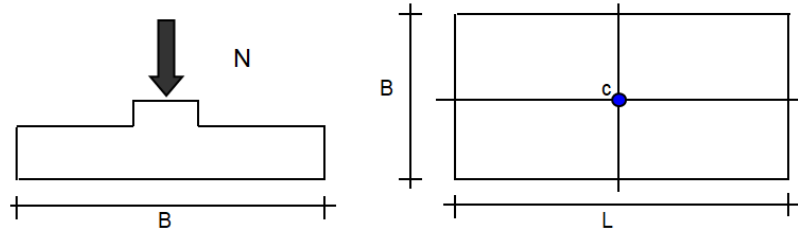
N = 51682 (kN) (Carico Verticale Agente)

q = 125.96 (kN/mq) (Pressione Agente (q = N/(B*L)))

ns = 5 (-) (numero strati) (massimo 6)

Strato	Litologia	Spessore	da z _i	a z _{i+1}	Δz _i	E	v	δ _{c_i}
(-)	(-)	(m)	(m)	(m)	(m)	(kN/m ²)	(-)	(cm)
1	strato 1	2.00	0.0	2.0	1.0	6000	0.25	2.71
2	strato 2	4.50	2.0	6.5	1.0	35000	0.25	0.99
3	strato 3	4.50	6.5	11.0	1.0	1000000	0.25	0.03
4	strato 4	24.00	11.0	35.0	1.0	50000	0.25	0.80
5	strato 5	100.00	35.0	135.0	1.0	10000	0.25	0.00
-					1.0			.

$$\delta_{ctot} = 4.55 \text{ (cm)}$$

CEDIMENTI DI UNA FONDAZIONE RETTANGOLARE**CONCIO LATO CANCELLO - Esercizio - Schema di calcolo 01****Formulazione Teorica (H.G. Poulos, E.H. Davis; 1974)**

$$\Delta\sigma_{zi} = (q/2\pi) * (\tan^{-1}((L/2)(B/2)/(zR_3)) + ((L/2)(B/2)z)/R_3) * (1/R_1^2 + 1/R_2^2)$$

$$\Delta\sigma_{xi} = (q/2\pi) * (\tan^{-1}((L/2)(B/2)/(zR_3)) - ((L/2)(B/2)z)/R_3) * R_1^2$$

$$\Delta\sigma_{yi} = (q/2\pi) * (\tan^{-1}((L/2)(B/2)/(zR_3)) - ((L/2)(B/2)z)/R_3) * R_2^2$$

$$R_1 = ((L/2)^2 + z^2)^{0.5}$$

$$R_2 = ((B/2)^2 + z^2)^{0.5}$$

$$R_3 = ((L/2)^2 + (B/2)^2 + z^2)^{0.5}$$

$$\delta_{tot} = \Sigma \delta_i = \Sigma (((\Delta\sigma_{zi} - \nu_i(\Delta\sigma_{xi} + \Delta\sigma_{yi})) \Delta z_i / E_i)$$

DATI DI INPUT:

B = 13.70 (m) (Larghezza della Fondazione)

L = 29.95 (m) (Lunghezza della Fondazione)

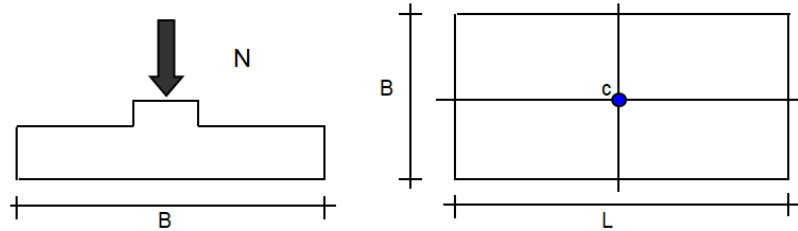
N = 61931 (kN) (Carico Verticale Agente)

q = 150.94 (kN/mq) (Pressione Agente (q = N/(B*L)))

ns = 5 (-) (numero strati) (massimo 6)

Strato	Litologia	Spessore	da z _i	a z _{i+1}	Δz _i	E	ν	δ _{c_i}
(-)	(-)	(m)	(m)	(m)	(m)	(kN/m ²)	(-)	(cm)
1	strato 1	2.00	0.0	2.0	1.0	3000	0.25	6.50
2	strato 2	4.50	2.0	6.5	1.0	35000	0.25	1.19
3	strato 3	4.50	6.5	11.0	1.0	1000000	0.25	0.04
4	strato 4	24.00	11.0	35.0	1.0	50000	0.25	1.11
5	strato 5	100.00	35.0	135.0	1.0	10000	0.25	0.00
-					1.0			-

$$\delta_{ctot} = 8.85 \text{ (cm)}$$

CEDIMENTI DI UNA FONDAZIONE RETTANGOLARE**CONCIO LATO CANCELLO - Esercizio - Schema di calcolo 02****Formulazione Teorica (H.G. Poulos, E.H. Davis; 1974)**

$$\Delta\sigma_{zi} = (q/2\pi) * (\tan^{-1}((L/2)(B/2)/(zR_3)) + ((L/2)(B/2)z)/R_3) * (1/R_1^2 + 1/R_2^2)$$

$$\Delta\sigma_{xi} = (q/2\pi) * (\tan^{-1}((L/2)(B/2)/(zR_3)) - ((L/2)(B/2)z)/R_3) * R_1^2$$

$$\Delta\sigma_{yi} = (q/2\pi) * (\tan^{-1}((L/2)(B/2)/(zR_3)) - ((L/2)(B/2)z)/R_3) * R_2^2$$

$$R_1 = ((L/2)^2 + z^2)^{0.5}$$

$$R_2 = ((B/2)^2 + z^2)^{0.5}$$

$$R_3 = ((L/2)^2 + (B/2)^2 + z^2)^{0.5}$$

$$\delta_{tot} = \Sigma \delta_i = \Sigma (((\Delta\sigma_{zi} - v_i(\Delta\sigma_{xi} + \Delta\sigma_{yi})) \Delta z_i / E_i)$$

DATI DI INPUT:

B = 13.70 (m) (Larghezza della Fondazione)

L = 29.95 (m) (Lunghezza della Fondazione)

N = 61931 (kN) (Carico Verticale Agente)

q = 150.94 (kN/mq) (Pressione Agente (q = N/(B*L)))

ns = 5 (-) (numero strati) (massimo 6)

Strato	Litologia	Spessore	da z _i	a z _{i+1}	Δz _i	E	v	δ _{ci}
(-)	(-)	(m)	(m)	(m)	(m)	(kN/m ²)	(-)	(cm)
1	strato 1	2.00	0.0	2.0	1.0	6000	0.25	3.25
2	strato 2	4.50	2.0	6.5	1.0	35000	0.25	1.19
3	strato 3	4.50	6.5	11.0	1.0	1000000	0.25	0.04
4	strato 4	24.00	11.0	35.0	1.0	50000	0.25	1.11
5	strato 5	100.00	35.0	135.0	1.0	10000	0.25	0.00
-					1.0			-

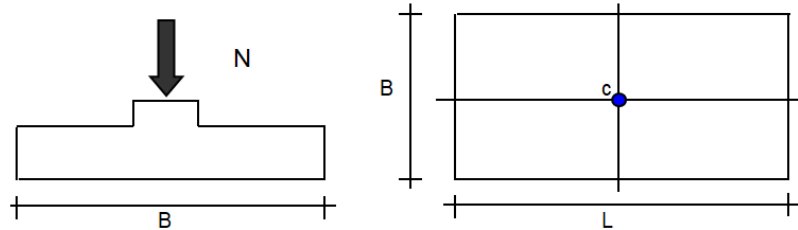
$$\delta_{ctot} = 5.59 \text{ (cm)}$$

  	ITINERARIO NAPOLI – BARI RADDOPPIO TRATTA CANCELLO – BENEVENTO I° LOTTO FUNZIONALE CANCELLO - FRASSO TELESINO E VARIANTE ALLA LINEA ROMA-NAPOLI VIA CASSINO NEL COMUNE DI MADDALONI – PROGETTO ESECUTIVO					
	Relazione Geotecnica di calcolo delle fondazioni	COMMESSA IF1N	LOTTO 01 E ZZ	CODIFICA CL	DOCUMENTO VI0300 002	REV. D

7.4.3 SCATOLARE “B” (LATO BENEVENTO)

CEDIMENTI DI UNA FONDAZIONE RETTANGOLARE

CONCIO LATO BENEVENTO - Fine costruzione - Schema di calcolo 01



Formulazione Teorica (H.G. Poulos, E.H. Davis; 1974)

$$\Delta\sigma_z = (q/2\pi) * (\tan^{-1}((L/2)(B/2)/(zR_3)) + ((L/2)(B/2)z/R_3)(1/R_1^2 + 1/R_2^2))$$

$$\Delta\sigma_x = (q/2\pi) * (\tan^{-1}((L/2)(B/2)/(zR_3)) - ((L/2)(B/2)z/R_3 R_1^2))$$

$$\Delta\sigma_y = (q/2\pi) * (\tan^{-1}((L/2)(B/2)/(zR_3)) - ((L/2)(B/2)z/R_3 R_2^2))$$

$$R_1 = ((L/2)^2 + z^2)^{0.5}$$

$$R_2 = ((B/2)^2 + z^2)^{0.5}$$

$$R_3 = ((L/2)^2 + (B/2)^2 + z^2)^{0.5}$$

$$\delta_{tot} = \sum \delta_i = \sum (((\Delta\sigma_z - \nu_i(\Delta\sigma_x + \Delta\sigma_y))\Delta z_i / E_i)$$

DATI DI INPUT:

B = 13.70 (m) (Larghezza della Fondazione)

L = 20.00 (m) (Lunghezza della Fondazione)

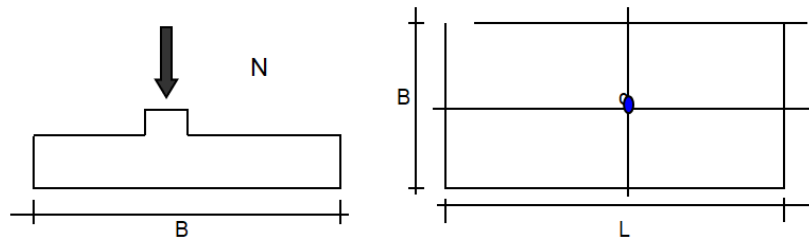
N = 37456 (kN) (Carico Verticale Agente)

q = 136.70 (kN/mq) (Pressione Agente (q = N/(B*L)))

ns = 5 (-) (numero strati) (massimo 6)

Strato	Litologia	Spessore	da z _i	a z _{i+1}	Δz _i	E	ν	δ _{ci}
(-)	(-)	(m)	(m)	(m)	(m)	(kN/m ²)	(-)	(cm)
1	strato 1	2.00	0.0	2.0	1.0	3000	0.25	5.86
2	strato 2	4.50	2.0	6.5	1.0	35000	0.25	1.07
3	strato 3	4.50	6.5	11.0	1.0	1000000	0.25	0.04
4	strato 4	24.00	11.0	35.0	1.0	50000	0.25	0.69
5	strato 5	100.00	35.0	135.0	1.0	10000	0.25	0.00
-					1.0			-

$$\delta_{ctot} = 7.66 \text{ (cm)}$$

CEDIMENTI DI UNA FONDAZIONE RETTANGOLARE**CONCIO LATO BENEVENTO - Fine costruzione - Schema di calcolo 02****Formulazione Teorica (H.G. Poulos, E.H. Davis; 1974)**

$$\Delta\sigma_{zi} = (q/2\pi) * (\tan^{-1}((L/2)(B/2)/(zR_3)) + ((L/2)(B/2)z)/R_3) * (1/R_1^2 + 1/R_2^2)$$

$$\Delta\sigma_{xi} = (q/2\pi) * (\tan^{-1}((L/2)(B/2)/(zR_3)) - ((L/2)(B/2)z)/R_3) * R_1^2$$

$$\Delta\sigma_{yi} = (q/2\pi) * (\tan^{-1}((L/2)(B/2)/(zR_3)) - ((L/2)(B/2)z)/R_3) * R_2^2$$

$$R_1 = ((L/2)^2 + z^2)^{0.5}$$

$$R_2 = ((B/2)^2 + z^2)^{0.5}$$

$$R_3 = ((L/2)^2 + (B/2)^2 + z^2)^{0.5}$$

$$\delta_{tot} = \Sigma \delta_i = \Sigma (((\Delta\sigma_{zi} - v_i(\Delta\sigma_{xi} + \Delta\sigma_{yi})) \Delta z_i / E_i)$$

DATI DI INPUT:

B = 13.70 (m) (Larghezza della Fondazione)

L = 20.00 (m) (Lunghezza della Fondazione)

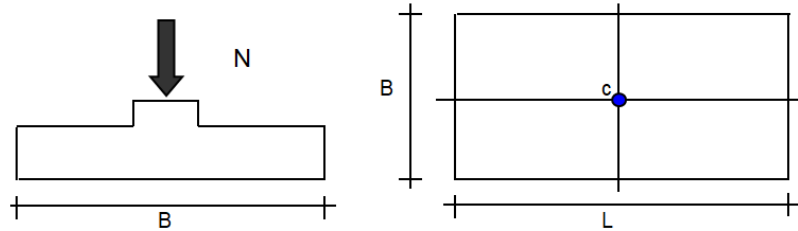
N = 37456 (kN) (Carico Verticale Agente)

q = 136.70 (kN/mq) (Pressione Agente (q = N/(B*L)))

ns = 5 (-) (numero strati) (massimo 6)

Strato	Litologia	Spessore	da z _i	a z _{i+1}	Δz _i	E	v	δ _i
(-)	(-)	(m)	(m)	(m)	(m)	(kN/m ²)	(-)	(cm)
1	strato 1	2.00	0.0	2.0	1.0	6000	0.25	2.93
2	strato 2	4.50	2.0	6.5	1.0	35000	0.25	1.07
3	strato 3	4.50	6.5	11.0	1.0	1000000	0.25	0.04
4	strato 4	24.00	11.0	35.0	1.0	50000	0.25	0.69
5	strato 5	100.00	35.0	135.0	1.0	10000	0.25	0.00
-					1.0			-

$$\delta_{ctot} = 4.73 \text{ (cm)}$$

CEDIMENTI DI UNA FONDAZIONE RETTANGOLARE**CONCIO LATO BENEVENTO - Esercizio - Schema di calcolo 01****Formulazione Teorica (H.G. Poulos, E.H. Davis; 1974)**

$$\Delta\sigma_{zi} = (q/2\pi) * (\tan^{-1}((L/2)(B/2)/(zR_3)) + ((L/2)(B/2)z)/R_3) * (1/R_1^2 + 1/R_2^2)$$

$$\Delta\sigma_{xi} = (q/2\pi) * (\tan^{-1}((L/2)(B/2)/(zR_3)) - ((L/2)(B/2)z)/R_3) * R_1^2$$

$$\Delta\sigma_{yi} = (q/2\pi) * (\tan^{-1}((L/2)(B/2)/(zR_3)) - ((L/2)(B/2)z)/R_3) * R_2^2$$

$$R_1 = ((L/2)^2 + z^2)^{0.5}$$

$$R_2 = ((B/2)^2 + z^2)^{0.5}$$

$$R_3 = ((L/2)^2 + (B/2)^2 + z^2)^{0.5}$$

$$\delta_{tot} = \Sigma \delta_i = \Sigma (((\Delta\sigma_{zi} - \nu_i(\Delta\sigma_{xi} + \Delta\sigma_{yi})) \Delta z_i / E_i)$$

DATI DI INPUT:

B = 13.70 (m) (Larghezza della Fondazione)

L = 20.00 (m) (Lunghezza della Fondazione)

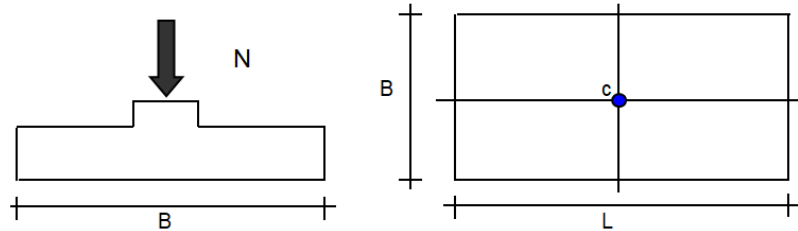
N = 45450 (kN) (Carico Verticale Agente)

q = 165.88 (kN/mq) (Pressione Agente (q = N/(B*L)))

ns = 5 (-) (numero strati) (massimo 6)

Strato	Litologia	Spessore	da z _i	a z _{i+1}	Δz _i	E	ν	δ _{c_i}
(-)	(-)	(m)	(m)	(m)	(m)	(kN/m ²)	(-)	(cm)
1	strato 1	2.00	0.0	2.0	1.0	3000	0.25	7.12
2	strato 2	4.50	2.0	6.5	1.0	35000	0.25	1.30
3	strato 3	4.50	6.5	11.0	1.0	1000000	0.25	0.04
4	strato 4	24.00	11.0	35.0	1.0	50000	0.25	0.98
5	strato 5	100.00	35.0	135.0	1.0	10000	0.25	0.00
-					1.0			-

$$\delta_{ctot} = 9.43 \text{ (cm)}$$

CEDIMENTI DI UNA FONDAZIONE RETTANGOLARE**CONCIO LATO BENEVENTO - Esercizio - Schema di calcolo 02****Formulazione Teorica (H.G. Poulos, E.H. Davis; 1974)**

$$\Delta\sigma_{zi} = (q/2\pi) * (\tan^{-1}((L/2)(B/2)/(zR_3)) + ((L/2)(B/2)z)/R_3) * (1/R_1^2 + 1/R_2^2)$$

$$\Delta\sigma_{xi} = (q/2\pi) * (\tan^{-1}((L/2)(B/2)/(zR_3)) - ((L/2)(B/2)z)/R_3) * R_1^2$$

$$\Delta\sigma_{yi} = (q/2\pi) * (\tan^{-1}((L/2)(B/2)/(zR_3)) - ((L/2)(B/2)z)/R_3) * R_2^2$$

$$R_1 = ((L/2)^2 + z^2)^{0.5}$$

$$R_2 = ((B/2)^2 + z^2)^{0.5}$$

$$R_3 = ((L/2)^2 + (B/2)^2 + z^2)^{0.5}$$

$$\delta_{tot} = \sum \delta_i = \sum ((\Delta\sigma_{zi} - \nu_i(\Delta\sigma_{xi} + \Delta\sigma_{yi})) \Delta z_i / E_i)$$

DATI DI INPUT:

B = 13.70 (m) (Larghezza della Fondazione)

L = 20.00 (m) (Lunghezza della Fondazione)

N = 45450 (kN) (Carico Verticale Agente)

q = 165.88 (kN/mq) (Pressione Agente (q = N/(B*L)))

ns = 5 (-) (numero strati) (massimo 6)

Strato	Litologia	Spessore	da z _i	a z _{i+1}	Δz _i	E	ν	δ _{ci}
(-)	(-)	(m)	(m)	(m)	(m)	(kN/m ²)	(-)	(cm)
1	strato 1	2.00	0.0	2.0	1.0	6000	0.25	3.56
2	strato 2	4.50	2.0	6.5	1.0	35000	0.25	1.30
3	strato 3	4.50	6.5	11.0	1.0	1000000	0.25	0.04
4	strato 4	24.00	11.0	35.0	1.0	50000	0.25	0.98
5	strato 5	100.00	35.0	135.0	1.0	10000	0.25	0.00
-					1.0			-

$$\delta_{ctot} = 5.88 \text{ (cm)}$$